

А К А Д Е М И Я Н А У К С С С Р

Т Р У ДЫ
ИНСТИТУТА ГЕОЛОГИЧЕСКИХ НАУК

ВЫП. 143. ГЕОЛОГИЧЕСКАЯ СЕРИЯ (№ 60). 1953

С. Н. НАУМОВА

СПОРОВО-ПЫЛЬЦЕВЫЕ КОМПЛЕКСЫ ВЕРХНЕГО ДЕВОНА
РУССКОЙ ПЛАТФОРМЫ И ИХ ЗНАЧЕНИЕ
ДЛЯ СТРАТИГРАФИИ



ИЗДАТЕЛЬСТВО АКАДЕМИИ НАУК СССР

А К А Д Е М И Я Н А У К С С С Р

ТРУДЫ
ИНСТИТУТА ГЕОЛОГИЧЕСКИХ НАУК

ВЫП. 143. ГЕОЛОГИЧЕСКАЯ СЕРИЯ (№ 60). 1953

С. Н. НАУМОВА

СПОРОВО-ПЫЛЬЦЕВЫЕ КОМПЛЕКСЫ ВЕРХНЕГО ДЕВОНА
РУССКОЙ ПЛАТФОРМЫ И ИХ ЗНАЧЕНИЕ
ДЛЯ СТРАТИГРАФИИ



ИЗДАТЕЛЬСТВО АКАДЕМИИ НАУК СССР

Г л а в н ы й р   д а к т о р
академик В. А. Обручев

О т в е т с т в е н н ы й р   д а к т о р
д eйс tвe, член АН УССР А. Н. Криштобович

ПРЕДИСЛОВИЕ

Вопрос о необходимости стратиграфического расчленения и датировки континентальных, лагунных и морских терригенных толщ, обычно плохо охарактеризованных фауной и сравнительно быстро изменяющихся в деталях от разреза к разрезу, приобретает все большую остроту в связи с переходом к крупномасштабным геолого-разведочным работам. Использование для стратиграфического расчленения ostrакод и других групп микрофауны обычно оканчивается неудачей из-за разнофациональности этих отложений. Данные минералогического анализа для сопоставления различных разрезов дают хорошие результаты на близких расстояниях, но оказываются недостаточными для сопоставления более удаленных разрезов.

Ввиду этого совершенно исключительное значение приобретают остатки спор и пыльцы, часто содержащиеся в таких отложениях в большом количестве, но до сих пор не привлекавшие к себе должного внимания. Особенно большое значение эти остатки будут иметь, в дополнение к другим палеонтологическим и особенно палеоботаническим методам, для расчленения терригенных толщ палеозоя Русской платформы и всего разреза Сибири. Отсутствие критерия для расчленения этих толщ особенно сильно сказывается в настоящее время при широком развитии поисковых работ на девонскую нефть и другие виды полезных ископаемых глубоких частей Русской платформы.

В связи с этим в качестве одной из попыток решить вопрос о практической применимости спорово-пыльцевого анализа при расшифровке стратиграфии древних свит, особенно разнофациональных (континентальных, лагунных и морских), и было организовано в спорово-пыльцевой лаборатории отдела стратиграфии ИГН Академии Наук СССР изучение спор и пыльцы верхнедевонских отложений, опорные разрезы которых позволяли проверять полученные результаты обычными палеонтологическими методами.

Итогом этих исследований и является настоящая работа.

В работе, помимо автора, принимали участие младший научный сотрудник Н. Г. Пыхова, техник-художник В. Н. Кнорозова, которыми был произведен количественный подсчет спор и пыльцы, а также лаборанты Т. В. Погожева, В. К. Большакова и А. И. Пулик, производившие мацепрацию пород.

Зарисовка спор и пыльцы произведена художником В. Н. Кнорозовой и ботаником Н. О. Рыбаковой под микроскопом, при помощи рисовального прибора, при увеличении в 400 раз.

Материалом для исследования послужили более 700 образцов девона Русской платформы.

Глубокую признательность выражаю В. В. Меннеру и А. Н. Криштофовичу за ценные указания и просмотр полученных результатов.

Выделение спор и пыльцы из пород производилось обычным путем, применяемым нами для древних отложений. Все анализируемые образцы пород подвергались дроблению до 0,5 мм. Затем посредством HCl произ-

водилось освобождение от карбонатов, с последующим окислением концентрированной азотной кислотой. После трехкратной декантации с водой осадок заливался 10% КОИ и кипятился в течение 6 минут, после чего осадок вновь декантировался с водой.

Непосредственно выделение спор и пыльцы из осадка производилось при помощи электрической центрифуги в жидкости Тулэ с уд. весом 2,25. Полученный остаток со спорами и пыльцой промывался водой и изучался под микроскопом в проходящем свете.

Содержание и сохранность спор и пыльцы тесно связаны с типом осадка. Наиболее благоприятными для нахождения спор и пыльцы следует считать фации прибрежно-морские, озерные и болотные, т. е. отложения стоячих и слабо текущих вод. Этим фациям соответствуют следующие породы черного, серо-черного, серо-бурового и коричневого цвета: угли, углистые сланцы, аргиллиты, алевролиты, мергели, тонкозернистые песчаники, прибрежные серые известняки.

Спор мало или совсем нет в следующих фациях: глубоководно-морских известняках, осадках быстро текущих речных вод, коре выветривания и химических осадках, которым соответствуют породы — белые известняки, пестроцветные породы, глины, аргиллиты, алевролиты, песчаники, галечники, каолиновые глины, имеющие белый, красный, темно-коричневый, фиолетовый и светло-желтый цвет.

Большая часть исследованных образцов содержала значительное количество спор и пыльцы хорошей сохранности, что указывает на благоприятные условия их фосилизации. Из 700 образцов в 400, представленных главным образом аргиллитами, алевролитами, глинами, мергелями, оказалось достаточное количество спор и пыльцы для того, чтобы произвести, кроме качественного, также и количественный анализ (подсчитывалось по 200 экземпляров спор и пыльцы для каждого образца), с зарисовкой всех встреченных видов в каждом образце.

Все морфологически описанные споры и пыльца изображены в таблицах I—XIX.

В приложенных ниже диаграммах XX—XXI помещены только руководящие, преобладающие (более 3%) споры и пыльца в отдельных слоях и свитах девонских отложений.

ВВЕДЕНИЕ

Первые исследования спор девона были произведены в конце XIX и начале XX веков, в связи с изучением органов размножения древнейших наземных растений.

Так, в конце прошлого столетия Дж. Кларком был изучен процесс образования и развития спор в спорангиях девонских растений, условно названных *Sporangites huronensis* Daws (Clarke, 1885).

Позднее А. Г. Натгорст дает характеристику и изображение спор широко распространенного в верхнем девоне папоротника *Archaeopteris* (Nathorst, 1902). Д. Уайт и Т. Стадниченко описали из верхнедевонских черных сланцев штата Огайо в Америке тетрады кутинизированных спор из спороносных частей *Foerstia ohioensis* Daws (White a. Stadnichenko, 1923). Р. Кидстон и У. Лэнг также описали из генеративных остатков *Sporocarpus furcatum* Daws тетрады кутинизированных спор, в связи с вопросом систематического положения найденного растительного остатка (Kidston a. Lang, 1924—1925). Кроме того, У. Лэнг обнаружил в среднедевонских отложениях Шотландии 8 различных по величине и форме спор, которые не были отнесены автором к какому-либо растению (Lang, 1925).

П. А. Никитин описал мегаспору *Kryshtofovichia Africana* Nik. из воронежского девона (Никитин, 1930).

Наконец, споры девонских растений *Svalbardia* и *Enigmophyton* были описаны А. Гаком из отложений с о-ва Шпицберген (Нфег, 1942).

Таким образом, ранние работы большей частью касались спор остатков, позволяющих выяснить систематическую связь тех или иных вымерших групп растений, и почти не затрагивали стратиграфического значения спор. В силу этого приводимые в них морфологические описания были общи и недостаточно точны, так как споры изучались при малых увеличениях; ценной в этих работах была увязка спор с определенными растениями путем нахождения спор непосредственно в спорангиях.

Впервые вопрос о стратиграфическом значении спор для девона был поставлен в угольной геологии СССР в начале тридцатых годов, когда М. В. Еловской (1936) были изучены и описаны 7 видов спор из углей среднего девона из окрестностей Барзаса в Кузбассе, а А. А. Любер — 11 видов спор из углей среднего девона р. Волонги (Любер и Вальц, 1941).

В том же году С. Н. Наумовой было изучено 65 видов спор и пыльцы из углистых отложений франского яруса Воронежской области (Дубянский, 1948).

Наконец, В. Томсон (Thomson, 1940) описал 20 видов спор из углистых сланцев среднего девона Эстонии.

Вышеуказанные работы уже с несомненностью свидетельствовали о частом сохранении спор в углях девона и о необходимости детального морфологического изучения их, что позволило в 1945 г. (С. Н. Наумова) поставить вопрос об использовании спор для расчленения девонских отложений вообще и обусловило попытку выделения спор не только из органогенных, но и из терригенных осадков, в том числе и морских.

Обнаруженнное уже при первых этапах исследования большое количество спор и пыльцы в самых разнообразных осадках франского яруса девона сразу же определило их исключительное стратиграфическое значение и тем самым открыло широкие перспективы использования спорово-пыльцевого метода для датировки трудно поддающихся расчленению терригенных толщ.

Однако до настоящего времени споры девона изучены еще слабо. Всего в литературе описано не более 100 видов, преимущественно из среднего девона и низов франского яруса. В то же время практическое значение спор требует гораздо более всестороннего их изучения. Настоящая работа и посвящена освещению состава спорово-пыльцевого комплекса франского яруса, лишь частично затрагивая смежные отложения.

Развитие работ по изучению спор девона в будущем, несомненно, расширит наши знания по одной из древнейших флор земного шара и значительно уточнит результаты, излагаемые ниже в порядке первого приближения.

Г л а в а I

ФЛОРА ДЕВОНА

Находки наземной девонской флоры, в особенности древнейшей, сравнительно редки (Криштофович, 1927).

Нижнедевонская флора долго считалась первой флорой суши земного шара, известной палеоботаникам, но последние находки в Швеции, Австралии, Шотландии и Норвегии показали, что уже в силуре существовали довольно высоко развитые формы, организованные совершеннее риний и псилофитов. Однако растительные остатки из

силура и в особенности кембрия чрезвычайно скучны (Криштофович, 1941).

В то же время нахождение в последнее время большого количества форм спор в нижнем силуре и кембрии указывает на довольно значительное развитие высших споровых растений уже и в эти отдаленные времена (Наумова, 1949).

Как указывает А. Н. Криштофович, выход растений на сушу по берегам водоемов сопровождался возникновением нового систематического типа растительности, так называемых псилофитов.

Под названием *Psilophyta* объединяются растения, более низкоорганизованные по сравнению с папоротникообразными, вовсе не имеющие листьев или несущие мелкие придатки (Сьюорд, 1936).

Псилофиты представляют собой мелкие или средней величины растения, большей частью дихотомически ветвящиеся, иногда с обликом водорослей или плаунов, лишенные корневой системы, голые или с щетинистыми листьями и со спорангиями, расположеннымными чаще на концах последних разветвлений побегов, но иногда также и в пазухах листьев. Анатомически псилофиты характеризуются присутствием центрального столба древесины из лестничных трахеид, облеченного флоэмой (Криштофович, 1927₁, 1941).

Таким образом, псилофиты, будучи переходной группой от водорослей к папоротникообразным, содержат различные прототипы классов последних, вследствие чего более высокоорганизованные представители псилофитов составляют непосредственный переход к различным папоротникообразным.

Наибольшего развития псилофиты достигают в среднем девоне, причем широко распространенными являются: *Rhynia*, *Psilophyton*, *Hornes*, *Asteroxylon*, *Zosterophyllum* и др. Совместно с ними или несколько позднее нередко встречаются примитивные папоротникообразные растения, как *Leptophleum*, *Protolepidodendron*, *Protoarticulateae* и *Calamophytale* (Сьюорд, 1936; Криштофович, 1941).

Флора верхнего девона была представлена более высокоорганизованными растениями. Наибольшее развитие имели *Filicales*, *Lycopodiales* и *Pteridospermae*.

С середины девона начинают появляться формы голосеменных растений. Защитные образования семяпочек некоторых растений указывают на существование в верхнем девоне временами сухих периодов (Криштофович, 1941).

В девоне, как известно, впервые появляются угольные пласты промышленного значения, причем все известные месторождения приурочены к Русской, Сибирской и Канадской платформам.

В среднем девоне наблюдаются намеки на появление углей (эйфель в Германии; Сьюорд, 1936), хотя первые признаки настоящих гумусовых углей имеются уже в нижнем силуре Средней Азии (Тянь-Шань).

В СССР известно несколько месторождений угля среднедевонского возраста, например в Казахстане и Кузбассе. Прекрасные описания сапромикситов девона даны М. Д. Залесским (1931) и З. В. Ергольской.

По мнению последней, образование их происходило за счет просто устроенных наземных растений (*Orestovia*). Угли верхнего девона относятся к настоящим гумусовым образованиям, представляющим собой скопление остатков наземных растений.

Месторождения угля верхнего девона шире развиты, чем месторождения более древние. Верхнедевонские углистые породы и угли встречаются в Воронежской области, на Медвежьем острове, а также в Канаде и на Земле Элсмира (Сьюорд, 1936).

Таким образом, торфообразование в девоне достигало значительных размеров.

Девонская флора СССР описана пока еще недостаточно. Главнейшими являются работы: А. Н. Криштофовича по древнедевонской флоре Урала, Средней Азии и Сибири (1934, 1941), П. А. Никитина — по Воронежской области (1934), И. Ф. Шмальгаузена (1894) и М. Д. Залесского (1931) — по фаменскому ярусу Донбасса, М. Ф. Нейбург (1939) — по верхнедевонской флоре Балхаша и В. Н. Тихого (1948) — по среднему и верхнему девону Поволжья и Заволжья, а также В. С. Пересветова (1951) — по псилофитам СССР. Ископаемые растения девона представлены обычно побегами со стерильными и плодущими ветвями, листьями, спорангиями, участками крупных стволов и коры в виде отпечатков и фитолейм.

В СССР имеется несколько местонахождений древнедевонской флоры.

А. Н. Криштофовичем были описаны отпечатки растений Урала, Казахстана и Минусинского района Сибири. Из последнего описаны *Astroxyylon sibiricum*, *Psilophyton princeps*, *Psilophyton* sp., *Leptophleum silicicum* (1927₂, 1934).

В Казахстане была найдена *Duislergia mirabilis* (Криштофович, 1938).

В песчано-алевролитовой толще среднего девона животского яруса Поволжья и Заволжья В. Н. Тихим были определены растительные остатки *Aphylopteris* sp., *Archaeopteris* cf. *archaeotypus* Schmal.—характерного представителя верхнего девона, а также *Taenioocrada dulia* Kr. et Weyl., широко распространенной в средне- и нижнедевонских отложениях Бельгии и Силезии. Это растение имеет вид длинных лент, покрытых кутикулой с шагреневой поверхностью. Присутствие пор на кутикуле, по З. В. Ергольской, указывает на наземный образ жизни этих водорослевидных растений.

В пашинской свите, залегающей в основании франского яруса, были обнаружены следующие растительные остатки: *Protopteridium hostimense* Krscjci, *Hostimella hostimensis* Pot. et Ber., *Bothrodendron kiltorkense* Haught., *Archaeopteris* aff. *fissilis* Schmal., *Archaeopteris fimbriata* Nath., *Cyclostigma wiikianum* Heeg. Сходные виды археоптериса были обнаружены в с. Петино Воронежской области (Тихий, 1948).

Наибольшее количество растительных остатков наблюдается в основании франского яруса Самарской Луки; среди них особенно многочисленны *Archaeopteris* aff. *fissilis* Schmal. и обугленные стеблевые и коровые элементы лепидофитов.

Из фаменского яруса Донецкого бассейна были описаны Шмальгаузеном *Archaeopteris fissilis*, а М. Д. Залесским, позднее, остатки некоторых лепидодендронов под названием *Helenia* и др. (Залесский, 1931).

М. Д. Залесский описал из верхнедевонских отложений СССР под именем *Callixylon* (1911) древесину с мезархной протоксилемой, сем. Pithyaceae. Род *Cordaites* приводится некоторыми авторами из отложений девона, но называемые так листья не являются доказательством, что этот род действительно существовал еще ранее, когда виды кордаитов стали широко распространены в лесах каменноугольного периода (1941).

Обычно принято резко различать, с одной стороны, флору нижнего и среднего девона, представленную более архаичными растениями типа псилофитов, и с другой — значительно более высокоорганизованную папоротниково-плауновую флору, свойственную верхнему девону.

Однако, по мнению А. Н. Криштофовича, подтверждающемуся последними находками *Archaeopteris* в среднем девоне, замещение флор началось раньше, повидимому в среднем девоне, и продолжалось в франское время, на что указывает смешанный характер флоры животского яруса.

Флора девона долгое время считалась однообразной, но, по мнению А. Н. Криштофовича (1941), согласно последним данным, уже обнаруживает климатическую зональность, что отмечается и нами при рассмотрении спорово-пыльцевого состава отложений северо-востока и Центрального девонского поля.

Гла́за II

ОБЩАЯ ХАРАКТЕРИСТИКА СПОР И ПЫЛЬЦЫ ДЕВОНА

Уже первые исследования отложений девона, проведенные нами в 1938 г. по материалам А. А. Дубянского (1948), показали значительное разнообразие содержащихся в них спор и пыльцы. Последующие исследования вполне подтвердили эти первые данные, что позволило выделить среди спор и пыльцы более 1000 форм, условно определенных нами как «виды».

В настоящей работе приводятся описания свыше 400 видов спор и пыльцы, которые большей частью являются преобладающими и руководящими видами для различных свит и слоев девона (табл. I—XIX).

Спорово-пыльцевой комплекс девона характеризуется развитием преимущественно спор группы *Triletes* R. типа *Pteridophyta* и *Bryophyta* с участием пыльцы голосеменных типа древнейших хвойных и кордайтов.

Видовой состав спор девона резко отличается от комплексов спор других систем развитием спор с хорошо сохранившимися пленчатым и плотным периспорием подгруппы *Hymenozonotriletes* Naum., *Archaeozonotriletes* Naum., которые принадлежат к древним папоротникообразным растениям типа *Propteridium* и *Protolepidodendron* (рис. 3).

В то же время широко развиты споры с хорошо выраженным ареа¹ подгруппы *Retusotriletes* Naum., принадлежащие, повидимому, к типу *Marattiales*, так как споры некоторых из них имеют также подобные ареа (*Danaeopsis*) (табл. XIV, фиг. 5—8).

Кроме того, в значительном количестве развиты крупные споры подгруппы *Archaeotriletes* Naum.

Подобного типа споры снабжены крупными длинными шиповидными выростами с раздвоенным расширением на окончаниях, как у спор современного водного папоротника *Azolla* (рис. 2).

Мелкие формы этого типа спор мною описаны из отложений нижнего силура Прибалтики (Наумова, 1950).

Единично встречаются споры с ячеистой скульптурой подгруппы *Brochotriletes* Naum., с сетчатой — подгруппы *Dictyotriletes* Naum., принадлежащие спорам типа плауновых растений. Также в незначительном количестве наблюдаются споры с узкой оторочкой подгруппы *Stenozonotriletes* Naum. и единично *Camarozonotriletes* Naum., имеющие широкое развитие в мезозое.

Остальные виды спор с простой скульптурой без оторочки относятся к подгруппам *Leiotriletes* Naum. (среди которых преобладают круглые мятые, типа *Calamariaceae*), *Trachytriletes* Naum., *Acanthotriletes* Naum., *Lophotriletes* Naum.; эти подгруппы вообще широко распространены в других системах.

Среди них встречается много видов, имеющих широкое вертикальное распространение; другие ограничены только девоном, одним его ярусом или несколькими свитами и, как исключение, одной свитой.

¹ Ареа — поверхность соприкосновения спор в материнской клетке, на которой остаются тетраздровые рубцы. У некоторых форм эта часть поверхности бывает утолщена или вдавлена в виде трех полукруглых площадок

Пыльца голосеменных представлена незначительным количеством видов и имеет ограниченное вертикальное распространение в пределах верхнефранских отложений. Она представлена небольшим количеством видов подгруппы *Archaeoperisaccus* Naum. типа древнейших хвойных и подгруппы *Perisaccus* Naum. типа кордайтов.

Г л а в а III МОРФОЛОГИЯ СПОР И ПЫЛЬЦЫ ДЕВОНА

Споры современных растений имеют три оболочки: внутреннюю, так называемую интину, или эндоспорий, внешнюю — экзину, или экзоспорий, и, кроме того, у некоторых растений (*Polypodiaceae* и др.) споры заключены в особый мешок — периспорий, у спор современных растений преимущественно пленчатый.

В ископаемом состоянии сохраняются только экзина и периспорий, которые состоят из особо устойчивого вещества, близкого к кутину. Интина и внутреннее содержимое спор, сложенные целлюлозой, обычно подвергаются полному разложению.

В девоне, в противоположность другим системам, большая часть спор имеет хорошо сохранившийся плотный, утолщенный или пленчатый периспорий с разнообразной скульптурой, в котором заключена экзина. Последняя в свою очередь также имеет определенные скульптурные отличия.

Споры и пыльца девона отличаются большим разнообразием в отношении размера, очертаний и строения экзины и периспория.

Цвет спор и пыльцы девона, как и других систем, варьирует от светло-желтого до темнокрасного и зависит от следующих причин:

1. Толщина экзины и периспория спор и пыльцы. Это находится в тесной связи с экологическим типом растения; более тонкой или толстой, но рыхлой экзиной характеризуются споры и пыльца гидрофильных и мезофильных растений; более утолщенную и плотную экзину имеют споры и пыльца более сухопутных растений.

2. Выветривание. Споры, находящиеся в осадках, которые подверглись древнему выветриванию (средняя часть пестроцветных слоев), имеют более темную окраску, а некоторые из них становятся вполне непрозрачными.

3. Характер мацерации. В недоокисленных мацерациях споры красные или совсем непрозрачные, в излишне мацерированных образцах, наоборот, светлые с неясно выраженной скульптурой.

Величина спор и пыльцы девона колеблется от 10 до 1200 микронов, большая часть форм имеет от 20 до 70 микронов.

Величина спор и пыльцы отдельных видов в пределах одной толщи довольно постоянна и незначительно изменяется, повидимому, в зависимости от степени зрелости, за исключением спор разноспоровых растений, у которых микроспоры имеют 20—40 микронов, а диаметр мегаспор достигает 100—1200 микронов при остальных, часто тождественных с микроспорами морфологических признаках.

Такого типа споры в девоне встречаются как с простой скульптурой, так и со сложной. К первым относятся, например, гладкие, мягкие споры типа *Calamariaceae*, ко вторым — споры *Archaeozonotriletes macromanifestus* Naum. и *Archaeozonotriletes micromanifestus* Naum. В то же время в различных толщах величина спор и пыльцы обнаруживает значительные колебания в зависимости от условий их развития.

Для некоторых видов спор и пыльцы девона удалось установить закономерности в изменении величины в стратиграфическом разрезе в связи

с эволюцией данного вида растения, т. е. с моментами его возникновения, развития и угасания. Так, например, споры *Retusotriletes* Naum. появляются в нижнем девоне, где величина их не превышает 10—15 микронов. В среднем девоне они достигают максимального размера — 60—70 микронов и являются преобладающей формой (рис. 6). В верхнем девоне эти споры имеют диаметр 30—40 микронов, а в турнейском ярусе нижнего карбона величина их падает до 10—15 микронов.

Такая же закономерность наблюдается у некоторых спор подгруппы *Nutepozonotriletes* Naum., у которых наименьшую величину споры имеют в начале и в конце существования вида и максимальный диаметр — в середине, т. е. в момент его расцвета (верхнефранские отложения).

Изменение величины некоторых спор и пыльцы связано также с экологическими особенностями произрастания растений. Так, наблюдается уменьшение размеров некоторых спор одного и того же вида при изменении типов осадков от континентальных к морским, что, повидимому, связано с ухудшением условий существования растений в стадии большой влажности климата (псевдослои).

Очертания спор и пыльцы преимущественно круглые, округло-овальные, округло-треугольные и треугольные. Округлое очертание характерно для более примитивных форм, треугольное — для более совершенных. Пыльца птеридоспермов имеет эллипсоидальное очертание.

Скульптура спор и пыльцы девона очень разнообразна. Экзина и периспорий их имеют большей частью примитивную скульптуру — гладкую, шагреневую, разнообразно шиповатую и бугорчатую, тогда как сетчатая, ячеистая, ребристая с узкой оторочкой скульптура, как более сложно развитая, почти не встречается.

Скульптурные особенности экзины периспория спор и пыльцы связаны главным образом с систематическим положением тех растений, к которым они принадлежат. В то же время характер скульптуры находится в тесной зависимости от условий, в которых развивались растения. Кроме того, скульптура зависит от степени зрелости спор и пыльцы в момент их захоронения, с чем связана главным образом большая или меньшая четкость скульптурных признаков.

Согласно нашим исследованиям современных растений, наибольшего разнообразия и своеобразия скульптура спор пыльцевых зерен достигает у наземных растений, у которых она хорошо выражена, как *Dicksonia* и др. (рис. 1), тогда как споры и пыльца влаголюбивых и в особенности водных растений, как папоротникообразных (*Nuteporphylaceae*, *Calatariaceae* и др.), так и покрытосеменных (*Potamogeton*, *Sparganium* и др.), имеют однообразную, плохо выраженную, часто редуцированную скульптуру (рис. 1).

У некоторых водяных растений экзина вовсе исчезает (*Ceratophyllum*). Такая же зависимость экзины от типа растения наблюдается у крупных древовидных и мелких папоротников. Так, древовидные папоротники *Alsophila*, *Dicksonia* имеют споры с очень плотной экзиной и хорошо выраженной скульптурой, тогда как споры мелких папоротников — обычно с пижной экзиной и плохо выраженной скульптурой (*Nuteporphylaceae*).

Таким образом, при одинаковых экологических условиях скульптурные особенности спор и пыльцы приобретают общий облик, выражающийся в более упрощенном характере у водных растений и более сложном устройстве — у наземных.

Характер скульптуры зависит от степени зрелости спор и пыльцы. Так, в одном слое споры обнаруживают различную степень выраженности скульптурных признаков, в зависимости от различной зрелости спор отдельных экземпляров одного растения в момент их захоронения.

Изменение скульптуры спор и пыльцы во времени обусловлено двумя причинами: во-первых, эволюцией данного вида растения, и, во-вторых, изменением условий существования. Как в первом, так и во втором случае скульптурные изменения хорошо выражены в спорах со сложной скульптурой, тогда как у форм с простой скульптурой изменение выражается только в увеличении или уменьшении размера спор и пыльцы (рис. 6).

Так, например, *Lophozonotriletes* Naum. в стратиграфическом разрезе франского яруса имеет снизу следующие изменения. В нижних частях нижногровских слоев споры этой подгруппы встречаются единично, они небольшого размера, скульптурные особенности плохо выражены — бугорки мелкие и неясно очерченные. В петинских слоях, где формы данной подгруппы являются преобладающими, споры очень крупные и имеют хорошо выраженную скульптуру — бугорки очень крупные и резко очерченные (рис. 6).

Таким образом, под видом в данном случае надо понимать известную историческую ступень в морфологической эволюции спор и пыльцы.

В период появления новых подгрупп и групп спор и пыльцы и, в особенности, в период их максимального расцвета наблюдается большое разнообразие мало отличных или морфологически близких видов спор и пыльцы, а также их широкое площадное и вертикальное распространение. В период угасания количество форм резко уменьшается, встречаемость их единичная или эпизодическая, и представлены они четкими, резко отличными группами.

Г л а с а IV

БОТАНИЧЕСКАЯ ПРИНАДЛЕЖНОСТЬ СПОР И ПЫЛЬЦЫ ДЕВОНА

Ботаническое определение спор и пыльцы девона производится двумя путями: во-первых, путем сравнения ископаемых спор со спорами современных растений, во-вторых, путем сравнения ископаемых спор со спорами, извлеченными непосредственно из генеративных остатков ископаемых растений.

Ботаническое определение спор и пыльцы кайнозойских отложений, где все или почти все растения представлены современными родами, ведется преимущественно первым путем.

Споры и пыльцу более древних отложений, где большинство растений представлено вымершими группами, определяют главным образом вторым путем. Однако для девонских отложений это осложняется еще тем, что растительные остатки здесь встречаются довольно редко, они мало изучены, большая часть их представлена фрагментами побегов и реже — листьев. Истинное систематическое положение большинства до сих пор неясно, поэтому они частично до сих пор систематизированы в искусственные группы. Не установлено также еще резких границ между остатками папоротниковых растений, частью относящихся к папоротникам, частью — к итеридоспермам.

Наши исследования показали, что споры девона имеют кутинизированную оболочку и тетраэдальный рубец, характерный для современных спор *Pteridophyta* и *Bryophyta*.

При увязке девонских спор и пыльцы с растениями нами были исследованы крайне немногочисленные и разбросанные, но чрезвычайно важные литературные данные, а также лично проведены работы по изучению спор из спорангииев девонских растений, которые позволили уже до некоторой степени подойти к определению систематической принадлежности спор, хотя бы крупных таксономических единиц (группа и т. п.).

Так, крупные и мелкие гладкие споры округлого очертания со складками смятия принадлежат типу *Calamariaceae*. Подобные споры были изучены Гартунгом из карбоновых спороносных частей каменноугольных *Calamostachys* и *Palaeostachya* (Hartung, 1933). В то же время сходные гладкие формы без складок смятия были обнаружены Кидстоном и Лангом в спорангиях *Sporocarpus furcatum* Daw. из верхнего девона Америки, которые они относят к простейшим наземным растениям (кутинизированные споры) пока неизвестного систематического положения (Kidston a. Lang, 1924—1925).

Споры с изогнутыми мелкими шипами *Acanthotriletes acerosus* Naum. принадлежат группе *Articulatae*. Подобные формы были выделены Муром из спорангииев карбоновых *Sphenophyllum* (Moore, 1946).

Мелкие споры со складками смятия и мелкой шиповатой скульптурой принадлежат спорам *Marattiopsis* (по А. Ф. Николаевой).

Споры с крупными и длинными шиловидными выростами, с вильчато разветвленными окончаниями подгруппы *Archaeotriletes* Naum. имеют сходство со спорами современного водного папоротника *Azolla* (рис. 2) (А. Н. Никитин, М. Ф. Жаркова и С. Н. Наумова).

Пленчатый периспорий, согласно Муру (Moore, 1946), характерен для спор растений типа *Sphenopteris*, которые относят к карбоновым птеридоспермам.

Пленчатый периспорий по Е. М. Нокс (Knox, 1938) наблюдается также у современных спор *Selaginella* и *Lycopodialis*. Споры подгруппы *Lophozonotriletes* Naum. имеют сходство со спорами древовидных папоротников *Alsophila* (С. Н. Наумова; рис. 1).

Споры с плотным периспорием подгруппы *Archaeozonotriletes* Naum. обнаружены мною в спорангии *Sphenopteridium Keilhaui* Nath. (по определению М. Ф. Нейбург), собранном С. В. Тихомировым из березовских слоев верхнефранских отложений (рис. 3).

Верхнефранская пыльца подгруппы *Archaeoperisaccus* Naum. близка к пыльце карбоновых птеридоспермов, описанной Галле и Флорином из репродуктивных органов *Whittleseyia*, *Aulacotheca* (Halle, 1933). Пыльца этого типа представляет собою пленчатый, большей частью с хвойной шагреневостью мешок, иногда с продольной складкой, в котором заключено плотное овальное тело с одной шелью разверзания. По морфологическим признакам эта группа пыльцы близка к древним хвойным, которые встречаются также в пермских отложениях и, возможно, являются родоначальным типом *Ricaceae* (рис. 4).

Пыльца подгруппы *Perisaccus* Naum. аналогична пыльце кордантов, описанной Флорином из карбоновых спороносных частей *Potoniea Carpenteri* (Kid.) Halle и *Whittleseyia elegans* Neuberry (Florin, 1936, 1937).

Рис. 1. Споры и пыльца ископаемых и современных растений.

1 — дихотомически разветвленный побег *Sporocarpus furcatum* U. Daw. По зраю углубления расположены тетрады спор; верхний детон., $\times 50$ (по В. Десону); 2 — тетрада кутинизированных спор из спорангия *Sporocarpus furcatum* U. Daw.; верхний девон, $\times 150$ (по В. Десону); 3 — макроспоры и макроспоры *Macrostachys infundibuliformis* Br.; верхний карбон, $\times 120$ (по В. Хартунгу); 4 — макроспора *Paracalamostachys striata* Weiss; верхний карбон, $\times 170$ (по В. Хартунгу); 5 — макроспоры *Paracalamostachys striata* Weiss; верхний карбон, $\times 170$ (по В. Хартунгу); 6 — спора *Macrostachys carinata* Andr.; верхний карбон, $\times 360$ (по В. Хартунгу); 7 и 8 — споры *Calamostachys* sp.; верхний карбон, $\times 380$ (по Л. Муру); 9 — спора *Sphenophyllostachys* cf. *mojicus* Brunn.; верхний карбон, $\times 380$ (по Л. Муру); 10 — споры современной *Trichomanes scandens*, $\times 500$ (по С. Н. Наумовой); 11 — макроспоры современного *Salvinia natans* L., $\times 200$ (по М. А. Седовой); 12 и 13 — пыльца современного *Potamogeton natans* L., $\times 400$ (по С. Н. Наумовой); 14 — спора *Dicroidium arboreum* L. Herit., $\times 600$; 15 — спора *Sphenopteris* sp., верхний карбон, $\times 380$ (по Л. Муру); 16 — спора *Selaginella rupestris*, $\times 500$ (по Е. Нокс); 17 — спора *Alsophila chimaeraensis*, $\times 500$ (по Е. Нокс).

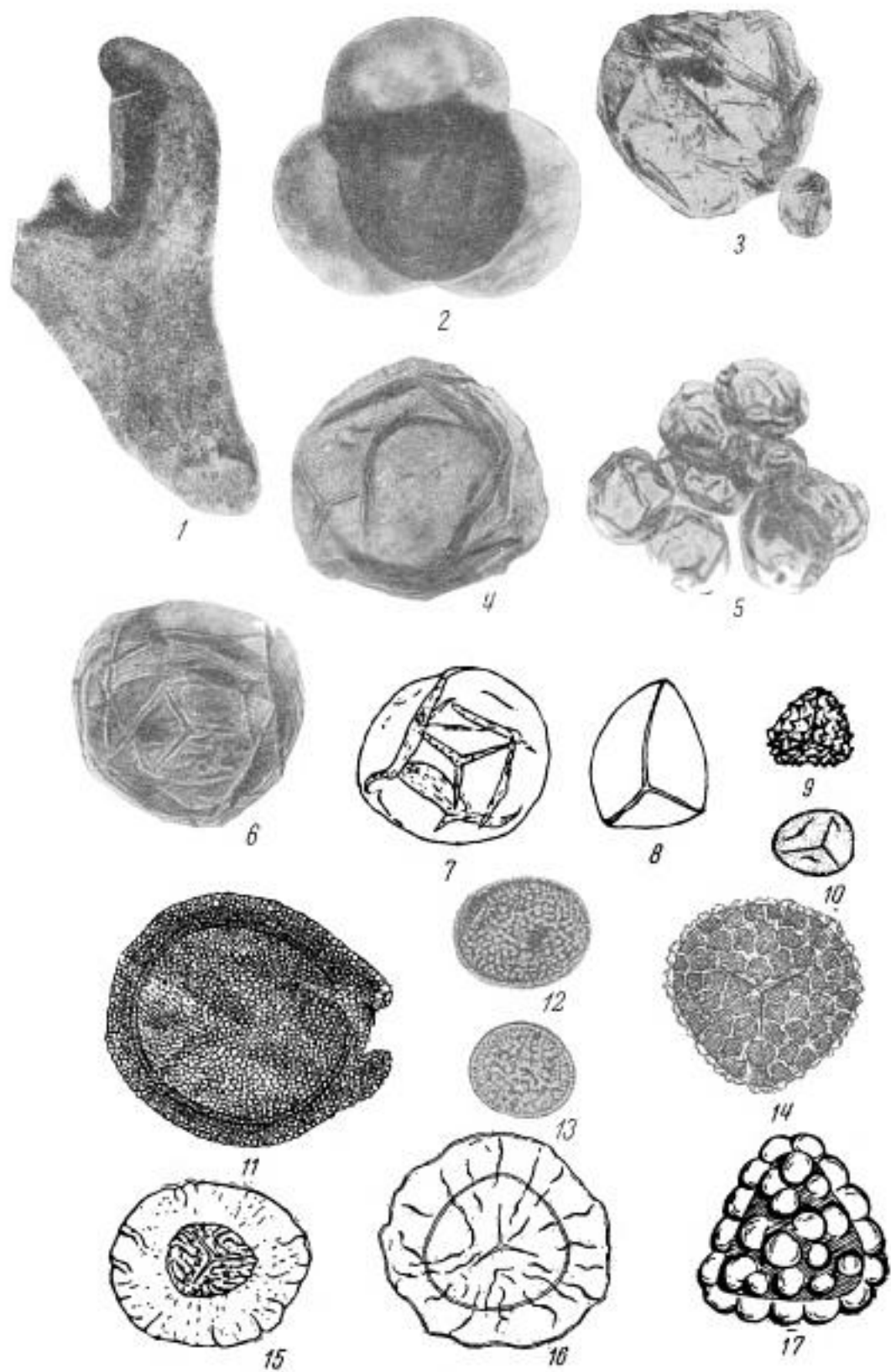


FIG. 1

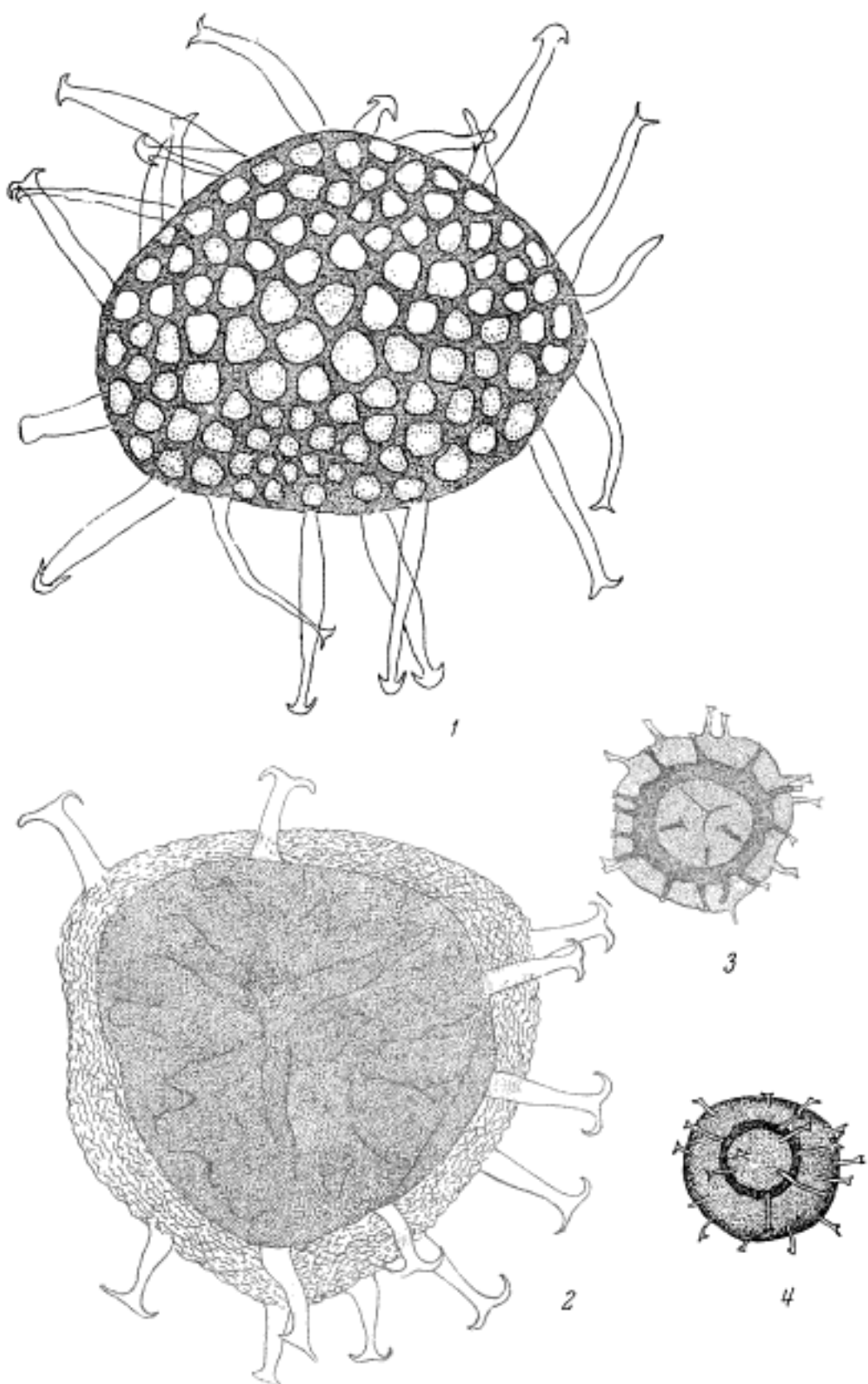


Рис. 2. Споры современные и ископаемые.

1 — спора современного первичного папоротника *Azolla*, $\times 400$ (по С. Н. Наумовой); 2 и 3 — девонские споры типа *Azolla*, $\times 400$ (по С. Н. Наумовой); 4 — споры типа *Azolla* из позднего силура Прибалтики, $\times 400$ (по С. Н. Наумовой).

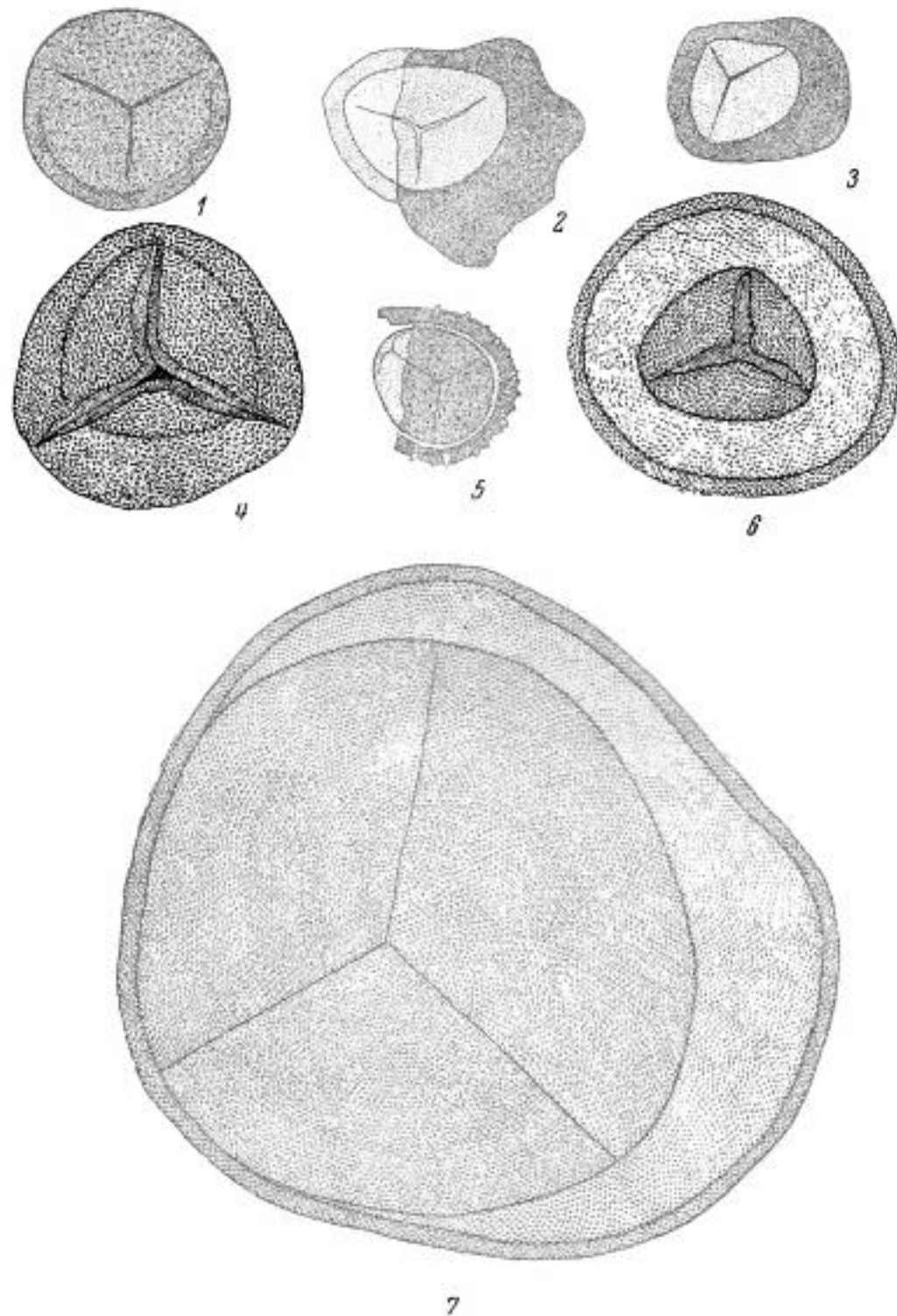


Рис. 3. Споры с плотным периспорием подгруппы *Archaeozonotriletes* Naum.
 1 — споры из спорангия *Sphenopteridium Keilhau* Nath.; верхний девон, $\times 400$ (по С. Н. Наумовой);
 2 и 3 — *Archaeozonotriletes variabilis* Naum., $\times 400$; 4 — *Archaeozonotriletes primarius* Naum.,
 $\times 400$; 5 — *Archaeozonotriletes fastuosus* Naum., $\times 400$; 6 — *Archaeozonotriletes micromorphus festus*
 Naum., $\times 400$; 7 — *Archaeozonotriletes macromanifestus* Naum., $\times 400$.

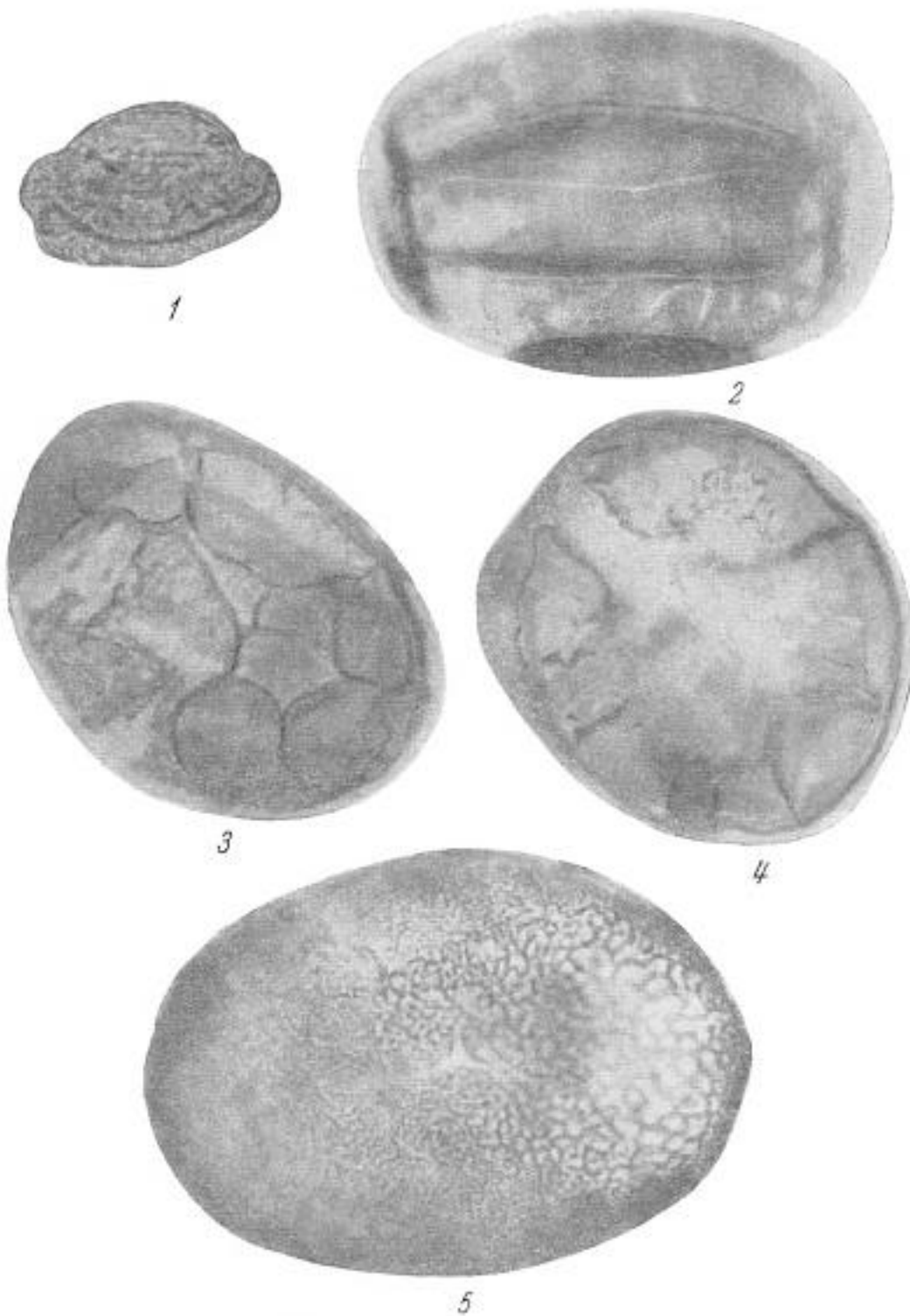


Рис. 4. Пыльца голосеменных.

1 — пыльца современного *Pinus sylvestris*, $\times 500$ (по Г. Любуа); 2 — пыльца стерадоспермов *Goldenbergia glomerata* Hall. Средний карбон, $\times 240$ (по Г. Галле); 3 и 4 — пыльца корлантов *Stekhanospermum akenoides* Br. Средний карбон, $\times 400$ (по Г. Галле); 5 — пыльца корлантов *Cordaites*; средний карбон, $\times 400$ (по Р. Флорину).

Аналогичные формы пыльцы нами наблюдались в каменноугольных и, в особенности, нижнепермских отложениях.

В настоящей работе изучены преимущественно микроспоры, так как они встречаются в большом количестве экземпляров и представлены многочисленными видами; небольшая часть спор относится к мегаспорам. Наиболее ясно выраженные мегаспоры отличаются толстым, рыхлозернистым периспорием с очень длинными и утолщенными выростами, типа *Kryshtofovichia Africana* Nik. Мегаспоры встречаются относительно часто в девонских отложениях, но они более однообразны, чем микроспоры, и пока их стратиграфическое значение не выяснено.

Глава V

КЛАССИФИКАЦИЯ СПОР И ПЫЛЬЦЫ ДЕВОНА

Большинство растений девона, к которым принадлежат исследованные нами споры, представлены не только вымершими родами, но даже семействами и классами. Поэтому весьма небольшая часть листовых отпечатков напоротниквидных растений палеозоя поддается естественной классификации, и для практических целей большая часть их издавна группируется по искусственной классификации, по ряду морфологических признаков (форма вайи, сегментов, жилкования и т. п.).

При подобной классификации иногда родственные, близкие формы попадают в удаленные друг от друга группы и, наоборот, совершенно различные по происхождению и систематическому положению типы — в один род (Криштофович, 1941).

«Однако,— как указывает А. Н. Криштофович,— не имея иного выхода, не приходится все же пока отказываться от применения искусственной системы, дающей возможность различать формы отпечатков и характеризовать те или иные горизонты, что бы ни скрывалось под этим названием,— это диктуется чисто практическими запросами».

«Сборность искусственной системы палеозойских напоротников осложняется еще тем, что среди них мы с несомненностью узнаём некоторые саговники и беннеттиты, по характеру вайи не отличимые от напоротников» (Криштофович, 1941).

Разработка филогенетической классификации палеозойских спор и пыльцы встречает еще большие затруднения, так как растительные отпечатки с органами размножения, откуда можно было бы для сравнения изучить споры, встречаются еще реже, чем вегетативные. Исходя из вышеизложенного, классификацию спор и пыльцы приходится пока строить главным образом на морфологических принципах, с учетом особенностей лишь крупных систематических групп естественной системы.

В настоящей работе при изложении принята разработанная мною классификация спор и пыльцы (Наумова, 1937), несколько дополненная в последние годы. Эта классификация основана на генетических и морфологических началах. Так, крупные таксономические единицы, как отделы и классы спор и пыльцы, группируются по естественной классификации. Более мелкие, как группа (семейство) и подгруппа (род) большей частью группируются по морфологической классификации, за исключением некоторых, привязанных к растениям. Существенный признак, положенный в основу классификации спор и пыльцы,— это наличие и характер щели разверзания, при помощи которой происходит прорастание спор и пыльцы.

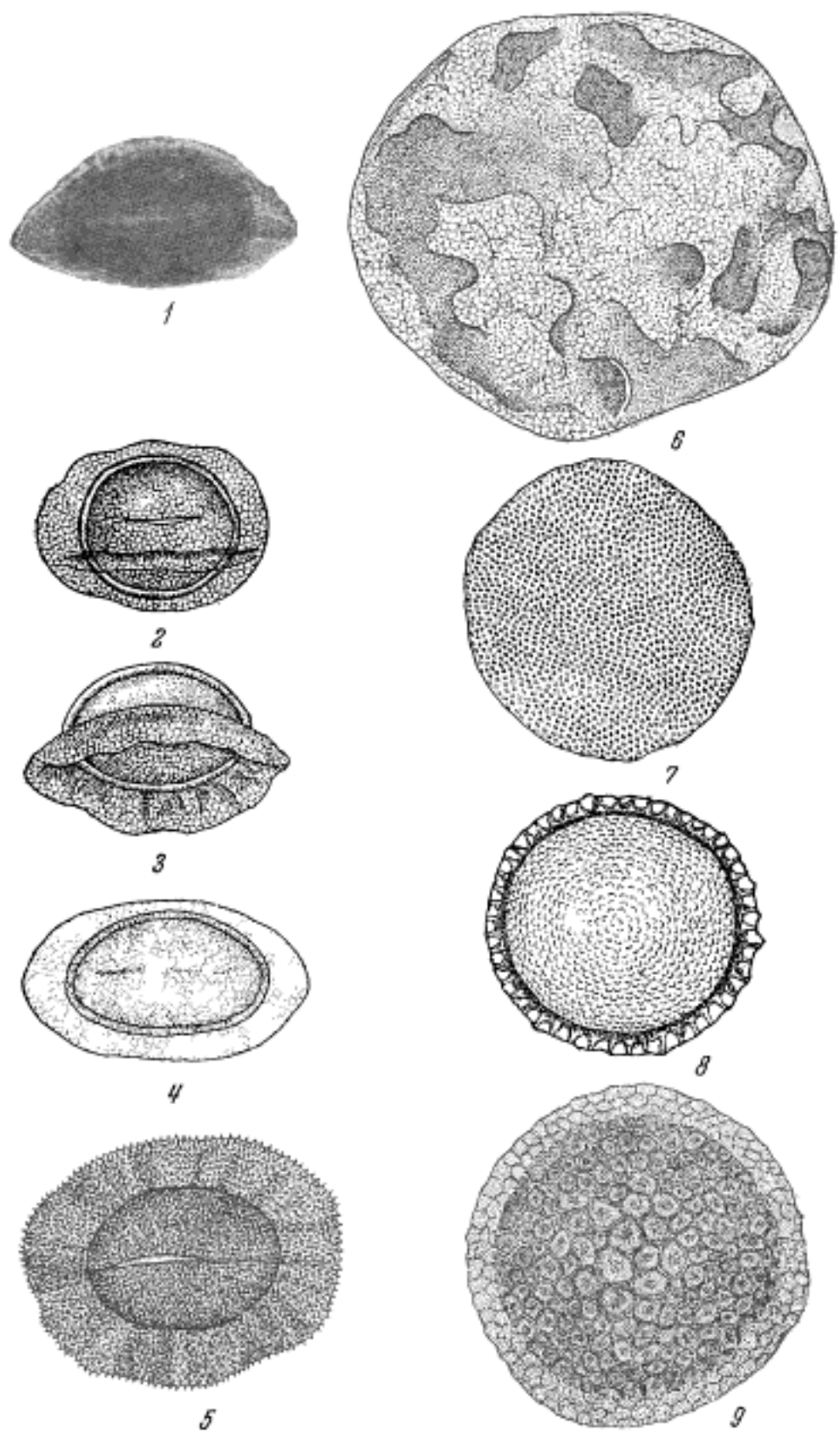


Рис. Пыльца голосеменных верхнего девона.
1 - 5 - пыльца тип $\times 500$; 6 - 9 - пыльца типа нордальтов, $\times 400$.

Ярусы	Свилты и слои	№ компл.	<i>Lophozonotriletes</i> Naum	<i>Retusotriletes</i> Naum
<i>C₁</i>	Малевко-мураевинские			
<i>D₃²</i>	Данново-лебедянские	II		
	Елецкие	III		
<i>D₃¹</i>	Ефлановские	VI		
	Воронежские	VII		
<i>D₃¹</i>	Летинские	VIII		
	Семилукские	X		
<i>D₂¹</i>	Щигровские	XII		
		XIV		
<i>D₂²</i>	Старооскольские	XV		
<i>D₂¹</i>	Рязанско-морсодельские	XVII		
<i>D₁</i>		XIX		

Рис. 6. Морфогенез спор девона.

У папоротникообразных растений, в зависимости от типа формирования спор в тетрадах, различаются споры с трехлучевой — *Triletes* R. и с однолучевой щелью разверзания — *Monoletes* Ibr. Споры с трехлучевой щелью разверзания характерны для большинства современных Pteridophyta и Bryophyta. Споры с однолучевой щелью разверзания наблюдаются только у некоторых папоротников типа Polyurodaceae.

Дальнейшее подразделение ведется по морфологическим признакам. Группы выделяются по наличию оторочки — *Zonotriletes* W. или по ее отсутствию — *Azonotriletes* Lub.

Подгруппы спор, которые соответствуют родам по естественной классификации, определяются по характеру скульптуры. Группа *Azonotriletes* Lub. разделяется на следующие подгруппы: гладкие — *Leiotriletes* Naum., шагреневые — *Trachytriletes* Naum., шиповатые — *Acanthotriletes* Naum., бугорчатые — *Lophotriletes* Naum., сетчатые — *Dictyotriletes* Naum. и с вильчато-утолщенным окончанием шипов — *Archaeotriletes* Naum., с хорошо выраженным ареем — *Retusotriletes* Naum.

Группа *Zonotriletes* W. разделяется на девять подгрупп, из которых только 5 встречаются в девоне: *Archaeozonotriletes* Naum.— споры с плотным периспорием, выступающим по краю в виде оторочки, *Hymenogonotriletes* Naum.— споры с пленчатым периспорием, выступающим по краю в виде пленчатой оторочки, *Stenozonotriletes* Naum.— споры без периспория, с узкой оторочкой, *dorhozonotriletes* Naum.— споры с плотным периспорием, по краю с крупными бугорками, *Catagogonotriletes* Naum.— споры, у которых оторочка развита только по граням, на углах она сходит на нет, что характерно для некоторых спор современных растений типа Cyatheaceae.

Пыльца голосеменных в девоне представлена двумя подгруппами: *Archaeoperissacis* Naum.—пыльца с одним овальным воздушным мешком, в котором заключено овальное тело, и *Perissacis* Naum.—пыльца с одним округлым мешком и телом, заключенным в него (рис. 5).

Выделение видов в пределах подгрупп производится по более мелким признакам, как-то: характеру распределения бугорков, величине шипиков, бугорков и т. п.

Виды спор и пыльцы представляют собой определенную историческую ступень морфологической их эволюции, обусловленной сменой условий произрастания исходных растений, и, конечно, не равнозначны понятию вида у растений вообще.

Выделение групп в условной морфологической классификации, естественно, может и должно вызывать многочисленные вопросы; от правильной оценки систематического значения признаков, положенных в основу искусственной системы, зависит легкость последующего перехода к естественной классификации.

В силу этого едва ли можно считать правильным выделение в рамках морфологической классификации чрезвычайно большого числа обособленных (родовых) групп по признакам невысокого систематического значения (форма тела, очертание и т. п.). Такая практика, на первый взгляд облегчающая систематизацию материала, на самом деле резко затрудняет ее, уводя исследователя на чисто формальные пути описания одной формы под разными названиями.

Это сильно осложняет переход от искусственной классификации к последующей естественной системе, тому идеалу, к которому в конечном итоге должны стремиться палеоботанические исследователи.

Г л а в а VI

МОРФОЛОГИЧЕСКОЕ ОПИСАНИЕ СПОР И ПЫЛЬЦЫ ДЕВОНА

А. СРЕДНИЙ ДЕВОН

Ж и з е т с к и й я р у с

Низы верхнетерригенного комплекса

Споры типа Pteridophyta и Bryophyta

Группа *Triletes* R.

Подгруппа *Leiotriletes* Naumova, 1937

1. *Leiotriletes microrugosus* (Ibr.) Naum.

Табл. I, фиг. 1

1933. *Laevigati sporites microrugosus* Ibrahim. Sporenformen des Aegirhorizontes des Rhur Reviers, стр. 18, табл. II, фиг. 12а, б, с.

1938. *Axonotriletes microrugosus* (Ibr.) Waltz. Любер А. А. и Вальц И. Э. Классификация и стратиграфическое значение спор некоторых каменноугольных месторождений СССР Тр. ЦНИГРИ, вып. 105, табл. I, фиг. 1.

Местонахождение: Калужская область, низы верхнетерригенного комплекса, верхи старооскольских слоев.

$d^1 = 0,030-0,040$ мм. Цвет желтый.

Споры типа *Calamariaceae*.

Распространение: широко распространена от силура до мела.

2. *Leiotriletes simple*. Naum. sp. n.

Табл. I, фиг. 2

Голотип. ИГН № 3450/3069.

Местонахождение: Калужская область, низы верхнетерригенного комплекса, верхи старооскольских слоев.

$d = 0,030-0,035$ мм. Цвет желтый.

Очертания споры округло-треугольное, экзина плотная, гладкая. Лучи щели равны или немного меньше радиуса тела споры.

Распространение: широко распространена от девона до третичного периода.

3. *Leiotriletes laevis* Naum. sp. n.

Табл. I, фиг. 3

Голотип. ИГН № 3450/3069.

Местонахождение: Калужская область, низы верхнетерригенного комплекса, верхи старооскольских слоев.

$d = 0,020-0,025$ мм. Цвет желтый.

Спора имеет треугольное очертание. Поверхность экзины гладкая. Щель разверзания трехлучевая, простая. Лучи щели равны или немного меньше радиуса тела споры.

Распространение: широко распространена от девона до третичного периода.

¹ d — диаметр споры.

4. *Leiotriletes furcatus* Naum. sp. n.

Табл. I, фиг. 4

Голотип. ИГН № 3450/3069.

Местонахождение: Калужская область, низы верхнетерригенного комплекса, верхи старооскольских слоев.

$d = 0,025-0,030$ мм. Цвет темножелтый.

Спора по очертаниям треугольная. Экзина плотная, толстая, поверхность ее гладкая. Щель разверзания трехлучевая, простая. По углам споры близ окончания лучей щели имеются мозолевидные утолщения.

Данная форма имеет сходство со спорой типа *Dicksonia*.

Распространение: встречается единично в отложениях юрского и франского ярусов Русской платформы.

5. *Leiotriletes devonicus* Naum. sp. n.

Табл. I, фиг. 5

Голотип. ИГН № 3450/3069.

Местонахождение: Калужская область, низы верхнетерригенного комплекса, верхи старооскольских слоев.

$d = 0,020-0,028$ мм. Цвет темножелтый.

Очертание споры треугольное. Экзина плотная, толстая, гладкая, с прямыми или несколько выпуклыми гранями. Край споры утолщен. Щель разверзания трехлучевая, простая. Лучи щели равны радиусу тела споры.

Распространение: нижний и средний девон.

6. *Leiotriletes rotundus* Naum. sp. n.

Табл. I, фиг. 6

Голотип. ИГН № 3450/3069.

Местонахождение: Калужская область, низы верхнетерригенного комплекса, верхи старооскольских слоев.

$d = 0,040-0,045$ мм. Цвет желтый.

Очертание споры круглое. Экзина тонкая, поверхность ее гладкая. Щель разверзания трехлучевая, простая. Лучи щели равны или немногим меньше радиуса тела споры.

Распространение: широко распространена от девона до мела.

7. *Leiotriletes pullatus* Naum. sp. n.

Табл. I, фиг. 7

Голотип. ИГН № 3450/3069.

Местонахождение: Калужская область, низы верхнетерригенного комплекса, верхи старооскольских слоев.

$d = 0,040-0,050$ мм. Цвет темножелтый.

Спора имеет округлое очертание. Экзина плотная, толстая. Поверхность экзины гладкая. Щель разверзания трехлучевая, простая.

Распространение: девон, карбон, пермь.

8. *Leiotriletes atavus* Naum. sp. n.

Табл. I, фиг. 8

Голотип. ИГН № 3450/3069.

Местонахождение: Калужская область, нижняя часть верхнетерригенного комплекса, старооскольские слои.

$d = 0,050-0,060$ мм. Цвет светложелтый.

Очертание споры округлое. Экзина плотная, гладкая, между лучами утолщенная, а поэтому более темная. Щель разверзания трехлучевая, простая. Лучи щели равны половине радиуса тела споры.

Распространение: средний и верхний девон.

9. *Leiotriletes nigratus* Naum. sp. n.

Табл. I, фиг. 9

Голотип. ИГН № 3450/3069.

Местонахождение: Калужская область, низы верхнетерригенного комплекса.

$d = 0,060-0,070$ мм. Цвет темножелтый.

Спора имеет округлое очертание. Экзина плотная, часто смята в складки. Поверхность экзины гладкая. Щель разверзания трехлучевая, простая. Лучи щели равны одной трети радиуса тела споры. Экзина между лучами утолщенная, поэтому более темная.

Распространение: средний и верхний девон Русской платформы.

Подгруппа *Trachytriletes* Naumova, 1937

10. *Trachytriletes minor* Naum. sp. n.

Табл. I, фиг. 10

Голотип. ИГН № 3450/3069.

Местонахождение: Калужская область, нижняя часть верхнетерригенного комплекса старооскольских слоев.

$d = 0,020-0,025$ мм. Цвет желтый.

Очертание споры треугольное. Экзина тонкая, поверхность ее шагреньевая. Щель разверзания трехлучевая, простая. Лучи щели равны или немного меньше радиуса тела споры.

Распространение: средний и верхний девон.

Подгруппа *Acanthotriletes* Naumova, 1937

11. *Acanthotriletes spinellosus* Naum. sp. n.

Табл. I, фиг. 11, 12

Голотип. ИГН № 3450/3069.

Местонахождение: Калужская область, низы верхнетерригенного комплекса старооскольских слоев.

$d = 0,030-0,060$ мм. Цвет желтый.

Спора по очертаниям округло-треугольная. Экзина тонкая, поверхность ее покрыта мелкими и редкими шипиками. Щель разверзания трехлучевая, простая. Лучи щели равны радиусу тела споры или несколько меньше его.

Распространение: верхи живетского яруса.

12. *Acanthotriletes inferus* Naum. sp. n.

Табл. I, фиг. 13, 14

Голотип. ИГН № 3450/2356.

Местонахождение: Башкирская АССР, Туймаза, верхи живетского яруса.

$d = 0,060-0,070$ мм. Цвет желтый.

Очертание споры треугольное или округло-треугольное. Экзина плотная, покрыта частыми и очень короткими шипиками с несколько расширенными основаниями. Щель разверзания трехлучевая, с несколько приподнятыми краями. Лучи щели равны радиусу тела споры.

Распространение: верхи живетского яруса.

13. *Acanthotriletes usitatus* Naum. sp. n.

Табл. I, фиг. 15

Голотип. ИГН № 2450/3069.

Местонахождение: Калужская область, нижняя часть верхнетерригенного комплекса старооскольских слоев.

$d = 0,030-0,035$ мм. Цвет желтый.

Спора имеет треугольное очертание. Поверхность экзины покрыта плотно прилегающими друг к другу прямыми шипиками, более крупными, чем у *Ac. inferus* Naum. Щель разверзания трехлучевая, простая. Лучи щели равны радиусу тела споры.

Распространение: нижняя часть верхнетерригенного комплекса, живетский ярус.

14. *Acanthotriletes parvispinosus* Naum. sp. n.

Табл. I, фиг. 16

Голотип. ИГН № 3450/3069.

Местонахождение: Калужская область, нижняя часть верхнетерригенного комплекса старооскольских слоев.

$d = 0,015-0,020$ мм. Цвет желтый.

Спора по очертаниям треугольная, поверхность покрыта частыми, мелкими, прямыми шипиками. Щель разверзания трехлучевая, простая. Лучи щели равны радиусу тела споры. Форма отличается от *Ac. usitatus* Naum. меньшим размером.

Распространение: верхи живетского яруса.

15. *Acanthotriletes tenuispinosus* Naum. sp. n.

Табл. I, фиг. 17

Голотип. ИГН № 3450/3069.

Местонахождение: Калужская область, низы верхнетерригенного комплекса старооскольских слоев.

$d = 0,040-0,050$ мм. Цвет желтый.

Очертание споры треугольное. Поверхность экзины покрыта плотно прилегающими друг к другу, относительно короткими и тонкими шипиками. Щель разверзания трехлучевая, простая, лучи щели равны радиусу тела споры.

Распространение: верхи живетского яруса.

16. *Acanthotriletes impolitus* Naum. sp. n.

Табл. I, фиг. 18

Голотип. ИГН № 3450/3069.

Местонахождение: Калужская область, низы верхнетерригенного комплекса старооскольских слоев.

$d = 0,030-0,040$ мм. Цвет желтый.

Спора имеет треугольное очертание. Экзина покрыта плотно прилегающими друг к другу укороченными шипиками. Щель разверзания трехлучевая, простая. Лучи щели почти равны радиусу тела споры.

Распространение: верхи живетского яруса.

17. *Acanthotriletes serratus* Naum. sp. n.

Табл. I, фиг. 19, 20

Голотип. ИГН № 3450/3069.

Местонахождение: Калужская область, низы верхнетерригенного комплекса, верхи старооскольских слоев.

$d = 0,040-0,050$ мм. Цвет темножелтый.

Очертание споры треугольное. Экзина толстая, покрыта плотно прилегающими друг к другу тонкими изогнутыми шипиками с расширенными основаниями. Щель разверзания трехлучевая, простая. Лучи щели равны радиусу тела споры.

Распространение: верхи живетского яруса.

18. *Acanthotriletes heterodontus* Naum. sp. n.

Табл. I, фиг. 21

Голотип. ИГН № 3450/3069.

Местонахождение: Калужская область, низы верхнетерригенного комплекса, верхи старооскольских слоев.

$d = 0,050-0,060$ мм. Цвет темножелтый.

Спора имеет треугольное очертание. Экзина толстая. Поверхность экзины покрыта удлиненными шипиками, с бокалообразными утолще-

ниями на окончаниях. На некоторых шипиках указанные утолщения сохранились, на других—нет, и они имеют заостренные окончания. Щель разверзания трехлучевая, простая. Лучи щели равны радиусу тела споры.

Распространение: верхи живетского яруса.

19. *Acanthotriletes correctus* Naum. sp. n.

Табл. I, фиг. 22

Голотип. ИГН № 3450/3069.

Местонахождение: Калужская область, низы верхнетерригенного комплекса, верхи старооскольских слоев.

$d = 0,040\text{--}0,050$ мм. Цвет темно-желтый.

Спора имеет округло-треугольное очертание. Экзина толстая. Поверхность ее покрыта редкими, очень короткими, утолщенными у основания шипиками. Щель разверзания трехлучевая, простая, лучи щели равны радиусу тела споры.

Распространение: низы верхнетерригенного комплекса, верхи старооскольских слоев.

20. *Acanthotriletes uncatus* Naum. sp. n.

Табл. I, фиг. 23, 24

Голотип. ИГН № 3450/3069.

Местонахождение: Калужская область, низы верхнетерригенного комплекса, верхи старооскольских слоев.

$d = 0,040\text{--}0,045$ мм. Цвет темно-желтый.

Очертание споры треугольное. Экзина толстая. Поверхность ее покрыта редкими, относительно крупными, часто на окончаниях срезанными шипиками с расширенными основаниями. Щель разверзания трехлучевая, простая. Лучи щели равны радиусу тела споры.

Распространение: верхи живетского и низы франского ярусов.

Подгруппа *Archaeotriletes* Naumova gen. nov.

21. *Archaeotriletes crassus* Naum. sp. n.

Табл. I, фиг. 25

Голотип. ИГН № 3450/3069.

Местонахождение: Калужская область, низы верхнетерригенного комплекса, верхи старооскольских слоев.

$d = 0,100\text{--}0,120$ мм. Цвет темно-желтый.

Спора имеет округлое очертание. Экзина очень толстая. Поверхность покрыта редкими, длинными, утолщенными выростами с расширением на окончаниях. Щель разверзания трехлучевая, плохо заметна.

Распространение: верхняя часть живетского яруса.

Подгруппа *Lophotriletes* Naumova, 1937

22. *Lophotriletes rugosus* Naum.

Табл. II, фиг. 1

1950. *Lophotriletes rugosus* Naum. Н а у м о в а С. И. Споры нижнего силура. Тр. Конфер. по спорово-пыльцев. анализу 1948 г. Изд. МГУ Табл. II, фиг. 6.

Местонахождение: Калужская область, низы верхнетерригенного комплекса, верхи старооскольских слоев.

$d = 0,050-0,055$ мм. Цвет желтый.

Очертание споры округлое. Экзина тонкая, имеет складки смятия. Поверхность ее покрыта плотно прилегающими друг к другу очень мелкими бугорками. Щель разверзания трехлучевая, простая. Лучи щели равны радиусу тела споры или немного меньше его.

Распространение: верхи живетского и франского ярусов девона, силур.

23. *Lophotriletes sul-rotundatus* Naum. sp. n.

Табл. II, фиг. 2

Голотип. ИГН № 3450/3069.

Местонахождение: Калужская область, низы верхнетерригенного комплекса, верхи старооскольских слоев.

$d = 0,050-0,060$ мм. Цвет желтый.

Спора имеет округлое очертание. Экзина плотная, без складок смятия, свойственных *Lophotriletes rugosus* Naum., с которой данная спора имеет сходство по скульптуре. Поверхность экзины покрыта очень мелкими и плотно прилегающими друг к другу бугорками.

Щель разверзания трехлучевая, простая. Лучи щели равны радиусу тела споры.

Распространение: верхи живетского яруса и франский ярус.

24. *Lophotriletes minusculus* Naum. sp. n.

Табл. II, фиг. 3

Голотип. ИГН № 3450/3069.

Местонахождение: Калужская область, низы верхнетерригенного комплекса, верхи старооскольских слоев.

$d = 0,020-0,030$ мм. Цвет желтый.

Очертание споры треугольное. Экзина толстая. Поверхность ее покрыта частыми, плотно прилегающими друг к другу мелкими бугорками. Щель разверзания трехлучевая, простая.

Распространение: верхи живетского яруса.

25. *Lophotriletes fastuosus* Naum. sp. n.

Табл. II, фиг. 4

Голотип. ИГН № 3450/3069.

Местонахождение: Калужская область, низы верхнетерригенного комплекса, верхи старооскольских слоев.

$d = 0,060-0,065$ мм. Цвет желтый.

Спора по очертаниям треугольная. Экзина толстая, поверхность ее покрыта очень частыми и более крупными, чем у *Lophotriletes rugosus* Naum. округлыми бугорками. Щель разверзания трехлучевая, простая. Лучи щели равны радиусу тела споры.

Распространение: верхи живетского яруса.

26. *Lophotriletes granulosus* Naum. sp. n.

Табл. II, фиг. 5

Голотип. ИГН № 3450/3069.

Местонахождение: Калужская область, низы верхнетерригенного комплекса, верхи старооскольских слоев.

$d = 0,060-0,070$ мм. Цвет темно-желтый.

Очертание споры треугольное. Экзина толстая. Поверхность ее покрыта относительно крупными округлыми бугорками, плотно прилегающими друг к другу. Щель разверзания трехлучевая, простая. Лучи щели равны радиусу тела споры.

Распространение: верхи живетского яруса.

27. *Lophotriletes perpusillus* Naum. sp. n.

Табл. II, фиг. 6

Голотип. ИГН № 3450/3069.

Местонахождение: Калужская область, низы верхнетерригенного комплекса, верхи старооскольских слоев.

$d = 0,025-0,030$ мм. Цвет желтый.

Очертание споры округлое. Экзина плотная. Поверхность ее покрыта нечастыми, округлыми, относительно крупными бугорками. Щель разверзания трехлучевая, простая. Лучи щели равны или немного меньше радиуса тела споры.

Распространение: верхи живетского яруса.

Подгруппа *Dictyotriletes* Naumova, 1937

28. *Dictyotriletes minor* Naum. sp. n.

Табл. II, фиг. 7

Голотип. ИГН № 3450/3069.

Местонахождение: Калужская область, низы верхнетерригенного комплекса, верхи старооскольских слоев.

$d = 0,020-0,030$ мм. Цвет желтый.

Спора в очертании треугольная. Поверхность экзины покрыта сеткой. Ширина ячеек сетки 0,006 мм. Стенки ячеек довольно высокие и хорошо заметны по краю, имея вид шипов. Щель разверзания трехлучевая, простая.

Распространение: верхи живетского яруса, единично.

29. *Dictyotriletes nigratus* Naum. sp. n.

Табл. II, фиг. 8

Голотип. ИГН № 3450/3069.

Местонахождение: Калужская область, низы верхнетерригенного комплекса, верхи старооскольских слоев.

$d = 0,040-0,050$ мм. Цвет желтый.

Очертание споры треугольное. Экзина покрыта сеткой с утолщенными и несколько выступающими стенками клеток. Ширина ячеек сетки 0,010 мм. Щель разверзания трехлучевая, простая. Лучи щели равны радиусу тела споры.

Распространение: верхи живетского яруса, единично.

Подгруппа *Retusotriletes* Naumova gen. nov.

Споры с ясно выраженным тремя полукруглыми углублениями (арея), расположенными на поверхности соприкосновения спор в материнской клетке, т. е. на внутренней стороне споры, где остаются тетраэдные рубцы.

30. *Retusotriletes simplex* Naum. sp. n.

Табл. II, фиг. 9

Голотип. ИГН № 3450/3069.

Местонахождение: Калужская область, низы верхнетерригенного комплекса, верхи живетского яруса.

$d = 0,030-0,035$ мм. Цвет желтый.

Спора имеет округлое очертание. Поверхность экзины гладкая. Щель разверзания трехлучевая, простая. Лучи щели равны радиусу тела споры. Близ окончания лучей имеются полукруглые углубления — арея.

Распространение: средний и верхний девон.

31. *Retusotriletes verruculatus* Naum. sp. n.

Табл. II, фиг. 10

Голотип. ИГН № 3450/3069.

Местонахождение: Калужская область, низы верхнетерригенного комплекса, верхи старооскольских слоев.

$d = 0,040-0,045$ мм. Цвет желтый.

Спора имеет треугольное очертание. Экзина тонкая. Поверхность экзины покрыта мелкими, тесно прилегающими друг к другу бородавками. Щель разверзания трехлучевая, простая, с извилистыми краями. Лучи щели равны радиусу тела споры. Арея плохо заметна.

Распространение: средний и верхний девон.

32. *Retusotriletes sulcillerosus* Naum. sp. n.

Табл. II, фиг. 11

Голотип. ИГН № 3450/3069.

Местонахождение: Калужская область, низы верхнетерригенного комплекса, верхи старооскольских слоев.

$d = 0,080-0,095$ мм. Цвет желтый.

Спора в очертании округло-треугольная. Экзина толстая, поверхность ее покрыта плотно прилегающими друг к другу, сравнительно крупными (0,002 мм) бугорками. Щель разверзания трехлучевая, с утолщенным краем. Лучи щели равны радиусу тела споры. Арея хорошо выражена.

Распространение: живетский ярус

Подгруппа *Archaeozonotriletes* Naumova gen. nov.

Споры с хорошо развитым плотным периспорием, который выступает по краю тела в виде оторочки. Поверхность периспория и экзина гладкая или имеет различную скульптуру — бугорки, шипики и т. д., по которой выделяются виды.

33. *Archaeozonotriletes variabilis* Naum. sp. n.

Табл. II, фиг. 12, 13

Голотип. ИГН № 3450/3069.

Местонахождение: Калужская область, низы верхнетерригенного комплекса, верхи старооскольских слоев.

$d = 0,050\text{--}0,055$ мм. Цвет темно-желтый.

Очертание споры округло-треугольное, периспорий плотный, гладкий, с неровным краем. Экзина толстая, с узкой оторочкой. Поверхность экзины гладкая. Щель разверзания трехлучевая, простая. Лучи щели равны радиусу тела споры.

Распространение: нижнефранкские слои и живетский ярус.

34. *Archaeozonotriletes confusus* Naum. sp. n.

Табл. II, фиг. 14

Голотип. ИГН № 3450/3069.

Местонахождение: Калужская область, низы верхнетерригенного комплекса, верхи старооскольских слоев.

$d = 0,075\text{--}0,080$ мм. Цвет желтый.

Очертание споры округло-треугольное. Периспорий утолщенный, узко отороченный. Поверхность периспория шагреневая. Экзина треугольная с вытянутыми углами, диаметр экзины 0,045 мм. Щель разверзания трехлучевая, простая. Лучи щели равны радиусу тела споры.

Распространение: верхи живетского яруса.

35. *Archaeozonotriletes purus* Naum. sp. n.

Табл. II, фиг. 15

Голотип. ИГН № 3450/3069.

Местонахождение: Калужская область, низы верхнетерригенного комплекса, верхи старооскольских слоев.

$d = 0,030\text{--}0,035$ мм. Цвет желтый.

Спора имеет округлое очертание. Периспорий плотный, гладкий, по краю узко отороченный. Тело споры округлое, обычно смешено в одну сторону. Щель разверзания трехлучевая, простая. Лучи щели равны радиусу тела споры.

Распространение: старооскольские слои.

36. *Archaeozonotriletes macromanifestus* Naum.

Табл. II, фиг. 16

Паратип. ИГН № 3450/3069.

Местонахождение: Калужская область, низы верхнетерригенного комплекса, верхи старооскольских слоев.

$d = 0,180-0,190$ мм. Цвет темноожелтый.

Очертание споры округлое. Периспорий плотный, поверхность его покрыта плотно прилегающими друг к другу мелкими бугорками. Край периспория узко отороченный. Тело споры округлое или округло-треугольное, большей частью смещено к одной стороне. Ширина тела 0,140 мм. Щель разверзания трехлучевая, простая. Лучи щели равны радиусу тела споры.

Распространение: верхнекиветский ярус

37 *Archaeozonotriletes lasius* Naum. sp. n. var. *major* Naum. v. n.

Табл. II, фиг. 17

Голотип. ИГН № 3450/3069.

Местонахождение: Калужская область, низы верхнетерригенного комплекса, верхи старооскольских слоев.

$d = 0,060-0,065$ мм. Цвет темноожелтый.

Спора имеет округлое очертание, периспорий плотный со слабо шагрневой поверхностью, по краю узко отороченный и слабо волнистый; тело споры округлое с диаметром 0,050 мм. Щель разверзания трехлучевая, простая. Лучи щели равны радиусу тела споры.

Распространение: живетский ярус.

38. *Archaeozonotriletes micromanifestus* Naum. sp. n.

Табл. II, фиг. 18

Голотип. ИГН № 3450/3069.

Местонахождение: Калужская область, низы верхнетерригенного комплекса, верхи старооскольских слоев.

$d = 0,100-0,120$ мм. Цвет темноожелтый.

Спора в очертании округло-треугольная. Периспорий плотный, по краю узко отороченный. Поверхность периспория покрыта плотно прилегающими друг к другу мелкими бугорками. Тело треугольное, радиус тела в два раза меньше радиуса периспория. Щель разверзания трехлучевая, простая. Лучи щели равны радиусу тела споры.

Данная спора близка к споре *Arch. macromanifestus* Naum., от которой отличается ясно выраженным треугольным очертанием, небольшим размером и несколько большим размером бугорков.

Распространение: низы франского и верхи живетского ярусов.

39. *Archaeozonotriletes micromanifestus* Naum. sp. n. var. *minor* Naum. v. n.

Табл. II, фиг. 19

Голотип. ИГН № 3450/3069.

Местонахождение: Калужская область, низы верхнетерригенного комплекса, верхи старооскольских слоев.

$d = 0,035-0,045$ мм. Цвет темноожелтый.

Данная форма аналогична одноименной форме, описанной нами из яблоновской свиты Заволжья.

Распространение: широко распространена в отложениях франского и живетского ярусов.

40. *Archaeozonotriletes lasius* Naum. sp. n. var. *minor* Naum. v. n.

Табл. II, фиг. 20

Голотип. ИГН № 3450/3069.

Местонахождение: Калужская область, низы верхнетерригенного комплекса, верхи старооскольских слоев.

$d = 0,035-0,040$ мм. Цвет темноожелтый.

Данная форма аналогична основной форме *Arch. lasius* Naum., но отличается от последней меньшим размером и несколько более городчатым краем периспория.

Распространение: живетский ярус.

41. *Archaeozonotriletes venustus* Naum. sp. n.

Табл. II, фиг. 21

Голотип. ИГН № 3450/3069.

Местонахождение: Калужская область, низы верхнетерригенного комплекса, верхи старооскольских слоев.

$d = 0,050-0,055$ мм. Цвет темноожелтый.

Спора имеет округло-треугольное очертание. Периспорий плотный, по краю узко отороченный. Поверхность периспория покрыта относительно крупными и частыми бугорками. Тело споры округло-треугольное, обычно смещено в центре. Щель разверзания трехлучевая, простая. Лучи шели равны радиусу тела споры.

Распространение: живетский ярус.

42. *Archaeozonotriletes compactus* Naum.

Табл. III, фиг. 1

Паратип. ИГН № 3450/3069.

Местонахождение: Калужская область, низы верхнетерригенного комплекса, верхи старооскольских слоев.

$d = 0,055-0,060$ мм. Цвет желтый.

Данная форма тождественна одноименной форме, описанной из нижнечигровских слоев Калужской области.

Распространение: франский и живетский ярусы.

43. *Archaeozonotriletes compactus* Naum. sp. n. var. *minor* v. n.

Табл. III, фиг. 2

Голотип. ИГН № 3450/3069.

Местонахождение: Калужская область, низы верхнетерригенного комплекса, верхи старооскольских слоев.

д = 0,020—0,025 мм. Цвет желтый.

Спора тождественна одноименной форме, описанной из яблоновской свиты Заволжья.

Распространение: франский и живетский ярусы.

44. *Archaeozonotriletes lasilaris* Naum.

Табл. III, фиг. 3

Паратип. ИГН № 3450/3069.

Местонахождение: Калужская область, низы верхнетерригенного комплекса, верхи старооскольских слоев.

д = 0,055—0,060 мм. Цвет темно-желтый.

Данная форма тождественна одноименной форме, описанной нами из яблоновской свиты Заволжья.

Распространение: верхний и средний девон, франский и живетский ярусы.

45. *Archaeozonotriletes parvitasilaris* Naum. sp. n.

Табл. III, фиг. 4

Голотип. ИГН № 3450/3069.

Местонахождение: Калужская область, низы верхнетерригенного комплекса, верхи старооскольских слоев.

д = 0,020—0,025 мм. Цвет желтый.

Спора имеет треугольное очертание. Периспорий плотный, покрыт мелкими, плотно прилегающими друг к другу бородавками. Тело споры треугольное, несколько меньше периспория. Щель разверзания трехлучевая, простая. Данная форма отличается от *Arch. lasilaris* Naum. меньшим размером.

Распространение: франский и живетский ярусы.

46. *Archaeozonotriletes extensus* Naum. sp. n.

Табл. III, фиг. 5

Голотип. ИГН № 3450/3069.

Местонахождение: Калужская область, низы верхнетерригенного комплекса, верхи старооскольских слоев.

д = 0,020—0,025 мм. Цвет желтый.

Спора имеет треугольное очертание. Периспорий плотный, немного больше тела споры, поэтому выступает по краю в виде узкой оторочки. Поверхность периспория покрыта плотно прилегающими друг к другу мелкими бугорками. Щель разверзания трехлучевая, простая. Лучи равны радиусу тела споры; близ окончания лучей имеется расширение овальной формы.

Распространение: широко развита в старооскольских слоях среднего девона и единично встречается в низах франского яруса.

47. *Archaeozonotriletes orbiculatus* Naum. sp. n.

Табл. III, фиг. 6

Голотип. ИГН № 3450/3069.

Местонахождение: Калужская область, низы верхнетерригенного комплекса, верхи старооскольских слоев.

$d = 0,060-0,065$ мм. Цвет темножелтый.

Спора имеет округлое очертание. Периспорий плотный, край его неровный, городчатый. Поверхность периспория покрыта плотно прилегающими друг к другу мелкими бородавками. Тело споры округло-треугольное, диаметр его 0,030 мм. Щель разверзания трехлучевая, простая. Лучи щели равны радиусу тела споры.

Распространение: верхи живетского яруса и франский ярус.

48. *Archaeozonotriletes truncatus* Naum. sp. n.

Табл. III, фиг. 7

Голотип. ИГН № 3450/3069.

Местонахождение: Калужская область, низы верхнетерригенного комплекса, верхи старооскольских слоев.

$d = 0,040-0,045$ мм. Цвет темножелтый.

Спора имеет округлое треугольное очертание. Периспорий плотный, поверхность его покрыта мелкими, плотно прилегающими друг к другу бородавками. Тело споры округло-треугольное, немного меньше периспория. Щель разверзания трехлучевая, узко отороченная.

Распространение: низы франского и верхи живетского ярусов.

49. *Archaeozonotriletes primarius* Naum.

Табл. III, фиг. 8

Паратип. ИГН № 3450/3069.

Местонахождение: Калужская область, низы верхнетерригенного комплекса, верхи живетского яруса.

$d = 0,080-0,095$ мм. Цвет темножелтый.

Распространение: верхи живетского и низы франского ярусов.

50. *Archaeozonotriletes sulcompactus* Naum.

Табл. III, фиг. 9

Паратип. ИГН № 3450/3069.

Местонахождение: Калужская область, низы верхнетерригенного комплекса, верхи старооскольских слоев.

$d = 0,070-0,075$ мм. Цвет темноожелтый.

Данная форма тождественна одноименной форме, описанной нами из яблоновской свиты Заволжья.

Распространение: верхи живетского и низы франского ярусов.

51. *Archaeozonotriletes pustulatus* Naum. sp. n.

Табл. III, фиг. 10

Голотип. ИГН № 3450/3069.

Местонахождение: Калужская область, низы верхнетерригенного комплекса, верхи старооскольских слоев.

$d = 0,045-0,050$ мм. Цвет темноожелтый.

Очертание споры треугольное или округло-треугольное. Периспорий плотный, поверхность его покрыта относительно мелкими и редкими округлыми бугорками. Тело споры округло-треугольное, немногим меньше периспория. Щель разверзания трехлучевая, простая. Лучи щели равны радиусу тела споры.

Распространение: широко распространена в самых верхах живетского яруса.

52. *Archaeozonotriletes decorus* Naum. sp. n.

Табл. III, фиг. 11, 12

Голотип. ИГН № 3450/3069.

Местонахождение: Калужская область, низы верхнетерригенного комплекса, верхи старооскольских слоев.

$d = 0,040-0,060$ мм. Цвет темноожелтый.

Спора имеет округло-треугольное очертание. Периспорий плотный, на шагреневой его поверхности разбросаны редкие, относительно мелкие бугорки. Тело споры округло-треугольное, несколько меньшего размера, чем периспорий. Щель разверзания трехлучевая, простая. Лучи щели равны радиусу тела споры.

Распространение: верхи старооскольских слоев.

53. *Archaeozonotriletes vulgatus* Naum. sp. n.

Табл. III, фиг. 13

Голотип. ИГН № 3450/3069.

Местонахождение: Калужская область, низы верхнетерригенного комплекса, верхи старооскольских слоев.

$d = 0,050-0,055$ мм. Цвет темноожелтый.

Спора имеет треугольное очертание. Периспорий плотный, на шагревевой поверхности его рассеяны в значительном количестве мелкие, тонкие шипики. Тело споры треугольное, немного меньше периспория. Щель разверзания трехлучевая, простая. Лучи щели равны радиусу тела споры.

Распространение: верхи живетского яруса.

54. *Archaeozonotriletes natus* Naum. sp. n.

Табл. III, фиг. 14

Голотип. ИГН № 3450/3069.

Местонахождение: Калужская область, низы верхнетерригенного комплекса, верхи старооскольских слоев.

$d = 0,035-0,040$ мм. Цвет темноожелтый.

Очертание споры треугольное. Периспорий плотный, покрыт мелкими и редкими шипиками. Тело споры треугольное, немного меньше периспория. Щель разверзания трехлучевая, простая. Лучи щели равны радиусу тела споры.

Распространение: верхи живетского яруса.

Подгруппа *Stenozonotriletes* Naumova, 1937

55. *Stenozonotriletes conformis* Naum. sp. n.

Табл. III, фиг. 15

Голотип. ИГН № 3450/3069.

Местонахождение: Калужская область, низы верхнетерригенного комплекса, верхи старооскольских слоев.

$d = 0,035-0,040$ мм. Цвет желтый.

Спора в очертании округлая. Экзина плотная, узко отороченная. Поверхность экзины гладкая. Щель разверзания трехлучевая, простая. Лучи щели равны радиусу тела споры.

Распространение: широко развита в палеозое, мезозое и кайнозое.

56. *Stenozonotriletes pumilus* (Waltz) Naum.

Табл. III, фиг. 16

1941. *Zonotriletes pumilus* Waltz. Любер А. А. и Вальц И. Э. Атлас микроспор и пыльцы палеозоя СССР. Тр. ВСЕГЕИ, вып. 139, табл. IV, фиг. 63а.

Местонахождение: Калужская область, низы верхнетерригенного комплекса, верхи старооскольских слоев.

$d = 0,025-0,030$ мм. Цвет желтый.

Распространение: широко развита в палеозое и мезозое.

57. *Stenozonotriletes simplex* Naum. sp. n.

Табл. III, фиг. 17

Голотип. ИГН № 3450/3069.

М е с т о н а х о ж д е н и е: Калужская область, низы верхнетерригенного комплекса, верхи старооскольских слоев.

$d = 0,050-0,060$ мм. Цвет желтый.

Спора в очертании треугольная с несколько выпуклыми гранями. Оторочка узкая, край ее ровный. Тело споры треугольное. Поверхность экзины гладкая. Щель разверзания трехлучевая, простая. Лучи щели равны радиусу тела споры.

Р а с п р о с т р а н е н и е: палеозой и мезозой.

58. *Stenozonotriletes extensus* Naum. sp. n.
var. *minor* Naum.

Табл. III, фиг. 18

П а р а т и п. ИГН № 3450/3069.

М е с т о н а х о ж д е н и е: Калужская область, низы верхнетерригенного комплекса, верхи старооскольских слоев.

$d = 0,020-0,025$ мм. Цвет желтый.

Данная форма тождественна одноименной форме, описанной из франского яруса.

Р а с п р о с т р а н е н и е: верхи живетского яруса и франский ярус.

59. *Stenozonotriletes extensus* Naum. sp. n. var. *medius* Naum.

Табл. III, фиг. 19

П а р а т и п. ИГН № 3450/3069.

М е с т о н а х о ж д е н и е: Калужская область, низы верхнетерригенного комплекса, верхи старооскольских слоев.

$d = 0,040-0,050$ мм. Цвет желтый.

Данная форма тождественна одноименной форме, описанной из франского яруса.

Р а с п р о с т р а н е н и е: верхи живетского яруса и франский ярус.

60. *Stenozonotriletes extensus* Naum. sp. n. var. *major* Naum.

Табл. III, фиг. 20

П а р а т и п. ИГН № 3450/3069.

М е с т о н а х о ж д е н и е: Калужская область, низы верхнетерригенного комплекса, верхи старооскольских слоев.

$d = 0,050-0,065$ мм. Цвет темножелтый.

Данная форма тождественна одноименной форме, описанной из верхнефранских слоев.

Р а с п р о с т р а н е н и е: верхи живетского яруса и верхний девон.

61. *Stenozonotriletes lasius* Naum.

Табл. III, фиг. 21

П а р а т и п. ИГН № 3450/3069.

Местонахождение: Калужская область, низы верхнетерригенного комплекса, верхи старооскольских слоев.

$d = 0,035-0,040$ мм. Цвет желтый.

Данная форма тождественна одноименной форме, описанной из яблоновской свиты Заволжья.

Распространение: верхи живетского яруса и франский ярус.

Подгруппа *Lophozonotriletes Naumova gen. nov.*

Споры с хорошо выраженным плотным периспорием, на поверхности которого развиты относительно крупные бугорки, выступающие по краю в виде оторочки.

62. *Lophozonotriletes scurrus* Naum. sp. n.

Табл. III, фиг. 22, 23

Голотип. ИГН № 3450/3069.

Местонахождение: Калужская область, низы верхнетерригенного комплекса, верхи старооскольских слоев.

$d = 0,035-0,040$ мм. Цвет темно-желтый.

Спора имеет округло-треугольное очертание. Периспорий толстый. Поверхность ее покрыта сравнительно крупными редкими или частыми бугорками. Последние неправильной формы, плосковатые, оторочка узкая. Щель разверзания трехлучевая, простая. Лучи щели равны радиусу тела споры.

Распространение: верхи живетского яруса.

63. *Lophozonotriletes grandis* Naum. sp. n.

Табл. III, фиг. 24—26

Голотип. ИГН № 3450/3069.

Местонахождение: Калужская область, низы верхнетерригенного комплекса, верхи старооскольских слоев.

$d = 0,080-0,100$ мм. Цвет темно-желтый.

Данная спора тождественна аналогичной форме, описанной из верхнефранских слоев.

Распространение: живетский и франский ярусы.

Подгруппа *Hymenozonotriletes Naumova, 1937*

64. *Hymenozonotriletes varius* Naum. sp. n.

Табл. IV, фиг. 1

Голотип. ИГН № 3450/3069.

Местонахождение: Калужская область, низы верхнетерригенного комплекса, верхи старооскольских слоев.

$d = 0,080-0,085$ мм. Цвет желтый.

Периспорий округлого очертания, пленчатый, гладкий, с неровным краем. Тело споры округлое, плотное, несколько меньше периспория, узко отороченное. Щель разверзания трехлучевая, простая. Лучи щели равны радиусу периспория.

Распространение: верхи живетского яруса.

65. *Nutepozonotriletes mesodevonicus* Naum. sp. n.

Табл. IV, фиг. 2

Голотип. ИГН № 3450/3069.

Местонахождение: Калужская область, низы верхнетерригенного комплекса, верхи старооскольских слоев.

$d = 0,095 - 0,100$ мм. Цвет желтый.

Спора в очертании округло-треугольная. Периспорий пленчатый, со складками смятия, мелкобородавчатый. Тело споры округло-треугольное, плотное, с узкой оторочкой, немного меньше периспория. Щель разверзания трехлучевая, простая. Лучи щели равны радиусу периспория.

Распространение: верхи живетского яруса.

66. *Nutepozonotriletes brevitammis* Naum. sp. n.

Табл. IV, фиг. 3

Голотип. ИГН № 3450/3069.

Местонахождение: Калужская область, низы верхнетерригенного комплекса, верхи старооскольских слоев.

$d = 0,060 - 0,070$ мм. Цвет желтый.

Очертание споры треугольное. Периспорий пленчатый со складками смятия, мелкобородавчатый. Тело споры плотное, округло-треугольное, с узко отороченным краем, в 2 раза меньше периспория. Щель разверзания трехлучевая, простая. Лучи щели равны радиусу периспория.

Распространение: живетский ярус и низы нижнефранских слоев.

67. *Nutepozonotriletes rigidispinus* Naum. sp. n.

Табл. IV, фиг. 4

Голотип. ИГН № 3450/3069.

Местонахождение: Калужская область, низы верхнетерригенного комплекса, верхи старооскольских слоев.

$d = 0,100 - 0,120$ мм. Цвет желтый.

Очертание споры круглое. Периспорий пленчатый. На мелко- и густошиповатой поверхности периспория рассеяны крупные и редкие утолщенные шипики. Тело споры округлое, узко отороченное, немного меньше периспория. Щель разверзания трехлучевая, простая. Лучи щели равны радиусу периспория.

Распространение: верхи живетского яруса.

68. *Nymenogonotriletes proteus* Naum. sp. n.

Табл. IV, фиг. 5

Голотип. ИГН № 3450/3069.

Местонахождение: Калужская область, низы верхнетерригенного комплекса, верхи старооскольских слоев.

$d = 0,180-0,190$ мм. Цвет светло-желтый.

Спора имеет треугольное очертание. Периспорий пленчатый, поверхность его покрыта редкими и мелкими бугорками. Тело споры треугольное, плотное, узко отороченное, в два раза меньше периспория. Щель разверзания трехлучевая, простая. Лучи щели периспория равны его радиусу.

Распространение: верхи живетского яруса.

69. *Nymenogonotriletes verus* Naum. sp. n.

Табл. IV, фиг. 6

Голотип. ИГН № 3450/3069.

Местонахождение: Калужская область, низы верхнетерригенного комплекса, верхи старооскольских слоев.

$d = 0,055-0,060$ мм. Цвет светло-желтый.

Очертание споры треугольное. Периспорий пленчатый, немного больше тела споры. Поверхность периспория бородавчатая с редкими мелкими шипиками. Тело споры треугольное, плотное, узко отороченное. Щель разверзания трехлучевая, простая. Лучи щели доходят до края периспория.

Распространение: живетский ярус.

70. *Nymenogonotriletes vulgaris* Naum. sp. n.

Табл. IV, фиг. 7

Голотип. ИГН № 3450/3069.

Местонахождение: Калужская область, низы верхнетерригенного комплекса, верхи старооскольских слоев.

$d = 0,070-0,075$ мм. Цвет светло-желтый.

Спора имеет округло-треугольное очертание. Периспорий пленчатый, покрыт редкими, мелкими бугорками. Тело споры треугольное, плотное, узко отороченное, в два раза меньше периспория. Щель разверзания трехлучевая, простая. Лучи щели равны радиусу периспория.

Распространение: верхняя часть живетского яруса.

71. *Nymenogonotriletes praetermissus* Naum. sp. n.

Табл. IV, фиг. 8

Голотип. ИГН № 3450/3069.

Местонахождение: Калужская область, низы верхнетерригенного комплекса, верхи старооскольских слоев.

$d = 0,080-0,100$ мм. Цвет желтый.

Очертание споры треугольное. Периспорий пленчатый, покрыт частыми и крупными шипиками с расширенными основаниями. Тело споры тре-

угольное, с диаметром 0,060 мм. Щель разверзания трехлучевая, простая. Лучи щели равны радиусу периспория.

Распространение: верхняя часть старооскольских слоев.

72. *Hymenozonotriletes spinosus* Naum. sp. n.

Табл. IV, фиг. 9

Голотип. ИГН № 3450/3069.

Местонахождение: Калужская область, низы верхнетерригенного комплекса, верхи старооскольских слоев.

д = 0,150—0,160 мм. Цвет желтый.

Спора имеет треугольное очертание. Периспорий пленчатый, с редкими мелкими шипиками. Тело споры треугольное, плотное, узко отороченное, меньше периспория. Щель разверзания трехлучевая, простая. Лучи щели равны радиусу периспория.

Распространение: верхи живетского яруса.

73. *Hymenozonotriletes argutus* Naum. sp. n.

Табл. IV, фиг. 10

Голотип. ИГН № 3450/3069.

Местонахождение: Калужская область, низы верхнетерригенного комплекса, верхи старооскольских слоев.

д = 0,090—0,100 мм. Цвет желтый.

Спора имеет треугольное очертание. Периспорий пленчатый, мелкошиповатый, несколько превышает тело споры. Тело споры треугольное, плотное, узко отороченное. Щель разверзания трехлучевая, простая. Лучи щели равны радиусу периспория.

Распространение: верхи живетского яруса.

74. *Hymenozonotriletes polyacanthus* Naum. sp. n.

Табл. IV, фиг. 11, 12

Голотип. ИГН № 3450/3069.

Местонахождение: Калужская область, низы верхнетерригенного комплекса, верхи старооскольских слоев.

д = 0,080—0,090 мм. Цвет желтый.

Очертание споры округло-треугольное. Периспорий пленчатый, поверхность его покрыта крупными шипами, удлиненными по краю и отливающими некоторым расширением на окончаниях. Тело споры округло-треугольное, плотное, узко отороченное, немного меньше периспория.

Щель разверзания трехлучевая, простая. Лучи щели равны радиусу периспория.

Распространение: верхи живетского яруса.

75. *Hymenozonotriletes spinuliferus* Naum. sp. n.

Табл. IV, фиг. 13

Голотип. ИГН № 3450/3069.

Местонахождение: Калужская область, низы верхнeterригенного комплекса, верхи старооскольских слоев.

$d = 0,090-0,095$ мм. Цвет желтый.

Спора в очертании треугольная, периспорий пленчатый, мелкобородавчатый, с редкими, крупными шиповидными выростами. Тело споры треугольное, узко отороченное, немного меньше периспория. Щель разверзания треугольная, простая. Лучи щели равны радиусу периспория.

Распространение: верхняя часть живетского и низы франского ярусов.

Б. ВЕРХНИЙ ДЕВОН

Франский ярус

Споры типа Pteridophyta и Bryophyta

Группа Triletes R.

Подгруппа Leiotriletes Naumova, 1937

76. *Leiotriletes microrugosus* (Ibr.) Naum.

Табл. V, фиг. 1

1933. *Laevigati sporites microrugosus* Ibrahim. Sporenformen des Aegirhorizonts des Rhur Reviers, стр. 18, табл. I, фиг. 9.

1938. *Azonotriletes microrugosus* (Ibr.) Waltz. Любер А. А. и Вальц И. Э. Классификация и стратиграфическое значение спор некоторых каменноугольных месторождений СССР. Тр. ЦНИГРИ, вып. 105, табл. I, фиг. 1.

Местонахождение: Воронежская область, с. Петино, петинские слои.

$d = 0,030-0,050$ мм. Цвет светло-желтый.

Очертание споры округлое. Экзина тонкая, гладкая, с многочисленными складками смятия, поэтому щель разверзания плохо различима. Щель разверзания трехлучевая, простая. Лучи щели равны половине радиуса тела споры.

Спора типа Calamariaceae, ранее описанная из карбоновых отложений.

Распространение: имеет широкое вертикальное распространение от кембрия до мела.

77. *Leiotriletes minutissimus* Naum.

Табл. V, фиг. 2

1949. *Leiotriletes minutissimus* Naum. Наумова С. Н. Споры нижнего кембрия. Изв. Акад. Наук СССР, сер. геол., № 4, табл. I, фиг. 1.

Местонахождение: Воронежская область, с. Рудкино, рудкинские слои.

$d = 0,015-0,025$ мм. Цвет светло-желтый.

Распространение: широко распространена от кембрия до карбона.

78. *Leiotriletes rotundus* Naum.

Табл. V, фиг. 3, 4

Паратип. ИГН № 3450/3612.

Местонахождение: Воронежская область, с. Петино, петинские слои.

Данная форма тождественна одноименной споре, описанной из верхнезаветских отложений.

$d = 0,030-0,045$ мм. Цвет желтый.

Распространение: широко распространена почти во всех геологических системах с девона по четвертичный отдел.

79. *Leiotriletes migratus* Naum.

Табл. V, фиг. 5, 6

Паратип. ИГН № 3450/3788.

Местонахождение: Воронежская область, с. Петино, семилукские слои.

$d = 0,040-0,080$ мм. Цвет темно-желтый.

Данная форма тождественна одноименной споре, описанной из верхнезаветских отложений.

Распространение: средний и верхний девон.

80. *Leiotriletes simplicissimus* Naum.

Табл. V, фиг. 7

1949. *Leiotriletes simplicissimus* Naum. Наука С. Н. Споры нижнего кембрия. Изв. Акад. Наук СССР, сер. геол., № 4, табл. I, фиг. 5.

Местонахождение: Воронежская область, с. Рудкино, рудкинские слои.

$d = 0,015-0,025$ мм. Цвет темно-желтый.

Спора в очертании округлая. Экзина плотная, со складками смятия. Поверхность экзины гладкая. Щель разверзания трехлучевая, простая. Данная форма близка к *L. minutissimus* Naum., от которой отличается более плотной экзиной.

Распространение: кембрий, силур, средний и верхний девон.

81. *Leiotriletes conformis* Naum.

Табл. V, фиг. 8

Местонахождение: Чкаловская область, Байтуган, яблоневская свита.

$d = 0,025-0,035$ мм. Цвет светло-желтый.

Очертание споры округлое. Экзина гладкая, очень тонкая. Край тела споры несколько утолщен. Щель разверзания трехлучевая, простая. Лучи щели равны половине радиуса тела споры. Данная форма имеет сходство со спорами, извлеченными из спорангия *Equisetites*.

Распространение: средний и верхний девон.

82. *Leiotriletes simplex* Naum.

Табл. V, фиг. 9

Паратип. ИГН № 3450/3598.

Местонахождение: Воронежская область, с. Рудкино, рудникские слои.

$d = 0,020-0,030$ мм. Цвет светложелтый.

Спора в очертании треугольная, с несколько выпуклыми гранями. Экзина тонкая, поверхность ее гладкая. Щель разверзания трехлучевая, простая. Лучи щели почти равны радиусу тела споры.

Распространение: средний и верхний девон.

83. *Leiotriletes parvus* Naum. sp. n.

Табл. V, рис. 10

Голотип. ИГН № 2450/3598.

Местонахождение: Воронежская область, с. Рудкино, рудникские слои.

$d = 0,015-0,020$ мм. Цвет желтый.

Очертание споры треугольное. Экзина тонкая, гладкая. Щель разверзания трехлучевая, простая. Лучи щели почти равны радиусу тела споры.

Распространение: верхний девон.

84. *Leiotriletes perpusillus* Naum. sp. n.

Табл. V, фиг. 11

Голотип. ИГН № 3450/3598.

Местонахождение: Воронежская область, с. Рудкино, рудникские слои.

$d = 0,010-0,020$ мм. Цвет темножелтый.

Очертание споры треугольное с вогнутыми гранями и округлыми углами. Экзина плотная, поверхность ее гладкая. Щель разверзания трехлучевая, простая. Лучи щели почти равны радиусу тела споры.

Распространение: франский ярус.

85. *Leiotriletes pullatus* Naum.

Табл. V, фиг. 12

Паратип. ИГН № 3450/3563.

Местонахождение: Воронежская область, воронежские слои.

$d = 0,070-0,080$ мм. Цвет темножелтый.

Спора имеет округлое очертание. Экзина толстая, поверхность ее гладкая. Щель разверзания трехлучевая, простая. Лучи щели равны половине радиуса тела споры или немного меньше его.

Распространение: верхний и средний девон.

86. *Leiotriletes nigritellus* Naum. sp. n.

Табл. V, фиг. 13

Голотип. ИГН № 3450/3598.

Местонахождение: Воронежская область, с. Рудкино, рудкинские слои.

д = 0,025—0,030 мм. Цвет темноожелтый.

Спора в очертании округлая, экзина плотная, гладкая. Щель разверзания трехлучевая, простая. Лучи щели равны половине радиуса тела споры.

Распространение: средний и верхний девон.

87. *Leiotriletes trivialis* Naum. sp. n.

Табл. V, фиг. 14

Голотип. ИГН № 3450/3788.

Местонахождение: Воронежская область, с. Петрино, семилукские слои.

д = 0,025—0,035 мм. Цвет темноожелтый.

Очертание споры треугольное, с прямыми гранями и несколько заостренными углами. Экзина плотная, поверхность ее гладкая. Щель разверзания трехлучевая, простая. Лучи щели равны радиусу тела споры.

Распространение: средний и верхний девон.

88. *Leiotriletes acutangulus* Naum. sp. n.

Табл. V, фиг. 15

Голотип. ИГН № 3450/3563.

Местонахождение: Воронежская область, воронежские слои.

д = 0,025—0,030 мм. Цвет желтый.

Спора имеет треугольное очертание с выпуклыми гранями и несколько выступающими углами. Экзина плотная, поверхность ее гладкая. Щель разверзания трехлучевая, простая. Лучи щели равны половине радиуса тела споры.

Распространение: встречается единично в воронежских слоях верхнего девона.

Подгруппа *Trachytriletes* Naumova, 1937

89. *Trachytriletes minutus* Naum.

Табл. V, фиг. 16, 17

1949. *Trachytriletes minutus* Naum. Наумова С. Н. Споры нижнего кембрия. Изв. Акад. Наук СССР, сер. геол., № 4, табл. II, фиг. 9—10.

Местонахождение: Воронежская область, с. Петино, семилукские слои.

$d = 0,010-0,020$ мм. Цвет светло-желтый.

Очертание споры округлое. Экзина тонкая, морщинистая, поверхность ее шагреневая. Щель разверзания трехлучевая, простая.

Распространение: встречается в трансгрессивных отложениях девона; широко развита в кембрии и силуре.

90. *Trachytriletes solidus* Naum.

Табл. V, фиг. 18

1950. *Trachytriletes solidus* Naum. Наумова С. Н. Споры нижнего силура. Тр. Конфер. по спорово-пыльцев. анализу 1948 г. Изд. МГУ, табл. I, фиг. 8.

Местонахождение: Воронежская область, с. Рудкино, рудниковые слои.

$d = 0,015-0,040$ мм. Цвет светло-желтый.

Данная форма тождественна одноименной форме из нижнесилурийских отложений Прибалтики.

Распространение: широко развита в отложениях силура, девона, карбона и перми.

91. *Trachytriletes medius* Naum. sp. n.

Табл. V, фиг. 19

Голотип. ИГН № 3450/3563.

Местонахождение: Воронежская область, воронежские слои.

$d = 0,025-0,030$ мм. Цвет темно-желтый.

Спора в очертании округлая. Экзина плотная и толстая. Поверхность экзины шагреневая. Щель разверзания трехлучевая, простая. Лучи щели равны половине радиуса тела споры.

Распространение: широко распространена в палеозое.

92. *Trachytriletes lasius* (W.) Naum.

Табл. V, фиг. 20

1938. *Axonotriletes lasius* Waltz. Любер А. А. и Вальц И. Э. Классификация и стратиграфическое значение спор некоторых каменноугольных месторождений СССР. Тр. ЦНИГРИ, вып. 105, табл. I, фиг. 4.

Местонахождение: Орловская область, г. Лицны, ливенские слои.

$d = 0,050-0,060$ мм. Цвет желтый.

Данная форма тождественна одноименной споре, описанной из нижне-карбоновых отложений.

Распространение: широко распространена в палеозое.

93. *Trachytriletes uniformis* Naum. sp. n.

Табл. V, фиг. 21

Голотип. ИГН № 3450/3563.

Местонахождение: Воронежская область, воронежские слои.

д = 0,025—0,035 мм. Цвет желтый.

Спора в очертании округлая. Край экзины несколько утолщен. Поверхность экзины шагреневая. Щель разверзания трехлучевая, простая. Лучи щели равны радиусу тела споры.

Распространение: верхний девон.

94. *Trachytriletes giganteus* Naum. sp. n.

Табл. V, фиг. 22

Голотип. ИГН № 3450/3788.

Местонахождение: Воронежская область, с. Петино, семилукские слои.

д = 0,090—0,100 мм. Цвет желтый.

Спора в очертании треугольная, с прямыми гранями. Экзина плотная, поверхность ее шагреневая. Щель разверзания трехлучевая, простая. Лучи щели равны радиусу тела споры.

Распространение: верхний девон. франский ярус.

95. *Trachytriletes sulminor* Naum. sp. n.

Табл. V, фиг. 23

Голотип. ИГН № 3450/3598.

Местонахождение: Воронежская область, с. Рудкино, рудкинские слои.

д = 0,025—0,035 мм. Цвет темножелтый.

Спора в очертании треугольная, с прямыми или несколько выпуклыми гранями. Экзина плотная, нежношагреневая. Щель разверзания трехлучевая, простая. Лучи щели почти равны радиусу тела споры.

Распространение: средний и верхний девон.

96. *Trachytriletes minor* Naum.

Табл. V, фиг. 24

Паратип. ИГН № 3450/3563.

Местонахождение: Воронежская область, воронежские слои.

д = 0,020—0,030 мм. Цвет желтый.

Спора имеет округло-треугольное очертание. Экзина тонкая, нежношагреневая. Щель разверзания трехлучевая, простая.

Лучи щели почти равны радиусу тела споры.

Распространение: девон и карбон.

97. *Trachytriletes pusillus* Naum. sp. n.

Табл. V, фиг. 25

Голотип. ИГН № 3450/3788.

Местонахождение: Воронежская область, семилукские слои.
 $d = 0,015-0,020$ мм. Цвет желтый.

Очертание споры треугольное, край споры несколько утолщенный.
Поверхность экзина шагреневая. Щель разверзания трехлучевая, простая. Лучи щели равны радиусу тела споры.

Распространение: франский ярус.

Подгруппа *Acanthotriletes* Naumova, 1937

98. *Acanthotriletes rugatus* Naum. sp. n.

Табл. V, фиг. 26

Голотип. ИГН № 3450/3598.

Местонахождение: Воронежская область, с. Рудкино, рудкинские слои.

$d = 0,020-0,030$ мм. Цвет желтый.

Спора в очертании округлая или округло-треугольная. Экзина тонкая, покрыта редкими мелкими и короткими шипиками. Имеются складки смятия. Щель разверзания трехлучевая, простая. Лучи щели равны радиусу тела споры.

Распространение: средний и верхний девон.

99. *Acanthotriletes acerosus* Naum. sp. n.

Табл. V, фиг. 27

Голотип. ИГН № 3450/3788.

Местонахождение: Воронежская область, с. Петино, семилукские слои.

$d = 0,020-0,035$ мм. Цвет желтый.

Очертание споры круглое, экзина тонкая, имеются складки смятия. Поверхность экзина густо покрыта относительно крупными тонкими и довольно длинными шипами. Щель разверзания трехлучевая, простая. Лучи щели равны радиусу тела споры.

Распространение: франский ярус.

100. *Acanthotriletes incompletus* Naum.

Табл. V, фиг. 28

1950. *Acanthotriletes incompletus* Naum. Наумова С. Н. Споры нижнего силура. Тр. Конфер. по спорово-пыльцевому анализу 1948 г. Изд. МГУ, табл. I, фиг. 18.

Местонахождение: Воронежская область, с. Рудкино, рудкинские слои.

$d = 0,018-0,020$ мм. Цвет желтый.

Распространение: силур, девон.

101. *Acanthotriletes erinaceus* (Waltz) Naum.

Табл. V, фиг. 29, 30

1941. *Azonotriletes erinaceus* Waltz. Любер А. А. и Вальц И. Э. Атлас микроспор и пыльцы палеозоя СССР. Тр. ВСЕГЕИ, вып. 139, табл. II, фиг. 26.

Местонахождение: Воронежская область, с. Рудкино, рудникские слои.

Распространение: девон и нижний карбон.

102. *Acanthotriletes parvus* Naum. sp. н.

Табл. V, фиг. 31

Голотип. ИГН № 3450/3788.

Местонахождение: Воронежская область, с. Петино, семилукские слои.

$d = 0,015-0,040$ мм. Цвет желтый.

Очертание споры треугольное, поверхность экзины покрыта редкими, мелкими шипиками. Щель разверзания трехлучевая, простая. Лучи щели почти равны радиусу тела споры.

Распространение: девон.

103. *Acanthotriletes tenuispinosus* Naum.

Табл. V, фиг. 32

Паратип. ИГН № 3450/3598.

Местонахождение: Воронежская область, с. Рудкино, рудникские слои.

$d = 0,030-0,045$ мм. Цвет желтый.

Спора имеет треугольное или округло-треугольное очертание. Поверхность экзины украшена частыми, тонкими, короткими шипиками. Щель разверзания трехлучевая, простая. Лучи щели равны радиусу тела споры.

Распространение: девон.

104. *Acanthotriletes denticulatus* Naum. sp. н.

Табл. V, фиг. 33

Голотип. ИГН № 3450/3788.

Местонахождение: Воронежская область, с. Петино, семилукские слои.

$d = 0,025-0,030$ мм. Цвет желтый.

Очертание споры округло-треугольное. Поверхность экзины покрыта плотно прилегающими друг к другу укороченными шипиками. Последние с несколько расширенными основаниями. Щель разверзания трехлучевая, простая.

Распространение: верхний девон.

105. *Acanthotriletes polygamus* Naum. sp. н.

Табл. V, фиг. 34

Голотип. ИГН № 3450/3598.

Местонахождение: Воронежская область, с. Рудкино, рудникские слои.

$d = 0,035-0,040$ мм. Цвет желтый.

Очертание споры округлое. Экзина покрыта довольно густо мелкими и тонкими шипиками. Последние имеют несколько изогнутый вид. Щель разверзания трехлучевая, простая.

Распространение: средний и верхний девон.

106. *Acanthotriletes crenatus* Naum. sp. n.

Табл. V, фиг. 35

Голотип. ИГН № 3450/3563.

Местонахождение: Воронежская область, воронежские слои

$d = 0,035-0,040$ мм. Цвет желтый.

Спора имеет треугольное очертание. Поверхность экзины покрыта плотно прилегающими друг к другу шипиками. Последние довольно длинные, с острыми и несколько изогнутыми окончаниями и расширенными основаниями. Щель разверзания трехлучевая, простая, трудно различимая.

Распространение: верхний девон, франский ярус.

107. *Acanthotriletes uncalus* Naum. sp. n.

Табл. V, фиг. 36

Голотип. ИГН № 3450/3818.

Местонахождение: Воронежская область, низы щигровских слоев.

$d = 0,030-0,050$ мм. Цвет желтый.

Очертание споры округлое. Поверхность экзины покрыта частыми мелкими, неправильно изогнутыми шипиками. Щель разверзания трехлучевая, простая. Лучи щели равны половине радиуса тела споры.

Распространение: нижнефранские отложения Заволжья Центрального девонского поля и Предкарпатья.

108. *Acanthotriletes grandispinus* Naum. sp. n.

Табл. V, фиг. 37

Голотип. ИГН № 3450/3769.

Местонахождение: Воронежская область, Конь-Колодезьевлановские слои.

$d = 0,025-0,035$ мм. Цвет желтый.

Спора в очертании треугольная. Поверхность экзины покрыта довольно частыми, длинными, тонкими и прямыми шипами. Щель разверзания трехлучевая, простая. Лучи щели равны половине радиуса тела споры.

Распространение: франский ярус.

109. *Acanthotriletes hirtus* Naum. sp. n.

Табл. V, фиг. 38—40

Голотип. ИГН № 3450/3769.

Местонахождение: Воронежская область, Конь-Колодезь, евлановские слои.

д = 0,040—0,050 мм. Цвет желтый.

Очертание споры округлое. Экзина густо покрыта очень тонкими волосовидными шипиками, причем у некоторых экземпляров количество шипиков близ щели резко уменьшается. Щель разверзания трехлучевая, простая.

Распространение: франский ярус.

110. *Acanthotriletes eximus* Naum. sp. n.

Табл. V, фиг. 41, 42

Голотип. ИГН № 3450/3788.

Местонахождение: Воронежская область, с. Петино, семилукские слои.

д = 0,030—0,050 мм. Цвет светложелтый.

Спора в очертании округло-треугольная. Поверхность экзины покрыта плотно прилегающими друг к другу мелкими короткими шипиками неправильной формы. Щель разверзания трехлучевая, простая. Лучи щели равны половине радиуса тела споры.

Распространение: верхнефранские отложения.

111. *Acanthotriletes dentatus* Naum. sp. n.

Табл. VI, фиг. 1

Голотип. ИГН № 3450/3598.

Местонахождение: Воронежская область, с. Рудкино, рудкинские слои.

д = 0,030—0,040 мм. Цвет желтый.

Очертание споры округлое. Спора по краю утолщенная, поверхность экзины покрыта сравнительно редкими и удлиненными, несколько утолщенными шипами различной величины. Щель разверзания трехлучевая, простая.

Распространение: верхнефранские отложения.

Подгруппа *Archaeotriletes* Naumova gen. nov.

Подгруппа *Archaeotriletes* Naum. представлена спорами с длинными шиповидными выростами, обладающими расширениями на окончаниях, подобно спорам современных водных папоротников типа *Azolla*.

112. *Archaeotriletes conspicuus* Naum. sp. n.

Табл. VI, фиг. 2

Голотип. ИГН № 3450/3788.

Местонахождение: Воронежская область, с. Петино, семилукские слои.

$d = 0,080-0,100$ мм. Цвет желтый.

Спора имеет округлое очертание. Тело споры округлое, плотное. Экзина украшена длинными выростами с расширенными окончаниями. Выросты соединены между собой пленчатой мембраной. Щель разверзания трехлучевая, простая.

Распространение: верхний девон, франский ярус.

113. *Archaeotriletes atavus* Naum. sp. n.

Табл. VI, фиг. 3

Голотип. ИГН № 3450/3788.

Местонахождение: Воронежская область, с. Петино, семилукские слои.

$d = 0,090-0,100$ мм. Цвет желтый.

Очертание споры округлое. Поверхность споры покрыта мелкими бородавками и довольно редкими шиповидными выростами, которые на окончаниях несколько расширены. Ближе к центру имеется округлое валикообразное кольцо. Щель разверзания трехлучевая, простая. Лучи щели доходят до края валика. Споры этого типа наблюдаются в силурийских отложениях, где они имеют меньший размер (Наумова, 1950).

Распространение: верхний девон.

114. *Archaeotriletes hamulus* Naum. sp. n.

Табл. VI, фиг. 4

Голотип. ИГН № 3450/3788.

Местонахождение: Воронежская область, с. Петино, семилукские слои.

$d = 0,090-0,110$ мм. Цвет желтый.

Спора в очертании округлая, Экзина густо покрыта многочисленными, очень длинными, толстыми шипами. Последние на окончаниях несколько расширены. Щель разверзания трехлучевая, простая.

Распространение: средний и верхний девон.

115. *Archaeotriletes fidus* Naum. sp. n.

Табл. VI, фиг. 5, 6

Голотип. ИГН № 3450/3788.

Местонахождение: Воронежская область, с. Петино, семилукские слои.

$d = 0,030-0,040$ мм. Цвет желтый.

Спора в очертании треугольная. Экзина толстая. Поверхность экзины покрыта довольно длинными шиповидными выростами с расширенными окончаниями. Щель разверзания трехлучевая, простая. Лучи щели равны или почти равны радиусу тела споры.

Распространение: девон.

116. *Archaeotriletes devonicus* Naum. sp. n.

Табл. VI, фиг. 7

Голотип. ИГН № 3450/3788.

Местонахождение: Воронежская область, с. Петино, семилукские слои.

$d = 0,050-0,055$ мм. Цвет желтый.

Очертание споры округлое. Экзина тонкая, покрыта редкими и тонкими шипиками. Последние имеют расширенное окончание. Щель разверзания трехлучевая, простая.

Распространение: верхний девон, франский ярус.

117. *Archaeotriletes aduncus* Naum. sp. n.

Табл. VI, фиг. 8

Голотип. ИГН № 3450/3788.

Местонахождение: Воронежская область, с. Петино, семилукские слои.

$d = 0,090-0,100$ мм. Цвет темно-желтый.

В очертании спора треугольная. Периспорий довольно толстый, покрыт редкими шиповидными выростами, на окончаниях несколько расширенными. Экзина треугольная, немного меньше периспория. Щель разверзания трехлучевая, окаймлена валиком. Лучи щели немного не доходят до края тела споры.

Распространение: верхний девон, франский ярус.

118. *Archaeotriletes larvatus* Naum. sp. n.

Табл. VI, фиг. 9

Голотип. ИГН № 3450/3788.

Местонахождение: Воронежская область, с. Петино, семилукские слои.

$d = 0,090-0,110$ мм. Цвет темно-желтый.

Спора имеет округло-треугольное очертание. Периспорий с грубо шагреневой поверхностью, на которой в значительном количестве рассейны тонкие и довольно длинные шипы. Последние несколько расширены на окончаниях. Щель разверзания трехлучевая, простая. Лучи щели немного не доходят до края тела споры.

Распространение: верхний девон, франский ярус.

Подгруппа *Lophotriletes* Naumova gen. nov.

119. *Lophotriletes rugosus* Naum.

Табл. VII, фиг. 1

1950. *Lophotriletes rugosus* Naum. Наумова С. Н. Споры нижнего силура. Тр. Конфер. по спорово-пыльцевому анализу 1948 г. Изд. МГУ, табл. II, фиг. 6.

Местонахождение: Воронежская область, с. Петино, семилукские слои.

$d = 0,040-0,050$ мм. Цвет желтый.

Данная форма тождественна одноименной споре, описанной из нижне-силурийских отложений Прибалтики.

Распространение: кембрий, силур, девон.

120. *Lophotriletes semilucensis* Naum. sp. n.

Табл. VII, фиг. 2

Голотип. ИГН № 3450/3788.

Местонахождение: Воронежская область, с. Петино, семилукские слои.

д = 0,045—0,050 мм. Цвет желтый.

Спора имеет округлое очертание. Экзина тонкая, со складками смятия, поверхность экзины покрыта плотно прилегающими друг к другу мелкими бугорками. Поверхность бугорков шагреневая. Щель разверзания трехлучевая, простая.

Распространение: верхний девон, верхнефранские отложения.

121. *Lophotriletes inflatus* (Lub.) Naum.

Табл. VII, фиг. 3

1941. *Axonotriletes inflatus* Lub. Любер А. А. и Вальц И. Э. Атлас микроспор и пыльцы палеозоя СССР. Тр. ВСЕГЕИ, вып. 139, табл. I, фиг. 3.

Местонахождение: Воронежская область, с. Петино, петинские слои.

д = 0,040—0,055 мм. Цвет желтый.

Очертание споры округлое. Экзина украшена плотно прилегающими друг к другу округлыми бугорками. Щель разверзания трехлучевая, простая. Лучи щели равны половине радиуса тела споры.

Распространение: верхний девон, нижний карбон.

122. *Lophotriletes perspicuus* Naum. sp. n.

Табл. VII, фиг. 4

Голотип. ИГН № 3450/4924.

Местонахождение: Чкаловская область, Байтуган, яблоновская свита.

д = 0,040—0,050 мм. Цвет желтый.

Спора имеет округлое очертание. Поверхность экзины покрыта округлыми мелкими бугорками, неплотно прилегающими друг к другу. Щель разверзания трехлучевая, простая.

Данная форма близка к *Loph. communis* Naum., от которой отличается правильной формой бугорков и их равномерным расположением.

Распространение: верхний девон.

123. *Lophotriletes stimulus* Naum. sp. n.

Табл. VII, фиг. 5

Голотип. ИГН № 3450/3612.

Местонахождение: Воронежская область, с. Петино, петинские слои.

$d = 0,020-0,025$ мм. Цвет желтый.

Спора в очертании треугольная, с сильно вогнутыми гранями и тупыми или срезанными углами. Экзина очень толстая, покрыта редкими, крупными, плосковатыми бугорками. Щель разверзания трехлучевая, простая.

Распространение: верхний девон, франский ярус. Встречается единично.

124. *Lophotriletes communis* Naum. sp. n.

Табл. VII, фиг. 6, 7

Голотип. ИГН № 3450/3612.

Местонахождение: Воронежская область, с. Петино, петинские слои.

$d = 0,030-0,040$ мм. Цвет желтый.

Спора имеет округлое очертание. Поверхность экзины покрыта сравнительно редкими и крупными бугорками, неправильной формы, несколько варьирующими в размерах. Щель разверзания трехлучевая, простая.

Распространение: верхний девон, франский ярус.

125. *Lophotriletes exiguis* Naum. sp. n.

Табл. VII, фиг. 8

Голотип. ИГН № 3450/3788.

Местонахождение: Воронежская область, с. Петино, семилукские слои.

$d = 0,025-0,035$ мм. Цвет желтый.

Очертание споры округлое или округло-треугольное. Поверхность экзины покрыта плотно прилегающими друг к другу, сравнительно мелкими бугорками правильной окружной формы. Щель разверзания трехлучевая, простая. Лучи щели равны половине радиуса тела споры.

Распространение: средний и верхний девон.

126. *Lophotriletes minor* Naum. sp. n.

Табл. VII, фиг. 10

Голотип. ИГН № 3450/3612.

Местонахождение: Воронежская область, с. Петино, петинские слои.

$d = 0,020-0,025$ мм. Цвет желтый.

Спора в очертании треугольная. Поверхность тела споры покрыта мелкими, плотно прилегающими друг к другу округлыми бугорками. Щель разверзания трехлучевая, простая. Лучи щели почти равны радиусу тела споры.

Распространение: средний и верхний девон.

127. *Lophotriletes minutissimus* Naum. sp. n.

Табл. VII, фиг. 11

Голотип. ИГН № 3450/3788.

Местонахождение: Воронежская область, с. Петино, семилукские слои.

$d = 0,020-0,025$ мм. Цвет желтый.

Очертание споры треугольное, поверхность экзины покрыта мелкими не частыми бугорками. Щель разверзания трехлучевая, простая. Лучи щели почти равны радиусу тела споры.

Распространение: средний и верхний девон.

128. *Lophotriletes livensis* Naum. sp. n.

Табл. VII, фиг. 12

Голотип. ИГН № 3450/3767.

Местонахождение: Воронежская область, Конь-Колодезь, ливенские слои.

$d = 0,060-0,070$ мм. Цвет темножелтый.

Спора имеет округлое очертание. Экзина толстая, покрыта сравнительно крупными, плотно прилегающими друг к другу округлыми бугорками. Щель разверзания трехлучевая, простая.

Распространение: верхи франского яруса, ливенские отложения.

129. *Lophotriletes evlanensis* Naum. sp. n.

Табл. VII, фиг. 13

Голотип. ИГН № 3450/3769.

Местонахождение: Воронежская область, Конь-Колодезь, евлановские слои.

$d = 0,070-0,080$ мм. Цвет темножелтый.

Очертание споры круглое. Экзина толстая. Поверхность экзины покрыта не плотно прилегающими друг к другу округлыми бугорками, менее крупными, чем *Loph. livensis* Naum. Щель разверзания трехлучевая, простая. Лучи щели равны половине радиуса тела споры.

Распространение: верхнефранские отложения; особенно развита в евлановских слоях.

130. *Lophotriletes grumosus* Naum. sp. n.

Табл. VII, фиг. 14, 15

Голотип. ИГН № 3450/3612.

Местонахождение: Воронежская область, с. Петино, петинские слои.

$d = 0,040 - 0,064$ мм. Цвет желтый.

Спора в очертании округлая. Экзина толстая, покрыта довольно крупными, округлыми бугорками, плотно прилегающими друг к другу. Щель разверзания трехлучевая, простая.

Данная форма очень варьирует по величине тела и бугорков споры.

Распространение: верхний девон, верхнефранские отложения.

131. *Lophotriletes salebrosus* Naum. sp. n.

Табл. VII, фиг. 16

Голотип. ИГН № 3450/3563.

Местонахождение: Воронежская область, воронежские слои.

$d = 0,060 - 0,070$ мм. Цвет темно-желтый.

Спора имеет треугольное или округло-треугольное очертание. Экзина очень толстая. Поверхность экзины покрыта крупными, плоскими бугорками неправильной формы. Щель разверзания трехлучевая, простая.

Распространение: верхний девон, верхнефранские отложения.

132. *Lophotriletes trivialis* Naum. sp. n.

Табл. VII, фиг. 17

Голотип. ИГН № 3450/3598.

Местонахождение: Воронежская область, с. Рудкино, рудкинские слои.

$d = 0,020 - 0,040$ мм. Цвет желтый.

Очертание споры треугольное. Поверхность экзины покрыта мелкими, плотно прилегающими друг к другу неправильной формы бугорками, с шагреневой поверхностью. Щель разверзания трехлучевая, простая.

Распространение: верхний девон.

133. *Lophotriletes normalis* Naum. sp. n.

Табл. VII, фиг. 18

Голотип. ИГН № 3450/3818.

Местонахождение: Воронежская область, щигровские слои.

$d = 0,030 - 0,045$ мм. Цвет желтый.

В очертании спора треугольная. Экзина плотная, поверхность ее покрыта мелкими, плотно прилегающими друг к другу бугорками. Щель разверзания трехлучевая, простая.

Распространение: широко развита в среднем и верхнем девоне.

134. *Lophotriletes rotundus* Naum. sp. n.

Табл. VII, фиг. 19

Голотип. ИГН № 3450/8776.

Местонахождение: Калужская область, щигровские слои.
 $d = 0,040-0,045$ мм. Цвет желтый.

Спора имеет округлое очертание. Поверхность экзины покрыта мелкими, плотно прилегающими друг к другу бугорками. Щель разверзания трехлучевая, простая.

Данная форма близка к *Lophotriletes trivialis* Naum., но отличается от последней округлым очертанием.

Распространение: средний и верхний девон.

135. *Lophotriletes magnus* Naum. sp. n.

Табл. VII, фиг. 20

Голотип. ИГН № 3450/8776.

Местонахождение: Калужская область, верхнетерригенный комплекс, нижнешигровские слои.

$d = 0,070-0,090$ мм. Цвет желтый.

Очертание споры округло-треугольное. Экзина плотная, поверхность ее покрыта плотно прилегающими друг к другу мелкими бугорками. Щель разверзания трехлучевая, простая. Лучи щели равны радиусу тела споры.

Распространение: средний и верхний девон.

Подгруппа *Chomotriletes* Naumova, 1937

136. *Chomotriletes vedugensis* Naum. sp. n.

Табл. VII, фиг. 21, 22

Голотип. ИГН № 3450/3990.

Местонахождение: Воронежская область, в основании воронежских слоев на р. Бедуге.

$d = 0,030-0,060$ мм. Цвет желтый.

Спора имеет округлое очертание. Поверхность экзины несет тонко-ребристую скульптуру, причем полоски или валики располагаются концентрическими кругами. Поверхность валиков шагреневая. Щель разверзания незаметна.

Распространение: воронежские слои франского яруса.

Подгруппа *Brochotriletes* Naumova, 1937

137. *Brochotriletes foveolatus* Naum. sp. n. var. *minor* Naum. v. n.

Табл. VII, фиг. 23

Голотип. ИГН № 3450/3563.

Местонахождение: Воронежская область, воронежские слои.

$d = 0,030-0,035$ мм. Цвет темножелтый.

Спора имеет треугольное очертание. Экзина очень толстая, покрыта мелкими ячейками, край споры утолщен. Щель разверзания трехлучевая, простая. Данная форма варьирует по величине. Наблюдаются экземпляры, достигающие в диаметре 0,050 мм, которые относятся к *Brock. foveolatus* Naum. var. *major* Naum. (табл. VII, фиг. 24). Эта форма имеет сходство со спорами типа *Lycopodiaceae*.

Распространение: верхний девон, встречается единично.

Подгруппа *Dictyotriletes* Naumova, 1937

138. *Dictyotriletes devonicus* Naum. sp. n.

Табл. VII, фиг. 25

Голотип. ИГН № 3450/3818.

Местонахождение: Воронежская область, нижнешигровские слои.

$d = 0,050-0,065$ мм. Цвет желтый.

Очертание споры окружлое. Тело споры узко отороченное, поверхность экзины покрыта крупной сеткой. Щель разверзания трехлучевая, простая. Лучи щели равны половине радиуса тела споры.

Данная форма имеет сходство со спорами типа *Lycopodiaceae*.

Распространение: франский ярус, встречается единично.

Подгруппа *Hymenozonotriletes* Naumova, 1937

139. *Hymenozonotriletes turbinatus* (Waltz) Naum.

Табл. VIII, фиг. 1

1941. *Zonotriletes turbinatus* Waltz. Любер А. А. и Вальц И. Э. Атлас микроспор и пыльцы палеозоя СССР. Тр. ВСЕГЕИ, вып. 139, табл. VI, фиг. 93.

Местонахождение: Воронежская область, с. Петино, петлинские слои.

$d = 0,045-0,050$ мм. Цвет светложелтый.

Данная форма тождественна одноименной форме, описанной из нижнего карбона Кизеловского бассейна.

Распространение: верхний девон и нижний карбон.

140. *Hymenozonotriletes elegans* (Waltz) Naum.

Табл. VIII, фиг. 2

1941. *Zonotriletes elegans* Waltz. Любер А. А. и Вальц И. Э. Атлас микроспор и пыльцы палеозоя СССР. Тр. ВСЕГЕИ, вып. 139, табл. VI, фиг. 87.

Местонахождение: Воронежская область, воронежские слои.

$d = 0,050-0,060$ мм. Цвет светложелтый.

Спора тождественна одноименной споре, описанной из Щекинского района Подмосковного бассейна.

Распространение: верхний девон и нижний карбон.

141. *Hymenozonotriletes dilectus* Naum. sp. n.
Табл. VIII, фиг. 3

Голотип. ИГН № 3450/3563.

Местонахождение: Воронежская область, воронежские слои.
 $d = 0,060-0,070$ мм. Цвет желтый.

Очертание споры треугольное. Тело споры также треугольное, плотное, заключено в пленчатый периспорий, который по краю выступает в виде оторочки с неровным краем. Поверхность периспория покрыта мелкими частыми бугорками. Щель разверзания трехлучевая, простая. Лучи щели равны радиусу периспория.

Распространение: верхнефранские отложения.

142. *Hymenozonotriletes trivialis* Naum. sp. n.
Табл. VIII, фиг. 4

Голотип. ИГН № 3450/3563.

Местонахождение: Воронежская область, с. Петино, воронежские слои.

$d = 0,045-0,050$ мм. Цвет светложелтый.

Спора в очертании треугольная с несколько выпуклыми гранями. Периспорий пленчатый, гладкий, прозрачный, имеет складки смятия, выступает по краю в виде широкой оторочки. Тело споры треугольное плотное, с ячеистой скульптурой, заключено в прозрачный периспорий. Щель разверзания трехлучевая, простая. Лучи щели равны радиусу периспория.

Распространение: верхний девон.

143. *Hymenozonotriletes medius* Naum. sp. n.
Табл. VIII, фиг. 5

Голотип. ИГН № 3450/3612.

Местонахождение: Воронежская область, с. Петино, петинские слои.

$d = 0,060-0,070$ мм. Цвет светложелтый.

Спора имеет треугольное очертание. Периспорий пленчатый, поверхность его покрыта редкими и мелкими шипиками. Щель разверзания трехлучевая, простая. Лучи щели равны радиусу периспория.

Распространение: верхнефранские отложения.

144. *Hymenozonotriletes velatus* Naum. sp. n.
Табл. VIII, фиг. 6

Голотип. ИГН № 3450/3563.

Местонахождение: Воронежская область, воронежские слои.
 $d = 0,050-0,060$ мм. Цвет светложелтый.

Спора имеет треугольное очертание. Периспорий пленчатый, прозрачный, смят в многочисленные мелкие складки. Тело споры треугольное, экзина тонкая. Поверхность экзины тела и периспория споры гладкая. Щель разверзания трехлучевая, простая. Лучи щели равны радиусу периспория.

Распространение: верхнефранские слои.

145. *Hymenozonotriletes denticulatus* Naum. sp. n.

Табл. VIII, фиг. 7

Голотип. ИГН № 3450/3563.

Местонахождение: Воронежская область, воронежские слои.
д = 0,065—0,070 мм. Цвет желтый.

Очертание споры треугольное. Периспорий пленчатый, тонкий, покрыт плотно прилегающими друг к другу мелкими бородавками. Тело споры треугольное, плотное, с несколько выпуклыми гранями, с утолщенным или узко отороченным краем. Щель разверзания трехлучевая, простая. Лучи щели доходят до края периспория.

Распространение: верхний девон, нижнефранские отложения.

146. *Hymenozonotriletes rarus* Naum. sp. n.

Табл. VIII, фиг. 8

Голотип. ИГН № 3450/3598.

Местонахождение: Воронежская область, с. Рудкино, рудкинские слои.

д = 0,060—0,070 мм. Цвет светло-желтый.

Спора в очертании треугольная. Периспорий пленчатый. Поверхность крупносетчато-шагреневая. Тело округло-треугольное, заключено в пленчатый периспорий, плотное, гладкое. Щель разверзания трехлучевая, простая. Лучи щели доходят до внешнего края оторочки.

Распространение: верхнефранские отложения.

147. *Hymenozonotriletes variabilis* Naum. sp. n.

Табл. VIII, фиг. 9

Голотип. ИГН № 3450/3563.

Местонахождение: Воронежская область, воронежские слои.

д = 0,050—0,090 мм. Цвет желтый.

Очертание споры округлое. Периспорий пленчатый, гладкий, имеет складки смятия. Тело споры округлое, плотное, гладкое. Щель разверзания тела и периспория трехлучевая, простая. Лучи щели равны радиусу периспория.

Распространение: верхнефранские отложения.

148. *Hymenozonotriletes platyrugosus* Naum. sp. n.

Табл. VIII, фиг. 10

Голотип. ИГН № 3450/3612.

Местонахождение: Воронежская область, с. Петрино, петинские слои.

д = 0,070—0,080 мм. Цвет светло-желтый.

Спора в очертании округло-овальная. Периспорий прозрачный, шагреневый, с крупными складками смятия. Тело округлое или овальное, плотное, немного меньше, чем периспорий. Щель разверзания трехлучевая, простая. Лучи щели равны радиусу периспория.

Распространение: верхнефранские отложения.

149. *Hymenogonotriletes polystichus* Naum. sp. n.

Табл. VIII, фиг. 11

Голотип. ИГН № 3450/2356.

Местонахождение: Башкирская АССР, Туймаза, низы щигровских слоев.

$d = 0,085 - 0,095$ мм. Цвет желтый.

Спора имеет округло-треугольное очертание. Периспорий пленчатый, поверхность его покрыта в несколько рядов крупношиповидными выростами. Тело споры треугольное, плотное, меньше периспория. Щель разверзания трехлучевая, простая. Лучи щели доходят до края тела.

Распространение: низы нижнефранских отложений верхнего девона и живетского яруса среднего девона.

150. *Hymenogonotriletes Tichomirovii* Naum. sp. n.

Табл. VIII, фиг. 12

Голотип. ИГН № 3450/4933.

Местонахождение: Чкаловская область, Байтуган, березовская свита.

$d = 0,060 - 0,070$ мм. Цвет желтый.

Спора имеет округлое очертание. Периспорий пленчатый, покрыт многочисленными шишками. Тело споры округлое, треугольное, толстое, узко отороченное. Поверхность его покрыта довольно крупными и частыми бугорками. Щель разверзания трехлучевая, простая. Лучи щели равны радиусу периспория.

Распространение: нижнефранские отложения верхнего девона.

151. *Hymenogonotriletes radiatus* Naum. sp. n.

Табл. VIII, фиг. 13

Голотип. ИГН № 3450/3563.

Местонахождение: Воронежская область, воронежские слои.

$d = 0,075 - 0,100$ мм. Цвет желтый.

Спора имеет округлое очертание. Периспорий пленчатый, имеет лучисто расположенные складки смятия. Тело плотное, меньше периспория, округлой формы, отороченное. Щель разверзания трехлучевая, простая. Лучи щели доходят до края периспория.

Распространение: верхнефранские отложения.

152. *Hymenozonotriletes spinulosus* Naum. sp. n.

Табл. VIII, фиг. 14

Голотип. ИГН № 3450/3818.

Местонахождение: Воронежская область, нижнешигровские слои.

$d = 0,100-0,125$ мм. Цвет светло-желтый.

Очертание споры округло-овальное, неправильное. Периспорий прозрачный, тонкий, поверхность его покрыта частыми и очень маленькими тонкими шипиками. Тело споры округлое или округло-треугольное, плотное, несколько меньше периспория. Щель разверзания трехлучевая, простая. Лучи щели немного не доходят до края периспория или же равны его радиусу.

Распространение: франский ярус.

153. *Hymenozonotriletes melanidus* Naum. sp. n.

Табл. VIII, фиг. 15

Голотип. ИГН № 3450/8776.

Местонахождение: Калужская область, нижнешигровские слои.

$d = 0,100-0,120$ мм. Цвет желтый.

Спора имеет округло-треугольное очертание. Периспорий пленчатый, поверхность его покрыта частыми, очень короткими шипиками с несколько расширенными основаниями. Тело споры округло-треугольное, узко отороченное. Диаметр тела 0,060 мм. Щель разверзания трехлучевая, простая. Лучи щели равны радиусу периспория.

Распространение: нижнефранские отложения.

154. *Hymenozonotriletes meonacanthus* Naum. sp. n.

Табл. VIII, фиг. 16

Голотип. ИГН № 3450/3612.

Местонахождение: Воронежская область, с. Петино, петинские слои.

$d = 0,070-0,080$ мм. Цвет желтый.

Очертание споры треугольное. Периспорий пленчатый. Поверхность его покрыта мелкими и редкими шипиками. Тело споры узко отороченное, плотное, немного меньше периспория. Щель разверзания периспория трехлучевая. Лучи щели равны радиусу периспория.

Распространение: франские отложения.

155. *Hymenozonotriletes mancus* Naum. sp. n.

Табл. VIII, фиг. 17

Голотип. ИГН № 3450/3563.

Местонахождение: Воронежская область, воронежские слои.

$d = 0,036-0,045$ мм. Цвет светло-желтый.

Очертание споры треугольное. Периспорий гладкий, пленчатый. Тело споры треугольное, плотное, заключено в прозрачный периспорий, который несколько превышает экзину. Щель разверзания трехлучевая, простая. Лучи щели доходят до внешнего края оторочки.

Распространение: верхнефранские отложения.

156. *Nymenozonotriletes imperfectus* Naum. sp. n.

Табл. VIII, фиг. 18

Голотип. ИГН № 3450/3563.

Местонахождение: Воронежская область, с. Петино, воронежские слои.

$d = 0,040 - 0,045$ мм. Цвет светло-желтый.

Очертание споры треугольное. Периспорий гладкий, пленчатый. Тело споры треугольное, плотное, немного меньше периспория. Периспорий по граням имеет по одной складке. Щель разверзания трехлучевая, простая. Лучи щели равны радиусу периспория.

Распространение: верхнефранские отложения.

157. *Nymenozonotriletes rugilobus* Naum. sp. n.

Табл. VIII, фиг. 19

Голотип. ИГН № 3450/3769.

Местонахождение: Воронежская область, Конь-Колодезь, евлановские слои.

$d = 0,045 - 0,055$ мм. Цвет светло-желтый.

Спора имеет округлое или округло-овальное очертание. Периспорий гладкий, пленчатый, смят в крупные складки. Тело споры плотное, гладкое, округлое или округло-овальное, узко отороченное, немного меньше периспория. Щель разверзания экзины трехлучевая, простая. Лучи тела споры с несколько расширенным основанием; лучи щели разверзания периспория отороченные.

Распространение: верхнефранские отложения верхнего девона.

158. *Nymenozonotriletes evlanensis* Naum. sp. n.

Табл. VIII, фиг. 20

Голотип. ИГН № 3450/3769.

Местонахождение: Воронежская область, Конь-Колодезь, евлановские слои.

$d = 0,035 - 0,045$ мм. Цвет желтый.

Очертание споры многоугольное. Периспорий пленчатый, нежношагреневый, немного больше, чем тело споры. Тело споры многоугольное, плотное. Щель разверзания тела споры трехлучевая, простая; лучи щели почти равны радиусу тела споры. Щель разверзания периспория трехлучевая, узко отороченная; лучи щели доходят до края периспория.

Распространение: воронежские и евланово-ливенские слои.

159. *Nymenozonotriletes angulatus* Naum. sp. n.

Табл. VIII, фиг. 21

Голотип. ИГН № 3450/3769.

Местонахождение: Воронежская область, Конь-Колодезь, евлановские слои.

$d = 0,040 - 0,050$ мм. Цвет желтый.

Спора в очертании многоугольная. Периспорий пленчатый, шагреневый, немного больше тела споры. Тело споры многоугольное, плотное, гладкое. Щель разверзания тела и периспория отороченная. Лучи щели разверзания периспория и тела споры равны соответственно их радиусам.

Распространение: верхнефранские слои.

160. *Nymenozonotriletes livensis* Naum. sp. n.

Табл. VIII, фиг. 22

Голотип. ИГН № 3450/3769.

Местонахождение: Воронежская область, Конь-Колодезь, евлановские слои.

$d = 0,030 - 0,035$ мм. Цвет желтый.

Очертание споры многоугольное. Периспорий пленчатый, гладкий, немного больше тела споры. Тело споры многоугольное, гладкое. Щель разверзания тела трехлучевая, простая. Лучи щели равны радиусу тела споры. Щель разверзания периспория трехлучевая, отороченная. Лучи щели равны радиусу периспория.

Распространение: верхнефранские слои.

161. *Nymenozonotriletes speciosus* Naum. sp. n.

Табл. IX, фиг. 1

Голотип. ИГН № 3450/3563.

Местонахождение: Воронежская область, воронежские слои.

$d = 0,095 - 0,100$ мм. Цвет светложелтый.

Очертание споры треугольное с выпуклыми гранями и заостренными углами. Периспорий пленчатый, мелкоморщинистый, бахромчатый по краю и гладкий в центре. Тело споры округлое или округло-треугольное, плотное, с утолщенным краем, в два раза меньше периспория. Щель разверзания трехлучевая, простая. Лучи щели почти доходят до конца периспория.

Распространение: верхнефранские отложения.

162. *Nymenozonotriletes primarius* Naum. sp. n.

Табл. IX, фиг. 2

Голотип. ИГН № 3450/3563.

Местонахождение: Воронежская область, воронежские слои.

$d = 0,080 - 0,090$ мм. Цвет светложелтый.

Спора имеет треугольное очертание. Периспорий пленчатый, поверхность его покрыта мелкими бугорками, плотно прилегающими друг к другу. К центру бугорки совсем незаметны. Тело споры треугольное, плотное, в два раза меньше периспория. Щель разверзания трехлучевая, простая. Лучи щели доходят до края периспория.

Распространение: верхнефранские отложения.

163. *Hymenogonotriletes tenellus* Naum. sp. n.

Табл. IX, фиг. 3

Голотип. ИГН № 3450/3563.

Местонахождение: Воронежская область, воронежские слои.

$d = 0,060-0,075$ мм. Цвет светло-желтый.

Спора имеет треугольное очертание с выпуклыми гранями. Периспорий пленчатый, шагреневый, в два раза превышает тело споры, поэтому выступает в виде широкой оторочки. Тело споры треугольное, плотное, с утолщенным краем; щель разверзания экзины трехлучевая, с приподнятым краем. Лучи щели равны радиусу периспория.

Распространение: верхнефранские отложения.

164. *Hymenogonotriletes eximus* Naum. sp. n.

Табл. IX, фиг. 4

Голотип. ИГН № 3450/3563.

Местонахождение: Воронежская область, воронежские слои.

$d = 0,020-0,100$ мм. Цвет светло-желтый.

Очертание споры треугольное. Периспорий пленчатый, в два раза превышает тело споры, образуя по краю широкую оторочку. Поверхность периспория покрыта мелкими и плотно прилегающими друг к другу бугорками. Тело споры треугольное, плотное. Щель разверзания трехлучевая, простая. Лучи щели равны радиусу периспория.

Распространение: верхний девон, верхнефранские отложения.

165. *Hymenogonotriletes tellus* Naum. sp. n.

Табл. IX, фиг. 5

Голотип. ИГН № 3450/3563.

Местонахождение: Воронежская область, с. Хворостань, подрудкинские слои.

$d = 0,080-0,085$ мм. Цвет желтый.

В очертании спора треугольная. Периспорий пленчатый, мелкоморщинистый, с мелкими шипиками. Тело споры треугольное, плотное, гладкое, в два раза меньше периспория. Щель разверзания трехлучевая, простая. Лучи щели доходят до края периспория.

Распространение: верхнефранские отложения верхнего девона.

166. *Nymenogonotriletes domanicus* Naum. sp. n.

Табл. IX, фиг. 6

Голотип. ИГН № 3450/3533.

Местонахождение: Воронежская область, с. Хворостань, подрудкинские слои.

$d = 0,090-0,100$ мм. Цвет светложелтый.

Спора имеет треугольное очертание с несколько выщуканными гранями. Периспорий пленчатый, в два раза превышает тело споры, крупносетчатоморщинистый, с редкими, округлыми бугорками. Тело треугольное, плотное, гладкое. Щель разверзания трехлучевая, простая. Лучи щели доходят до края периспория.

Распространение: верхне- и среднефранские отложения.

167. *Nymenogonotriletes Krestovnikovii* Naum. sp. n.

Табл. IX, фиг. 7

Голотип. ИГН № 3450/4924.

Местонахождение: Чкаловская область, Байтуган, яблоновская свита.

$d = 0,090-0,100$ мм. Цвет желтый.

Спора имеет треугольное очертание. Периспорий пленчатый, поверхность его покрыта редкими бугорками. Тело споры треугольное, плотное, узко отороченное, в два раза меньше периспория. Щель разверзания трехлучевая, простая. Лучи щели равны радиусу периспория.

Распространение: нижнефранские отложения.

168. *Nymenogonotriletes deliquescens* Naum. sp. n.

Табл. IX, фиг. 8

Голотип. ИГН № 3450/3563.

Местонахождение: Воронежская область, воронежские слои.

$d = 0,060-0,095$ мм. Цвет желтый.

Очертание споры треугольное. Периспорий пленчатый, несколько превышает тело споры. Поверхность периспория покрыта сравнительно не-крупными шипиками. Тело споры треугольное, узко отороченное, плотное. Щель разверзания трехлучевая, простая. Лучи щели доходят до края периспория.

Распространение: франский ярус.

169. *Nymenogonotriletes argutus* Naum. sp. n.

Табл. IX, фиг. 9

Голотип. ИГН № 3450/3788.

Местонахождение: Воронежская область, с. Петино, семилукские слои.

$d = 0,090-0,100$ мм. Цвет светложелтый.

Спора в очертании треугольная. Периспорий плечатый, несколько превышает тело споры. Поверхность периспория часто покрыта сравнительно крупными, шиповидными выростами с расширениями на концах. Тело споры треугольное, очень плотное, с довольно широкой оторочкой. Щель разверзания трехлучевая, простая. Лучи щели равны радиусу периспория.

Распространение: низы франского яруса.

170. *Nymenozonotriletes dentatus* Naum. sp. n.

Табл. IX, фиг. 10

Голотип. ИГН № 3450/4924.

Местонахождение: Чкаловская область, Байтуган, яблоновская свита.

$d = 0,070 - 0,080$ мм. Цвет желтый.

Спора имеет треугольное очертание с выпуклыми гранями. Периспорий плечатый, более чем в два раза превышает тело споры, образуя широкую оторочку. Поверхность периспория шагреневая, покрыта частыми мелкими шиповидными выростами. Тело споры округло-треугольное, плотное. Щель разверзания трехлучевая, простая. Лучи щели почти равны радиусу периспория.

Распространение: низы франского яруса.

171. *Nymenozonotriletes incisus* Naum. sp. n.

Табл. IX, фиг. 11

Голотип. ИГН № 3450/8776.

Местонахождение: Калужская область, нижнешигровские слои.

$d = 0,080 - 0,090$ мм. Цвет светло-желтый.

В очертании спора округло-треугольная. Периспорий плечатый, значительно превышает тело споры, выступая по краю в виде оторочки. Поверхность периспория грубошагреневая, покрыта в несколько рядов довольно крупными шиповидными выростами с расширенными окончаниями. Тело споры треугольное. Щель разверзания трехлучевая, простая. Лучи щели равны радиусу периспория.

Распространение: нижнефранские отложения.

172. *Nymenozonotriletes laciniatus* Naum. sp. n.

Табл. IX, фиг. 12

Голотип. ИГН № 3450/3788.

Местонахождение: Воронежская область, с. Петино, семилукские слои.

$d = 0,090 - 0,100$ мм. Цвет светло-желтый.

Спора имеет неправильное треугольное очертание. Периспорий плечатый, в два раза превышает тело споры. На поверхности периспория имеются длинные шиповидные выросты, располагающиеся в несколько рядов. Тело споры округло-треугольное, плотное. Щель разверзания трехлучевая, простая. Лучи щели равны радиусу периспория.

Данная форма близка к *Nymelozonotriletes incisus* Naum., но отличается более длинными шиловидными выростами.

Распространение: верхнефранские отложения.

Подгруппа *Stenozonotriletes* Naumova, 1937

173. *Stenozonotriletes simplicissimus* Naum. sp. n.

Табл. X, фиг. 1, 2

Голотип. ИГН № 3450/3612.

Местонахождение: Воронежская область, с. Петино, петинские слои.

$d = 0,030-0,040$ мм. Цвет желтый.

Очертание споры округлое. Экзина тонкая, гладкая, по краю узко отороченная. Щель разверзания трехлучевая, простая. Лучи щели равны радиусу тела споры.

Распространение: широко распространена от верхнего девона до третичных отложений.

174. *Stenozonotriletes simplex* Naum. sp. n.

Табл. X, фиг. 3

Паратип. ИГН № 3450/3563.

Местонахождение: Воронежская область, с. Петино, воронежские слои.

$d = 0,035-0,040$ мм. Цвет желтый.

Данная форма тождественна форме, описанной из верхнекиветских отложений.

Распространение: верхний девон и нижний карбон.

175. *Stenozonotriletes pumilus* (Waltz) Naum.

Табл. X, фиг. 4-6

1941. *Zonotriletes pumilus* Waltz. Любер А. А. и Вальц Н. Э. Атлас микроспор и пильцы палеозоя. Тр. ВСЕГЕИ, вып. 139, табл. IV, фиг. 63а.

Местонахождение: Воронежская область, с. Петино, петинские слои.

$d = 0,010-0,020$ мм. Цвет желтый.

Распространение: с верхнего девона до четвертичных отложений.

176. *Stenozonotriletes calamites* Naum. sp. n.

Табл. X, фиг. 7

Голотип. ИГН № 3450/4924.

Местонахождение: Чкаловская область, Байтуган, яблонопская свита.

$d = 0,045-0,055$ мм. Цвет желтый.

Очертание споры округлое. По краю спора узко оторочена. Поверхность экзины гладкая. Щель разверзания трехлучевая, простая. Лучи

щели равны одной четверти радиуса тела споры. Экзина между лучами утолщенная, более темная.

Распространение: франский ярус.

177. *Stenozonotriletes recognitus* Naum. sp. n.

Табл. X, фиг. 8

Голотип. ИГН № 3450/4924.

Местонахождение: Чкаловская область, Байтуган, иблонинская свита.

$d = 0,050-0,055$ мм. Цвет желтый.

Очертание споры округлое. Экзина плотная. Поверхность экзины гладкая. Оторочка узкая. Щель разверзания трехлучевая, простая, заключена в темный треугольник. Лучи щели в три раза меньше радиуса тела споры.

Распространение: средний и верхний девон.

178. *Stenozonotriletes laevigatus* Naum. sp. n.

Табл. X, фиг. 9, 10

Голотип. ИГН № 3450/3612.

Местонахождение: Воронежская область, с. Петино, иблонинские слои.

$d = 0,060-0,070$ мм. Цвет желтый.

Спора имеет округлое очертание. Экзина толстая, гладкая. Тело споры округлое. Оторочка узкая, ровная. Щель разверзания трехлучевая, простая. Лучи щели равны половине радиуса тела споры.

Распространение: верхний девон.

179. *Stenozonotriletes conformis* Naum.

Табл. X, фиг. 11, 12

Паратип. ИГН № 3450/3563.

Местонахождение: Воронежская область, с. Петино, воронежские слои.

$d = 0,035-0,050$ мм. Цвет темно-желтый.

Очертание споры округлое, оторочка узкая с ровным краем. Щель разверзания трехлучевая, простая. Лучи щели равны радиусу тела споры.

Данная форма близка к *St. simplicissimus* Naum., от которой отличается более толстой и темной экзиной и более широкой оторочкой.

Распространение: франский и фамелекский ярусы верхнего девона, карбон и мезозой.

180. *Stenozonotriletes tersus* (Waltz) Naum.

Табл. X, фиг. 13

1941. *Zonotriletes tersus* Waltz. Любер А. А. и Вальц Н. Э. Атлас микроспор и пыльцы налеозоя СССР. Тр. ВСЕГЕИ, вып. 139, табл. IV, фиг. 58.

Местонахождение: Чкаловская область, Байтуган, иблонинская свита.

$d = 0,030-0,035$ мм. Цвет желтый.

Очертание споры округло-треугольное. Тело споры округлое. Экзина плотная, гладкая. Оторочка узкая. Щель разверзания трехлучевая, простая. Лучи щели равны радиусу тела споры.

Распространение: верхний девон, нижний карбон.

181. *Stenozonotriletes manifestus* Naum. sp. n.

Табл. X, фиг. 14

Голотип. ИГН № 3450/4924.

Местонахождение: Чкаловская область, Байтуган, яблоновская свита.

$\lambda = 0,040-0,050$ мм. Цвет темно-желтый.

Спора имеет треугольное очертание, с несколько выщуклыми гранями. Экзина плотная, гладкая. Оторочка узкая. Щель разверзания трехлучевая, отороченная. Лучи щели равны радиусу тела споры и имеют несколько раздвоенное окончание у внешнего края.

Распространение: нижнефранские отложения.

182. *Stenozonotriletes glabellus* Naum. sp. n.

Табл. X, фиг. 15

Голотип. ИГН № 3450/3563.

Местонахождение: Воронежская область, воронежские слои.

$\lambda = 0,020-0,040$ мм. Цвет желтый.

Очертание споры округлое. Экзина плотная, толстая, оторочка узкая. Поверхность экзины гладкая. Щель разверзания трехлучевая, простая. Лучи щели равны радиусу тела споры. У внешнего края лучи раздваиваются.

Распространение: верхнефранские отложения.

183. *Stenozonotriletes definitus* Naum. sp. n.

Табл. X, фиг. 16, 17

Голотип. ИГН № 3450/4924.

Местонахождение: Чкаловская область, Байтуган, яблоновская свита.

$\lambda = 0,015-0,055$ мм. Цвет желтый.

Очертание споры округло-треугольное. Тело споры также округло-треугольное, оторочка узкая. Поверхность тела и оторочки споры слабо шагреневая. Щель разверзания трехлучевая, простая. Лучи щели равны или немного меньше радиуса тела споры.

Распространение: верхний девон.

184. *Stenozonotriletes formosus* Naum. sp. n.

Табл. X, фиг. 18

Голотип. ИГН № 3450/4921.

Местонахождение: Чкаловская область, Байтуган, шугуровская свита.

$d = 0,055 - 0,060$ мм. Цвет желтый.

Спора в очертании треугольная. Тело споры треугольное. Оторочка узкая. Поверхность тела споры слабо шагреневая, оторочка гладкая. Щель разверзания трехлучевая, простая. Лучи щели равны половине радиуса тела споры и заключены в темный треугольник.

Распространение: средний и верхний девон.

185. *Stenozonotriletes extensus* Naum. sp. n. var. *major* Naum.

Табл. X, фиг. 19

Голотип. ИГН № 3450/4924.

Местонахождение: Чкаловская область, Байтуган, яблоновская свита.

$d = 0,050 - 0,060$ мм. Цвет желтый.

Спора в очертании треугольная. Экзина плотная. Тело споры треугольное. Поверхность тела шагреневая, оторочка узкая, гладкая. Щель разверзания трехлучевая, простая. Лучи щели равны радиусу тела споры.

Распространение: верхний и средний девон.

186. *Stenozonotriletes extensus* Naum. sp. n. var. *medius* Naum.

Табл. X, фиг. 20

Голотип. ИГН № 3450/4924.

Местонахождение: Чкаловская область, Байтуган, яблоновская свита.

$d = 0,035 - 0,045$ мм. Цвет желтый.

Спора имеет округло-треугольное очертание. Экзина плотная, узко отороченная. Тело споры шагреневое. Оторочка гладкая. Щель разверзания трехлучевая, простая. Лучи щели почти равны радиусу тела споры.

Распространение: верхний девон.

187. *Stenozonotriletes extensus* Naum. sp. n. var. *minor* Naum.

Табл. X, фиг. 21

Голотип. ИГН № 3450/4924.

Местонахождение: Чкаловская область, Байтуган, яблоновская свита.

$d = 0,020 - 0,030$ мм. Цвет желтый.

Спора имеет треугольное очертание. Тело споры треугольное, по краю узко отороченное. Поверхность тела споры шагреневая. Оторочка гладкая.

Щель разверзания трехлучевая, простая. Лучи щели равны радиусу тела споры.

Данная форма отличается от основной формы небольшим размером.
Распространение: верхний девон.

188. *Stenozonotriletes millegranus* Naum. sp. n.

Табл. X, фиг. 22

Голотип. ИГН № 3450/4924.

Местонахождение: Чкаловская область, Байтуган, яблонинская свита.

$d = 0,025-0,030$ мм. Цвет желтый.

Очертание споры округлое или округло-треугольное. Тело покрыто частными, мелкими бородавками, имеются складки смятия. Щель разверзания трехлучевая, простая. Лучи щели равны половине радиуса тела споры.

Распространение: верхний девон.

189. *Stenozonotriletes lasius* Naum. sp. n.

Табл. X, фиг. 23

Голотип. ИГН № 3450/4924.

Местонахождение: Чкаловская область, Байтуган, яблонинская свита.

$d = 0,040-0,045$ мм. Цвет желтый.

Спора имеет окружное очертание. Экзина тонкая, узко отороченная. Поверхность экзины тела споры зернисто-шагреневая. Оторочка гладкая. Щель разверзания трехлучевая, простая. Лучи щели почти равны радиусу тела споры.

Распространение: франский ярус.

190. *Stenozonotriletes trivialis* Naum. sp. n.

Табл. X, фиг. 24

Голотип. ИГН № 3450/3612.

Местонахождение: Воронежская область, с. Петино, петинские слои.

$d = 0,030-0,050$ мм. Цвет желтый.

Спора имеет треугольное очертание. Оторочка очень узкая, гладкая. Тело треугольное, поверхность тела споры мелкобородавчатая. Щель разверзания трехлучевая, простая. Лучи почти равны радиусу тела споры.

Распространение: верхнефранские отложения.

191. *Stenozonotriletes zonalis* Naum. sp. n.

Табл. X, фиг. 25

Голотип. ИГН № 3450/3612.

Местонахождение: Воронежская область, с. Петино, петинские слои.

$d = 0,040-0,050$ мм. Цвет желтый.

Спора имеет треугольное очертание. Оторочка узкая, гладкая, по краю ровная. Тело споры треугольное, шагреневое. Щель разверзания трехлучевая, простая. Лучи щели равны радиусу тела споры, близ основания имеют расширения.

Распространение: верхнефранские отложения.

192. *Stenozonotriletes ornatus* Naum. sp. n.

Табл. XI, фиг. 1, 2

Голотип. ИГН № 3450/3612.

Местонахождение: Воронежская область, с. Нетино, нетинские слои.

$\lambda = 0,040 - 0,050$ мм. Цвет желтый.

Очертание споры треугольное. Оторочка узкая, гладкая, край слабо волнистый. Тело треугольное, поверхность его тонкоребристая. Щель разверзания трехлучевая, простая. Лучи щели равны радиусу тела споры.

Распространение: верхнефранские отложения.

193. *Stenozonotriletes specandus* Naum. sp. n.

Табл. XI, фиг. 3

Голотип. ИГН № 3450/3612.

Местонахождение: Воронежская область, с. Нетино, нетинские слои.

$\lambda = 0,055 - 0,065$ мм. Цвет желтый.

Спора имеет округло-треугольное очертание. Оторочка узкая, с нервным краем. Тело округло-треугольное. Поверхность тела и оторочки гладкая. Щель разверзания трехлучевая, края щели утолщены в виде каймы. Лучи щели равны радиусу тела споры.

Распространение: верхнефранские отложения.

194. *Stenozonotriletes infirmus* Naum. sp. n.

Табл. XI, фиг. 4

Голотип. ИГН № 3450/3563.

Местонахождение: Воронежская область, воронежские слои.

$\lambda = 0,030 - 0,040$ мм. Цвет желтый.

Спора имеет пирамидальное очертание. Экзина толстая. Оторочка узкая, утолщенная, в особенности по углам. Тело споры треугольное, гладкое. На теле по граням имеются один или два продольных валика. Щель разверзания трехлучевая, простая. Лучи щели равны радиусу тела споры.

Распространение: верхнефранские отложения.

Подгруппа *Lophozonotriletes* Naumova gen. nov.

Споры этой подгруппы характеризуются плотным периспорием с крупнобугорчатой скульптурой, выступающим по краю в виде узкой оторочки.

195. *Lophozonotriletes grandis* Naum. sp. n.

Табл. XI, фиг. 5, 6

Голотип. ИГН № 3450/4924.

Местонахождение: Чкаловская область, Байтуган, яблонинская свита.

$d = 0,070-0,095$ мм. Цвет темно-желтый.

Спора имеет округлое или округло-треугольное очертание. Периспорий очень толстый. Поверхность периспория покрыта редкими, толстыми бугорками. Оторочка узкая. Щель разверзания трехлучевая, простая. Лучи щели равны радиусу тела споры.

Распространение: франский ярус и верхи живетекского яруса.

196. *Lophozonotriletes concessus* Naum. sp. n.

Табл. XI, фиг. 7, 8

Голотип. ИГН № 3450/3563.

Местонахождение: Воронежская область, с. Петино, воронежские слои.

$d = 0,030-0,050$ мм. Цвет желтый.

Очертание споры округлое или округло-треугольное. Периспорий толстый, покрыт частыми, мелкими бугорками, оторочка узкая. Щель разверзания трехлучевая, простая. Лучи щели равны радиусу тела.

Распространение: франский ярус.

197. *Lophozonotriletes retusus* Naum. sp. n.

Табл. XI, фиг. 9

Голотип. ИГН № 3450/3563.

Местонахождение: Воронежская область, воронежские слои.

$d = 0,050-0,070$ мм. Цвет желтый.

В очертании спора округло-треугольная. Периспорий очень толстый. Поверхность периспория покрыта довольно частыми, крупными, плосковатыми и неясно выраженным бугорками. Оторочка узкая. Щель разверзания трехлучевая, простая. Лучи щели равны радиусу тела споры.

Распространение: верхнефранские отложения.

198. *Lophozonotrilete. gramosus* Naum. sp. n.

Табл. XI, фиг. 10

Голотип. ИГН № 3450/3563.

Местонахождение: Воронежская область, воронежские слои.

$d = 0,030-0,050$ мм. Цвет темно-желтый.

Очертание споры треугольное с выпуклыми гранями. Периспорий очень толстый, узко отороченный, покрыт плотно прилегающими друг к другу небольшими бугорками. Щель разверзания трехлучевая, простая. Лучи щели равны радиусу тела споры.

Распространение: широко распространена в верхнефранских отложениях.

199. *Lophozonotriletes raritulerculatus* Naum. sp. n.

Табл. XI, фиг. 11

Голотип. ИГН № 3450/3612.

Местонахождение: Воронежская область, с. Петино, петинские слои.

$d = 0,045-0,060$ мм. Цвет темно-желтый.

Спора имеет треугольное очертание. Периспорий очень толстый, покрыт толстыми, крупными и плоскими бугорками. Щель разверзания трехлучевая, простая, иногда края ее несколько утолщены. Лучи щели равны радиусу тела споры.

Распространение: верхнефранские отложения.

200. *Lophozonotriletes torosus* Naum. sp. n.

Табл. XI, фиг. 12

Голотип. ИГН № 3450/3612.

Местонахождение: Воронежская область, с. Петино, петинские слои.

$d = 0,060-0,065$ мм. Цвет темно-желтый.

Очертание споры округло-треугольное. Периспорий очень толстый, узко отороченный, покрыт редкими и очень крупными бугорками. Щель разверзания трехлучевая, простая. Лучи щели равны радиусу тела споры.

Распространение: широко развита в верхнефранских отложениях, в особенности в петинских слоях.

201. *Lophozonotriletes tylophorus* Naum. sp. n.

Табл. XI, фиг. 13

Голотип. ИГН № 3450/3563.

Местонахождение: Воронежская область, воронежские слои.

$d = 0,040-0,050$ мм. Цвет темно-желтый.

Спора в очертании округло-треугольная. Периспорий очень толстый. Поверхность периспория покрыта довольно крупными и широкими бугорками. Оточка узкая. Щель разверзания трехлучевая, простая. Лучи щели равны радиусу тела споры.

Распространение: верхний девон, верхнефранские отложения.

202. *Lophozonotriletes crassatus* Naum. sp. n.

Табл. XI, фиг. 14

Голотип. ИГН № 3450/3612.

Местонахождение: Воронежская область, с. Петино, петинские слои.

$d = 0,060-0,065$ мм. Цвет темно-желтый.

Спора имеет округло-треугольное очертание. Периспорий толстый, поверхность его покрыта плотно прилегающими друг к другу мелкими и слабо выступающими плоскими бугорками, расположенными в несколько рядов. Оторочка узкая, по краю неровная. Тело споры округло-треугольное. Щель разверзания трехлучевая, простая. Лучи щели равны радиусу тела споры.

Распространение: верхнефранские отложения.

203. *Lophozonotriletes evlanensis* Naum. sp. n.

Табл. XI, фиг. 15

Голотип. ИГН № 3450/3769.

Местонахождение: Воронежская область, евлановские слои.

$d = 0,060 - 0,065$ мм. Цвет темножелтый.

Очертание споры округлое. Периспорий очень толстый, поверхность его покрыта плотно прилегающими, довольно крупными, округлыми бугорками. Щель разверзания трехлучевая, простая. Лучи щели равны половине радиуса тела споры.

Распространение: верхнефранские отложения, особенно широко развита в евлановских слоях.

204. *Lophozonotriletes gillerulus* Naum. sp. n.

Табл. XI, фиг. 16

Голотип. ИГН № 3450/3563.

Местонахождение: Воронежская область, с. Петино, воронежские слои.

$d = 0,030 - 0,045$ мм. Цвет желтый.

Очертание споры треугольное. Периспорий толстый, поверхность его покрыта редкими крупными бугорками неправильной формы. Оторочка узкая, утолщенная. Щель разверзания трехлучевая, простая. Лучи щели равны радиусу тела споры.

Распространение: верхнефранские отложения.

205. *Lophozonotriletes curvatus* Naum. sp. n.

Табл. XI, фиг. 17

Голотип. ИГН № 3450/3598.

Местонахождение: Воронежская область, с. Рудкино, рудкинские слои.

$d = 0,030 - 0,040$ мм. Цвет желтый.

Очертание споры треугольное. Периспорий толстый с узкой оторочкой. Поверхность периспория покрыта мелкими редкими бугорками. Щель разверзания трехлучевая. Лучи щели почти равны радиусу тела споры.

Распространение: верхнефранские отложения и фаменский ярус.

206. *Lophozonotriletes excisus* Naum. sp. n.

Табл. XI, фиг. 18

Голотип. ИГН № 3450/8776.

Местонахождение: Калужская область, нижненцигровские слои.

$d = 0,030 - 0,040$ мм. Цвет желтый.

Спора имеет треугольное или округло-треугольное очертание. Периспорий толстый. Отличка узкая с вырезанным краем. Поверхность тела споры покрыта усечеными, плосковатыми бугорками. Щель разверзания трехлучевая, простая. Лучи щели разверзания почти равны радиусу тела споры.

Распространение: франский ярус

Подгруппа *Archaeozonotriletes* Naumova gen. nov.

207. *Archaeozonotriletes polymorphus* Naum. sp. n.

Табл. XI, фиг. 19--21

Голотип. ИГН № 3450/3769.

Местонахождение: Воронежская область, Конь-Колодезь, евлановские слои.

$d = 0,035 - 0,055$ мм. Цвет желтый.

Очертание споры округло-треугольное. Периспорий толстый, поверхность его покрыта рельефно выступающими валикообразными тяжами, внешний край которых глубоко изрезан. Отличка фестонообразная, изрезанная, узкая. Щель разверзания трехлучевая, простая. Тучи ее равны или немного меньше радиуса тела споры.

Распространение: верхнефранские отложения.

208. *Archaeozonotriletes strangulatus* Naum. sp. n.

Табл. XI, фиг. 22, 23

Голотип. ИГН № 3450/3769.

Местонахождение: Воронежская область, Конь-Колодезь, евлановские слои.

$d = 0,040 - 0,050$ мм. Цвет желтый.

Спора имеет округло-треугольное очертание. Периспорий плотный, гладкий, с волнистым неровным краем и редкими переплетающимися валиками. Экзина треугольная, гладкая. Щель разверзания трехлучевая, простая. Лучи щели равны половине радиуса тела споры.

Распространение: верхнефранские отложения.

209. *Archaeozonotriletes crenatus* Naum. sp. n.

Табл. XI, фиг. 24

Голотип. ИГН № 3450/5133.

Местонахождение: Куйбышевская область, Красная Поляна, воронежские слои.

$d = 0,030 - 0,035$ мм. Цвет желтый.

Спора имеет округлое очертание. Периспорий плотный, поверхность его гладкая, оторочка узкая, по краю фестонообразно изрезанная. Тело споры округлое. Щель разверзания трехлучевая, простая. Лучи щели равны радиусу тела споры.

Распространение: верхнедевонские отложения.

210. *Archaeozonotriletes macromanifestus* Naum. sp. n.

Табл. XII, фиг. 1

Голотип. ИГН № 3450/4924.

Местонахождение: Чкаловская область, Байтуган, яблонинская свита.

$d = 0,100-0,200$ мм. Цвет желтый.

Очертание споры округло-треугольное. Периспорий плотный, толстый, покрыт мелкими бугорками, плотно прилегающими друг к другу: по краю выступает в виде оторочки, которая часто неравномерно развита вокруг тела. Внешний край периспория утолщен в виде узкой каймы. Экзина округло-треугольная, часто смещена к одной стороне. Щель разверзания трехлучевая, простая. Лучи щели равны радиусу тела споры.

Данная форма близка к *Arch. micromanifestus* Naum., от которой отличается большим размером.

Распространение: нижнефранские отложения.

211. *Archaeozonotriletes micromanifestus* Naum.

Табл. XII, фиг. 2—4

Наратив. ИГН № 3450/4924.

Местонахождение: Чкаловская область, Байтуган, яблонинская свита.

$d = 0,090-0,100$ мм. Цвет желтый.

Спора имеет округло-треугольное очертание. Периспорий плотный, толстый. Поверхность периспория покрыта мелкими плотно прилегающими друг к другу бугорками. Диаметр периспория в 1,5—2 раза больше диаметра тела споры. Тело споры по краю выступает в виде оторочки. Край оторочки утолщен в виде плоского валика. Щель разверзания трехлучевая, простая. Лучи доходят до края тела споры и не заходят на оторочку.

Распространение: низы франского яруса и верхи среднего девона.

212. *Archaeozonotriletes opiparus* Naum. sp. n.

Табл. XII, фиг. 5

Голотип. ИГН № 3450/3612.

Местонахождение: Воронежская область, с. Нетино, нетинские слои.

$d = 0,030-0,040$ мм. Цвет желтый.

Очертание пыльцы округло-треугольное. Периспорий плотный, несколько превышает тело споры. Внешний край периспория утолщен в виде узкого валика. Поверхность периспория шагреневая. Тело споры треуголь-

ное с узкой оторочкой. Щель разверзания трехлучевая, простая. Лучи щели равны радиусу тела споры.

Распространение: средний девон и низы верхнего девона.

213. *Archaeozonotriletes comptus* Naum. sp. n.

Табл. XII, фиг. 6

Голотип. ИГН № 3450/8776.

Местонахождение: Калужская область, низы щигровских слоев.

$d = 0,045 - 0,055$ мм. Цвет желтый.

Спора имеет округло-треугольное очертание. Периспорий плотный, в два раза превышает тело споры. Внешний край периспория утолщен в виде узкого валика. Поверхность оторочки и тела споры покрыта редкими, мелкими шипиками. Щель разверзания трехлучевая, простая. Лучи щели равны радиусу периспория.

Распространение: нижнефранские отложения.

214. *Archaeozonotriletes singularis* Naum. sp. n.

Табл. XII, фиг. 7

Голотип. ИГН № 3450/8776.

Местонахождение: Калужская область, низы щигровских слоев.

$d = 0,070 - 0,075$ мм. Цвет желтый.

Спора в очертании округло-треугольная. Периспорий плотный, мелко-бородавчатый, по краю узко отороченный. Тело споры треугольное, углы несколько вытянуты. Щель разверзания трехлучевая, простая. Лучи щели равны радиусу тела споры.

Распространение: низы франского и верхи живетского ярусов.

215. *Archaeozonotriletes variabilis* Naum.

Табл. XII, фиг. 8—11

Паратип. ИГН № 3450/4924.

Местонахождение: Чкаловская область, Байтуган, яблоновская свита.

$d = 0,030 - 0,060$ мм. Цвет желтый.

Очертание споры округло-треугольное. Периспорий плотный, в два раза превышает тело споры, выступая по краю тела споры в виде оторочки. Край оторочки часто бывает неровным. Поверхность тела и периспория гладкая. Экзина узко отороченная. Щель разверзания трехлучевая, простая. Лучи щели доходят до конца тела споры и не заходят на оторочку.

Распространение: нижнефранские отложения.

216. *Archaeozonotriletes Tschernovii* Naum. sp. n.

Табл. XII, фиг. 12

Голотип. ИГН № 3450/4924.

Местонахождение: Чкаловская область, Байтуган, яблоновская свита.

$d = 0,050-0,070$ мм. Цвет темно-желтый.

Спора имеет округло-треугольное очертание. Периспорий толстый, несколько превышает тело споры, с радиально расположенными морщинками по его краю. Тело споры округло-треугольное, гладкое. Щель разверзания трехлучевая, простая. Лучи щели равны радиусу тела споры.

Распространение: нижнефранские отложения.

217. *Archaeozonotriletes triquetrus* Naum. sp. n.

Табл. XII, фиг. 13

Голотип. ИГН № 3450/3612.

Местонахождение: Воронежская область, с. Петино, петинские слои.

$d = 0,020-0,028$ мм. Цвет желтый.

Очертание периспория треугольное. Тело округлой формы, заключено в прозрачный периспорий, который образует оторочку по углам. На гранях она сходит на нет. Поверхность экзина гладкая. Щель разверзания трехлучевая, простая. Лучи щели равны радиусу периспория.

Распространение: единично, франский ярус.

218. *Archaeozonotriletes timanicus* Naum. sp. n.

Табл. XII, фиг. 14

Голотип. ИГН № 3450/3612.

Местонахождение: Воронежская область, с. Петино, петинские слои.

$d = 0,040-0,050$ мм. Цвет желтый.

Спора имеет округло-треугольное очертание. Периспорий толстый, покрыт фестонообразными выростами. Тело споры округло-треугольное. Щель разверзания трехлучевая, простая. Лучи щели равны радиусу тела споры или несколько меньше его.

Распространение: франские отложения.

219. *Archaeozonotriletes aculeatus* Naum. sp. n.

Табл. XIII, фиг. 1

Голотип. ИГН № 3450/3573.

Местонахождение: доманиковая свита северо-восточных районов Русской платформы.

$d = 0,040-0,050$ мм. Цвет желтый.

Очертание споры округлое. Периспорий покрыт редкими удлиненными шипиками. Тело округлое, немного меньше периспория. Щель разверзания

ния трехлучевая, простая. Лучи щели равны или немного меньше половины радиуса тела споры.

Распространение: встречается единично в верхнефранских отложениях.

220. *Archaeozonotriletes decumanus* Naum. sp. n.

Табл. XIII, фиг. 2

Голотип. ИГН № 3450/3573.

Местонахождение: доманиковая свита северо-восточных районов Русской платформы.

$d = 0,070-0,080$ мм. Цвет желтый.

Спора имеет округло-треугольное очертание. Периспорий тонкий, покрыт частыми и мелкими шипиками. Тело споры округло-треугольное, плотное, немного меньше периспория. Щель разверзания трехлучевая, простая. Лучи щели равны половине радиуса тела споры.

Распространение: верхнефранские отложения.

221. *Archaeozonotriletes echinatus* Naum. sp. n.

Табл. XIII, фиг. 3, 4

Голотип. ИГН № 3450/3573.

Местонахождение: доманиковая свита северо-восточных районов Русской платформы.

$d = 0,040-0,050$ мм. Цвет желтый.

Спора в очертании округло-треугольная. Периспорий покрыт мелкими, частыми шипиками. Тело споры округло-треугольное, немного меньше периспория. Щель разверзания трехлучевая, простая. Лучи щели равны радиусу тела споры.

Распространение: верхнефранские отложения.

222. *Archaeozonotriletes regularis* Naum. sp. n.

Табл. XIII, фиг. 5

Голотип. ИГН № 3450/3612.

Местонахождение: Воронежская область, с. Петино, петинские слои.

$d = 0,045-0,068$ мм. Цвет темно-желтый.

Спора имеет пирамидально-треугольное очертание, грани ее прямые. Периспорий толстый, гладкий, оторочка узкая. Щель разверзания трехлучевая, простая. Лучи щели равны радиусу тела споры.

Распространение: франские отложения.

223. *Archaeozonotriletes stenolomus* Naum. sp. n.

Табл. XIII, фиг. 6

Голотип. ИГН № 3450/8776.

Местонахождение: Калужская область, верхнетерригенный комплекс, нижненещигровские слои.

$d = 0,040-0,050$ мм. Цвет желтый.

Очертание споры округлое. Периспорий плотный, немного превышает тело споры, по краю ровный; поверхность его шагреневая. Щель разверзания трехлучевая, простая. Лучи щели почти равны радиусу тела споры.

Распространение: средний и верхний девон.

224. *Archaeozonotriletes variabilis* Naum.

Табл. XIII, фиг. 7—9

Паратип. ИГН № 3450/3612.

Местонахождение: Воронежская область, с. Петино, петинские слои.

$d = 0,040—0,080$ мм. Цвет темно-желтый.

Спора в очертании неправильно-округлой формы. Периспорий плотный, несколько превышает тело споры, выступая по краю в виде узкой оторочки, край оторочки неровный. Поверхность тела и оторочки гладкая. Щель разверзания трехлучевая, простая. Лучи щели равны радиусу тела споры.

Распространение: франский ярус.

225. *Archaeozonotriletes antiquus* Naum. sp. н.

Табл. XIII, фиг. 10

Голотип. ИГН № 3450/3788.

Местонахождение: Воронежская область, семилукские слои.

$d = 0,040—0,050$ мм. Цвет желтый.

Спора в очертании округло-треугольная. Периспорий плотный, гладкий или слабо шагреневый, несколько превышает тело споры. Последнее округло-треугольное, плохо заметное через периспорий. Щель разверзания трехлучевая, простая. Лучи щели равны радиусу тела споры.

Распространение: нижнефранские отложения.

226. *Archaeozonotriletes primarius* Naum. sp. н.

Табл. XIII, фиг. 11

Голотип. ИГН № 3450/8776.

Местонахождение: Калужская область, нижнешигровские слои.

$d = 0,070—0,090$ мм. Цвет темно-желтый.

Спора в очертании треугольная. Периспорий очень толстый, покрыт очень мелкими, плотно прилегающими друг к другу бугорками. Тело треугольное, плохо заметно. Щель разверзания трехлучевая, с утолщенным краем. Лучи щели равны радиусу периспория.

Распространение: нижнефранские отложения.

227. *Archaeozonotriletes notatus* Naum. sp. n.

Табл. XIII, фиг. 12

Голотип. ИГН № 3450/4921.

Местонахождение: Чкаловская область, Байтуган, шугуровские слои.

$d = 0,050-0,060$ мм. Цвет желтый.

Спора имеет округло-треугольное очертание. Периспорий покрыт плотно прилегающими друг к другу мелкими бородавками. Щель разверзания периспория отороченная. Экзина округло-треугольная, немного меньше периспория. Щель разверзания экзины трехлучевая, простая. Лучи щели равны радиусу тела споры.

Распространение: верхний девон.

228. *Archaeozonotriletes compactus* Naum. sp. n.

Табл. XIII, фиг. 13.

Голотип. ИГН № 3450/8776.

Местонахождение: Калужская область, нижнешигровские слои.

$d = 0,060-0,070$ мм. Цвет темноожелтый.

Очертание споры круглое. Периспорий утолщенный, покрыт мелкими, плотно прилегающими друг к другу бугорками. Тело споры круглое, немного меньше периспория. Щель разверзания трехлучевая, простая. Лучи щели равны или немного меньше половины радиуса тела споры.

Распространение: нижнефранские отложения.

229. *Archaeozonotriletes sulcompactus* Naum. sp. n.

Табл. XIII, фиг. 14

Голотип. ИГН № 3450/8776.

Местонахождение: Калужская область, нижнешигровские слои.

$d = 0,070-0,080$ мм. Цвет темноожелтый.

Очертание споры круглое. Периспорий толстый, покрыт плотно прилегающими друг к другу очень мелкими бугорками. Тело споры круглое, немного меньше периспория. Щель разверзания трехлучевая, с сильно утолщенным краем. Лучи щели меньше половины радиуса тела споры.

Данная форма близка к *Arch. compactus* Naum., но отличается от последней утолщенной щелью.

Распространение: нижнефранские отложения.

230. *Archaeozonotriletes semilucensis* Naum.

Табл. XIII, фиг. 15

Паратип. ИГН № 3450/3738.

Местонахождение: Воронежская область, с. Петино, семилукские слои.

$d = 0,050-0,060$ мм. Цвет темноожелтый.

Спора в очертании округло-треугольная. Периспорий плотный, поверхность его покрыта плотно прилегающими друг к другу мелкими бугорками; обычно имеет трещину по краю тела споры. Тело округло-треугольное. Щель разверзания трехлучевая, простая. Лучи щели равны радиусу тела споры.

Распространение: верхнефранские отложения.

231. *Archaeozonotriletes lasilaris* Naum. sp. n.

Табл. XIII, фиг. 16

Голотип. ИГН № 3450/8776.

Местонахождение: Калужская область, низы щигровских слоев.

$d = 0,030 - 0,050$ мм. Цвет желтый.

Очертание споры треугольное с прямыми гранями. Периспорий покрыт плотно прилегающими друг к другу мелкими бородавками. Тело споры треугольное, немного меньше периспория. Щель разверзания трехлучевая, простая. Лучи щели равны радиусу тела споры.

Распространение: широко распространена в среднем и верхнем девоне.

232. *Archaeozonotriletes rugosus* Naum. sp. n.

Табл. XIII, фиг. 17

Голотип. ИГН № 3450/8776.

Местонахождение: Калужская область, низы щигровских слоев.

$d = 0,070 - 0,080$ мм. Цвет темно-желтый.

Очертание споры треугольное. Периспорий покрыт плотно прилегающими друг к другу очень мелкими бугорками. Отличительным признаком данной формы является наличие складок смятия на периспории. Тело споры округло-треугольное, немного меньше периспория. Щель разверзания трехлучевая, простая. Лучи щели равны радиусу тела споры.

Распространение: франский ярус.

233. *Archaeozonotriletes Naivkinii* Naum. sp. n.

Табл. XIII, фиг. 18

Голотип. ИГН № 3450/3612.

Местонахождение: Воронежская область, с. Петино, петинские слои.

$d = 0,070 - 0,080$ мм. Цвет темно-желтый.

Спора имеет треугольное очертание. Периспорий плотный, покрыт плотно прилегающими друг к другу мелкими бугорками. Тело споры треугольное, немного меньше периспория. Щель разверзания трехлучевая, простая. Лучи щели равны радиусу тела споры. Близ основания лучи имеют двустороннее утолщение.

Распространение: франский ярус.

234. *Archaeozonotriletes pusillus* Naum. sp. n.

Табл. XIII, фиг. 19

Голотип. ИГН № 3450/3672.

Местонахождение: Воронежская область, мамоновские слои.

$d = 0,025-0,030$ мм. Цвет желтый.

Спора в очертании треугольная, с несколько выпуклыми гранями. Периспорий плотный, по краю выступает в виде узкой оторочки, поверхность периспория гладкая. Тело споры треугольное с выпуклыми гранями. Щель разверзания трехлучевая, простая. Лучи щели равны радиусу тела споры, близ основания имеют булавовидное расширение.

Данная форма близка к *Arch. extensus* Naum., от которой отличается гладким периспорием.

Распространение: верхи живетского и основание франского ярусов; особенно развита в основании верхнетерригенного комплекса.

235. *Archaeozonotriletes extensus* Naum. sp. n.

Табл. XIII, фиг. 20

Голотип. ИГН № 3450/4924.

Местонахождение: Чкаловская область, Байтуган, низы яблоновской свиты.

$d = 0,020-0,030$ мм. Цвет желтый.

Очертание споры треугольное. Периспорий плотный, покрыт плотно прилегающими друг к другу очень мелкими бугорками. Тело споры треугольное, немного меньше периспория.

Щель разверзания трехлучевая, простая. Лучи щели равны радиусу тела споры. Близ основания имеются небольшие выемки.

Распространение: верхи живетского и основание франского ярусов.

236. *Archaeozonotriletes devonicus* Naum. sp. n.

Табл. XIII, фиг. 21

Голотип. ИГН № 3450/3612.

Местонахождение: Воронежская область, с. Петино, петинские слои.

$d = 0,030-0,040$ мм. Цвет темно-желтый.

Спора имеет округло-треугольное очертание. Периспорий плотный, поверхность его покрыта частыми бугорками средней величины. Тело споры округло-треугольное, немного меньше периспория. Щель разверзания трехлучевая. Лучи щели равны радиусу тела споры.

Распространение: верхнефранские отложения.

237. *Archaeozonotriletes retiformis* Naum. sp. n.

Табл. XIV, фиг. 1

Голотип. ИГН № 3450/8776.

Местонахождение: Калужская область, нижнешигровские слои.

$d = 0,050-0,055$ мм. Цвет желтый.

Очертание пыльцы округло-треугольное или треугольное. Периспорий плотный, поверхность его крупносетчатая. Оторочка узкая, утолщенная, по краю неровная. Тело споры округлое, шагреневое. Щель разверзания трехлучевая, простая. Лучи щели равны радиусу тела споры.

Распространение: средний и верхний девон.

238. *Archaeozonotriletes perlatus* Naum. sp. n.

Табл. XIV, фиг. 2

Голотип. ИГН № 3450/3672.

Местонахождение: Воронежская область, мамоновские слои.

$d = 0,030-0,040$ мм. Цвет желтый.

Спора имеет округло-овальное очертание. Периспорий плотный, по краю утолщен, покрыт крупноячеистой сеткой. Тело споры округло-треугольное, гладкое, немного меньше периспория. Щель разверзания трехлучевая, простая. Лучи щели равны радиусу тела споры.

Распространение: франский и фаменский ярусы.

239. *Archaeozonotriletes foveolatus* Naum. sp. n.

Табл. XIV, фиг. 3

Голотип. ИГН № 3450/8776.

Местонахождение: Калужская область, нижнешигровские слои.

$d = 0,040-0,060$ мм. Цвет желтый.

Спора имеет округлое очертание. Периспорий плотный, толстый, несколько превышает тело споры, покрыт довольно крупными плоскими бугорками, между которыми имеются булавовидные углубления. Оторочка узкая, с мелкими бородавками. Щель разверзания трехлучевая, простая. Лучи щели почти равны радиусу тела споры.

Распространение: франский ярус.

240. *Archaeozonotriletes gloriosus* Naum. sp. n.

Табл. XIV, фиг. 4

Голотип. ИГН № 3450/3563.

Местонахождение: Воронежская область, воронежские слои.

$d = 0,065-0,070$ мм. Цвет темно-желтый.

Спора имеет округлое очертание. Периспорий плотный, поверхность его извилисто-ячейстая. Тело споры округлое, немного меньше периспория.

рия. Оторочка узкая. Щель разверзания трехлучевая, простая. Лучи щели равны половине радиуса тела споры.

Распространение: верхнефранские отложения.

Подгруппа *Retusotrilletes Naumova* gen. nov.

241. *Retusotrilletes Psychovii* Naum. sp. n.

Табл. XIV, фиг. 5

Голотип. ИГН № 3450/3788.

Местонахождение: Воронежская область, с. Петино, семилукские слои.

$d = 0,045-0,050$ мм. Цвет желтый.

Очертание споры округлое. Экзина плотная, поверхность ее гладкая. Ареа хорошо выражена. Край споры утолщен в виде узкой оторочки. Щель разверзания трехлучевая, простая. Лучи щели равны половине радиуса тела споры.

Распространение: средний и верхний девон.

242. *Retusotrilletes semiilucensis* Naum. sp. n.

Табл. XIV, фиг. 6

Голотип. ИГН № 3450/3612.

Местонахождение: Воронежская область, с. Петино, петинские слои.

$d = 0,045-0,050$ мм. Цвет желтый.

В очертании спора округлая. Ареа выражена резко. Поверхность тела и оторочки мелкобородавчатая. Край споры утолщен в виде узкой оторочки. Щель разверзания трехлучевая, простая. Лучи щели равны радиусу тела споры.

Распространение: верхний девон.

243. *Retusotrilletes domanicus* Naum. sp. n.

Табл. XIV, фиг. 7

Голотип. ИГН № 3450/3573.

Местонахождение: доманиковая свита северо-восточных районов Русской платформы.

$d = 0,080-0,090$ мм. Цвет желтый.

Спора имеет округлое очертание. Экзина толстая, покрыта довольно плотно прилегающими друг к другу крупными бугорками. Ареа довольно широкая. Щель разверзания трехлучевая, простая. Лучи щели немного не доходят до края споры.

Распространение: верхнефранские отложения.

244. *Retusotritetes parvimammatus* Naum. sp. n.

Табл. XIV, фиг. 8

Голотип. ИГН № 3450/8776.

Местонахождение: Калужская область, нижненцигровские слои.

$d = 0,080 - 0,090$ мм. Цвет желтый.

Очертание споры округлое. Экзина мелкобородавчатая, с утолщенным краем. Ареа хорошо выражена. Щель разверзания трехлучевая, простая. Лучи щели равны половине радиуса тела споры.

Распространение: средний и верхний девон.

Подгруппа *Camarozonotritetes* Naumova, 1937

245. *Camarozonotritetes devonicus* Naum. sp. n.

Табл. XIV, фиг. 9

Голотип. ИГН № 3450/5598.

Местонахождение: Воронежская область, с. Рудкино, рудкинские слои.

$d = 0,030 - 0,035$ мм. Цвет желтый.

Спора имеет округло-треугольное очертание, с несколько выпуклыми гранями. Тело споры треугольное, с прямыми гранями. Отличка узкая, развита по граням, на углах сходит на нет. Экзина плотная. Поверхность тела и отлички гладкая. Щель разверзания трехлучевая, простая. Лучи щели почти равны радиусу тела споры.

Распространение: средняя часть франского яруса; особенно развита в рудкинских слоях.

246. *Camarozonotritetes olitus* Naum. sp. n.

Табл. XIV, фиг. 9а

Голотип. ИГН № 3450/3598.

Местонахождение: Воронежская область, с. Рудкино, рудкинские слои.

$d = 0,030 - 0,035$ мм. Цвет желтый.

Спора имеет треугольное очертание. Экзина плотная, поверхность ее покрыта плотно прилегающими друг к другу мелкими бугорками. По граням споры развита узкая отличка, которая сходит на нет по углам. По краю отлички выступают более крупные бугорки. Щель разверзания трехлучевая, простая. Лучи щели равны радиусу тела споры.

Распространение: средняя часть франского яруса; особенно развита в рудкинских слоях.

Подгруппа *Azonomonoletes* Naumova, 1937

247. *Azonomonoletes rarus* Naum. sp. n.

Табл. XIV, фиг. 10

Голотип. ИГН № 3450/3563.

Местонахождение: Воронежская область, воронежские слои.

$d = 0,030-0,050$ мм. Цвет желтый.

Очертание споры бобовидное. Экзина плотная, поверхность ее гладкая. Щель разверзания однолучевая, простая.

Распространение: единично в верхнефранских отложениях.

ПЫЛЬЦА ТИПА *CYMMOSPERMAE*

Подгруппа *Archaeoperisaccus* Naumova gen. nov.

Пыльца этой подгруппы состоит из пленчатого мешка овальной формы и со скульптурой, характерной для пыльцы хвойных; в мешке заключено овальное, плотное тело. Щель разверзания однолучевая. Кроме того, у некоторых видов наблюдается одна продольная складка. Пыльца имеет сходство с пыльцой типа птеридоспермов и, повидимому, является прототипом хвойных типа Pinaceae.

248. *Archaeoperisaccus mirandus* Naum. sp. n.

Табл. XIV, фиг. 11

Голотип. ИГН № 3450/3612.

Местонахождение: Воронежская область, с. Петино, петинские слои.

$d = 0,060-0,080$ мм. Цвет желтый.

Пыльца имеет эллипсоидальное очертание. Мешок широкий, в два раза превышает тело пыльцы, пленчатый, край слабо волнистый. Поверхность мешка густо- и мелкобородавчатая. Тело пыльцы овальное, узко отороченное. Щель разверзания однолучевая, простая.

Высота тела $0,040-0,045$ мм, длина тела $0,030-0,035$ мм; высота мешка $0,070-0,080$ мм, длина мешка $0,050-0,055$ мм.

Распространение: верхнефранские отложения.

249. *Archaeoperisaccus angustus* Naum. sp. n.

Табл. XIV, фиг. 12

Голотип. ИГН № 3450/3612.

Местонахождение: Воронежская область, с. Петино, петинские слои.

$d = 0,020-0,050$ мм. Цвет желтый.

Пыльца имеет эллипсоидальное вытянутое очертание. Мешок пленчатый, мелкоморщинистый. Тело пыльцы эллипсоидальное, немногим меньше мешка. Щель разверзания однолучевая, простая.

Высота тела $0,025-0,030$ мм, длина тела $0,040-0,045$ мм; высота мешка $0,030-0,035$ мм, длина мешка $0,050-0,055$ мм.

Распространение: верхнефранские отложения.

250. *Archaeoperisaccus ovalis* Naum. sp. n.

Табл. XIV, фиг. 13

Голотип. ИГН № 3450/3612.

Местонахождение: Воронежская область, с. Петино, петинские слои.

$d = 0,020-0,030$ мм. Цвет желтый.

Очертание пыльцы овальное. Мешок немного превышает тело пыльцы, пленчатый, нежношагреневый. Тело пыльцы овальное. Щель разверзания однолучевая, простая.

Высота тела 0,020—0,025 мм, длина тела 0,030—0,035 мм; высота мешка 0,040—0,045 мм, длина мешка 0,030—0,035 мм.

Распространение: верхнефранские отложения.

251. *Archaeoperisaccus mirus* Naum. sp. n.

Табл. XIV, фиг. 14, 15

Голотип. ИГН № 3450/3612.

Местонахождение: Воронежская область, с. Петино, петинские слои.

$d = 0,050-0,055$ мм. Цвет светло-желтый.

Пыльца имеет овальное очертание. Тело пыльцы округло-овальное, с утолщенным краем, заключено в прозрачный пленчатый мешок. Последний несколько превышает радиус тела пыльцы и неравномерно выступает по краю в виде оторочки. Со спинной стороны пыльца выпуклая, с одним поперечным валиком. Поверхность мешка хвойно-шагреневая, с продольной складкой. Щель разверзания однолучевая, простая, располагается вдоль тела пыльцы.

Высота тела 0,025—0,030 мм, длина тела 0,030—0,035 мм; высота мешка 0,040—0,045 мм, длина мешка 0,050—0,055 мм.

Распространение: верхнефранские отложения; особенно развита в петинских слоях.

252. *Archaeoperisaccus elongatus* Naum. sp. n.

Табл. XIV, фиг. 16

Голотип. ИГН № 3450/3612.

Местонахождение: Воронежская область, с. Петино, петинские слои.

$d = 0,060-0,070$ мм. Цвет светло-желтый.

Очертание пыльцы овально-вытянутое. Тело пыльцы овальное, заключено в пленчатый мешок, который в два раза превышает его. Тело по краю утолщено. Мешок неравномерно выступает по краю тела пыльцы. Поверхность мешка хвойно-шагреневая. Щель разверзания однолучевая, простая, располагается вдоль тела пыльцы.

Высота тела 0,020—0,025 мм, длина тела 0,040—0,042 мм; высота мешка 0,030—0,035 мм, длина мешка 0,060—0,065 мм.

Распространение: верхнефранские отложения.

253. *Archaeoperisaccus Menneri* Naum. sp. n.

Табл. XIV, фиг. 17

Голотип. ИГН № 2450/3612.

Местонахождение: Воронежская область, с. Петино, петинские слои.

$d = 0,020-0,030$ мм. Цвет желтый.

Очертание пыльцы эллипсоидально-вытянутое. Мешок пленчатый, мелкобородавчатый, сильно превышает тело пыльцы с двух противоположных сторон. Тело пыльцы овальное, узко отороченное. Щель разверзания однолучевая, располагается вдоль тела пыльцы.

Высота тела $0,020-0,025$ мм, длина тела $0,040-0,042$ мм; высота мешка $0,030-0,032$ мм, длина мешка $0,075-0,085$ мм.

Распространение: верхнефранские отложения.

254. *Archaeoperisaccus concinnus* Naum. sp. n.

Табл. XIV, фиг. 18

Голотип. ИГН № 3450/3612.

Местонахождение: Воронежская область, с. Петино, петинские слои.

$d = 0,020-0,030$ мм. Цвет желтый.

Мешок пленчатый, шагреневый, значительно превышает тело пыльцы с двух противоположных сторон и незначительно — с двух других сторон. Тело пыльцы эллипсоидальное, плотное, с узкой оторочкой. Щель разверзания однолучевая, простая.

Высота тела $0,020-0,025$ мм, длина тела $0,040-0,045$ мм; высота мешка $0,030-0,032$ мм, длина мешка $0,055-0,060$ мм.

255. *Archaeoperisaccus completus* Naum. sp. n.

Табл. XIV, фиг. 19

Голотип. ИГН № 3450/3612.

Местонахождение: Воронежская область, с. Петино, петинские слои.

$d = 0,030-0,040$ мм. Цвет желтый.

Пыльца имеет эллипсоидальное очертание. Мешок пленчатый, мелк шагреневый, выступает с двух противоположных сторон в виде плоских мешков. Тело пыльцы овальное, плотное. Щель разверзания однолучевая, простая.

Высота тела $0,020-0,025$ мм, длина тела $0,030-0,035$ мм; высота мешка $0,020-0,025$ мм, длина мешка $0,040-0,045$ мм.

Распространение: верхнефранские отложения.

ПЫЛЬЦА ТИПА CORDALITALES

Подгруппа *Perisaccus* Naumova, 1937

256. *Perisaccus cognitus* Naum. sp. n.

Табл. XIV, фиг. 20

Голотип. ИГН № 3450/3990.

Местонахождение: Воронежская область, низы воронежских слоев.

$d = 0,040-0,050$ мм. Цвет желтый.

Очертание пыльцы овальное. Тело пыльцы овальное, заключено в пленчатый шагреневый мешок; последний несколько больше, чем тело пыльцы, и выступает по краю в виде пленчатой оторочки.

Распространение: верхний девон, воронежские слои.

257. *Perisaccus reticulatus* Naum. sp. n.

Табл. XIV, фиг. 21

Голотип. ИГН № 3450/3573.

Местонахождение: доманиковая свита северо-восточных районов Русской платформы.

$d = 0,090-0,095$ мм. Цвет желтый.

Пыльца представляет собой круглый пленчатый мешок, в котором заключено округлое плотное тело. Мешок пленчатый, крупносетчатый. Щель однолучевая, простая, утолщенная.

Данная пыльца имеет сходство с пыльцой типа кордантов.

Распространение: верхний девон, нижняя пермь.

258. *Perisaccus devonicus* Naum. sp. n.

Табл. XIV, фиг. 22

Голотип. ИГН № 3450/3573.

Местонахождение: доманиковая свита северо-восточных районов Русской платформы.

$d = 0,060-0,065$ мм. Цвет желтый.

Спора имеет округлое очертание. Мешок с хвойной шагреневостью, довольно плотный, отчего тело слабо просвечивает.

Распространение: верхний девон, доманиковая свита.

259. *Perisaccus domanicus* Naum. sp. n.

Табл. XIV, фиг. 23

Голотип. ИГН № 3450/3573.

Местонахождение: доманиковая свита северо-восточных районов Русской платформы.

$d = 0,100-0,110$ мм. Цвет желтый.

Пыльца в очертании округлая, состоит из мешка и заключенного в него тела. Мешок утолщенный, поверхность его крупноморщинистая и, кроме того, с шагреневостью, характерной для пыльцы типа хвойных.

Данная пыльца близка к форме *Perisaccus rutilosus* (Lub.) Naum. из пермских отложений и имеет сходство с пыльцой типа кордантов.
Распространение: среднефранские отложения.

260. *Perisaccus verruculatus* Naum. sp. n.

Табл. XIV, фиг. 24

Голотип. ИГН № 3450/3573.

Местонахождение: доманиковая свита северо-восточных районов Русской платформы.

д = 0,065—0,075 мм. Цвет желтый.

Пыльца имеет округлое очертание. Тело пыльцы округлой формы заключено в пленчатый мешок, немного его превышающий. Поверхность мешка мелкобородавчатая, по краю городчатоморщинистая.

Распространение: доманиковая свита Заволжья и семилукские слои Центрального девонского поля.

В. ВЕРХНИЙ ДЕВОН

Фа ленск и й я р у с

Елецкий подъярус

Задонские слои

СПОРЫ ТИПА РТЕНИВОРНУТА И ВТОРНУТА

Группа *Triletes* R.

Подгруппа *Leiotriletes* Naumova, 1937

261. *Leiotriletes simplicissimus* Naum.

Табл. XV, фиг. 1

1949. *Leiotriletes simplicissimus* Naum. Наумова С. Н. Изв. Акад. Наук СССР, сер. геол., № 4, табл. 1, фиг. 5.

Местонахождение: Орловская область, Русский Брод, задонские слои.

д = 0,020—0,025 мм. Цвет желтый.

Распространение: кембрий, силур, девон.

262. *Leiotriletes pusillus* Naum. sp. n.

Табл. XV, фиг. 2

Голотип. ИГН № 3450/3674.

Местонахождение: Орловская область, Русский Брод, задонские слои.

д = 0,020—0,025 мм. Цвет темножелтый.

Спора в очертании треугольная. Экзина плотная, со складками смятия. Щель разверзания трехлучевая, простая. Лучи щели почти равны радиусу тела споры.

Данная форма близка к *L. simplicissimus* Naum., от которой отличается треугольным очертанием.

Распространение: фаменский ярус.

263. *Leiotriletes trivialis* Naum.

Табл. XV, фиг. 3

Местонахождение: Орловская область, Русский Брод, задонские слои.

д = 0,030—0,035 мм. Цвет желтый.

Распространение: средний и верхний девон.

Подгруппа *Trachytriletes* Naumova, 1937

264. *Trachytriletes solidus* Naum.

Табл. XV, фиг. 4

1950. *Trachytriletes solidus* Naum. Наумова С. Н. Споры нижнего силура. Тр. Конфер. по спорово-пыльцевому анализу 1948 г. Изд. МГУ, табл. I, фиг. 8.

Местонахождение: Орловская область, Русский Брод, задонские слои.

д = 0,020—0,025 мм. Цвет желтый.

Распространение: кембрий, силур, девон.

265. *Trachytriletes minor* Naum.

Табл. XV, фиг. 5

Местонахождение: Орловская область, Русский Брод, задонские слои.

д = 0,020—0,028 мм. Цвет желтый.

Распространение: девон, карбон.

266. *Trachytriletes punctulatus* Naum. sp. n.

Табл. XV, фиг. 6

Голотип. ИГН № 3450/3674.

Местонахождение: Орловская область, Русский Брод, задонские слои.

д = 0,025—0,030 мм. Цвет желтый.

Спора имеет округлое очертание. Экзина плотная, поверхность ее шагреневая. Щель разверзания трехлучевая, простая. Лучи щели равны радиусу тела споры.

Распространение: средний и верхний девон, карбон.

Подгруппа *Acanthotriletes* Naumova, 1937

267. *Acanthotriletes minutissimus* Naum. sp. n.

Табл. XV, фиг. 7

Голотип. ИГН № 3450/3674.

Местонахождение: Орловская область, Русский Брод, задонские слои.

$d = 0,020-0,025$ мм. Цвет желтый.

Очертание споры треугольное. Поверхность экзина покрыта плотно прилегающими друг к другу мелкими шипиками. Щель разверзания трехлучевая, простая. Лучи щели равны радиусу тела споры.

Распространение: фаменский ярус.

Подгруппа *Lophotriletes* Naumova gen. nov.

268. *Lophotriletes minor* Naum.

Табл. XV, фиг. 8

Местонахождение: Орловская область, Русский Брод, задонские слои.

$d = 0,015-0,018$ мм. Цвет желтый.

Распространение: средний и верхний девон.

269. *Lophotriletes rugosus* Naum. sp. n. var. *minor* Naum.

Табл. XV, фиг. 9

Местонахождение: Орловская область, Русский Брод, задонские слои.

$d = 0,020-0,025$ мм. Цвет желтый.

Распространение: средний и верхний девон.

270. *Lophotriletes rotundus* Naum. sp. n. var. *minor* Naum.

Табл. XV, фиг. 10

Местонахождение: Орловская область, Русский Брод, задонские слои.

$d = 0,020-0,025$ мм. Цвет желтый.

Распространение: верхний девон, фаменский ярус.

271. *Lophotriletes rotundus* Naum. sp. n.

Табл. XV, фиг. 11

Местонахождение: Орловская область, Русский Брод, задонские слои.

$d = 0,030-0,040$ мм. Цвет желтый.

Распространение: средний и верхний девон.

Подгруппа *Archaeozonotriletes* Naumova gen. nov.

272. *Archaeozonotriletes gibbosus* Naum. sp. n.

Табл. XV, фиг. 12

Голотип. ИГН № 3450/3674.

Местонахождение: Орловская область, Русский Брод, задонские слои.

д = 0,080—0,085 мм. Цвет желтый.

Спора имеет округло-треугольное очертание. Экзина очень толстая, покрыта редкими, довольно длинными шиловидными выростами с раздвоенными окончаниями и расширенными основаниями. На месте отвалившихся шилов остаются утолщенные их основания, которые имеют вид довольно крупных бугров. Щель разверзания трехлучевая, простая. Лучи щели равны половине радиуса тела споры.

Распространение: франский и фаменский ярусы.

273. *Archaeozonotriletes hamulus* Naum. sp. n. var. *famenensis* Naum. v. n.

Табл. XV, фиг. 13

Голотип. ИГН № 3450/3674.

Местонахождение: Орловская область, Русский Брод, задонские слои.

д = 0,080—0,090 мм. Цвет желтый.

Распространение: средний и верхний девон.

Подгруппа *Retusotriletes* Naumova, 1937

274. *Retusotriletes simplex* Naum.

Табл. XV, фиг. 14

Местонахождение: Орловская область, Русский Брод, задонские слои.

д = 0,035—0,040 мм. Цвет желтый.

Распространение: франский и фаменский ярусы.

275. *Retusotriletes communis* Naum. sp. n.

Табл. XV, фиг. 15—17

Голотип. ИГН № 3450/3674.

Местонахождение: Орловская область, Русский Брод, задонские слои.

д = 0,020—0,060 мм. Цвет желтый.

Спора имеет округлое очертание. Экзина плотная, по краю утолщенная. Поверхность экзины шагреневая. Ареа хорошо выражены. Щель разверзания трехлучевая, простая. Лучи щели немного меньше радиуса тела споры.

Распространение: средний и верхний девон.

276. *Retusotriletes jamenensis* Naum. sp. n.

Табл. XV, фиг. 18

Голотип. ИГН № 3450/3674.

Местонахождение: Орловская область, Русский Брод, задонские слои.

$d = 0,050-0,060$ мм. Цвет желтый.

Спора имеет округло-овальное очертание. Экзина толстая, с хорошо выраженным ареем, по краю узко отороченная. Щель разверзания трехлучевая, отороченная. Поверхность экзины между лучами шагреневая.

Распространение: нижнефаменские отложения.

277 *Retusotriletes microthelis* Naum. sp. n.

Табл. XV, фиг. 19

Голотип. ИГН № 3450/3674.

Местонахождение: Орловская область, Русский Брод, задонские слои.

$d = 0,030-0,040$ мм. Цвет желтый.

Очертание споры круглое. Поверхность экзины покрыта плотно прилегающими друг к другу мелкими бородавками. Арея хорошо выражены. Щель разверзания трехлучевая, простая. Лучи щели равны половине радиуса тела споры.

Распространение: средний и верхний девон.

Подгруппа *Hymenogonotriletes* Naumova, 1937

278. *Hymenogonotriletes zadonicus* Naum. sp. n.

Табл. XV, фиг. 20

Голотип. ИГН № 3450/3674.

Местонахождение: Орловская область, Русский Брод, задонские слои.

$d = 0,055-0,068$ мм. Цвет желтый.

Спора имеет округлое очертание. Периспорий пленчатый, прозрачный, гладкий, немного превышает тело споры. Последнее — округлое, плотное, с двойной узкой оторочкой. Щель разверзания трехлучевая, простая. Лучи щели равны радиусу тела споры.

Распространение: задонские слои.

279. *Hymenogonotriletes limpidus* Naum. sp. n.

Табл. XV, фиг. 21

Голотип. ИГН № 3450/3674.

Местонахождение: Орловская область, Русский Брод, задонские слои.

$d = 0,050-0,060$ мм. Цвет желтый.

Спора имеет округлое очертание. Периспорий пленчатый, поверхность его покрыта плотно прилегающими друг к другу мелкими бородав-

ками. Тело споры округлое, узко отороченное, немного меньше периспория. Щель разверзания трехлучевая, простая. Лучи щели равны радиусу периспория или его половине.

Распространение: верхи франского яруса и фаменский ярус.

280. *Nuttenozonotriletes livensis* Naum.

Табл. XV, фиг. 22, 23

Местонахождение: Орловская область, Русский Брод, задонские слои.

$d = 0,025-0,040$ мм. Цвет желтый.

Распространение: верхи франского яруса и фаменский ярус.

281. *Nuttenozonotriletes angulosus* Naum. sp. н.

Табл. XV, фиг. 24

Голотип. ИГН № 3450/3674.

Местонахождение: Орловская область, Русский Брод, задонские слои.

$d = 0,030-0,035$ мм. Цвет желтый.

Очертание споры многоугольное. Периспорий пленчатый, мелкобородавчатый. Тело многоугольное, немного меньше периспория. Щель разверзания тела споры трехлучевая, простая. Лучи щели равны радиусу тела споры. Щель разверзания периспория трехлучевая, узко отороченная. Лучи щели периспория равны радиусу периспория.

Распространение: задонские слои.

Подгруппа *Archaeozonotriletes* Naumova gen. nov.

282. *Archaeozonotriletes atratus* Naum. sp. н.

Табл. XV, фиг. 25

Голотип. ИГН № 3450/3674.

Местонахождение: Орловская область, Русский Брод, задонские слои.

$d = 0,060-0,070$ мм. Цвет темноожелтый.

Спора в очертании треугольная, с несколько выпуклыми гранями. Периспорий толстый, поверхность его покрыта плотно прилегающими друг к другу мелкими бородавками. Щель разверзания трехлучевая, широко отороченная. Лучи щели равны радиусу периспория.

Распространение: задонские слои.

283. *Archaeozonotriletes compactus* Naum.

Табл. XV, фиг. 26, 27

Местонахождение: Орловская область, Русский Брод, задонские слои.

$d = 0,060-0,065$ мм. Цвет темноожелтый.

Распространение: средний и верхний девон.

284. *Archaeozonotriletes semilucensis* Naum.

Табл. XV, фиг. 28

Местонахождение: Орловская область, Русский Брод, задонские слои.

$d = 0,040-0,050$ мм. Цвет желтый.

Распространение: франский и фаменский ярусы.

285. *Archaeozonotriletes perlatus* Naum.

Табл. XV, фиг. 29

Паратип. ИГН № 3450/3674.

Местонахождение: Орловская область, Русский Брод, задонские слои.

$d = 0,040-0,080$ мм. Цвет желтый.

Спора имеет округло-овальное очертание. Периспорий плотный, покрыт редкой ячеистой сеткой. Тело споры округло-овальное, немного меньше периспория. Щель разверзания трехлучевая, простая. Лучи щели равны радиусу тела споры.

Распространение: верхнефранский подъярус и фаменский ярус.

Подгруппа *Stenozonotriletes* Naumova, 1937

286. *Stenozonotriletes recognitus* Naum. sp. n. var. *minor* Naum. v. n.

Табл. XV, фиг. 30

Голотип. ИГН № 3450/3674.

Местонахождение: Орловская область, Русский Брод, задонские слои.

$d = 0,030-0,035$ мм. Цвет темно-желтый.

Распространение: средний и верхний девон.

287. *Stenozonotriletes conformis* Naum.

Табл. XV, фиг. 31, 32

Местонахождение: Орловская область, Русский Брод, задонские слои.

$d = 0,035-0,045$ мм. Цвет желтый.

Распространение: средний и верхний девон, карбон, пермь, мезозой.

288. *Stenozonotriletes simplex* Naum.

Табл. XV, фиг. 33

Местонахождение: Орловская область, Русский Брод, задонские слои.

$d = 0,031-0,040$ мм. Цвет желтый.

Распространение: верхний девон.

289. *Stenozonotriletes manifestus* Naum.

Табл. XV, фиг. 34

Местонахождение: Орловская область, Русский Брод, задонские слои.

$d = 0,040-0,045$ мм. Цвет желтый.

Распространение: фаменский ярус.

290. *Stenozonotriletes conspersus* Naum. sp. n.

Табл. XV, фиг. 35

Голотип. ИГН № 3450/3674.

Местонахождение: Орловская область, Русский Брод, задонские слои.

$d = 0,030-0,040$ мм. Цвет желтый.

Спора имеет треугольное очертание. Экзина плотная, по краю узко отороченная. Поверхность экзины шагреневая.

Щель разверзания трехлучевая, простая. Лучи щели равны радиусу тела споры.

Распространение: франский ярус.

291. *Stenozonotriletes fulvosus* Naum. sp. n.

Табл. XV, фиг. 36

Голотип. ИГН № 3450/3674.

Местонахождение: Орловская область, Русский Брод, задонские слои.

$d = 0,080-0,085$ мм. Цвет темножелтый.

Спора в очертании округло-треугольная. Экзина плотная, шагреневая. Щель разверзания трехлучевая, простая. Лучи щели равны половине радиуса тела споры. Экзина между лучами утолщенная, более темная.

Данная форма близка к *St. formosus* Naum. и отличается большим размером и более узкой оторочкой.

Распространение: франский и фаменский ярусы.

292. *Stenozonotriletes definitus* Naum.

Табл. XV, фиг. 37

Местонахождение: Орловская область, Русский Брод, задонские слои.

$d = 0,040-0,045$ мм. Цвет желтый.

Распространение: средний и верхний девон.

293. *Stenozonotriletes extensus* Naum. sp. n. var. *zadonicus* Naum. v. n.

Табл. XV, фиг. 38, 39

Местонахождение: Орловская область, Русский Брод, задонские слои.

д = 0,030—0,035 мм. Цвет желтый.

Спора отличается наличием складок смятия.

Распространение: средний и верхний девон.

294. *Stenozonotriletes zadonicus* Naum. sp. n.

Табл. XV, фиг. 40

Голотип. ИГН № 3450/3674.

Местонахождение: Орловская область, Русский Брод, задонские слои.

д = 0,060—0,065 мм. Цвет желтый.

Спора имеет округлое очертание. Тело споры округлое, оторочка узкая. Экзина покрыта мелкими округлыми бугорками. Щель разверзания трехлучевая, простая. Лучи щели немного меньше радиуса тела споры.

Распространение: фаменский ярус.

Подгруппа *Lophozonotriletes* Naumova gen. nov.

295. *Lophozonotriletes grumosus* Naum. sp. n. var. *minor* Naum. v. n.

Табл. XV, фиг. 41

Голотип. ИГН № 3450/3674.

Местонахождение: Орловская область, Русский Брод, задонские слои.

д = 0,025—0,030 мм. Цвет темно-желтый.

Данная форма отличается от основной формы небольшим размером.
Распространение: франский и фаменский ярусы.

296. *Lophozonotriletes grandis* Naum. sp. n. var. *minor* Naum. v. n.

Табл. XV, фиг. 42

Голотип. ИГН № 3450/3674.

Местонахождение: Орловская область, Русский Брод, задонские слои.

д = 0,035—0,068 мм. Цвет темно-желтый.

Данная форма отличается от основной формы меньшим размером.
Распространение: верхний девон.

297. *Lophozonotriletes curvatus* Naum.

Табл. XV, фиг. 43—45

М есто нахождение: Орловская область, Русский Брод, за-
донские слои.

д = 0,030—0,040 мм. Цвет темно-желтый.

Р аспространение: фаменский ярус.

Елецкий подъярус

Аграамаческие слои

СПОРОЫ ТИПА PTERIDOPHYTA И ВВТОРНЫТА

Группа *Triletes* R.

Подгруппа *Leiotriletes* Naumova, 1937

298. *Leiotriletes microrugosus* (Ibr.) Naum.

Табл. XVI, фиг. 1

М есто нахождение: Ставропольский край, Арчеда, агра-
маческие слои.

д = 0,040—0,045 мм. Цвет желтый.

Споры типа Calamariaceae.

Р аспространение: кембрий, силур, девон, карбон, пермь.

299. *Leiotriletes simplicissimus* Naum.

Табл. XVI, фиг. 2

1949. *Leiotriletes simplicissimus* Naum. Наука в С. Н. Споры нижнего кембрия.
Изв. Акад. Наук СССР, сер. геол. № 4, табл. I, фиг. 5.

М есто нахождение: Ставропольский край, Арчеда, агра-
маческие слои.

д = 0,040—0,045 мм. Цвет желтый.

Р аспространение: кембрий, силур, девон.

300. *Leiotriletes atavus* Naum.

Табл. XVI, фиг. 3

М есто нахождение: Ставропольский край, Арчеда, агра-
маческие слои.

д = 0,060—0,070 мм. Цвет желтый.

Споры типа Calamariaceae.

Р аспространение: девон, кембрий.

301. *Leiotriletes plicatus* (Waltz) Naum.

Табл. XVI, фиг. 4

1941. *Azonotriletes plicatus* Waltz. Любер А. А. и Вальц И. Э. Атлас микроспор и пыльцы палеозоя СССР. Тр. ВСЕГЕИ, вып. 139, табл. XIV, фиг. 226 в.

Местонахождение: Сталинградская область, Арчеда, агра-маческие слои.

д = 0,060—0,070 мм. Цвет темноожелтый.

Распространение: девон, карбон, пермь.

302. *Leiotriletes pusillus* Naum.

Табл. XVI, фиг. 5

Местонахождение: Сталинградская область, Арчеда, агра-маческие слои.

д = 0,030—0,035 мм. Цвет темноожелтый.

Распространение: девон.

303. *Leiotriletes trivialis* Naum.

Табл. XVI, фиг. 6.

Местонахождение: Орловская область, г. Елец, агра-маческие слои.

д = 0,035—0,040 мм. Цвет темноожелтый.

Распространение: франский и фаменский ярусы.

304. *Leiotriletes dicksonialis* Naum. sp. н.

Табл. XVI, фиг. 7

Голотип. ИГН № 3450/3678.

Местонахождение: Орловская область, г. Елец, агра-маческие слои.

д = 0,035—0,040 мм. Цвет темноожелтый.

Спора имеет треугольное очертание с округлыми углами и сильно вогнутыми гранями. Экзина плотная, гладкая. Щель разверзания трехлучевая, простая. На углах на окончаниях лучей щели имеются мозолевидные утолщения. Спора имеет сходство со спорой древовидного папоротника *Dicksonia*.

Распространение: фаменский ярус.

Подгруппа *Trachytriletes* Naumova, 1937

305. *Trachytriletes solidus* Naum.

Табл. XVI, фиг. 8—10

Местонахождение: Сталинградская область, Арчеда, агра-маческие слои.

д = 0,030—0,040 мм. Цвет желтый.

Распространение: кембрий, силур, девон, карбон.

306. *Trachytriletes famenensis* Naum. sp. n.

Табл. XVI, фиг. 11—14

Голотип. ИГН № 3450/3444.

Местонахождение: Сталинградская область, Арчеда, агра-
маческие слои.

$d = 0,020—0,040$ мм. Цвет желтый.

Очертание споры округло-треугольное. Экзина плотная, поверхность
экзины шагреневая. Щель разверзания трехлучевая, по краям утолщена.
Лучи щели равны половине радиуса тела споры.

Распространение: низы фаменского яруса.

307. *Trachytriletes typicus* Naum. sp. n.

Табл. XVI, фиг. 15

Голотип. ИГН № 3450/3444.

Местонахождение: Сталинградская область, Арчеда, агра-
маческие слои.

$d = 0,055—0,060$ мм. Цвет темно-желтый.

Очертание споры округло-треугольное. Экзина плотная, поверхность
ее шагреневая. Щель разверзания трехлучевая, простая. Лучи щели
равны половине радиуса тела споры.

Распространение: фаменский ярус.

308. *Trachytriletes minor* Naum.

Табл. XVI, фиг. 16

Местонахождение: Орловская область, г. Елец, агра-
маческие слои.

$d = 0,030—0,035$ мм. Цвет темно-желтый.

Распространение: девон, карбон, пермь.

Подгруппа *Acanthotriletes* Naumova, 1937

309. *Acanthotriletes similis* Naum. sp. n.

Табл. XVI, фиг. 17

Голотип. ИГН № 3450/3444.

Местонахождение: Сталинградская область, Арчеда, агра-
маческие слои.

$d = 0,050—0,055$ мм. Цвет желтый.

Спора имеет округло-треугольное очертание. Экзина покрыта частыми
мелкими шипиками. Щель разверзания трехлучевая, простая. Лучи щели
равны радиусу тела споры.

Распространение: франский и фаменский ярусы.

310. *Acanthotriletes tenuispinosus* Naum. sp. n. var. *famenensis* Naum.

Табл. XVI, фиг. 18

Местонахождение: Орловская область, г. Елец, агра-
маческие слои.

$d = 0,020-0,030$ мм. Цвет светло-желтый.

Распространение: средний и верхний девон.

311. *Acanthotriletes vulgaris* Naum. sp. n.

Табл. XVI, фиг. 19

Голотип. ИГН № 3450/3444.

Местонахождение: Сталинградская область, Арчеда, агра-
маческие слои.

$d = 0,035-0,040$ мм. Цвет желтый.

Спора имеет треугольное очертание с прямыми, несколько выпуклыми
границами. Поверхность экзины покрыта плотно прилегающими друг
к другу короткими шипиками, с расширенными основаниями и заострен-
ными окончаниями. Щель разверзания трехлучевая, простая. Лучи щели
равны половине радиуса тела споры.

Распространение: низы фаменского яруса.

312. *Acanthotriletes denticulatus* Naum.

Табл. XVI, фиг. 20

Паратип. ИГН № 3450/3444.

Местонахождение: Сталинградская область, Арчеда, агра-
маческие слои.

$d = 0,025-0,035$ мм. Цвет желтый.

Очертание споры треугольное, с выпуклыми гранями. Поверхность
экзины покрыта плотно прилегающими друг к другу очень мелкими ши-
пиками, обладающими заостренными окончаниями и несколько расши-
ренными основаниями. Щель разверзания трехлучевая, простая. Лучи
щели равны радиусу тела споры.

Распространение: низы фаменского яруса.

313. *Acanthotriletes pullus* Naum. sp. n.

Табл. XVI, фиг. 21

Голотип. ИГН № 3450/3444.

Местонахождение: Сталинградская область, Арчеда, агра-
маческие слои.

$d = 0,030-0,045$ мм. Цвет желтый.

Очертание споры треугольное, с прямыми гранями. Экзина толстая,
поверхность ее покрыта редкими, короткими, довольно крупными ши-
пами. Последние с заостренными окончаниями и расширенными осно-
ваниями. Щель разверзания трехлучевая, простая. Лучи щели почти рав-
ны радиусу тела споры.

Распространение: низы фаменского яруса.

314. *Acanthotriletes famenensis* Naum. sp. n.

Табл. XVI, фиг. 22, 23

Голотип. ИГН № 3450/3444.

Местонахождение: Сталинградская область, Арчеда, агра-
маческие слои.

$d = 0,020-0,030$ мм. Цвет желтый.

Спора в очертании округло-треугольная. Экзина толстая, покрыта
редкими, короткими, утолщенными шипиками. Щель разверзания трех-
лучевая, простая. Лучи щели равны радиусу тела споры.

Распространение: низы фаменского яруса.

315. *Acanthotriletes paucispinus* Naum. sp. n.

Табл. XVI, фиг. 24

Голотип. ИГН № 3450/3444.

Местонахождение: Сталинградская область, Арчеда, агра-
маческие слои.

$d = 0,040-0,050$ мм. Цвет желтый.

Очертание споры треугольное, с несколько выпуклыми гранями.
Поверхность экзины украшена редкими, мелкими шипиками. Щель раз-
верзания трехлучевая, простая. Лучи щели равны радиусу тела споры.

Распространение: низы фаменского яруса.

Подгруппа *Lophotriletes* Naumova gen. nov.

316. *Lophotriletes rugatus* Naum. sp. n.

Табл. XVI, фиг. 25

Голотип. ИГН № 3450/3444.

Местонахождение: Сталинградская область, Арчеда, агра-
маческие слои.

$d = 0,035-0,045$ мм. Цвет светложелтый.

Спора имеет округлое очертание. Экзина тонкая, со складками смя-
тия. На поверхности экзины рассеяны единичные, очень мелкие шипики.
Щель разверзания трехлучевая. Лучи щели с утолщением, равны полу-
виде радиуса тела споры.

Распространение: низы фаменского яруса.

317. *Lophotriletes rugosus* Naum var. *minor* Naum. v. n.

Табл. XVI, фиг. 26—28

1950. *Lophotriletes rugosus* Naum. Наумова С. Н. Споры нижнего силура. Тр.
Конфер. по спорово-пыльцевому анализу 1948 г. Изд. МГУ, табл. II, фиг. 6.

Местонахождение: Сталинградская область, Арчеда, агра-
маческие слои.

$d = 0,030-0,040$ мм. Цвет желтый.

Распространение: силур, девон, карбон.

318. *Lophotriletes rotundus* Naum. sp. n. var. *minor* Naum. v. n.

Табл. XVI, фиг. 29, 30

М есто нахождение: Сталинградская область, Арчеда, агра-
маческие слои.

д = 0,030—0,035 мм. Цвет желтый.

Распространение: средний и верхний девон.

319. *Lophotriletes megalothelis* Naum. sp. n.

Табл. XVI, фиг. 31

Голотип. ИГН № 3450/3444.

М есто нахождение: Сталинградская область, Арчеда, агра-
маческие слои.

д = 0,035—0,040 мм. Цвет желтый,

Спора в очертании треугольная, с округлыми углами и прямыми гра-
нями. Экзина толстая, поверхность ее покрыта сравнительно крупными,
плотно прилегающими друг к другу бугорками. Щель разверзания трех-
лучевая, простая. Лучи щели равны радиусу тела споры.

Распространение: низы фаменского яруса.

320. *Lophotriletes minor* Naum.

Табл. XVI, фиг. 32

М есто нахождение: Сталинградская область, Арчеда, агра-
маческие слои.

д = 0,015—0,020 мм. Цвет желтый.

Распространение: средний и верхний девон.

321. *Lophotriletes normalis* Naum.

Табл. XVI, фиг. 33

М есто нахождение: Сталинградская область, Арчеда, агра-
маческие слои.

д = 0,030—0,035 мм. Цвет желтый.

Распространение: средний и верхний девон.

322. *Lophotriletes rotundus* Naum. sp. n.

Табл. XVI, фиг. 34

М есто нахождение: Сталинградская область, Арчеда, агра-
маческие слои.

д = 0,040—0,050 мм. Цвет желтый.

Распространение: девон, карбон.

323. *Lophotriletes turbinatus* Naum. sp. n.

Табл. XVI, фиг. 35

Голотип. ИГН № 3450/3444.

Местонахождение: Ставропольский край, Арчеда, агра-
маческие слои.

$d = 0,040-0,045$ мм. Цвет желтый.

Спора имеет округлое очертание. Экзина плотная со складками смятия. Поверхность экзины покрыта мелкими, неправильной формы бугорками. Щель разверзания трехлучевая, простая. Лучи щели равны радиусу тела споры или немного меньше его.

Распространение: франский и фаменский ярусы верхнего девона и карбон.

324. *Lophotriletes Zalesskyi* Naum.

Табл. XVI, фиг. 36

1950. *Lophotriletes Zalesskyi* Naum. Наумова С. Н. Споры нижнего силура. Тр. Конфер. по спорово-пыльцевому анализу 1948 г. Изд. МГУ, стр. 170, табл. II, фиг. 7.

Местонахождение: Ставропольский край, Арчеда, агра-
маческие слои.

$d = 0,040-0,050$ мм. Цвет желтый.

Распространение: силур, девон.

325. *Lophotriletes salelrosus* Naum. sp. n. var. *famenensis* Naum.

Табл. XVI, фиг. 37, 38

Голотип. ИГН № 3450/3444.

Местонахождение: Ставропольский край, Арчеда, агра-
маческие слои.

$d = 0,040-0,045$ мм. Цвет желтый.

Данная форма отличается от основной формы меньшим размером
экзины.

Распространение: фаменский ярус.

Подгруппа *Dictyotriletes* Naumova, 1937

326. *Dictyotriletes famenensis* Naum. sp. n.

Табл. XVI, фиг. 39

Голотип. ИГН № 3450/3678.

Местонахождение: Орловская область, г. Елец, агра-
маческие слои.

$d = 0,040-0,045$ мм. Цвет желтый.

Спора имеет округлое очертание. Экзина плотная, покрыта мелкой, утолщенной сеткой, край экзины утолщен. Щель разверзания трехлучевая, простая. Лучи щели равны радиусу тела споры. Данная форма близка к *Dict. devonicus* Naum., от которой отличается более крупной сеткой.

Распространение: франский и фаменский ярусы верхнего девона.

327 *Dictyotriletes varius* Naum. sp. n.

Табл. XVI, фиг. 40

Голотип. ИГН № 3450/3444.

Местонахождение: Ставропольская область, Арчеда, агра-
маческие слои.

$d = 0,040-0,045$ мм. Цвет светло-желтый.

Очертание споры округлое. Экзина тонкая. Поверхность экзины покрыта очень нежной крупной сеткой. Щель разверзания трехлучевая, простая.

Распространение: низы фаменского яруса.

Подгруппа *Retusotriletes* Naumova gen. nov.

328. *Retusotriletes Pychovii* Naum.

Табл. XVI, фиг. 41

Местонахождение: Ставропольская область, Арчеда, агра-
маческие слои.

$d = 0,040-0,045$ мм.

Распространение: средний и верхний девон, карбон.

329. *Retusotriletes communis* Naum.

Табл. XVI, фиг. 42

Местонахождение: Орловская область, г. Елец, агра-
маческие слои.

$d = 0,040-0,050$ мм. Цвет желтый.

Распространение: средний и верхний девон.

330. *Retusotriletes microthelis* Naum. sp. n.

Табл. XVI, фиг. 43

Голотип. ИГН № 3450/3678.

Местонахождение: Орловская область, г. Елец, агра-
маческие слои.

$d = 0,025-0,035$ мм. Цвет желтый.

Очертание споры округлое. Экзина плотная, покрыта плотно прилегающими друг к другу мелкими бородавками. Арея хорошо выражена, небольшого размера. Щель разверзания трехлучевая, простая. Лучи равны половине радиуса тела споры.

Распространение: франский и фаменский ярусы.

331. *Retusotriletes famenensis* Naum. sp. n.

Табл. XVI, фиг. 44

Голотип. ИГН № 3450/3444.

Местонахождение: Ставропольская область, Арчеда, агра-
маческие слои.

$d = 0,040-0,050$ мм. Цвет желтый.

Спора имеет округлое очертание. Экзина плотная, покрыта редкими, округлыми бугорками. Ареа хорошо выражена. Щель разверзания трехлучевая, простая. Лучи щели равны половине радиуса тела споры.

Данная форма близка к *Ret. domanicus* Naum., от которой отличается более крупными и редкими бугорками.

Распространение: низы фаменского яруса.

Подгруппа *Stenozonotriletes* Naumova, 1937

332. *Stenozonotriletes tersus* (Waltz) Naum.

Табл. XVII, фиг. 1, 2

1941. *Zonotriletes tersus* Waltz. Лю б е р А. А. и В а ль ц И. Э. Атлас микроспор и шильцы палеозоя СССР. Тр. ВСЕГЕИ, вып. 139, табл. IV, фиг. 58.

Местонахождение: Сталинградская область, Арчеда, агромаческие слои.

д = 0,030—0,050 мм. Цвет желтый.

Распространение: франский и фаменский ярусы девона и нижний карбон.

333. *Stenozonotriletes glarum* Naum. sp. н.

Табл. XVII, фиг. 3

Голотип. ИГН № 2450/3444.

Местонахождение: Сталинградская область, Арчеда, агромаческие слои.

д = 0,040—0,050 мм. Цвет желтый.

Спора имеет треугольное очертание с заостренными углами и выпуклыми гранями. Экзина толстая, с оторочкой, в два раза меньше тела. Тело споры треугольное с выпуклыми гранями и заостренными углами. Поверхность тела и оторочки гладкая. Щель разверзания трехлучевая, с утолщенным краем.

Распространение: фаменский ярус.

334. *Stenozonotriletes pumilus* Naum.

Табл. XVII, фиг. 4.

Местонахождение: Сталинградская область, Арчеда, агромаческие слои.

д = 0,015—0,020 мм. Цвет светло-желтый.

Распространение: девон, карбон, пермь.

335. *Stenozonotriletes laevigatus* Naum.

Табл. XVII, фиг. 5

Местонахождение: Сталинградская область, Арчеда, агромаческие слои.

д = 0,050—0,070 мм. Цвет желтый.

Распространение: девон, карбон, пермь.

336. *Stenozonotriletes conformis* Naum.

Табл. XVII, фиг. 6

Местонахождение: Сталинградская область, Арчеда, агра-
маческие слои.

д = 0,030—0,040 мм. Цвет желтый.

Распространение: девон, карбон, пермь, мезозой.

337. *Stenozonotriletes simplex* Naum.

Табл. XVII, фиг. 7

Местонахождение: Сталинградская область, Арчеда, агра-
маческие слои.

д = 0,030—0,040 мм. Цвет желтый.

Распространение: средний и верхний девон, карбон, пермь,
мезозой.

338. *Stenozonotriletes furcatus* Naum, sp. n.

Табл. XVII, фиг. 8

Голотип. ИГН № 3450/3444.

Местонахождение: Сталинградская область, Арчеда, агра-
маческие слои.

д = 0,035—0,040 мм. Цвет желтый.

Тело и оторочка в очертании треугольные с выпуклыми гранями.
Тело споры слабо бугорчатое. Оторочка узкая, гладкая. Щель развер-
зания трехлучевая, простая. Лучи щели равны радиусу тела споры.

Распространение: низы фаменского яруса.

339. *Stenozonotriletes reticulatus* Naum, sp. n.

Табл. XVII, фиг. 9

Голотип. ИГН № 3450/3444.

Местонахождение: Сталинградская область, Арчеда, агра-
маческие слои.

д = 0,040—0,050 мм. Цвет желтый.

Очертание тела и оторочки споры округло-треугольное с выпуклыми
гранями. Тело споры мелкосетчатое. Оторочка узкая, гладкая. Щель развер-
зания трехлучевая, простая. Лучи щели равны радиусу тела споры.

Распространение: фаменский ярус.

340. *Stenozonotriletes conspersus* Naum.

Табл. XVII, фиг. 10

Паратип. ИГН № 3450/3444.

Местонахождение: Сталинградская область, Арчеда, агра-
маческие слои.

д = 0,030—0,035 мм. Цвет желтый.

Очертание тела и оторочки треугольное, с прямыми гранями. Тело споры мелкобугорчатое. Оторочка узкая, гладкая. Щель разверзания трехлучевая, простая. Лучи щели равны радиусу тела споры.

Распространение: низы фаменского яруса.

341. *Stenozonotriletes fumanus* Naum. sp. n.

Табл. XVII, фиг. 11

Голотип. ИГН № 3450/3444.

Местонахождение: Ставропольский край, Арчеда, агра-маческие слои.

$d = 0,040 - 0,045$ мм. Цвет желтый.

Очертание тела и оторочки споры округло-треугольное. Экзина толстая. Тело споры покрыто мелкими бугорками неправильной формы. Оторочка узкая. Щель разверзания трехлучевая, простая. Лучи щели равны радиусу тела споры.

Распространение: низы фаменского яруса.

Подгруппа *Nymphonotriletes* Naumova, 1937

342. *Nymphonotriletes commutatus* Naum. sp. n.

Табл. XVII, фиг. 12, 13

Голотип. ИГН № 3450/3444.

Местонахождение: Ставропольский край, Арчеда, агра-маческие слои.

$d = 0,040 - 0,050$ мм. Цвет светло-желтый.

Спора имеет округло-треугольное очертание. Периспорий пленчатый, бородавчатый или нежношагреневый, со складками смятия. Тело округло-треугольное, плотное, гладкое, в два раза меньше периспория. Щель разверзания трехлучевая, с приподнятыми краями. Лучи щели почти равны радиусу периспория.

Распространение: фаменский ярус верхнего девона.

343. *Nymphonotriletes hyalinus* Naum. sp. n.

Табл. XVII, фиг. 14, 15

Голотип. ИГН № 3450/3444.

Местонахождение: Ставропольский край, Арчеда, агра-маческие слои.

$d = 0,030 - 0,040$ мм. Цвет светло-желтый.

Спора в очертании округлая или округло-треугольная. Периспорий пленчатый, слабо морщинистый, прозрачный, нежношагреневый. Тело треугольное, плотное, меньше периспория. Щель разверзания трехлучевая, простая. Лучи щели экзины равны радиусу тела; лучи щели периспория равны радиусу периспория.

Распространение: фаменский ярус верхнего девона.

344. *Nymenozonotriletes rugosus* Naum. sp. n.

Табл. XVII, фиг. 16

Местонахождение: Сталинградская область, Арчеда, агра-
маческие слои.

$d = 0,040-0,055$ мм. Цвет желтый.

Распространение: верхний девон.

345. *Nymenozonotriletes famenensis* Naum. sp. n.

Табл. XVII, фиг. 17

Голотип. ИГН № 3450/3444.

Местонахождение: Сталинградская область, Арчеда, агра-
маческие слои.

$d = 0,030-0,040$ мм. Цвет светло-желтый.

Спора в очертании округлая. Периспорий пленчатый, прозрачный,
гладкий, смят в складки. Тело споры округлое, плотное. Щель развер-
зания тела споры трехлучевая, простая, лучи с расширениями близ
края. Щель разверзания периспория также трехлучевая, простая.

Данная форма близка к *Nym. rugilobus* Naum., от которой отличается
отсутствием отороченной щели разверзания у периспория.

Распространение: фаменский ярус верхнего девона.

346. *Nymenozonotriletes pallidus* Naum. sp. n.

Табл. XVII, фиг. 18, 19

Голотип. ИГН № 3450/3444.

Местонахождение: Сталинградская область, Арчеда, агра-
маческие слои.

$d = 0,020-0,040$ мм. Цвет светло-желтый.

Спора имеет округлое очертание. Периспорий пленчатый, прозрачный,
гладкий. Экзина округло-овальная, плотная, гладкая. Щель разверза-
ния экзины трехлучевая, простая, лучи щели равны радиусу тела споры.
Лучи щели периспория равны его радиусу.

Распространение: фаменский ярус верхнего девона.

347. *Nymenozonotriletes rectiformis* Naum. sp. n.

Табл. XVII, фиг. 20

Голотип. ИГН № 3450/3444.

Местонахождение: Сталинградская область, Арчеда, агра-
маческие слои.

$d = 0,045-0,050$ мм. Цвет светло-желтый.

Спора в очертании треугольная. Периспорий пленчатый, гладкий,
несколько превышает тело споры. Последнее треугольное, плотное. По-
верхность тела споры шагреневая. Щель разверзания трехлучевая, про-

стая. Лучи щели равны радиусу тела споры. Данная форма близка к *Hymenozonotriletes tunicatus* Naum. из франских отложений, от которой отличается треугольным очертанием и шагреневым телом споры.

Распространение: фаменский ярус верхнего девона.

348. *Hymenozonotriletes trachyodontus* Naum. sp. n.

Табл. XVII, фиг. 21

Голотип. ИГН № 3450/3444.

Местонахождение: Ставропольская область, Арчеда, агра-маческие слои.

$d = 0,040-0,045$ мм. Цвет желтый.

Очертание споры треугольное, с выпуклыми гранями. Периспорий тонкий, покрыт плотно прилегающими друг к другу мелкими шипиками и редкими — более крупными. Тело споры треугольное с выпуклыми гранями, меньше периспория. Щель разверзания трехлучевая, простая. Лучи щели равны радиусу периспория.

Распространение: низы фаменского яруса.

349. *Hymenozonotriletes echinulus* Naum. sp. n.

Табл. XVII, фиг. 22

Голотип. ИГН № 3450/3444.

Местонахождение: Ставропольская область, Арчеда, агра-маческие слои.

$d = 0,050-0,055$ мм. Цвет светло-желтый.

Очертание споры округло-треугольное. Периспорий пленчатый, значительно превышает тело споры, прозрачный, покрыт довольно редкими, длинными шипами. Тело споры округло-треугольное, с выпуклыми гранями. Щель разверзания трехлучевая, простая, немного меньше радиуса периспория.

Распространение: нижнефаменские отложения.

350. *Hymenozonotriletes evlanensis* Naum.

Табл. XVII, фиг. 23

Паратип. ИГН № 3450/3678.

Местонахождение: Орловская область, г. Елец, агра-маческие слои.

$d = 0,040-0,045$ мм. Цвет светло-желтый.

Спора имеет многоугольное очертание. Периспорий пленчатый, мелко-бородавчатый. Тело споры многоугольное. Щель разверзания тела споры трехлучевая, простая. Лучи щели равны радиусу тела споры. Щель разверзания периспория трехлучевая, окаймленная; лучи щели равны радиусу периспория.

Распространение: верхнефранские отложения, фаменский ярус.

351. *Hymenozonotriletes livensis* Naum.

Табл. XVII, фиг. 24

Паратип. ИГН № 3450/3444.

Местонахождение: Сталинградская область, Арчеда, агра-
маческие слои.

$d = 0,035-0,040$ мм. Цвет желтый.

Спора имеет многоугольное очертание. Периспорий тонкий, гладкий. Тело споры многоугольное. Щель разверзания тела споры трехлучевая, простая. Лучи щели равны радиусу тела споры. Щель разверзания периспория трехлучевая, окаймленная.

Распространение: верхи франского и фаменского ярусов.

Подгруппа *Archaeozonotriletes* Naumova gen. nov.

352. *Archaeozonotriletes notatus* Naum.

Табл. XVII, фиг. 25

Местонахождение: Орловская область, г. Елец, агра-
маческие слои.

$d = 0,040-0,045$ мм. Цвет желтый.

Распространение: фаменский и франский ярусы.

353. *Archaeozonotriletes compactus* Naum. sp. n. var. *fame-*
Naum.

Табл. XVII, фиг. 26

Голотип. ИГН № 3450/3444.

Местонахождение: Сталинградская область, Арчеда, агра-
маческие слои.

$d = 0,040-0,045$ мм. Цвет желтый.

Очертание споры округлое. Поверхность периспория покрыта плотно прилегающими друг к другу мелкими бородавками. Тело споры округлое, немного меньше периспория, выступающего по краю в виде узкой оторочки. Щель разверзания трехлучевая, простая. Лучи щели равны половине радиуса периспория.

Данная форма близка к *Arch. compactus* Naum., описанной из фран-
ских отложений, но отличается меньшим размером и более нежнымperi-
спорием.

Распространение: низы фаменского яруса.

354. *Archaeozonotriletes micromanifestus* Naum. sp. n. var. *fame-*
Naum.

Табл. XVII, фиг. 27

Местонахождение: Сталинградская область, Арчеда, агра-
маческие слои.

$d = 0,040-0,045$ мм. Цвет желтый.

Данная форма отличается от основной формы меньшим размером.
Распространение: фаменский ярус.

355. *Archaeozonotriletes parvimmatus* Naum. sp. n.

Табл. XVII, фиг. 28

Голотип. ИГН № 3450/3678.

Местонахождение: Орловская область, г. Елец, агра-
маческие слои.

$d = 0,025-0,030$ мм. Цвет желтый.

Спора имеет округлое очертание. Периспорий покрыт плотно прилегающими друг к другу мелкими бородавками. Тело споры меньше периспория, плотное. Щель разверзания трехлучевая, простая. Лучи щели равны радиусу тела споры.

Распространение: фаменский ярус.

356. *Archaeozonotriletes lasilaris* Naum. sp. n.

Табл. XVII, фиг. 29

Местонахождение: Ставропольская область, Арчеда, агра-
маческие слои.

$d = 0,040-0,045$ мм. Цвет желтый.

Распространение: средний и верхний девон.

357. *Archaeozonotriletes parvitasilaris* Naum.

Табл. XVII, фиг. 30.

Местонахождение: Орловская область, г. Елец, агра-
маческие слои.

$d = 0,015-0,025$ мм. Цвет желтый.

Распространение: средний и верхний девон.

358. *Archaeozonotriletes famenensis* Naum. sp. n.

Табл. XVII, фиг. 31—34

Голотип. ИГН № 3450/2444.

Местонахождение: Ставропольская область, Арчеда, агра-
маческие слои.

$d = 0,040-0,050$ мм. Цвет желтый.

Спора имеет округло-треугольное очертание. Периспорий плотный, покрыт редкими, сравнительно крупными округлыми бугорками, выступающими по краю в виде оторочки. Экзина значительно меньше периспория, имеет треугольное очертание, узко отороченная. Щель разверзания трехлучевая, простая. Лучи щели равны радиусу периспория или немного меньше его.

Распространение: широко распространена в елецких слоях
фаменского яруса.

359. *Archaeozonotriletes formosus* Naum. sp. n.

Табл. XVII, фиг. 35, 36

Голотип. ИГН № 3450/3444.

Местонахождение: Сталинградская область, Арчеда, агра-
маческие слои.

д = 0,030—0,040 мм. Цвет желтый.

Очертание споры треугольное. Периспорий плотный, мелкобугорчатый.
Тело треугольное, шагреневое. Щель разверзания трехлучевая, простая.
Лучи щели равны радиусу тела споры.

Распространение: нижняя часть фаменского яруса.

360. *Archaeozonotriletes fastuosus* Naum. sp. n.

Табл. XVII, фиг. 37

Голотип. ИГН № 3450/3444.

Местонахождение: Сталинградская область, Арчеда, агра-
маческие слои.

д = 0,030—0,036 мм. Цвет желтый.

Спора имеет округло-треугольное очертание. Периспорий плотный,
по краю сильно утолщенный, покрыт редкими шипиками. Экзина немногим
меньше периспория, плотная, гладкая, с намечающимися ареа. Щель раз-
верзания экзины трехлучевая. Лучи щели равны радиусу тела споры.

Распространение: отложения елецкого подъяруса.

361. *Archaeozonotriletes distinctus* Naum. sp. n.

Табл. XVII, фиг. 38

Голотип. ИГН № 3450/3444.

Местонахождение: Сталинградская область, Арчеда, агра-
маческие слои.

д = 0,040—0,050 мм. Цвет желтый.

Спора имеет треугольное очертание. Периспорий толстый, с неясно
выраженной мелкобугорчатостью. Тело споры треугольное, значительно
меньше периспория. Щель разверзания трехлучевая, простая. Лучи щели
равны радиусу тела споры.

Распространение: низы фаменского яруса.

Подгруппа *Lophozonotriletes* Naumova gen. nov.

362. *Lophozonotriletes crassus* Naum. sp. n.

Табл. XVII, фиг. 39

Голотип. ИГН № 3450/3678.

Местонахождение: Орловская область, г. Елец, агра-
маческие слои.

д = 0,040—0,045 мм. Цвет желтый.

Спора в очертании треугольная с прямыми гранями. Экзина толстая, по краю утолщенная в виде оторочки. Поверхность экзины покрыта плоскими бугорками, плохо заметными на теле споры. Щель разверзания трехлучевая, отороченная. Лучи щели равны радиусу тела споры.

Распространение: широко распространена в отложениях елецкого подъяруса.

363. *Lophozonotriletes torosus* Naum. sp. n. var. *famenensis* Naum. v. n.

Табл. XVII, фиг. 40

Голотип. ИГИ № 3450/3444.

Местонахождение: Сталинградская область, Арчеда, агра-маческие слои.

$d = 0,030\text{--}0,040$ мм. Цвет темножелтый.

Спора в очертании округло-треугольная. Экзина толстая, по краю имеет утолщения в виде узкой оторочки, неравномерно развитой вокруг тела. Тело споры треугольное. На поверхности экзины имеются редкие крупные, довольно плоские бугорки. Щель разверзания трехлучевая, простая. Лучи щели равны радиусу тела споры.

Данная разновидность отличается от основной формы меньшим размером и менее ясно выраженным бугорками.

Распространение: фаменский ярус и низы нижнего карбона.

364. *Lophozonotriletes curvatus* Naum.

Табл. XVII, фиг. 41

Местонахождение: Сталинградская область, Арчеда, агра-маческие слои.

$d = 0,030\text{--}0,035$ мм. Цвет желтый.

Распространение: задонские, елецкие и данково-лебединские слои фаменского яруса.

365. *Lophozonotriletes leledianensis* Naum. sp. n.

Табл. XVII, фиг. 42

Голотип. ИГИ № 3450/3678.

Местонахождение: Орловская область, г. Елец, агра-маческие слои.

$d = 0,055\text{--}0,060$ мм. Цвет желтый.

Очертание споры округло-овальное. Экзина очень толстая, узко отороченная. На поверхности экзины расположены в значительном количестве крупные бугорки округлой формы, отчего внешний край оторочки принимает крупно-городчатый вид. Щель разверзания трехлучевая, простая.

Распространение: фаменский ярус.

Данково-лебедянский подъярус

Лебедянские слои

СПОРОЫ ТИПА PTERIDOPHYTA И BRYOPHYTA

Группа *Triletes* R.

Подгруппа *Leiotriletes* Naumova, 1937

366. *Leiotriletes simplicissimus* Naum.

Табл. XVIII, фиг. 1

1949. *Leiotriletes simplicissimus* Naum. Наумова С. Н. Споры нижнего кембрия.
Изв. Акад. Наук СССР, сер. геол., № 4, табл. I, фиг. 5.

Местонахождение: Орловская область, близ. г. Мценска,
лебедянская толща.

д = 0,020—0,030 мм. Цвет желтый.

Распространение: кембрий, силур, девон, карбон.

367 *Leiotriletes pusillus* Naum.

Табл. XVIII, фиг. 2

Паратип. ИГН № 3450/3676.

Местонахождение: Орловская область, близ. г. Мценска,
лебедянская толща.

д = 0,020—0,025 мм. Цвет желтый.

Распространение: фаменский ярус.

368. *Leiotriletes minutissimus* Naum.

Табл. XVIII, фиг. 3

1949. *Leiotriletes minutissimus* Naum. Наумова С. Н. Споры нижнего кембрия.
Изв. Акад. Наук СССР, сер. геол., № 4, табл. I, фиг. 3—4.

Местонахождение: Орловская область, близ. г. Мценска,
лебедянская толща.

д = 0,020—0,025 мм. Цвет желтый.

Распространение: кембрий, силур, девон.

369. *Leiotriletes rotundus* Naum.

Табл. XVIII, фиг. 4, 5

Паратип. ИГН № 3450/3676.

Местонахождение: Орловская область, близ г. Мценска,
лебедянская толща.

д = 0,040—0,050 мм. Цвет желтый.

Распространение: девон, карбон, пермь, мезозой.

370. *Leiotriletes pullatus* Naum.

Табл. XVIII, фиг. 6

Параптип. ИГН № 3450/3676.

Местонахождение: Орловская область, близ г. Мценска, лебедянская толща.

д = 0,060—0,070 мм. Цвет темноожелтый.

Распространение: девон, карбон, пермь.

371. *Leiotriletes trivialis* Naum.

Табл. XVIII, фиг. 7, 8

Параптип. ИГН № 3450/3676.

Местонахождение: Орловская область, близ г. Мценска, лебедянская толща.

д = 0,030—0,035 мм. Цвет темноожелтый.

Распространение: девон, карбон, пермь.

372. *Leiotriletes dicksonialis* Naum.

Табл. XVIII, фиг. 9

Параптип. ИГН № 3450/3676.

Местонахождение: Орловская область, близ г. Мценска, лебедянская толща.

д = 0,030—0,035 мм. Цвет темноожелтый.

Спора типа *Dicksonia*.

Распространение: фаменский ярус.

Подгруппа *Trachytriletes* Naumova, 1937

373. *Trachytriletes solidus* Naum.

Табл. XVIII, фиг. 10

1950. *Trachytriletes solidus* Naum. Наумова С. Н. Споры нижнего силура. Тр. Конфер. по спорово-пыльцевому анализу 1948 г. Изд. МГУ, табл. I, фиг. 3.

Местонахождение: Орловская область, близ г. Мценска, лебедянская толща.

д = 0,025—0,030 мм. Цвет желтый.

Распространение: силур, девон, карбон, пермь.

374. *Trachytriletes minutus* Naum.

Табл. XVIII, фиг. 11

1949. *Trachytriletes minutus* Naum. Наумова С. Н. Споры нижнего кембрия. Изв. Акад. Наук СССР, сер. геол., № 4, табл. I, фиг. 8—9.

Местонахождение: Орловская область, близ г. Мценска, лебедянская толща.

д = 0,030—0,035 мм. Цвет желтый.

Распространение: средний и верхний девон.

375. *Trachytriletes punctulatus* Naum.

Табл. XVIII, фиг. 12

Параптип. ИГН № 3450/3676.

Местонахождение: Орловская область, близ г. Мценска, лебедянская толща.

д = 0,045—0,050 мм. Цвет желтый.

Распространение: девон, карбон, пермь.

Подгруппа *Acanthotriletes* Naumova, 1937

376. *Acanthotriletes rugatus* Naum. sp. n. var. *pumilus* Naum. v. n.

Табл. XVIII, фиг. 13

Голотип. ИГН № 3450/3676.

Местонахождение: Орловская область, близ г. Мценска, лебедянская толща.

д = 0,020—0,025 мм. Цвет желтый.

Данная разновидность отличается от основной формы меньшим размером.

Распространение: средний и верхний девон.

377. *Acanthotriletes acanthaceus* Naum. sp. n.

Табл. XVIII, фиг. 14

Голотип. ИГН № 3450/3676.

Местонахождение: Орловская область, близ г. Мценска, лебедянская толща.

д = 0,020—0,025 мм. Цвет желтый.

Спора имеет округло-треугольное очертание, экзина толстая. Поверхность ее покрыта редкими, довольно крупными, несколько изогнутыми шипиками. Щель разверзания трехлучевая, простая. Лучи щели равны половине радиуса тела споры.

Распространение: верхи фаменского яруса.

Подгруппа *Lophotriletes* Naumova, 1937

378. *Lophotriletes rugosus* Naum.

Табл. XVIII, фиг. 15

1949. *Lophotriletes rugosus* Naum. Наумова С. Н. Споры нижнего кембрия. Изв. Акад. Наук СССР, сер. геол., № 4, табл. II, фиг. 6.

Местонахождение: Орловская область, близ г. Мценска, лебедянская толща.

д = 0,030—0,035 мм. Цвет желтый.

Распространение: средний и верхний девон.

379. *Lophotriletes normalis* Naum.

Табл. XVIII, фиг. 16

Паратип. ИГН № 3450/3676.

Местонахождение: Орловская область, близ г. Мценска, лебедянская толща.

$d = 0,070 - 0,080$ мм. Цвет желтый.

Распространение: средний и верхний девон.

380. *Lophotriletes atratus* Naum. sp. n.

Табл. XVIII, фиг. 17

Голотип. ИГН № 3450/3676.

Местонахождение: Орловская область, близ г. Мценска, лебедянская толща.

$d = 0,040 - 0,045$ мм. Цвет желтый.

Спора имеет округлое очертание. Экзина толстая, покрыта очень частыми мелкими бугорками неправильной формы. Щель разверзания трехлучевая, простая. Лучи щели равны радиусу тела споры.

Распространение: верхи фаменского яруса.

Подгруппа *Retusotriletes* Naumova gen. nov.

381. *Retusotriletes Pychovii* Naum.

Табл. XVIII, фиг. 18

Паратип. ИГН № 3450/3676.

Местонахождение: Орловская область, близ. г. Мценска, лебедянская толща.

$d = 0,035 - 0,040$ мм. Цвет желтый.

Распространение: средний и верхний девон.

382. *Retusotriletes Pychovii* Naum. sp. n. var. *major* Naum. v. n.

Табл. XVIII, фиг. 19

Голотип. ИГН № 3450/3676.

Местонахождение: Орловская область, близ г. Мценска, лебедянская толща.

$d = 0,065 - 0,070$ мм. Цвет желтый.

Данная разновидность отличается от основной формы значительно большим размером.

Распространение: средний и верхний девон.

383. *Retusotriletes communis* Naum.

Табл. XVIII, фиг. 20, 21

Паратип. ИГН № 3450/3676.

Местонахождение: Орловская область, близ. г. Мценска, лебедянская толща.

$d = 0,040-0,045$ мм. Цвет желтый.

Распространение: средний и верхний девон.

384. *Retusotriletes parvimammatus* Naum. sp. n. var. *famenensis* Naum.

Табл. XVIII, фиг. 22

Голотип. ИГН № 3450/3676.

Местонахождение: Орловская область, близ г. Мценска, лебедянская толща.

$d = 0,070-0,080$ мм. Цвет темноожелтый.

Спора в очертании округло-треугольная, по краю утолщенная в виде узкой оторочки. Ареа хорошо выражены и почти доходят до внутреннего края оторочки. Поверхность экзина покрыта плотно прилегающими друг к другу бородавками. Щель разверзания трехлучевая, простая. Лучи щели немного меньше радиуса тела споры.

Распространение: франский и фаменский ярусы.

385. *Retusotriletes microthelis* Naum. sp. n.

Табл. XVIII, фиг. 23

Голотип. ИГН № 3450/3676.

Местонахождение: Орловская область, близ г. Мценска, лебедянская толща.

$d = 0,028-0,035$ мм. Цвет желтый.

Распространение: франский и фаменский ярусы верхнего девона.

Подгруппа *Archaeotriletes* Naumova gen. nov.

386. *Archaeotriletes honestus* Naum. sp. n.

Табл. XVIII, фиг. 24, 25

Голотип. ИГН № 3450/3676.

Местонахождение: Орловская область, близ г. Мценска, лебедянская толща.

$d = 0,090-0,100$ мм. Цвет темноожелтый.

Спора в очертании округлая. Экзина очень толстая, гладкая с крупными и длинными шиповидными выростами по краю и середине тела споры. Близ середины имеется округлое валикообразное утолщение. Щель разверзания трехлучевая, простая. Лучи щели равны половине радиуса тела споры.

Распространение: средний и верхний девон.

Подгруппа *Hymenozonotriletes* Naumova, 1937

387 *Hymenozonotriletes varius* Naum. sp. n. var. *minor* Naum.

Табл. XVIII, фиг. 26, 27

Голотип. ИГН № 3450/3676.

Местонахождение: Орловская область, близ г. Мценска, лебедянская толща.

$d = 0,030\text{--}0,050$ мм. Цвет светло-желтый.

Данная разновидность отличается от основной формы меньшим размером.

Распространение: франский и фаменский ярусы.

388. *Hymenozonotriletes commutatus* Naum.

Табл. XVIII, фиг. 28

Паратип. ИГН № 3450/3676.

Местонахождение: Орловская область, близ г. Мценска, лебедянская толща.

$d = 0,045\text{--}0,050$ мм. Цвет светло-желтый.

Распространение: фаменский ярус верхнего девона.

389. *Hymenozonotriletes imperfectus* Naum.

Табл. XVIII, фиг. 29

Паратип. ИГН № 3450/3676.

Местонахождение: Орловская область, близ г. Мценска, лебедянская толща.

$d = 0,035\text{--}0,040$ мм. Цвет желтый.

Распространение: верхи франского и фаменского ярусов.

390. *Hymenozonotriletes gyratus* Naum. sp. n.

Табл. XVIII, фиг. 30

Голотип. ИГН № 3450/3676.

Местонахождение: Орловская область, близ г. Мценска, лебедянская толща.

$d = 0,040\text{--}0,055$ мм. Цвет светло-желтый.

Спора имеет округлое очертание. Периспорий пленчатый, гладкий. Тело споры немногим меньше периспория, округло-треугольное, плотное, с двойной узкой оторочкой. Щель разверзания трехлучевая, простая. Лучи щели равны радиусу тела споры. Щель разверзания периспория плохо заметна.

Данная форма близка к *Hym. zadonicus* Naum. из задонских слоев, от которой отличается меньшим размером и треугольным очертанием тела споры.

Распространение: верхи фаменского яруса.

391. *Nyctenozonotriletes millegranus* Naum. sp. n.

Табл. XVIII, фиг. 31, 32

Голотип. ИГН № 3450/3676.

Местонахождение: Орловская область, близ г. Мценска, лебедянская толща.

$d = 0,045-0,050$ мм. Цвет желтый.

Очертание споры округло-треугольное или треугольное. Периспорий пленчатый, немного больше тела споры, покрыт плотно прилегающими друг к другу мелкими бородавками. Тело споры треугольное или округло-треугольное, плотное, с двойной узкой оторочкой. Щель разверзания трехлучевая, простая. Лучи щели равны радиусу тела споры.

Распространение: верхи фаменского яруса.

392. *Nyctenozonotriletes persimilis* Naum. sp. n.

Табл. XVIII, фиг. 33

Голотип. ИГН № 3450/3676.

Местонахождение: Орловская область, близ г. Мценска, лебедянская толща.

$d = 0,045-0,050$ мм. Цвет светложелтый.

Спора в очертании округло-треугольная. Периспорий пленчатый, немного больше тела споры, покрыт плотно прилегающими друг к другу бородавками. Тело споры округло-треугольное, довольно плотное, немногим меньше периспория. Щель разверзания тела споры трехлучевая, с утолщенным краем. Лучи щели равны радиусу периспория.

Распространение: верхи фаменского яруса.

393. *Nyctenozonotriletes mirandus* Naum. sp. n.

Табл. XVIII, фиг. 34.

Голотип. ИГН № 3450/3676.

Местонахождение: Орловская область близ г. Мценска, лебедянская толща.

$d = 0,080-0,090$ мм. Цвет светложелтый.

Спора имеет округло-овальное очертание. Периспорий пленчатый, густо-мелкобородавчатый, смят в складки. Тело споры округло-овальное, узко отороченное, немногим меньше периспория. Щель разверзания трехлучевая, простая. Лучи щели равны радиусу периспория.

Распространение: верхи фаменского яруса.

394. *Nyctenozonotriletes lebedianensis* Naum. sp. n.

Табл. XVIII, фиг. 35

Голотип. ИГН № 3450/3676.

Местонахождение: Орловская область, близ г. Мценска, лебедянская толща.

$d = 0,050-0,060$ мм. Цвет желтый.

Очертание споры округло-треугольное. Периспорий пленчатый, смят в складки. Поверхность периспория шагреневая. Тело споры округло-треугольное, немного меньше периспория, плотное, по краю узко отороченное. Щель разверзания трехлучевая. Лучи щели с отороченным краем; равны радиусу тела споры. Щель разверзания периспория трехлучевая, простая; лучи щели равны радиусу периспория.

Распространение: верхи фаменского яруса.

395. *Nymenogonotriletes livensis* Naum.

Табл. XIX, фиг. 1

Паратип. ИГН № 3450/3676.

Местонахождение: Орловская область, близ г. Мценска, лебедянская толща.

$d = 0,040-0,045$ мм. Цвет желтый.

Распространение: фаменский ярус и верхи франского яруса.

396. *Nymenogonotriletes multangularis* Naum. sp. n.

Табл. XIX, фиг. 2

Голотип. ИГН № 3450/3676.

Местонахождение: Орловская область, близ г. Мценска, лебедянская толща.

$d = 0,040-0,045$ мм. Цвет желтый.

Спора имеет многоугольное очертание. Периспорий пленчатый, гладкий. Тело споры многоугольное, плотное, узко отороченное, почти равно периспорию. Щель разверзания тела споры трехлучевая, отороченная. Лучи щели равны радиусу тела споры. Щель разверзания периспория трехлучевая, узко отороченная. Лучи щели периспория равны его радиусу.

Распространение: верхи фаменского яруса.

397. *Nymenogonotriletes angulosus* Naum.

Табл. XIX, фиг. 3

Паратип. ИГН № 3450/3676.

Местонахождение: Орловская область, близ г. Мценска, лебедянская толща.

$d = 0,045-0,055$ мм. Цвет желтый.

Спора имеет многоугольное очертание. Периспорий тонкий, покрыт плотно прилегающими друг к другу мелкими бугорками. Тело споры почти равно периспорию, многоугольное, по углам узко отороченное. Щель разверзания тела споры трехлучевая, отороченная. Лучи щели равны радиусу тела споры. Щель разверзания периспория трехлучевая, отороченная; лучи щели равны радиусу периспория.

Распространение: верхи фаменского яруса.

Подгруппа *Archaeozonotriletes* Naumova gen. nov.

398. *Archaeozonotriletes semilucensis* Naum.

Табл. XIX, фиг. 4

Паратип. ИГН № 3450/3676.

Местонахождение: Орловская область, близ г. Мценска, лебедянская толща.

$d = 0,050 - 0,060$ мм. Цвет темноожелтый.

Распространение: верхний девон.

399. *Archaeozonotriletes micromanifestus* Naum.

Табл. XIX, фиг. 5

Паратип. ИГН № 3450/3676.

Местонахождение: Орловская область, близ г. Мценска, лебедянская толща.

$d = 0,080 - 0,085$ мм. Цвет темноожелтый.

Распространение: средний и верхний девон.

400. *Archaeozonotriletes luteolus* Naum. sp. n.

Табл. XIX, фиг. 6, 7

Голотип. ИГН № 3450/3676.

Местонахождение: Орловская область, близ г. Мценска, лебедянская толща.

$d = 0,040 - 0,045$ мм. Цвет желтый.

Спора имеет округлое или округло-треугольное очертание. Периспорий плотный, покрыт плотно прилегающими друг к другу бородавками. Тело споры плотное, округлое или треугольное, меньше периспория, вследствие чего последний выступает по краю в виде узкой оторочки. Щель разверзания трехлучевая, простая. Лучи щели равны радиусу тела споры.

Данная форма близка к *Arch. semilucensis* Naum., от которой отличается меньшим размером и отсутствием трещины у внутреннего края оторочки.

Распространение: верхи фаменского яруса.

401. *Archaeozonotriletes lasilaris* Naum.

Табл. XIX, фиг. 8

Паратип. ИГН № 3450/3676.

Местонахождение: Орловская область, близ г. Мценска, лебедянская толща.

$d = 0,040 - 0,045$ мм. Цвет желтый.

Распространение: широко развита в франском ярусе, в меньшей степени в живетском и фаменском ярусах.

402. *Archaeozonotriletes denticulatus* Naum. sp. n.

Табл. XIX, фиг. 9

Голотип. ИГН № 3450/3676.

Местонахождение: Орловская область, близ г. Мценска, лебедянская толща.

$d = 0,040-0,045$ мм. Цвет желтый.

Спора имеет треугольное очертание, с прямыми гранями. Периспорий плотный, покрыт плотно прилегающими друг к другу мельчайшими шишками. Тело треугольное, немного меньше периспория. Щель разверзания трехлучевая, простая. Лучи щели равны радиусу тела споры.

Распространение: верхи фаменского яруса.

403. *Archaeozonotriletes agnatus* Naum. sp. n.

Табл. XIX, фиг. 10

Голотип. ИГН № 3450/3676.

Местонахождение: Орловская область, близ г. Мценска, лебедянская толща.

$d = 0,030-0,040$ мм. Цвет темножелтый.

Очертание споры округло-треугольное. Периспорий плотный, гладкий. Тело споры округлое, несколько меньше периспория. Щель разверзания трехлучевая, широко отороченная. Лучи щели равны радиусу тела споры.

Данная спора близка к карбоновой форме *Archaeozonotriletes sulcatus* (Waltz) Naum.

Распространение: верхи фаменского яруса.

404. *Archaeozonotriletes dedaleus* Naum. sp. n.

Табл. XIX, фиг. 11

Голотип. ИГН № 3450/3676.

Местонахождение: Орловская область, близ г. Мценска, лебедянская толща.

$d = 0,050-0,060$ мм. Цвет темножелтый.

Спора имеет округлое или округло-треугольное очертание. Периспорий плотный, по краю утолщенный, имеет сетчато расположенные, довольно широкие тяжи. Тело споры округло-треугольное, несколько меньше периспория. Поверхность тела шагреневая. Щель разверзания тела споры трехлучевая, простая. Лучи щели равны радиусу тела споры.

Данная спора имеет сходство с карбоновой формой *Archaeozonotriletes literatus* (Waltz) Naum.

Распространение: верхи фаменского яруса.

Подгруппа *Stenozonotriletes* Naumova, 1937

405. *Stenozonotriletes conformis* Naum.

Табл. XIX, фиг. 12—14

Паратип. ИГН № 3450/3676.

Местонахождение: Орловская область, близ г. Мценска, лебедянская толща.

д = 0,030—0,050 мм. Цвет желтый.

Распространение: девон, карбон, пермь, мезозой.

406. *Stenozonotriletes pumilus* (Waltz) Naum.

Табл. XIX, фиг. 15

Местонахождение: Орловская область, близ г. Мценска, лебедянская толща.

д = 0,015—0,020 мм. Цвет желтый.

Распространение: девон, карбон.

407. *Stenozonotriletes simplex* Naum.

Табл. XIX, фиг. 16, 17

Паратип. ИГН № 3450/3676.

Местонахождение: Орловская область, близ г. Мценска, лебедянская толща.

д = 0,030—0,040 мм. Цвет желтый.

Распространение: девон, карбон, пермь, мезозой.

408. *Stenozonotriletes conspersus* Naum.

Табл. XIX, фиг. 18

Паратип. ИГН № 3450/3676.

Местонахождение: Орловская область, близ г. Мценска, лебедянская толща.

д = 0,030—0,035 мм. Цвет желтый.

Спора имеет треугольное очертание, с прямыми гранями. Экзина плотная, шагреневая. Оторочка узкая. Щель разверзания трехлучевая, несколько утолщенная. Лучи щели равны радиусу тела споры.

Распространение: фаменский ярус.

409. *Stenozonotriletes extensus* Naum. sp. n. var. *minor* Naum.

Табл. XIX, фиг. 19, 20

Паратип. ИГН № 3450/3676.

Местонахождение: Орловская область, близ г. Мценска, лебедянская толща.

д = 0,020—0,035 мм. Цвет желтый.

Распространение: средний и верхний девон, карбон.

410. *Stenozonotriletes definitus* Naum.

Табл. XIX, фиг. 21, 22

Па рат ип. ИГН № 3450/3676.

М есто на хождение: Орловская область, близ г. Мценска, лебедянская толща.

д = 0,040—0,050 мм. Цвет желтый.

Р аспространение: средний и верхний девон.

411. *Stenozonotriletes indivisus* Naum. sp. н.

Табл. XIX, фиг. 23

Г олот ип. ИГН № 3450/3676.

М есто на хождение: Орловская область, близ г. Мценска, лебедянская толща.

д = 0,055—0,065 мм. Цвет желтый.

Спора в очертании округлая. Экзина толстая, узко отороченная. Поверхность экзины шагреневая. Щель разверзания трехлучевая, с утолщенным краем. Лучи щели равны половине радиуса тела споры.

Р аспространение: верхи фаменского яруса.

412. *Stenozonotriletes cinctus* Naum. sp. н.

Табл. XIX, фиг. 24

Г олот ип. ИГН № 3450/3676.

М есто на хождение: Орловская область, близ г. Мценска, лебедянская толща.

д = 0,070—0,080 мм. Цвет темножелтый.

Очертание споры округлое. Экзина очень плотная, толстая, по краю узко отороченная. Отличка гладкая. Край оторочки неровный. Тело споры округлое, с округлыми ячейками. Щель разверзания трехлучевая, простая. Лучи щели равны радиусу тела споры.

Р аспространение: верхи фаменского яруса.

Подгруппа *Lophozonotriletes* Naumova gen. nov.

413. *Lophozonotriletes curvatus* Naum.

Табл. XIX, фиг. 25—30

Па рат ип. ИГН № 3450/3676.

М есто на хождение: Орловская область, близ г. Мценска, лебедянская толща.

д = 0,025—0,040 мм. Цвет желтый.

Спора имеет округло-треугольное или треугольное очертание. Экзина толстая, по краю имеет утолщение в виде узкой оторочки. Тело споры треугольное. Поверхность экзины покрыта редкими мелкими бугорками неправильной формы. Щель разверзания трехлучевая, простая. Лучи щели большей частью равны радиусу тела споры.

Р аспространение: фаменский ярус и верхи франского яруса.

414. *Lophozonotriletes grumosus* Naum. sp. n. var. *famenensis* Naum.
Табл. XIX, фиг. 31

Голотип. ИГН № 3450/3676.

Местонахождение: Орловская область, близ г. Мценска, лебедянская толща.

$d = 0,045-0,050$ мм. Цвет темно-желтый.

Данная форма тождественна одноименной споре из отложений франского яруса, от которой отличается менее ясно выраженным бугорками.

Распространение: фаменский ярус.

415. *Lophozonotriletes letedianensis* Naum.
Табл. XIX, фиг. 32—34

Паратип. ИГН № 3450/3676.

Местонахождение: Орловская область, близ г. Мценска, лебедянская толща.

$d = 0,040-0,075$ мм. Цвет темно-желтый.

Очертание споры округлое или округло-треугольное. Периспорий очень толстый, по краю узко отороченный. Тело споры округлое или округло-треугольное. Поверхность тела и оторочки споры покрыта редкими крупными бугорками неправильной формы. Щель разверзания трехлучевая, простая. Лучи щели почти равны радиусу тела споры.

Данная форма близка к *Lophotriletes torosus* Naum., широко распространенной в верхнефаменских отложениях, но отличается от нее неравномерно развитыми и менее ясно оформленными бугорками.

Распространение: фаменский ярус.

Глава VII

ХАРАКТЕРИСТИКА СПОРОВО-ПЫЛЬЦЕВЫХ КОМПЛЕКСОВ ВЕРХНЕГО ДЕВОНА РУССКОЙ ПЛАТФОРМЫ

Для того чтобы подчеркнуть разницу спорово-пыльцевого комплекса отложений, залегающих в основании верхнего девона, от комплекса подстилающих их среднедевонских отложений, начнем рассмотрение спор и пыльцы с последних, которые залегают в основании верхнетерригениной толщи с типичной среднедевонской фауной старооскольских слоев.

1. Спорово-пыльцевые комплексы верхов животского яруса среднего девона комплекс XV

Данный спорово-пыльцевой комплекс характерен для отложений, залегающих в основании верхнетерригениной толщи и соответствующих в Центральном девонском поле верхам старооскольских слоев, в Заволжье — березовской свите, а на северо-востоке — яранским слоям. Эти отложения, представленные серо-зелеными глинами и алевритами с прослойями светлых песков, отличаются большим содержанием спор исключительно группы *Triletes R.*

Споровый комплекс характеризуется развитием мелких спор, как без оторочки, так и с оторочкой, и плотным периспорием.

В основании этих отложений, в воробьевском горизонте, наблюдается преобладание спор без оторочки (до 50%) со значительной примесью мелких спор с узкой оторочкой. Споры с пленчатым периспорием единичны или вовсе отсутствуют (табл. XX).

Преобладают следующие виды спор:

- Leiotriletes laevis* Naum.
- Trachytriletes minor* Naum.
- Trachytriletes solidus* Naum.
- Lophotriletes simplex* Naum.
- Archaeozonotriletes pustulatus* Naum.
- Archaeozonotriletes extensus* Naum.
- Archaeozonotriletes pusillus* Naum.
- Hymenozonotriletes meonacanthus* Naum.

В верхней части этих глинистых отложений преобладающее значение приобретают споры с плотным периспорием подгруппы *Archaeozonotriletes* Naum.

Споры с пленчатым периспорием подгруппы *Hymenozonotriletes* Naum, присутствуют единично (табл. XX).

Преобладают следующие виды спор:

- Acanthotriletes spinosellus* Naum.
- Acanthotriletes usitatus* Naum.
- Acanthotriletes serratus* Naum.
- Lophotriletes minor* Naum.
- Lophotriletes simplex* Naum.
- Lophotriletes rugosus* Naum.
- Archaeozonotriletes venustus* Naum.
- Archaeozonotriletes extensus* Naum.
- Archaeozonotriletes vulgaris* Naum.
- Archaeozonotriletes singularis* Naum.
- Archaeozonotriletes pustulatus* Naum.
- Archaeozonotriletes basilaris* Naum.

Отложения с таким комплексом спор и пыльцы широко развиты на Русской платформе: в Предкарпатье, в центральных районах Калужской, Воронежской и Пензенской областей, в Заволжье (Байтуган, Туймазы, Красная Поляна), западном Предуралье (Краснокамск) и в районах северо-востока Русской платформы.

2. Спорово-пыльцевые комплексы франского яруса верхнего девона

КОМПЛЕКС XIV

Данный комплекс наблюдается в верхней части верхнетерригенної толщи нижнешигровских слоев, сложенной пестроцветными глинами, и соответствующей пестроцветной свите северо-востока и пашинской свите Заволжья. Остатки фауны редки.

Эти отложения, так же как и нижележащие, содержат много спор. Споры отличаются значительными размерами, большая часть их имеет потемневшую экзину и периспорий, что указывает на то, что споры подверглись процессу выветривания и окисления.

Комплекс состоит исключительно из спор группы *Triletes* R., среди которых преобладают крупные формы с толстым и мелкобородавчатым периспорием подгруппы *Archaeozonotriletes* Naum.

Споры с пленчатым периспорием встречаются в незначительном количестве.

Мало развиты споры без оторочки. Среди последних особенно распространены споры подгруппы *Trachytriletes* Naum. и *Lophotriletes* Naum.

Намечаются некоторые отличия в споровом составе нижней и верхней части пестроцветных отложений (табл. XX).

В нижней части преобладают следующие виды спор:

Lophotriletes rugosus Naum.

Archaeozonotriletes micromanifestus Naum.

Archaeozonotriletes macromanifestus Naum.

Archaeozonotriletes rugosus Naum.

Archaeozonotriletes basilaris Naum.

Hymenozonotriletes incisus Naum.

Отложения с подобным комплексом довольно широко развиты на Русской платформе.

В верхней части пестроцветных отложений наблюдается резкое уменьшение *Archaeozonotriletes macromanifestus* Naum., а также *Archaeozonotriletes micromanifestus* Naum. В то же время здесь начинают играть значительную роль: *Stenozonotriletes definitus* Naum., *Acanthotriletes excisus* Naum., *Archaeozonotriletes primarius* Naum., *Archaeozonotriletes semilucensis* Naum., *Hymenozonotriletes Tichomirovii* Naum.

Комплекс в верхней части пестроцветных отложений отличается большим разнообразием видов спор, чем в нижней части. Это разнообразие объясняется частью за счет развития некоторых форм, которые единично встречались и в нижней части, частью же за счет появления новых форм, которые в дальнейшем приобретают широкое развитие (табл. XX и XXI).

В комплексе преобладают следующие виды спор и пыльцы:

Trachytriletes acutangulus Naum.

Lophotriletes minor Naum.

Stenozonotriletes definitus Naum.

Stenozonotriletes simplex Naum.

Archaeozonotriletes rugosus Naum.

Archaeozonotriletes micromanifestus Naum.

Archaeozonotriletes perlatus Naum.

Archaeozonotriletes basilaris Naum.

Archaeozonotriletes semilucensis Naum.

Lophozonotriletes excisus Naum.

Описанный комплекс обнаружен нами в отложениях нижнешигровских слоев в различных районах Русской платформы — в Пензенской и Калужской областях, в яблоновской свите Заволжья и в пестроцветной толще на северо-востоке Русской платформы.

КОМПЛЕКС XIII

Этот комплекс обнаружен в средней части щигровских слоев в отложениях, залегающих трансгрессивно на пестроцветных слоях. Отложения слагаются доломитами, известняками и мергелями и соответствуют псковско-чудовским отложениям на Главном девонском поле, устьярекской свите на северо-востоке и шугуровской свите на востоке. Образование этих отложений происходило в период максимальной трансгрессии, существовавшей в девоне, когда рельеф был снивелирован и эрозионные процессы ослаблены.

Комплекс спор очень однообразен и резко отличается от других комплексов преобладанием мелких спор гидрофильных растений с округлыми очертаниями, тонкой экзиной, простой скульптурой, со складками смятия, принадлежащих к следующим подгруппам: *Leiotriletes* Naum., *Trachytriletes* Naum., *Acanthotriletes* Naum. (до 30%).

Единично встречающиеся крупные формы спор большей частью имеют неясные очертания, что указывает на их переотложение (рис. 7).

Таким образом, морфологический характер спор этих отложений указывает на очень влажные условия, способствовавшие развитию гидрофильных растений.

В комплексе преобладают следующие виды спор:

- Leiotriletes minutissimus* Naum.
- Trachytriletes solidus* Naum.
- Lophotriletes rugosus* Naum.
- Acanthotriletes acerosus* Naum.
- Archaeozonotriletes Nalichkinii* Naum.
- Perisaccus verruculatus* Naum.

Отложения с вышеописанным комплексом распространены на востоке Русской платформы, а именно: в Пензенской области (Мосолово), в шугуровской свите Куйбышевской области и устьярской свите северо-востока Русской платформы.

КОМПЛЕКС XII

Данный комплекс спор и пыльцы распространен в вышележащих отложениях, которые подстилают рудкинские слои в с. Хворостань, в 30 км от с. Рудкино, и имеют сходство с комплексом доманиковой свиты на северо-востоке Русской платформы.

Комплекс состоит как из спор папоротникообразных, так и из пыльцы голосеменных типа кордантов, в особенности развитых на северо-востоке платформы.

Споры представлены преимущественно группой *Triletes* R., в которой особенно развиты формы подгруппы *Trachytriletes* Naum., *Leiotriletes* Naum., *Acanthotriletes* Naum. (табл. XX).

В комплексе преобладают следующие виды спор:

- Leiotriletes laevis* Naum.
- Acanthotriletes uncatus* Naum.
- Acanthotriletes crenatus* Naum.
- Retusotriletes communis* Naum.
- Hymenozonotriletes deliquesens* Naum.
- Hymenozonotriletes domanicus* Naum.
- Hymenozonotriletes bellus* Naum.
- Camarozonotriletes obtusus* Naum.

Этот комплекс в Центральном девонском поле отличается почти полным отсутствием пыльцы кордантов.

КОМПЛЕКС XI

Комплекс спор и пыльцы характерен для рудкинского горизонта, залегающего в основании семилукских слоев, в обнажении близ с. Рудкино в Воронежской области.

Спорово-пыльцевой комплекс отличается развитием спор без оторочки, преимущественно очень мелких, с простой скульптурой (58%), среди которых преобладают мятые, гладкие споры. Крупные споры с толстым и плоским периспорием встречаются единично.

Характерным для комплекса является развитие споры *Camarozonotriletes obtusus* Naum. (табл. XX).

В комплексе преобладают следующие виды спор и пыльцы:

- Leiotriletes minutissimus* Naum.
- Leiotriletes laevis* Naum.
- Trachytriletes solidus* Naum.

- Trachytriletes minor* Naum.
Lophotriletes normalis Naum.
Acanthotriletes dentatus Naum.
Stenozonotriletes simplex Naum.
Hymenozonotriletes speciosus Naum.
Camarozonotriletes obtusus Naum.

Комплекс характерен для отложений начала трансгрессии, имеет много общего с комплексом спор и пыльцы псковско-чудовских отложений и пока в других районах Русской платформы не обнаружен.

КОМПЛЕКС X

Настоящий комплекс распространен в семилукских слоях близ с. Петино, сложенных глинистыми известняками, в которых наблюдается разнообразная и обильная фауна.

Комплекс спор и пыльцы отличен от комплекса рудкинских слоев и состоит преимущественно из спор группы *Triletes R.* типа папоротникообразных с незначительным количеством пыльцы кордантов.

Комплекс характеризуется развитием мелких, мятых форм подгруппы *Leiotriletes* Naum. и *Acanthotriletes* Naum., а также погруппы *Archaeozonotriletes* Naum. Емкость с тем широко развиты споры подгруппы *Archaeozonotriletes* и *Hymenozonotriletes* (табл. XX).

В комплексе преобладают следующие виды спор и пыльцы:

- Leiotriletes minutissimus* Naum.
Trachytriletes solidus Naum.
Acanthotriletes acerosus Naum.
Acanthotriletes incompletus Naum.
Retusotriletes semilucensis Naum.
Retusotriletes domanicus Naum.
Archaeozonotriletes Nalivkinii Naum.
Archaeozonotriletes semilucensis Naum.
Archaeozonotriletes basilaris Naum.
Hymenozonotriletes laciniosus Naum.
Stenozonotriletes definitus Naum.
Stenozonotriletes simplex Naum.
Lophozonotriletes excisus Naum.

Описанный комплекс имеет сходство с комплексом лыжельской свиты северо-востока Русской платформы, где преобладающее значение имеет *Retusotriletes domanicus* Naum.—вид, близкий к *Retus. semilucensis* Naum. Кроме того, пыльца кордантов преобладает в значительно большем количестве, чем в Центральном девонском поле.

Аналогичный комплекс был нами обнаружен в семилукских слоях в Пензенской и Воронежской областях.

КОМПЛЕКС IX

Данный комплекс характерен для самой верхней части семилукских слоев, повидимому, отвечающей началу регрессии, предшествующей петинскому времени. Спорово-пыльцевой комплекс значительно отличается от комплекса нижележащих отложений и принимает облик, близкий к петинскому. Комплекс состоит из крупных спор группы *Triletes R.* типа *Bryophyta* и *Pteridophyta*, а также пыльцы голосеменных.

Преобладающее значение в комплексе имеет пыльца голосеменных подгруппы *Archaeoperisaccus* Naum., широко развитая в петинских слоях, а также споры подгруппы *Archaeozonotriletes* Naum., широко распространенные в нижележащих семилукских отложениях.

Пыльца кордантов исчезает.

Таким образом, верхняя часть семилукских отложений имеет комплекс спор и пыльцы смешанного характера, где преобладающее значение приобретают как среднесемилукские формы, так и петинские (табл. XX).

Преобладают следующие формы спор и пыльцы:

- Leiotriletes minutissimus* Naum.
Trachytriletes minor Naum.
Trachytriletes solidus Naum.
Archaeozonotriletes semilucensis Naum.
Stenozonotriletes Nalivkinii Naum.
Stenozonotriletes definitus Naum.
Archaeoperisaccus elongatus Naum.
Archaeoperisaccus Menneri Naum.
Archaeoperisaccus concinnus Naum.
Archaeoperisaccus completus Naum.
Archaeoperisaccus mirandus Naum.
Lophozonotriletes crassatus Naum.

Аналогичный комплекс был описан автором из нижне- и верхневерховских слоев и ветласянской свиты северо-востока Русской платформы, в которых преобладающее значение имеют также *Archaeoperisaccus* Naum. и *Archaeozonotriletes* Naum., но которые отличаются большим разнообразием, а также развитием плеичатых крупных форм *Hymenozonotriletes tellus* Naum. и *Hymenozonotriletes speciosus* Naum. Последние являются вообще преобладающими для вышележащих франских слоев северо-востока Русской платформы.

КОМПЛЕКС VIII

Данный спорово-пыльцевой комплекс распространен в петинских слоях, хорошо представленных в Воронежской области близ. с. Петино. Эти слои слагаются буроватыми песчаниками и глинами и углистыми аргиллитами мощностью 5 м, которые относят к горючим сланцам. Петинская фауна очень бедна и представлена остракодами, лингулами и рыбами. Эта фауна, а также встреченные в этих отложениях многочисленные остатки флоры указывают на лагунно-континентальный характер самих слоев.

Произведенное нами в 1940 г. петрографическое исследование горючего сланца, собранного А. А. Дубянским из петинских слоев близ с. Петино, показало следующее.

При исследовании под микроскопом выяснено, что горючий сланец представлен углистым аргиллитом серовато-черного цвета, в вертикальном изломе тонкослоистым и тонкоштриховатым от включения блестящих витреновых штрихов и полосок.

Микроскопическое исследование углистого аргиллита показало, что он состоит из желто-бурых гумусово-глинистых бесструктурной основной массы и растительного детритуса. В детритусе наблюдаются измельченные гелифицированные фрагменты и стеблевые ткани, а также оболочки макро- и микроспор. Единично встречаются обрывки фасенизированных тканей с хорошо выраженным клеточным строением.

Оболочки спор преобладают среди форменных элементов. Они темно-оранжевого цвета и обычно залегают либо рассеянно, либо в виде скоплений (рис. 8).

Среди детритуса наблюдаются относительно крупные, мало прозрачные, гелифицированные стеблевые элементы с характерными для витрена вертикальными трещинами. Кроме того, единично встречаются водоросли типа *Pila*.

Из минеральных включений в значительном количестве примешана к основной массе каолиновая глина желтого цвета. Часто она включена в виде линз и полосок. Зерна пирита и кварца встречаются единично.

На основании петрографического изучения можно сделать следующее заключение.

Значительная примесь остатков наземных растений (стеблевые ткани, споры и т. п.) и полное отсутствие морской фауны побуждают считать эти отложения не горючими сланцами, а просто углистыми аргиллитами в одних случаях, лигнобиолитом — в других. Образование первых происходило, повидимому, в озерных условиях путем осаждения тонкоотмученного кластического материала одновременно с растительным детритусом, поступавшим с берегов.

Наиболее частые темнокоричневые разновидности петинских отложений представляют собой споровый лигнобиолит, образовавшийся в относительно сухих условиях, в результате разложения растительных тканей и скопления наиболее устойчивых против разрушения остатков оболочек как макро-, так и микроспор.

Спорово-пыльцевой анализ петинских слоев показал высокое содержание крупных спор и пыльцы (рис. 8). Комплекс состоит из спор группы *Triletes* R. типа *Pteridophyta* и *Bryophyta* и пыльцы типа *Gymnospermae*. В комплексе резко преобладают споры подгруппы *Lophozonotriletes* Naum. и *Stenozonotriletes* Naum. типа папоротникообразных и подгруппы *Archaeoperisaccus* Naum. типа близких к хвойным. В некоторых образцах значительное участие принимают пленчатые споры подгруппы *Hymenozonotriletes* Naum. (табл. XX).

В комплексе преобладают следующие виды спор и пыльцы:

- Stenozonotriletes definitus* Naum.
- Stenozonotriletes simplex* Naum.
- Lophozonotriletes torosus* Naum.
- Hymenozonotriletes speciosus* Naum.
- Hymenozonotriletes dilectus* Naum.
- Hymenozonotriletes platyrugosus* Naum.
- Archaeoperisaccus elongatus* Naum.
- Archaeoperisaccus concinnus* Naum.
- Archaeoperisaccus mirandus* Naum.
- Archaeoperisaccus Menneri* Naum.
- Archaeoperisaccus minor* Naum.
- Archaeoperisaccus mirus* Naum.

Аналогичный комплекс спор и пыльцы был нами обнаружен в петинских отложениях Пензенской, Калужской и Воронежской областей.

КОМПЛЕКС VII

Настоящий спорово-пыльцевой комплекс был обнаружен в воронежских слоях Воронежской области близ с. Петино, мощностью 15—30 м; слои залегают трансгрессивно на петинских слоях.

Отличительной чертой воронежских слоев является частая смена пород (мергелей, глин, песков, песчаников). По литологическому составу воронежские слои, по В. Н. Крестовникову, могут быть разделены на ряд комплексов.

Нижняя часть воронежских слоев, хорошо представленная на р. Ведуге, представляет собой отложения моря в период его трансгрессии; верхняя часть отложений с размывом, лежащая на нижних отложениях, соответствует времени окончания трансгрессии моря, сопровождавшейся

незначительной регрессией в конце осадконакопления, с образованием коры выщеривания.

Фауна воронежских слоев значительно беднее и однообразнее, чем фауна семилукских слоев. При этом фауна воронежских и семилукских слоев резко различна и почти не имеет общих видов. В воронежских слоях появляется группа спирифер *Theodosia* Nal.

Спорово-пыльцевой состав изучен нами с р. Ведуги и близ с. Петино. Видовой состав спор и пыльцы нижней и верхней частей воронежских слоев разнообразен и характеризуется следующими особенностями.

Комплекс состоит из спор группы *Triletes* R. типа Pteridophyta и Bryophyta и пыльцы Gymnospermae. В комплексе преобладают формы подгруппы *Leiotriletes* Naum., *Trachytriletes* Naum., *Archaeozonotriletes* Naum., *Hymenozonotriletes* Naum., *Stenozonotriletes* Naum. и пыльцы подгруппы *Archaeoperisaccus* Naum.

Комплекс спор и пыльцы воронежских слоев отличается большим разнообразием видов спор с бугорчатым периспорием подгруппы *Lophozonotriletes* Naum., а также пыльцы гимнospермов.

Пленчатые споры представлены небольшими формами, как *Hymenozonotriletes imperfectus* Naum. и *Hymenozonotriletes angulatus* Naum.

Видовой состав нижних и верхних воронежских слоев одинаков, но количественное участие отдельных видов неодинаковое.

В нижней части воронежских слоев с р. Ведуги наблюдается резкое преобладание спор подгруппы *Archaeozonotriletes* Naum. (30%), при значительном участии гладких (10%) и шагреневых (5%) спор, что характерно для семилукских слоев. В то же время бугорчатых спор подгруппы *Lophozonotriletes* (1%) и *Hymenozonotriletes* Naum. значительно меньше, чем в верхней части воронежских слоев.

В комплексе преобладают следующие виды спор и пыльцы:

- Leiotriletes minutissimus* Naum.
- Trachytriletes semilucensis* Naum.
- Archaeozonotriletes semilucensis* Naum.
- Archaeozonotriletes Nalichinii* Naum.
- Lophozonotriletes gramosus* Naum.
- Lophozonotriletes torosus* Naum.
- Lophozonotriletes mirandus* Naum.
- Lophozonotriletes Menneri* Naum.

В верхней части воронежских слоев количество спор подгруппы *Archaeozonotriletes* Naum. резко снижается (5%), так же как и количество пыльцы Gymnospermae (10—15%). В то же время участие бугорчатых спор подгруппы *Lophozonotriletes* Naum. (25%) и пленчатых спор подгруппы *Hymenozonotriletes* Naum. (10%) резко увеличивается (табл. XX).

Преобладают следующие виды спор и пыльцы:

- Hymenozonotriletes dilectus* Naum.
- Hymenozonotriletes angulatus* Naum.
- Hymenozonotriletes platyrugosus* Naum.
- Archaeozonotriletes basilaris* Naum.
- Lophozonotriletes gramosus* Naum.
- Lophozonotriletes tylophosus* Naum.
- Archaeoperisaccus Menneri* Naum.
- Archaeoperisaccus mirandus* Naum.
- Archaeoperisaccus concinnus* Naum.

Такое сочетание преобладающих видов спор и пыльцы нижних и верхних воронежских слоев указывает на развитие более гидрофильных растений в нижних слоях, обусловленное трансгрессией, и меньшее их участие в верхних, в связи с наступлением регрессии моря.

Поэтому некоторые виды, как *Archaeozonotriletes semilucensis* Naum. и *Archaeozonotriletes Nalivkinii* Naum., преобладающее значение имеют в нижних слоях, палеография которых ближе к семилукским, чем к петинским слоям.

Комплекс спор и пыльцы воронежских слоев нами был обнаружен в отложениях Воронежской, Калининской, Пензенской областей и на северо-востоке Русской платформы в березовской и сирачайской свитах, где аналогичный комплекс отличается значительным развитием пленчатых крупных спор, как, например, *Hymenozonotriletes speciosus* Naum. и *Hymenozonotriletes deliquesens* Naum.

КОМПЛЕКС VI

Данный спорово-пыльцевой комплекс характерен для евлановских слоев, которые хорошо выражены в обнажениях бассейна р. Дона, в районах Русский Брод и г. Ливны, откуда нами был изучен спорово-пыльцевой состав.

Евлановские слои мощностью 15—40 м состоят преимущественно из переслаивания известняков и мергельных глин с включением брахиопод рода *Theodossia*. Отложения евлановских слоев соответствуют времени трансгрессии.

Б. М. Марковский выделил верхнюю часть евлановских слоев под названием ливенские слои, отличающиеся развитием коралловых известняков; отсюда нами был изучен особо спорово-пыльцевой состав.

Анализ спор и пыльцы евлановских слоев из района г. Ливны и Русский Брод показал большое разнообразие и обилие большей частью некрупных форм.

Спорово-пыльцевой комплекс евлановских слоев состоит преимущественно из спор группы *Triletes* R. типа *Pteridophyta* и *Bryophyta*.

Пыльца подгруппы *Archaeoperisaccus* Naum. отсутствует.

В комплексе преобладают споры подгруппы *Trachytriletes* Naum., *Acanthotriletes* Naum., *Retusotriletes* Naum., а также мелкие формы *Archaeozonotriletes* Naum. и *Hymenozonotriletes* Naum.

Комплекс обогащается новыми видами, как *Archaeozonotriletes polymorphus* Naum. Резко снижается участие спор *Lophozonotriletes torosus* Naum. и *Lophozonotriletes grumosus* Naum. Широкое развитие приобретают пленчатые споры подгруппы *Hymenozonotriletes* Naum., представленные большей частью теми же видами, что и в воронежских слоях (табл. XX).

В комплексе преобладают следующие виды спор и пыльцы:

- Trachytriletes solidus* Naum.
- Acanthotriletes perspicuus* Naum.
- Archaeozonotriletes polymorphus* Naum.
- Retusotriletes communis* Naum.
- Hymenozonotriletes dilectus* Naum.
- Hymenozonotriletes imperfectus* Naum.
- Hymenozonotriletes evanensis* Naum.
- Hymenozonotriletes tenellus* Naum.
- Lophozonotriletes grumosus* Naum.
- Lophozonotriletes curvatus* Naum.

Значительная примесь мелких мятых спор подгруппы *Trachytriletes* Naum. и *Acanthotriletes* Naum. свидетельствует о развитии гидрофильных растений, подобно тому как и в других слоях франского яруса, соответствующих периодам трансгрессий. Аналогичный комплекс был обнаружен в отложениях Кировской области.

КОМПЛЕКС V

Настоящий комплекс спор и пыльцы характерен для отложений ливенских слоев, залегающих непосредственно на евлановских слоях.

Комплекс отличается большим развитием спор с плечатым периспорием подгруппы *Hymenozonotriletes* Naum. Бугорчатые формы подгруппы *Archaeozonotriletes* Naum. встречаются единично; почти исчезают и формы подгруппы *Archaeogonotriletes* Naum., широко развитые в нижележащих слоях (табл. XX). Пыльца голосеменных вовсе отсутствует.

В комплексе преобладают следующие виды спор:

- Lophotriletes livensis* Naum.
Archaeozonotriletes strangulatus Naum.
Lophozonotriletes excisus Naum.
Hymenozonotriletes speciosus Naum.
Hymenozonotriletes platyrugosus Naum.
Hymenozonotriletes eolanensis Naum.
Hymenozonotriletes livensis Naum.
Hymenozonotriletes dilectus Naum.
Stenozonotriletes simplex Naum.
Lophozonotriletes grumosus Naum.

Приведенный комплекс обнаружен нами в отложениях района Котельнича и в Калужской области.

3. Споро-пыльцевые комплексы фаменского яруса верхнего девона

КОМПЛЕКС IV

Данный комплекс спор и пыльцы характерен для задонских слоев, залегающих в основании елецкого яруса. Задонские слои слагаются известняками, мергелями и зеленоватыми глинами; общая мощность их 12—15 м.

Характерной чертой задонских слоев, так же как и воронежских, является быстрая смена пород, причем сопровождающая их фауна многочисленна и разнообразна. Особенно развиты пелициподы, по числу видов и особенно превосходящие брахиоподы.

Споро-пыльцевой состав был изучен нами в образцах из района Русский Брод Орловской области. Общее содержание спор в задонских слоях небольшое, но сохранность их хорошая.

Комплекс представлен большей частью мелкими спорами, исключительно группы *Triletes* R. типа *Pteridophyta* и *Bryophyta*. Пыльца гимнospермов не обнаружена.

В комплексе преобладают споры подгруппы *Trachytriletes* Naum., *Lophotriletes* Naum., *Acanthotriletes* Naum., *Retusotriletes* Naum., *Stenozonotriletes* Naum., тогда как споры подгруппы *Hymenozonotriletes* Naum. и *Archaeozonotriletes* Naum. единичны и небольшого размера.

Комплекс имеет много общих видов с комплексом нижележащих (евланово-ливенских) слоев, но сходные формы большей частью меньшего размера в задонских слоях.

В комплексе преобладают следующие виды спор и пыльцы:

- Trachytriletes solidus* Naum.
Acanthotriletes areolatus Naum.
Lophotriletes minor Naum.
Retusotriletes communis Naum.
Hymenozonotriletes rugilobus Naum.
Hymenozonotriletes zadonicus Naum.
Hymenozonotriletes livensis Naum.
Stenozonotriletes conformis Naum.

Подобный комплекс спор характерен для задонских слоев Центрального девонского поля и распространен в отложениях в Калининской и Воронежской областях.

КОМПЛЕКС III

Данный спорово-пыльцевой комплекс характерен для елецких слоев, которые представляют собою чередование мергелистых известняков и мергелей общей мощностью 20—60 м. Как известно, елецкая фауна значительно отличается от задонской по составу брахиопод и других групп (Наливкин, 1947).

Спорово-пыльцевой комплекс был изучен нами из аграмачской толщи, залегающей в верхней части елецких слоев, близ г. Елец. Комплекс состоит исключительно из спор группы *Triletes* Naum. Пыльца отсутствует. В комплексе преобладающее значение имеют споры без оторочки (45%), большей частью со складками смятия, принадлежащие к подгруппам *Leiotriletes* Naum., *Trachytriletes* Naum., *Lophotriletes* Naum. В то же время широко развиты споры с оторочкой (51%), в особенности споры с узкой оторочкой — *Stenozonotriletes* Naum. и *Archaeozonotriletes* Naum.

Споры подгруппы *Hymenozonotriletes* Naum. мало развиты и представлены мелкими формами.

Комплекс имеет много общих и близких видов с комплексом франского яруса, но эти виды отличаются меньшими размерами и недоразвитыми морфологическими признаками.

В то же время комплекс елецкого яруса обогащается новыми, отличными от франского яруса, видами, как *Archaeozonotriletes famenensis* Naum. и *Stenozonotriletes famenensis* Naum., которые вместе с тем являются преобладающими спорами для данных слоев.

В комплексе преобладают следующие виды спор:

- Leiotriletes minutissimus* Naum.
- Trachytriletes solidus* Naum.
- Lophotriletes minor* Naum.
- Archaeozonotriletes famenensis* Naum.
- Lophotriletes curvatus* Naum.
- Hymenozonotriletes rugosus* Naum.
- Hymenozonotriletes livensis* Naum.

Значительное участие в комплексе гладких мятых форм без оторочки указывает на существование значительных влажных условий, что является характерным для периода трансгрессий.

Аналогичный комплекс спор был обнаружен нами в елецких отложениях Сталинградской области.

КОМПЛЕКС II

Настоящий комплекс спор и пыльцы характерен для данико-лебедянской свиты. Последняя слагается в основном доломитами, иногда мергелями, тонкими прослойками глины и песков; общая мощность до 100 м.

Фауна очень редкая и встречается преимущественно в нижней части свиты. Верхние горизонты в фаунистическом отношении немые, так как представлены химическими осадками.

По своему составу фауна нижних горизонтов представляет собой обедневшую и несколько изменившуюся елецкую.

Спорово-пыльцевой анализ был произведен нами для лебедянской толщи района г. Мценска, Орловской области; мощность толщи достигает 14 м.

Комплекс лебедянской свиты состоит исключительно из спор группы *Triletes* R.; пыльца отсутствует. Среди спор преобладающее значение имеют формы подгруппы *Stenozonotriletes* Naum. и *Archaeozonotriletes* Naum. Последние представлены незначительным количеством видов спор, характерных уже для нижнего карбона, например *Archaeozonotriletes dedaleus* Naum.

Широко развитые во франском ярусе пленчатые споры здесь встречаются в незначительном количестве и представлены измельченными формами.

В комплексе преобладают следующие виды спор:

- Leiotriletes microrugosus* Naum.
- Retusotriletes communis* Naum.
- Archaeozonotriletes dedaleus* Naum.
- Archaeozonotriletes devonicus* Naum.
- Hymenozonotriletes hyalinus* Naum.
- Hymenozonotriletes mirandus* Naum.
- Stenozonotriletes minutissimus* Naum.
- Stenozonotriletes minor* Naum.
- Lophozonotriletes conformis* Naum.
- Lophozonotriletes curvatus* Naum.
- Lophozonotriletes lebedianensis* Naum.

Данный комплекс резко отличается от комплекса елецкого яруса появлением нижнекарбоновых форм, как, например, *Archaeozonotriletes dedaleus* Naum. Эта форма очень близка к *Archaeozonotriletes sultcatus* Naum., которая широко развита в отложениях нижнего карбона Русской платформы.

Указанный комплекс распространен в данково-лебедянских отложениях Калужской и Воронежской областей.

КОМПЛЕКС I

Данный комплекс спор и пыльцы характерен для озерско-хованских слоев, залегающих в верхах данково-лебедянской свиты, общей мощностью до 15 м. Споровый состав был нами изучен на образцах из Кировской области (Солигалич и Сундыры).

Комплекс состоит исключительно из мелких спор группы *Triletes* R. типа *Pteridophyta* и *Bryophyta*. Пыльца гимnosпермов отсутствует. Преобладающее значение в комплексе имеют мелкие, мятые споры без оторочки (до 70%), представленные подгруппами *Leiotriletes* Naum. и *Trachytriletes* Naum. В видовом отношении они очень однообразны (2–4 вида).

Споры с оторочкой более разнообразны, но встречаются единично; среди них уже много видов, близких к нижнекарбоновым (*Stenozonotriletes pustulatus* Naum.).

Таким образом, комплекс озерско-хованских слоев резко отличается от комплексов лебедянской толщи преобладанием особых видов спор, развитых в турнейском ярусе нижнего карбона.

В комплексе преобладают следующие виды спор:

- Leiotriletes minutissimus* Naum.
- Trachytriletes solidus* Naum.
- Lophotriletes minor* Naum.
- Lophotriletes rugosus* Naum.
- Hymenozonotriletes varius* Naum.
- Hymenozonotriletes hyalinus* Naum.
- Stenozonotriletes pustulatus* Naum.
- Stenozonotriletes pumilus* Naum.

Преобладание в комплексе мелких мятых форм гидрофильных растений свидетельствует о существовании влажных условий.

Аналогичный комплекс был обнаружен в озерско-хованских отложениях Воронежской и Калужской областей.

Глава VIII

ТИПЫ СПОРОВО-ПЫЛЬЦЕВЫХ КОМПЛЕКСОВ

Нами установлены две группы споро-пыльцевых комплексов: 1) эколого-морфологическая и 2) ландшафтно-фитоценологическая.

Как известно, видовой состав погребенных комплексов спор и пыльцы обусловлен ландшафтом, т. с. общерегиональными физико-географическими условиями, в которых развивались различные фитоценозы.

Однако в пределах одного ландшафта, в зависимости от типа накопления осадков, следовательно, от типа погребения спор и пыльцы, наблюдаются следующие споро-пыльцевые комплексы: 1) автохтонные и 2) аллохтонные.

1. А *вт*охтонные споро-пыльцевые комплексы характерны для автохтонных отложений, образование которых происходило на месте произрастания данного фитоценоза (ископаемые почвы, автохтонные торфа и угли и др.). Споро-пыльцевые комплексы автохтонных отложений отражают локально-экологические фитоценозы, отличающиеся незначительным видовым разнообразием и очень ограниченным количеством руководящих доминантов спор и пыльцы (2—3 вида), но высоким процентным содержанием (30—50%) (петипские слои).

2. А *ллохтонные* споро-пыльцевые комплексы характерны для аллохтонных отложений, в которых споры и пыльца принесены из других мест. Подобные комплексы могут характеризовать растительность очень значительной территории, в зависимости от величины того бассейна, откуда поступали воды. Комплексы отличаются большим разнообразием видового состава, а также значительным количеством руководящих видов — доминант спор и пыльцы (5—6 видов) (воронежские слои).

Аллохтонные споро-пыльцевые комплексы бывают: а) синхронными, или нормальными, и б) гетерохронными, или смешанными.

Синхронные, или нормальные, комплексы состоят большей частью из хорошо сохранившихся спор и пыльцы, синхронных тем отложениям, откуда они были извлечены.

Такого типа комплексы пользуются наиболее широким распространением и особенно важны для стратиграфических выводов. Большая часть отложений характеризуется присутствием именно этого типа комплексов.

Гетерохронные, или смешанные, комплексы отличаются наличием, помимо синхронных, также и переотложенных спор и пыльцы из нижележащих горизонтов. Последние в большинстве случаев имеют плохую сохранность, выраженную в нечеткости скульптурных признаков, что затрудняет их определение. Лишь иногда споры с толстым периспорием или экзиной хорошо сохраняются при переотложении; стратиграфическое же значение в таких случаях имеют только синхронные споры, относительно лучше сохранившиеся.

Комплексы этого типа встречаются редко и характерны для переотложенных осадочных пород.

1. ЭКОЛОГО-МОРФОЛОГИЧЕСКИЕ СПОРОВО-ПЫЛЬЦЕВЫЕ КОМПЛЕКСЫ

Накопившийся за последнее время небольшой сравнительный материал по морфологии спор и пыльцы современных и ископаемых растений, как личинный, так и по литературным данным, дает возможность сделать следующие заключения по эколого-морфологическим признакам спор и пыльцы девона.

1. Споры, большей частью мелкие, с тонкой, нежной экзиной, со складками смятия и простой скульптурой, принадлежат гидрофильным, водяным и прибрежно-водным растениям. К ним относятся гладкие, шагреневые, шиповатые, бугорчатые споры типа: *Psilophytales*, *Calamariales*, *Marattiales*, *Hymenophyllaceae*.

Как известно, водяные папоротники принадлежат к гетероспоровым растениям, поэтому совместно с указанными микроспорами встречаются крупные мегаспоры, характеризующиеся рыхлым, зернистым периспорием и подобные спорам современных водяных папоротников *Marsiliaceae*, *Salviniaeae*.

2. Споры с плотной экзиной и с тонким или толстым периспорием со сложной скульптурой характерны для наземных растений, например для спор древовидных папоротников типа *Alsophila*, пыльцы птеридоспермов и т. д.

На основании вышесказанного нами выделены следующие эколого-морфологические типы споро-пыльцевых комплексов, которые характерны для различных фациальных осадков девона.

1. Комплекс с преобладанием спор и пыльцы водных и полуводных растений, который обычно сопровождает осадки начала обширных трансгрессий, подобно псковской, когда условия, повидимому, повсеместно изменились в сторону большей влажности.

Вышеуказанный комплекс имеет следующие эколого-морфологические особенности. Преобладают преимущественно мелкие, с тонкой экзиной, мятые споры с простой скульптурой и крупные мегаспоры с рыхлым периспорием типа *Azolla*. Единично встречающиеся споры с плотным периспорием или экзиной в этих отложениях принадлежат, повидимому, перенесенным формам, так как скульптура их плохо выражена (рис. 7, фиг. 2).

2. Комплекс с преобладанием спор и пыльцы как гидрофильных, так и наземных растений, который более распространен в лагунно-морских осадках, подобно воронежским и др.

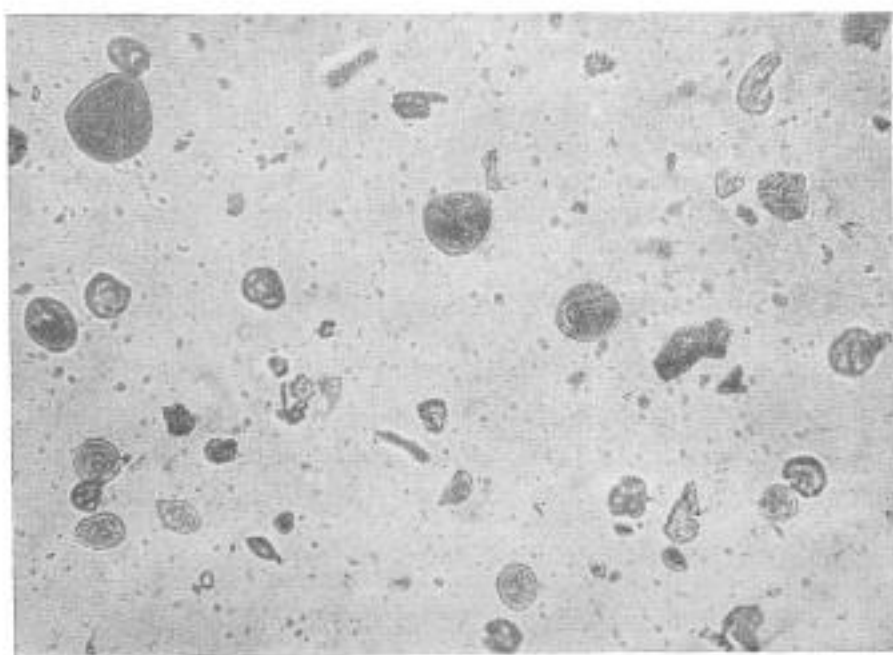
Комплекс отличается развитием мелких мятых форм гидрофильных растений со значительной примесью спор и пыльцы с плотной экзиной и периспорием (рис. 7, фиг. 1).

3. Комплекс с преобладанием спор и пыльцы растений, который обычно сопровождает лагунно-континентальные отложения и типичен для регressiveных серий, как, например, петинские слои, доманиковая свита и др.

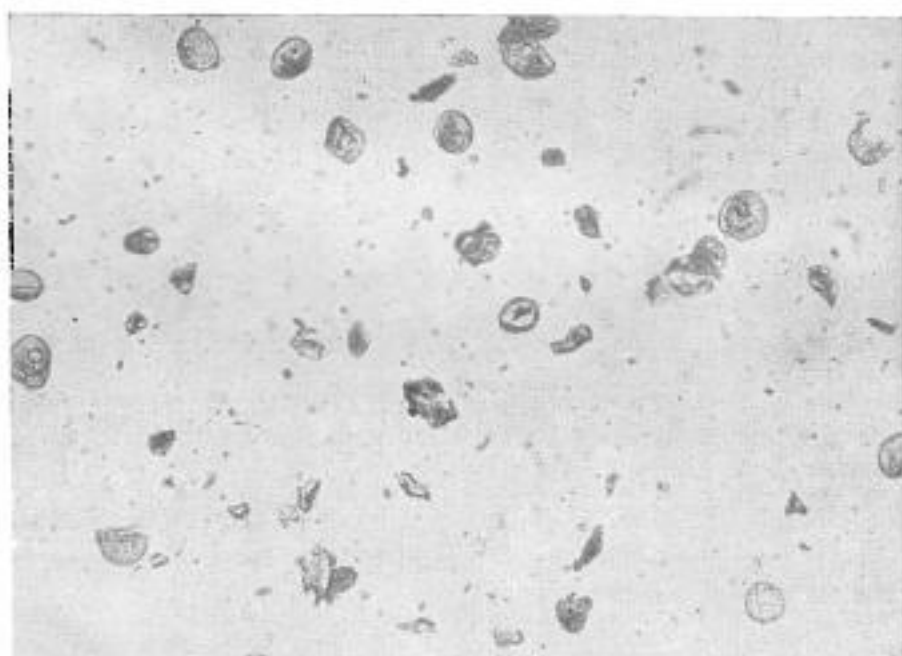
Комплекс спор и пыльцы резко выделяется преобладанием спор с плотной экзиной и периспорием и часто сложной скульптурой, а также развитием пыльцы голосеменных типа кордантов (рис. 8, фиг. 1 и 2).

Эколого-морфологические комплексы спор и пыльцы осадков больших трансгрессий, отображающие палеографические особенности, могут повторяться в связи с появлением аналогичных условий во времени, поэтому они не могут служить основанием для стратиграфии.

Основанием же для стратиграфии могут служить только ландшафтно-фитоценологические комплексы.



1

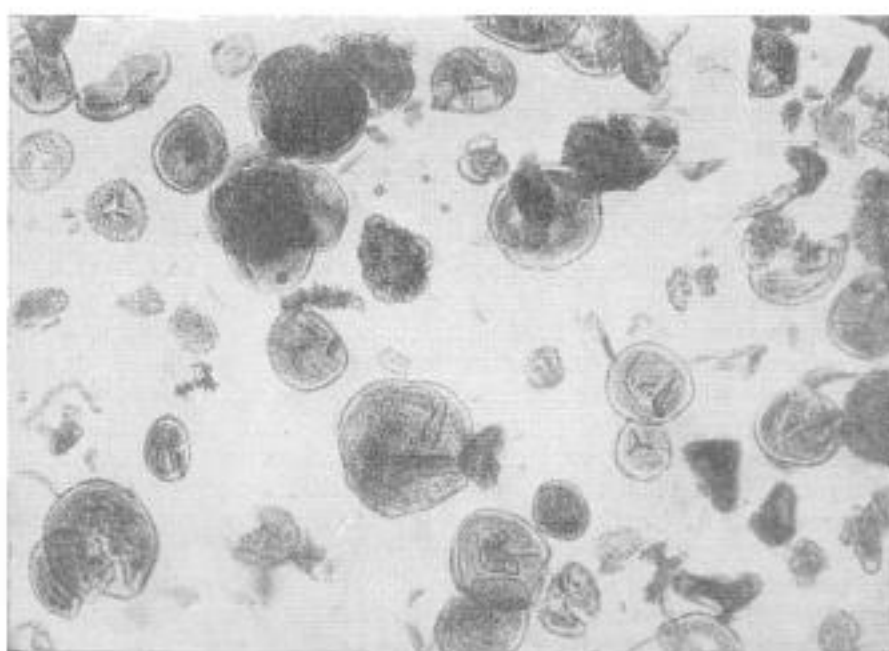


2

Рис. 7. Общий вид спорового состава отложений трансгрессий.
1 —rudkinianские слои, $\times 150$; 2 — pskovianые слои, $\times 150$.



1



2

Рис. 8. Общий вид спорового состава отложений регрессий.
1 — петрические слои; толстый шлф; вертикальный разрез, $\times 150$; 2 — нижнешигровские слои, $\times 150$.

2. ЛАНДШАФТНО-ФИТОЦЕНОЛОГИЧЕСКИЕ СПОРОВО-ПЫЛЬЦЕВЫЕ КОМПЛЕКСЫ

Данные комплексы отражают особенности ландшафта и связанных с ним фитоценозов больших регионов. Подобные комплексы основаны на морфологическом и количественном анализе спор и пыльцы, доминанты которых изменяются в стратиграфическом разрезе в связи со сменой ландшафтов и фитоценозов во времени. Последнее обусловлено чередованием более сухих или более влажных стадий, в связи с трансгрессией и регрессией моря.

Таким образом, ландшафтно-фитоценологические спорово-пыльцевые комплексы являются основанием для детальной стратиграфии (табл. XX—XXII).

Нами установлено для девонских отложений 19 ландшафтно-фитоценологических спорово-пыльцевых комплексов, описание которых приводится выше (табл. XXII).

Глава IX

ОСНОВНЫЕ ПРИНЦИПЫ СТРАТИГРАФИИ ПО СПОРАМ И ПЫЛЬЦЕ

В стратиграфическом разрезе отложений девона наблюдается закономерное изменение спорово-пыльцевого состава, обусловленное историей развития отдельных групп растений и ландшафтов во времени в связи со сменой физико-географических условий.

Качественный видовой спорово-пыльцевой анализ показывает, что распространение отдельных групп и видов спор и пыльцы, являющиеся результатом появления, расцвета и угасания различных видов растений, охватывает системы, ярус, подъярус, несколько толщ и реже одну толщу.

Широкое вертикальное распространение большинства видов спор и пыльцы в девоне, так же как и в отложениях других систем, при современном состоянии их изученности пока не дает возможности легко и быстро отделять по ним свиты и слои.

Последнее достигается только путем детального изучения морфологии отдельных видов и групп спор, при котором по менее значительным морфологическим различиям выделяются разновидности, распространение которых ограничено свитой или ее частью. Работы в этом направлении требуют многолетних специальных исследований истории морфогенеза отдельных видов спор и пыльцы по ярусам, свитам и слоям; результаты их в дальнейшем дадут научную базу для детальной стратиграфии, основанной на истории развития отдельных видов спор и пыльцы.

Однако ввиду слишком большой трудоемкости эти работы хотя и ведутся большинством лабораторий, но пока еще не имеют решающего практического значения при детальной стратиграфии. В настоящее время для расчленения различных свит и слоев обычно пользуются результатами количественного анализа видов и подгрупп спор и пыльцы; этот метод уже давно успешно применяется для детальной стратиграфии угленосных отложений. Он основан на выявлении количественно преобладающих видов и подгрупп спор и пыльцы в отдельных свитах и слоях, что соответствует периодам расцвета определенных сообществ растений тех или иных растительных ландшафтов.

Таким образом, основанием для детального расчленения являются сочетание или комбинация руководящих доминирующих или подгрупп спор и пыльцы, а также отдельные виды и разновидности, распространение которых ограничено одной свитой или горизонтом.

На основании качественного и количественного анализов устанавливается для каждой толщи или слоя определенный комплекс, состоящий из руководящих доминантов спор и пыльцы, в количестве 5—6 видов для каждой свиты, который является характерным только для данной свиты или данных слоев.

В пределах свиты и слоев руководящий комплекс спор и пыльцы может меняться во времени и на площади в связи с кратковременными изменениями условий (уменьшением или увеличением влажности или сухости). Так, наблюдается следующая закономерность: в основании свиты или их ритмов обычно преобладает комплекс спор гидрофильных растений (в особенности в трансгрессивно залегающих свитах), характеризуемых мелкими мятными формами с простой скульптурой, морфология которых мало изменяется во времени. Поэтому эти комплексы при современном состоянии наших знаний мало характерны для стратиграфии, имея крайне сходный облик при появлении аналогичных условий во времени.

Значительно более точные выводы получаются при использовании спор и пыльцы наземных (мезофитных и ксерофитных) растений, морфология которых резко выражена и резко отлична в отдельных частях разреза девона.

Глава X

СТРАТИГРАФИЧЕСКОЕ РАСПРЕДЕЛЕНИЕ СПОРОВО-ПЫЛЬЦЕВЫХ КОМПЛЕКСОВ В ДЕВОНСКИХ ОТЛОЖЕНИЯХ

Распределение спор и пыльцы в стратиграфическом разрезе девона обусловлено историей развития отдельных групп растений и особенно сменой растительных ландшафтов во времени, определяемой сменой физико-географических условий.

Состав спор и пыльцы отдельных ярусов девона — живетского, франского и фаменского — резко отличен.

В видах девона комплекс отличается преобладанием почти исключительно мелких спор, но с треугольным очертанием и плотной экзиной, что указывает на принадлежность их к примитивным наземным растениям.

Споры живетского яруса представлены большей частью крупными формами.

Комплекс состоит из спор *Triletes* R. с простой скульптурой, представленных подгруппами: *Leiotriletes* Naum. типа *Calamariaceae*, *Retusotriletes* Naum. и *Hymenozonotriletes* Naum. с крупношиповатой скульптурой, иногда напоминающей скульптуру спор водяных папоротников *Azolla*.

Таким образом, состав спор и пыльцы живетского яруса девона в Европейской части СССР указывает на прибрежно-водный тип растительности (табл. XXII).

Сporово-пыльцевой состав франского яруса резко отличается от состава живетского большим развитием спор с толстым или плеччатым периспорием с бородавчатой скульптурой подгруппы *Archaeozonotriletes* Naum. и *Hymenozonotriletes* Naum., а также пыльцы голосеменных растений типа птеридоспермов и кордайтов.

По преобладанию спор и пыльцы различных подгрупп резко отличаются верхне- и нижнефранские отложения (табл. XXI). В нижнефранских отложениях преобладающее значение имеют споры подгруппы *Archaeozonotriletes* Naum., в верхнефранских — формы подгруппы *Hymenozonotriletes* Naum., а также пыльца голосеменных и кордайтов (табл. XXI). Последние в особенности развиты в средней части франского яруса, а именно в доманиковой свите и петинских отложениях.

В некоторых свитах, соответствующих началу трансгрессии (псковская, семилукская), преобладают мелкие мятые споры гидрофильных растений типа *Calamariaceae* и др., а также крупные формы с толстым рыхлым периспорием типа *Azolla*.

Таким образом, экологоморфологический характер спор и пыльцы франского яруса указывает на преобладание в отдельные этапы развития Русской платформы более или менее влажных периодов, что подтверждает взгляды, высказанные палеоботаниками.

Сporово-пыльцевой комплекс фаменского яруса отличается одинаковым развитием спор как гидрофильных, так и сухопутных растений (табл. XV—XIX).

Многие виды спор представляют собой измельчавшиеся формы широко распространенных видов франского яруса, что было вызвано неблагоприятными условиями для существования растений.

Одновременно с указанными формами имеется несколько новых видов, по склонности ближе стоящих к спорам нижнего карбона.

Выдержанность спорово-пыльцевых комплексов на площади является чрезвычайно важным моментом для стратиграфии.

Исследования показали, что видовой состав и руководящие доминанты спор и пыльцы свит и слоев франского яруса в общем сходны на изученной нами обширной территории Русской платформы (Центральное девонское поле, Заволжье, северо-восток, Предуралье и Предкарпатье). Отличия выражаются лишь в неодинаковом развитии руководящих доминантов спор и пыльцы. Так, в верхнефранских отложениях северо-востока наблюдается более значительное развитие архаичных спор с пленчатым и плотным периспорием типа птеридоспермов, чем в аналогичных отложениях Центрального девонского поля. В последнем, наоборот, преобладающее значение имеют более совершенные крупнобугорчатые споры древовидных папоротников с узкой оторочкой подгруппы *Lophozonotriletes* и споры более совершенных голосеменных подгруппы *Archaeoperisaccus* Naum. В то же время пленчатые споры более разнообразны в видовом отношении, чем на северо-востоке.

Эти отличия указывают на существование уже в девоне различных условий на северо-востоке и в Центральном девонском поле, что заставляет предполагать существование в девоне местами отличающихся друг от друга ботанико-географических ландшафтов или растительных зон.

ЗАКЛЮЧЕНИЕ

Систематическое изучение спор и пыльцы девона Русской платформы показало большое видовое разнообразие их (около 1000 видов), что свидетельствует о богатстве растительного покрова далекого прошлого, в противоположность существующему мнению палеоботаников, основанному на крайне скучных находках остатков листьев и стеблевых элементов, в особенности в нижнем и среднем девоне.

Особенно много оказалось спор и пыльцы в прибрежно-морских и прибрежно-континентальных фациях, где, повидимому, были наиболее благоприятные условия для их захоронения.

Сporово-пыльцевые комплексы девона состоят преимущественно из спор разнообразных папоротникообразных, тогда как пыльца голосеменных представлена очень незначительным количеством видов типа птеридоспермов и кордайтов.

Основную роль в комплексе играют споры прототипов каламитов, плауновых и папоротников. Среди последних широко развиты споры типа

Azolla подгруппы *Archaeotriletes* Naum. В морфологическом отношении спорово-пыльцевые комплексы девона отличаются обильным содержанием спор с хорошо развитым плотным или пленчатым периспорием.

Большая часть спор и пыльцы распространена только в девоне и лишь некоторые из них продолжали существовать в карбоне.

Вместе с тем наблюдаются несколько реликтовых видов (*Leiotriletes minutissimus* Naum., *Trachytriletes minutissimus* Naum., *Lophotriletes rugosus* Naum. и т. д.), встречающихся еще в кембрие и силуре и приуроченных в девоне преимущественно к основанию трансгрессивных частей циклов осадконакопления, соответствующих эпохам развития влаголюбивых растений.

В связи со сменой физико-географических условий в стратиграфическом разрезе отложений девона наблюдается закономерное изменение спорово-пыльцевого состава. Эта закономерность обусловлена историей развития отдельных групп растений и ландшафтов во времени.

Качественный видовой спорово-пыльцевой анализ показывает, что распространение отдельных групп и видов спор и пыльцы, являющееся результатом появления, расцвета и угасания различных видов растений, охватывает систему, ярус, подъярус, несколько толщ и реже одну толщу или горизонт.

Широкое вертикальное распространение большинства видов спор и пыльцы в девоне при современном состоянии их изученности, так же как и в отложениях других систем, пока не дает возможности легко и быстро отделять по ним близлежащие свиты и слои.

Для расчленения же отдельных близлежащих свит следует, помимо видового состава, использовать также результаты количественного анализа видов и подгрупп спор и пыльцы.

Таким образом, основанием для детального расчленения являются главным образом сочетания руководящих, доминирующих видов спор и пыльцы, а также отдельные виды, распространение которых ограничено одним горизонтом.

В настоящее время в отложениях девона пока установлено 19 руководящих спорово-пыльцевых комплексов, количество которых в дальнейшем должно увеличиться, в особенности для фаменского яруса, низов живетского яруса и нижнего девона.

Большинство установленных комплексов хорошо совпадает с границами, выделенными ранее фаунистическими горизонтами, а наблюдающаяся периодичность преобладающих форм спор более влаголюбивых и менее влаголюбивых групп растений точно соответствует эпохам циклов осадконакопления, выделяемым в последнее время для девона С. В. Тихомировым.

Проведенные работы по опорным скважинам Русской платформы показали исключительную выдержанность спорово-пыльцевых комплексов девона на значительные расстояния, что дало возможность использовать их для корреляции больших регионов, как то: Главное девонское поле, Центральное девонское поле, Заволжье, Прикамье, Предкарпатье (см. составленную нами схему сопоставления разрезов, стр. 152).

Однако на общем фоне выделяется и ряд зональных признаков флоры, как то — преобладание пыльцы голосеменных и спор с пленчатым периспорием в более северных районах, тогда как в более южных районах они играют незначительную роль (табл. XXII).

И, наконец, чрезвычайно важным является нахождение однотипных спорово-пыльцевых комплексов в разнофациальных отложениях, позволяющее проводить прямое сопоставление по ним морских и континентальных (аллохтонных) отложений, что имеет преимущество перед другими палеонтологическими методами.

СХЕМА
СОПОСТАВЛЕНИЯ РАЗРЕЗОВ ДЕВОНА РУССКОЙ ПЛАТФОРМЫ
ПО СПОРАМ И ПЫЛЬЦЕ
СОСТАВЛЕНА С. Н. НАУМОВОЙ (1951)

Схема стратиграфии		Главное девонское поле (свиты и слои)	Московская синеклиза (слои)	Заволжье (свиты)	№ спорово-пыльцевого комплекса
Ярус	Подъярус				
Фамен- ский D ² 3	Верхнефа- менский	Верхнепестро- цветная	Данилово-лебедянские, I-II	—	I II
	Нижнефа- менский	Чимаевская	Елецкие, III Задонские, IV	—	III IV
Фран- ский D ¹ 3	Верхнефран- ский	Смотинско-ловат- ская	Ливенские, V Евангеловские, VI Воронежские, VII Петрические, VIII	Аскынская	V VI VII VIII
	Среднефран- ский	Бурегские Ильменские Свирьордские	Семилукские, IX Семилукские, X Рудкинские, XI	Мендымская, X	IX X XI
	Нижнефран- ский	Шелонские	Верхнешигров- ские (Хворостань), XII	Доманиковая, XIII	XII
		Псковско-чудов- ские	Верхнешигров- ские с <i>Elytra</i> , XIII	Щугуровская, XIII	XIII
		Снетогорские Подснетогорские, XIV	Нижнешигров- ские, XIV	Кыновская Пашайская, XIV	XIV
Живет- ский D ² 2	Верхнези- ветский	Оредежские, XV Лужские, XVI	Старооскольские, XV Калужские, XVI	Ардатовская, XV	XV XVI

ЛИТЕРАТУРА

- Гекнер Р. Ф. Отложения, фауна и флора Главного девонского поля. М., Изд. Акад. Наук СССР, 1941.
- Дубянский А. А. Геология и подземные воды Курской и Орловской областей. Воронежская гидрогеологическая станция. Воронеж, 1948.
- Еловская М. В. Споры барзасских углей. Тр. ЦНИГРИ, 1936, вып. 70.
- Залесский М. Д. О генезисе барзасских сапропелитов. Изв. Акад. Наук СССР, 7 сер., отд. мат.-ест. наук, 1931, № 3.
- Залесский М. Д. Végétaux nouveaux du dévonien supérieur du Bassin du Donets (Новые растения верхнего девона Донецкого бассейна). Изв. Акад. Наук СССР, 7 сер., отд. мат.-ест. наук, 1931, № 4.
- Крестовников В. И. К познанию девонских отложений Воронежской и юго-восточной части Орловской губ. Бюлл. Моск. общ. испыт. природы, отд. геол., 1925, З.
- Криштофович А. Н. 1. Древнейшие растения суши. Природа, 1927, № 5.
Криштофович А. Н. 2. Следы древнедевонской флоры в Туркестане, на Урале и в Сибири. Изв. Геол. ком., 1927, 46, № 4.
- Криштофович А. Н. Новые данные о древнейшей девонской флоре. Природа, 1933, № 2.
- Криштофович А. Н. Ископаемая флора с р. Лозьвы в Сев. Урале. Тр. Всес. геол.-разв. общед., 1934, вып. 291.
- Криштофович А. Н. О девонской флоре Казахстана. Мат. ЦНИГРИ, 1938, 44, вып. 5.
- Криштофович А. Н. Палеоботаника. М., Госгеолиздат, 1941.
- Любер А. А. и Вальц И. Э. Классификация и стратиграфическое значение спор некоторых каменноугольных месторождений СССР. Тр. ЦНИГРИ, 1938, вып. 105.
- Любер А. А. и Вальц И. Э. Атлас микроспор и пыльцы палеозоя СССР. Тр. ВСЕГЕИ, 1941, вып. 139.
- Наливкин Д. В. Девонские отложения СССР. Атлас руководящих форм ископаемых фауны СССР, т. 3. Девонская система. М.—Л., Госгеолиздат, 1947.
- Наумова С. Н. Споры и пыльца углей СССР. Тр. XVII сессии Междунар. геол. конгресса, т. I. М., Госгеолиздат, 1937.
- Наумова С. Н. Споры нижнего кембрия. Изв. Акад. Наук СССР, сер. геол., 1949, № 4.
- Наумова С. Н. Споры нижнего силура. Тр. Конференции по спорово-пыльцевому анализу 1948 г. М., Изд. Моск. гос. унив., 1950.
- Нейбург М. Ф. Флора девона северо-востока района Балхаша. Докл. Акад. Наук СССР, 1939, вып. 23.
- Никитин П. А. Нахodka ископаемых макроспор в центральных черноземных областях Советского Союза. Природа, 1930, № 1.
- Никитин П. А. Новое растение из щигровских слоев девона ЦЧО — *Leninetum mirabile*. Тр. Воронежск. гос. унив.
- Никитин П. А. Ископаемые растения петинского горизонта девона Воронежской области. 1. *Kryzhtofovichia Africana* nov. gen. et sp. Изв. Акад. Наук СССР, 1934, № 7.
- Пересветов В. С. Псилофиты СССР. Бот. журн., 1951.
- Покровская И. М. и др. Пыльцевой анализ. М., Госгеолиздат, 1950.
- Сьюорд А. Ч. Века и растения. Обзор растительности прошлых геологических периодов. Перевод с англ. под ред. А. Н. Криштофовича. ОНТИ ИКТИ СССР, 1936.

- Тихий В. Н. Флора девона и нижнего карбона Поволжья и Заволжья. Докл. Акад. Наук СССР, 1948, 11, № 1.
- Шмальгаузен И. Ф. О девонских растениях Донецкого каменноугольного бассейна. Тр. Геол. ком., 1894, 8, № 3.
- Arber E. A. Devonian floras. Cambridge, 1921.
- Bennie J. a. Kidston R. On the occurrence of spores in the carboniferous formation of Scotland. Proc. Roy. Phys. Soc. Edinb., ser. CXV, 1886, 9.
- Clarke J. M. On devonian spores. Amer. Journ. Sci., ser. 3, 1885, 29.
- Dawson J. M. On spore cases in coals. Amer. Journ. Sci., ser. 3, 1871, 1, № 4.
- Florin R. Eine Uebersicht der fossilen *Salvinia*-Arten. Bull. Geol. Inst. Upsala, 1919, 16.
- Florin R. On the structure of the pollen grains in Cordaitales. Svensk. Botanisk. Tidskr., 1936, 30, № 3.
- Florin R. On the morphology of the pollen grains in paleozoic Pteridosperms. Svensk. Botanisk. Tidskr., 1937, 31, № 3.
- Halle T. G. The structure of certain fossil spore bearing organs believed to belong to Pteridosperms. Kungl. Svenska Vetenkaps Akad. Handl., ser. 3, 1933, 12, № 6.
- Hartung W. Die Sporenverhältnisse der Calamariaceen. Arb. aus d. Inst. Paläobot. u. Petrogr. d. Brennsteine, 1933, 3, H. 1.
- Ноэг О. А. The Downtonian and Devonian flora of Spitsbergen. Oslo, 1912. Skrifter № 83.
- Ibrahim A. C. Sporenformen des Aegirhorizonts des Rhur-Reviers. Würzburg, 1933.
- Kidston R. a. Lang W. On the presence of tetrads of resistant spores in the tissue of *Sporocarpus furcatus* Dawson from the upper Devonian of America. Trans. Roy. Soc. Edinb., 1924—1925, 53, № 3.
- Knox E. M. The spores of Pteridophyta with observations of microspores in coal of carboniferous age. Trans. a. Proc. Bot. Soc. Edinb., 1938, 32, 3.
- Kräuse R. u. Weyland H. Beiträge zur Kenntnis der Devonflora. Abb. Senckenb. Naturforsch. Ges., 1926, 40, 2; 1929, 41.
- Kräuse R. u. Weyland H. Ueber Pflanzenreste aus dem Devon Deutschlands. Abb. Senckenb. Naturforsch. Ges., 1930, 12.
- Lang W. H. Contributions to the study of the O. R. S. flora of Scotland. Trans. Roy. Soc. Edinb., 1925, 54, № 2.
- Moore L. R. On the spores of some Carboniferous plants and their development. Quart. Journ. Geol. Soc. London, 1946, 102, pt. 3, № 403.
- Nathorst A. G. Zur oberdevonischen Flora der Bären-Insel. Kungl. Svenska Vetenkaps Akad. Handl., 1902, 36, № 3.
- Nathorst A. G. Zur Devonflora des westlichen Norwegens. Berg. Mus. Aarbok, 1915, № 9.
- Thomson W. Beitrag zur Kenntnis der fossilen Flora des Mitteldevons in Estland. Loodusuuri jate Seltsi Aruanded, Tartu, 1940, 45.
- White D. a. Stadnichenko T. Some mother plants of petroleum in the Devonian black shales. Econ. Geol., 1923, 18.

ТАБЛИЦЫ

ЖИВЕТСКИЙ ЯРУС, СТАРООСКОЛЬСКИЕ СЛОИ

Таблица I

- Фиг. 1. *Leiotriletes microrugosus* (Ihr.) Naum. типа *Calamariaceae*. Калужская область, низы верхнетерригенного комплекса, верхи старооскольских слоев
- Фиг. 2. *Leiotriletes simplex* Naum. sp. n. Калужская область, низы верхнетерригенного комплекса, верхи старооскольских слоев
- Фиг. 3. *Leiotriletes laevis* Naum. sp. n. Калужская область, низы верхнетерригенного комплекса, верхи старооскольских слоев
- Фиг. 4. *Leiotriletes furcatus* Naum. sp. n. типа *Dicksonia*. Калужская область, низы верхнетерригенного комплекса, верхи старооскольских слоев
- Фиг. 5. *Leiotriletes devonicus* Naum. sp. n. Калужская область, низы верхнетерригенного комплекса, верхи старооскольских слоев
- Фиг. 6. *Lelotriletes rotundus* Naum. sp. n. Калужская область, низы верхнетерригенного комплекса, верхи старооскольских слоев
- Фиг. 7. *Leiotriletes pullatus* Naum. sp. n. Калужская область, низы верхнетерригенного комплекса, верхи старооскольских слоев
- Фиг. 8. *Leiotriletes atavus* Naum. sp. n. Калужская область, нижняя часть верхнетерригенного комплекса старооскольских слоев
- Фиг. 9. *Leiotriletes nigritatus* Naum. sp. n. Калужская область, низы верхнетерригенного комплекса
- Фиг. 10. *Trachytriletes minor* Naum. sp. n. Калужская область, нижняя часть верхнетерригенного комплекса старооскольских слоев
- Фиг. 11, 12. *Acanthotriletes spinellosus* Naum. sp. n. Калужская область, низы верхнетерригенного комплекса старооскольских слоев
- Фиг. 13, 14. *Acanthotriletes inferus* Naum. sp. n. Баш. АССР, Туймазы, верхи животского яруса
- Фиг. 15. *Acanthotriletes usitatus* Naum. sp. n. Калужская область, нижняя часть верхнетерригенного комплекса старооскольских слоев
- Фиг. 16. *Acanthotriletes parvispinosus* Naum. sp. n. Калужская область, нижняя часть верхнетерригенного комплекса старооскольских слоев
- Фиг. 17. *Acanthotriletes tenuispinosus* Naum. sp. n. Калужская область, низы верхнетерригенного комплекса старооскольских слоев
- Фиг. 18. *Acanthotriletes impolitus* Naum. sp. n. Калужская область, низы верхнетерригенного комплекса старооскольских слоев
- Фиг. 19, 20. *Acanthotriletes serratus* Naum. sp. n. Калужская область, низы верхнетерригенного комплекса, верхи старооскольских слоев
- Фиг. 21. *Acanthotriletes heterodontus* Naum. sp. n. Калужская область, низы верхнетерригенного комплекса, верхи старооскольских слоев
- Фиг. 22. *Acanthotriletes correctus* Naum. sp. n. Калужская область, низы верхнетерригенного комплекса, верхи старооскольских слоев
- Фиг. 23, 24. *Acanthotriletes uncatus* Naum. sp. n. Калужская область, низы верхнетерригенного комплекса, верхи старооскольских слоев
- Фиг. 25. *Acanthotriletes crassus* Naum. sp. n. Калужская область, низы верхнетерригенного комплекса, верхи старооскольских слоев

Таблица 1

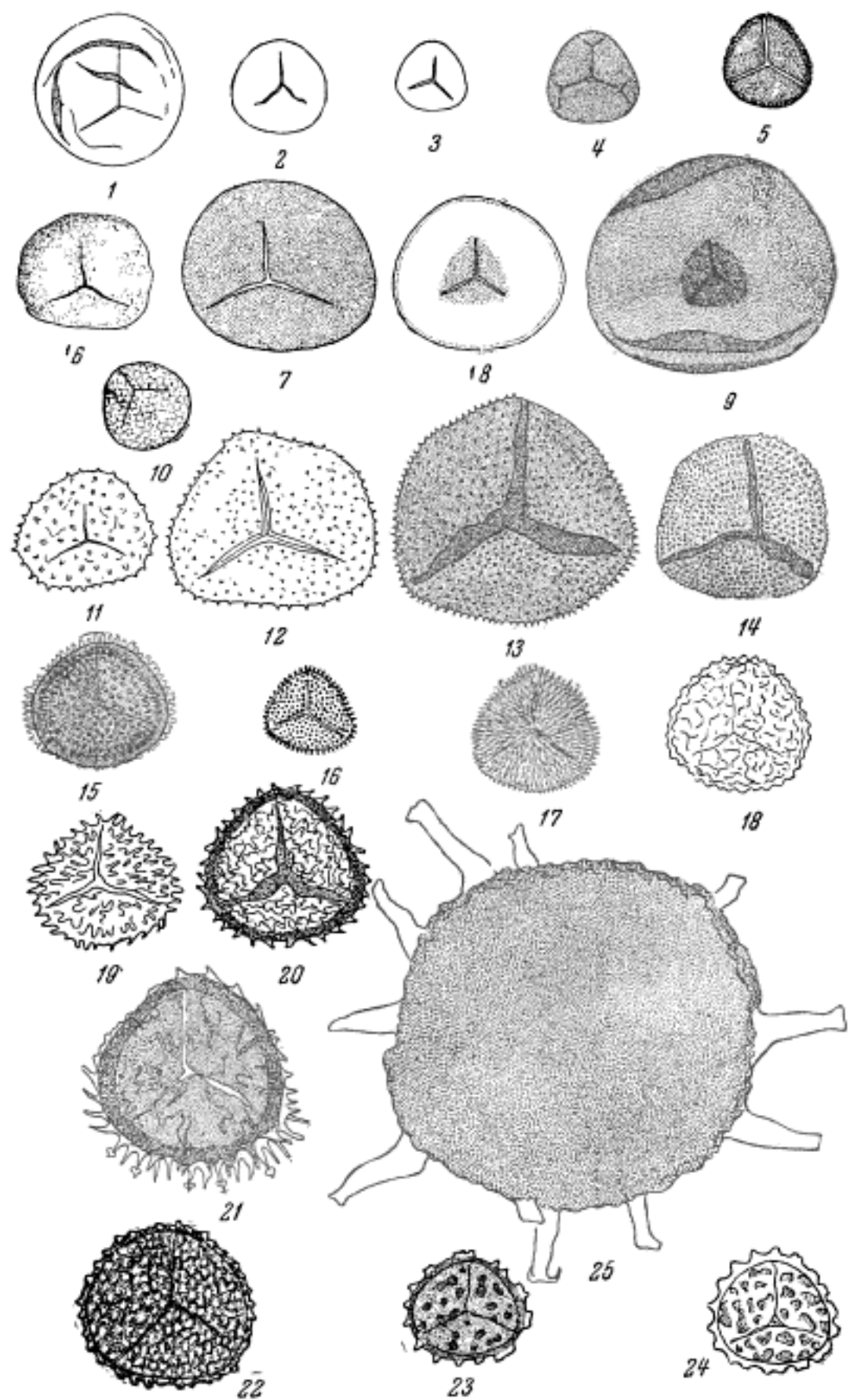


Таблица II

- Фиг. 1. *Lophotriletes rugosus* Naum. Калужская область, низы верхнетерригенного комплекса, верхи старооскольских слоев
- Фиг. 2. *Lophotriletes subrotundatus* Naum. sp. n. Калужская область, низы верхнетерригенного комплекса, верхи старооскольских слоев
- Фиг. 3. *Lophotriletes minusculus* Naum. sp. n. Калужская область, низы верхнетерригенного комплекса, верхи старооскольских слоев
- Фиг. 4. *Lophotriletes fastuosus* Naum. sp. n. Калужская область, низы верхнетерригенного комплекса, верхи старооскольских слоев
- Фиг. 5. *Lophotriletes granulosus* Naum. sp. n. Калужская область, низы верхнетерригенного комплекса, верхи старооскольских слоев
- Фиг. 6. *Lophotriletes perpusillus* Naum. sp. n. Калужская область, низы верхнетерригенного комплекса, верхи старооскольских слоев
- Фиг. 7. *Dictyotriletes minor* Naum. sp. n. Калужская область, низы верхнетерригенного комплекса, верхи старооскольских слоев
- Фиг. 8. *Dictyotriletes nigratus* Naum. sp. n. Калужская область, низы верхнетерригенного комплекса, верхи старооскольских слоев
- Фиг. 9. *Retusotriletes simplex* Naum. sp. n. Калужская область, низы верхнетерригенного комплекса, верхи живетского яруса
- Фиг. 10. *Retusotriletes verruculatus* Naum. sp. n. Калужская область, низы верхнетерригенного комплекса, верхи старооскольских слоев
- Фиг. 11. *Retusotriletes subgibberosus* Naum. sp. n. Калужская область, низы верхнетерригенного комплекса, верхи старооскольских слоев
- Фиг. 12, 13. *Archaeozonotriletes variabilis* Naum. sp. n. Калужская область, низы верхнетерригенного комплекса, верхи старооскольских слоев
- Фиг. 14. *Archaeozonotriletes confusus* Naum. sp. n. Калужская область, низы верхнетерригенного комплекса, верхи старооскольских слоев
- Фиг. 15. *Archaeozonotriletes purus* Naum. sp. n. Калужская область, низы верхнетерригенного комплекса, верхи старооскольских слоев
- Фиг. 16. *Archaeozonotriletes macromanifestus* Naum.¹ Калужская область, низы верхнетерригенного комплекса, верхи старооскольских слоев
- Фиг. 17. *Archaeozonotriletes lasius* Naum. sp. n. var. *major* Naum. v. n. Калужская область, низы верхнетерригенного комплекса, верхи старооскольских слоев
- Фиг. 18. *Archaeozonotriletes micromanifestus* Naum. sp. n. Калужская область, низы верхнетерригенного комплекса, верхи старооскольских слоев
- Фиг. 19. *Archaeozonotriletes micromanifestus* Naum. sp. n. var. *minor* Naum. v. n. Калужская область, низы верхнетерригенного комплекса, верхи старооскольских слоев
- Фиг. 20. *Archaeozonotriletes lasius* Naum. sp. n. var. *minor* Naum v. n. Калужская область, низы верхнетерригенного комплекса, верхи старооскольских слоев
- Фиг. 21. *Archaeozonotriletes venustus* Naum. sp. n. Калужская область, низы верхнетерригенного комплекса, верхи старооскольских слоев

Таблица II

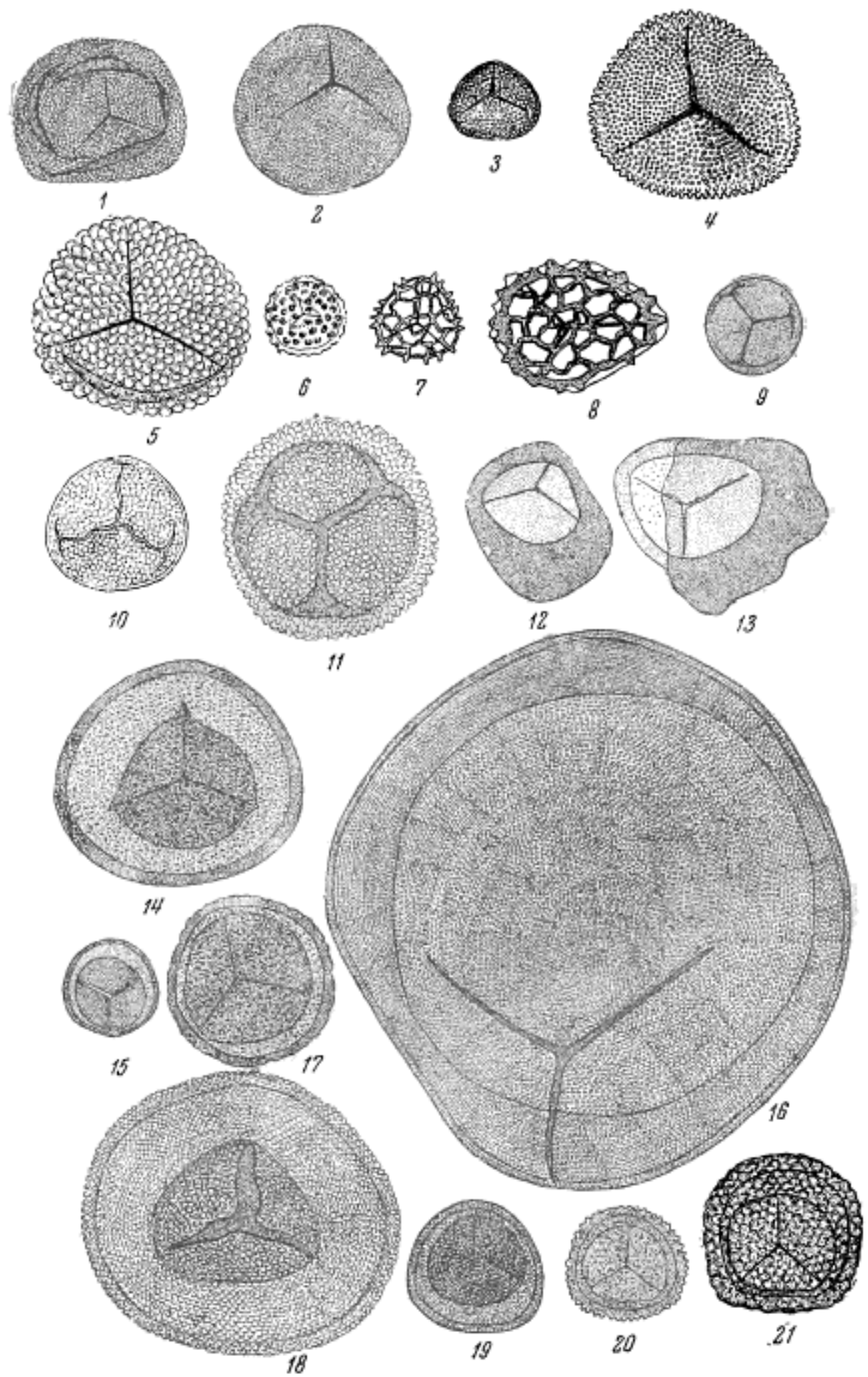


Таблица III

- Фиг. 1. *Archaeozonotriletes compactus* Naum. Калужская область, низы верхнетерригенного комплекса, верхи старооскольских слоев
- Фиг. 2. *Archaeozonotriletes compactus* Naum. sp. n. var. *minor* Naum. v. n. Калужская область, низы верхнетерригенного комплекса, верхи старооскольских слоев
- Фиг. 3. *Archaeozonotriletes basilaris* Naum. Калужская область, низы верхнетерригенного комплекса, верхи старооскольских слоев
- Фиг. 4. *Archaeozonotriletes parvibasilaris* Naum. sp. n. Калужская область, низы верхнетерригенного комплекса, верхи старооскольских слоев
- Фиг. 5. *Archaeozonotriletes extensus* Naum. sp. n. Калужская область, низы верхнетерригенного комплекса, верхи старооскольских слоев
- Фиг. 6. *Archaeozonotriletes orbiculatus* Naum. sp. n. Калужская область, низы верхнетерригенного комплекса, верхи старооскольских слоев
- Фиг. 7. *Archaeozonotriletes truncatus* Naum. sp. n. Калужская область, низы верхнетерригенного комплекса, верхи старооскольских слоев
- Фиг. 8. *Archaeozonotriletes primarius* Naum. Калужская область, низы верхнетерригенного комплекса, верхи старооскольских слоев
- Фиг. 9. *Archaeozonotriletes subcompactus* Naum. Калужская область, низы верхнетерригенного комплекса, верхи старооскольских слоев
- Фиг. 10. *Archaeozonotriletes pustulatus* Naum. sp. n. Калужская область, низы верхнетерригенного комплекса, верхи старооскольских слоев
- Фиг. 11, 12. *Archaeozonotriletes decorus* Naum. sp. n. Калужская область, низы верхнетерригенного комплекса, верхи старооскольских слоев
- Фиг. 13. *Archaeozonotriletes vulgatus* Naum. sp. n. Калужская область, низы верхнетерригенного комплекса, верхи старооскольских слоев
- Фиг. 14. *Archaeozonotriletes nanus* Naum. sp. n. Калужская область, низы верхнетерригенного комплекса, верхи старооскольских слоев
- Фиг. 15. *Stenozonotriletes conformis* Naum. sp. n. Калужская область, низы верхнетерригенного комплекса, верхи старооскольских слоев
- Фиг. 16. *Stenozonotriletes pumilus* (Waltz) Naum. Калужская область, низы верхнетерригенного комплекса, верхи старооскольских слоев
- Фиг. 17. *Stenozonotriletes simplex* Naum. sp. n. Калужская область, низы верхнетерригенного комплекса, верхи старооскольских слоев
- Фиг. 18. *Stenozonotriletes extensus* Naum. sp. n. var. *minor* Naum. Калужская область, низы верхнетерригенного комплекса, верхи старооскольских слоев
- Фиг. 19. *Stenozonotriletes extensus* Naum. sp. n. var. *medius* Naum. Калужская область, низы верхнетерригенного комплекса, верхи старооскольских слоев
- Фиг. 20. *Stenozonotriletes extensus* Naum. sp. n. var. *major* Naum. Калужская область, низы верхнетерригенного комплекса, верхи старооскольских слоев
- Фиг. 21. *Stenozonotriletes lasius* Naum. Калужская область, низы верхнетерригенного комплекса, верхи старооскольских слоев
- Фиг. 22, 23. *Lophozonotriletes scutus* Naum. sp. n. Калужская область, низы верхнетерригенного комплекса, верхи старооскольских слоев
- Фиг. 24—26. *Lophozonotriletes grandis* Naum. sp. n. Калужская область, низы верхнетерригенного комплекса, верхи старооскольских слоев

Таблица III

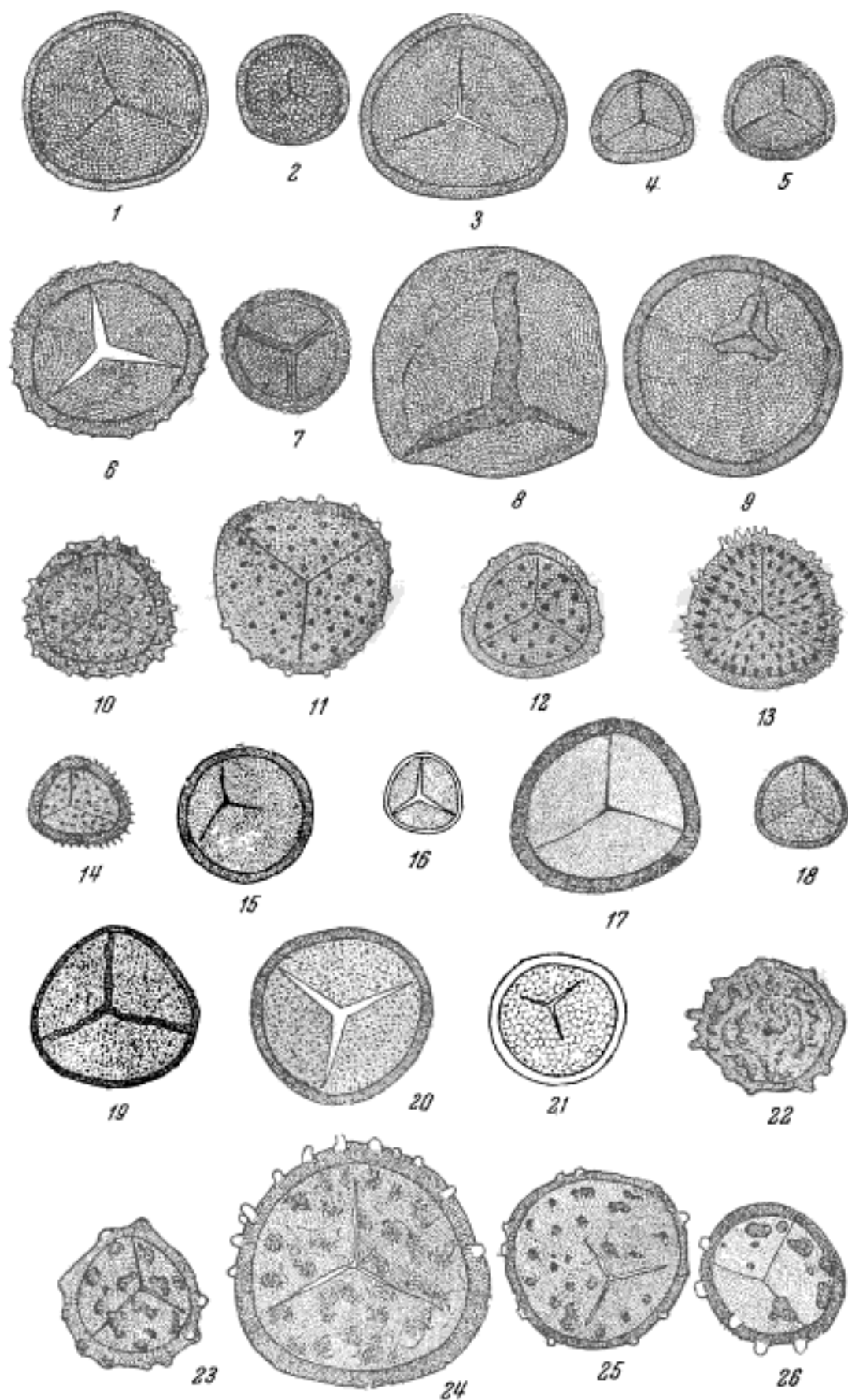
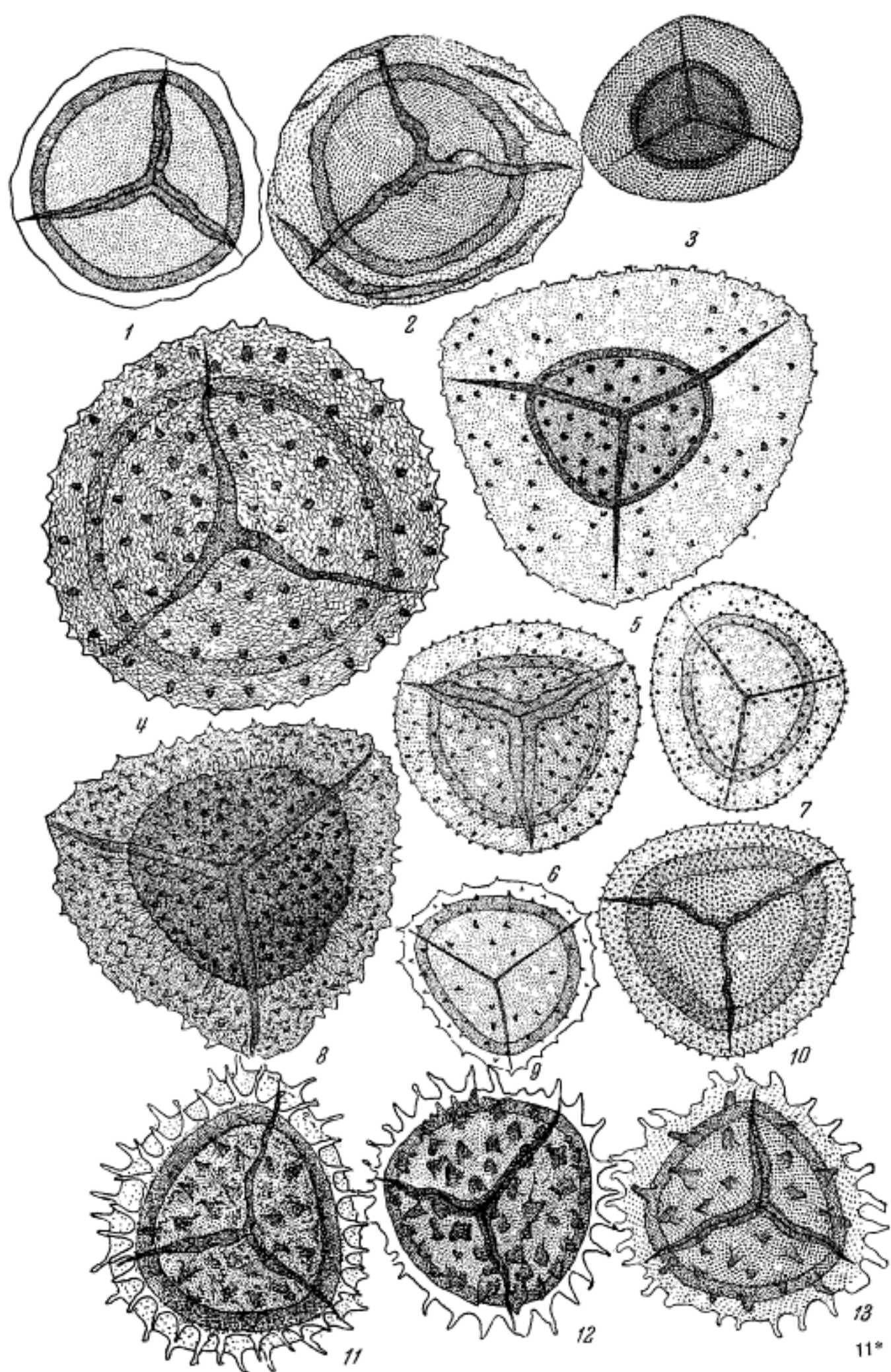


Таблица IV

- Фиг. 1. *Hymenozonotriletes varius* Naum. sp. n. Калужская область, низы верхнетерригенного комплекса, верхи старооскольских слоев
- Фиг. 2. *Hymenozonotriletes mesodevonicus* Naum. sp. n. Калужская область, низы верхнетерригенного комплекса, верхи старооскольских слоев
- Фиг. 3. *Hymenozonotriletes brevimammus* Naum. sp. n. Калужская область, низы верхнетерригенного комплекса, верхи старооскольских слоев
- Фиг. 4. *Hymenozonotriletes rigidispinus* Naum. sp. n. Калужская область, низы верхнетерригенного комплекса, верхи старооскольских слоев
- Фиг. 5. *Hymenozonotriletes proteus* Naum. sp. n. Калужская область, низы верхнетерригенного комплекса, верхи старооскольских слоев
- Фиг. 6. *Hymenozonotriletes verus* Naum. sp. n. Калужская область, низы верхнетерригенного комплекса, верхи старооскольских слоев
- Фиг. 7. *Hymenozonotriletes vulgaris* Naum. sp. n. Калужская область, низы верхнетерригенного комплекса, верхи старооскольских слоев
- Фиг. 8. *Hymenozonotriletes praetervisus* Naum. sp. n. Калужская область, низы верхнетерригенного комплекса, верхи старооскольских слоев
- Фиг. 9. *Hymenozonotriletes spinosus* Naum. sp. n. Калужская область, низы верхнетерригенного комплекса, верхи старооскольских слоев
- Фиг. 10. *Hymenozonotriletes argutus* Naum. sp. n. Калужская область, низы верхнетерригенного комплекса, верхи старооскольских слоев
- Фиг. 11, 12. *Hymenozonotriletes polyacanthus* Naum. sp. n. Калужская область, низы верхнетерригенного комплекса, верхи старооскольских слоев
- Фиг. 13. *Hymenozonotriletes spinuliferus* Naum. sp. n. Калужская область, низы верхнетерригенного комплекса, верхи старооскольских слоев

Таблица IV



ФРАНСКИЙ ЯРУС

Таблица V

- Фиг. 1. *Leiotriletes microrugosus* (Ibr.) Naum. Воронеж. обл., с. Петино, петинские слои
- Фиг. 2. *Leiotriletes minutissimus* Naum. Воронеж. обл., с. Рудкино, рудкинские слои
- Фиг. 3, 4. *Leiotriletes rotundus* Naum. Воронеж. обл., с. Петино, петинские слои
- Фиг. 5, 6. *Leiotriletes nigratus* Naum. Воронеж. обл., с. Петино, семилукские слои
- Фиг. 7. *Leiotriletes simplicissimus* Naum. Воронеж. обл., с. Рудкино, рудкинские слои
- Фиг. 8. *Leiotriletes conformis* Naum. sp. n. Чкаловская обл., Байтуган, яблоновская свита
- Фиг. 9. *Leiotriletes simpeex* Naum. Воронеж. обл., с. Рудкино, рудкинские слои
- Фиг. 10. *Leiotriletes parvus* Naum. sp. n. Воронеж. обл., с. Рудкино, рудкинские слои
- Фиг. 11. *Leiotriletes perpusillus* Naum. sp. n. Воронеж. обл., с. Рудкино, рудкинские слои
- Фиг. 12. *Leiotriletes pullatus* Naum. Воронеж. обл., воронежские слои
- Фиг. 13. *Leiotriletes nigritellus* Naum. sp. n. Воронеж. обл., с. Рудкино, рудкинские слои
- Фиг. 14. *Leiotriletes trivialis* Naum. sp. n. Воронеж. обл., с. Петино, семилукские слои
- Фиг. 15. *Leiotriletes acutangulus* Naum sp. n. Воронеж. обл., воронежские слои
- Фиг. 16, 17. *Trachytriletes minutus* Naum. Воронеж. обл., с. Петино, семилукские слои
- Фиг. 18. *Trachytriletes solidus* Naum. Воронеж. обл., с. Рудкино, рудкинские слои
- Фиг. 19. *Trachytriletes medius* Naum. sp. n. Воронеж. обл., воронежские слои
- Фиг. 20. *Trachytriletes Iasius* (Waltz) Naum. Орловская обл., г. Ливны, ливенские слои
- Фиг. 21. *Trachytriletes uniformis* Naum. sp. n. Воронеж. обл., воронежские слои
- Фиг. 22. *Trachytriletes giganteus* Naum. sp. n. Воронеж. обл., с. Петино, семилукские слои
- Фиг. 23. *Trachytriletes subminor* Naum. sp. n. Воронеж. обл., с. Рудкино, рудкинские слои
- Фиг. 24. *Trachytriletes minor* Naum. Воронеж. обл., воронежские слои
- Фиг. 25. *Trachytriletes pusillus* Naum. sp. n. Воронеж. обл., семилукские слои
- Фиг. 26. *Acanthotriletes rugatus* Naum. sp. n. Воронеж. обл., с. Рудкино, рудкинские слои
- Фиг. 27. *Acanthotriletes acerosus* Naum. sp. n. Воронеж. обл., с. Петино, семилукские слои
- Фиг. 28. *Acanthotriletes incompletus* Naum. sp. n. Воронеж. обл., с. Рудкино, рудкинские слои
- Фиг. 29, 30. *Acanthotriletes erinaceus* (Waltz) Naum. Воронеж. обл., с. Рудкино, рудкинские слои
- Фиг. 31. *Acanthotriletes parvus* Naum. sp. n. Воронеж. обл., с. Петино, семилукские слои
- Фиг. 32. *Acanthotriletes tenuispinosus* Naum. Воронеж. обл., с. Рудкино, рудкинские слои
- Фиг. 33. *Acanthotriletes denticulatus* Naum. sp. n. Воронеж. обл., с. Петино, семилукские слои
- Фиг. 34. *Acanthotriletes polygamus* Naum. sp. n. Воронеж. обл., с. Рудкино, рудкинские слои
- Фиг. 35. *Acanthotriletes crenatus* Naum. sp. n. Воронеж. обл., воронежские слои
- Фиг. 36. *Acanthotriletes uncatus* Naum. sp. n. Воронеж. обл., низы щигровских слоев
- Фиг. 37. *Acanthotriletes grandispinus* Naum. sp. n. Воронеж. обл., Конь-Колодезь, евлановские слои
- Фиг. 38—40. *Acanthotriletes hirtus* Naum. sp. n. Воронеж. обл., Конь-Колодезь, евлановские слои
- Фиг. 41, 42. *Acanthotriletes eximus* Naum. sp. n. Воронеж. обл., с. Петино, семилукские слои

Таблица V

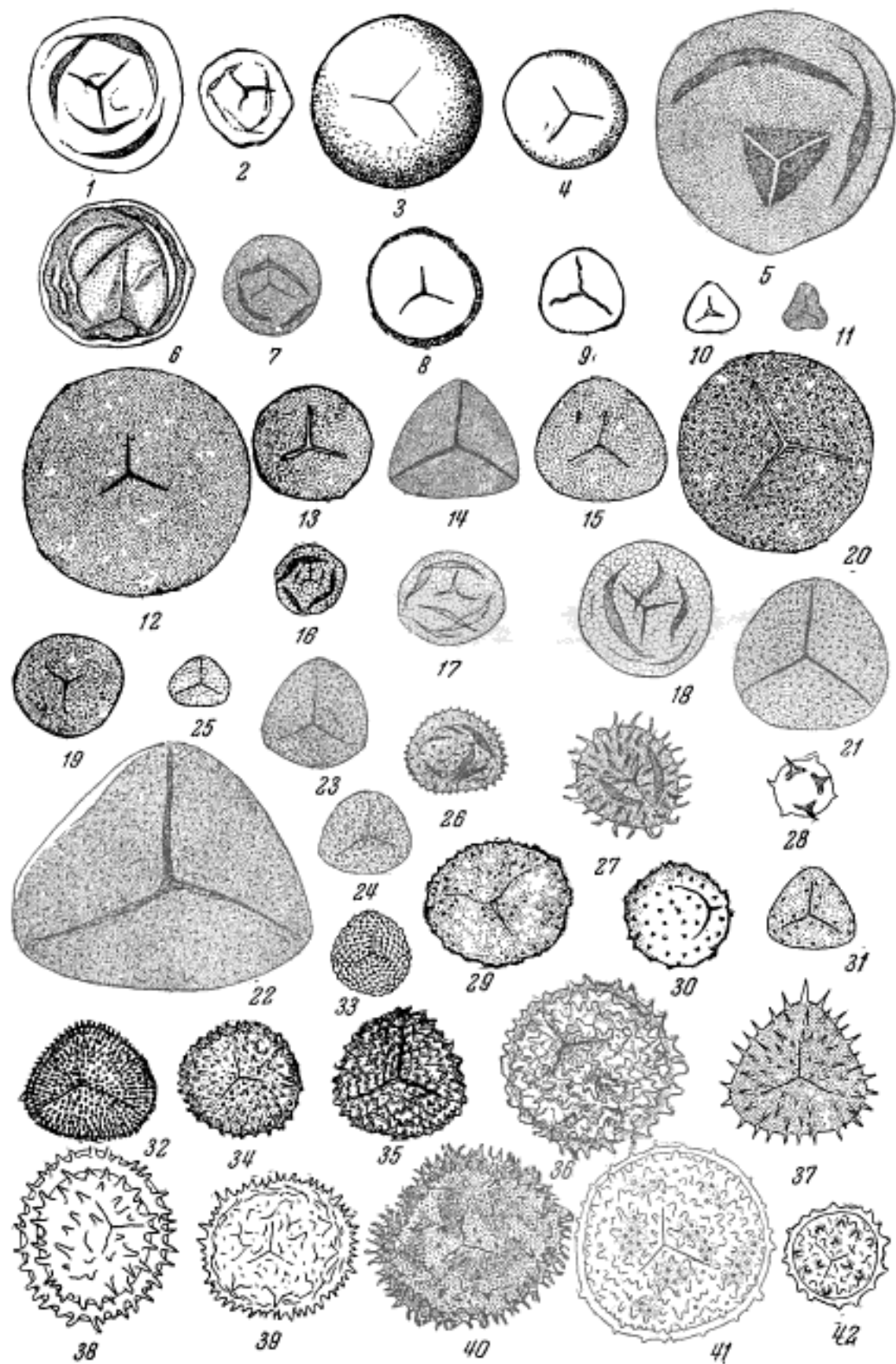


Таблица VI

- Фиг. 1. *Acanthotriletes dentatus* Naum. sp. n. Воронежская область, с. Рудкино, рудникские слои
- Фиг. 2. *Archaeotriletes conspicuus* Naum. sp. n. Воронежская область, с. Петино, семилукские слои
- Фиг. 3. *Archaeotriletes atavus* Naum. sp. n. Воронежская область, с. Петино, семилукские слои
- Фиг. 4. *Archaeotriletes hamulus* Naum. sp. n. Воронежская область, с. Петино, семилукские слои
- Фиг. 5, 6. *Archaeotriletes fidus* Naum. sp. n. Воронежская область, с. Петино, семилукские слои
- Фиг. 7. *Archaeotriletes devonicus* Naum. sp. n. Воронежская область, с. Петино, семилукские слои
- Фиг. 8. *Archaeotriletes aduncus* Naum. sp. n. Воронежская область, с. Петино, семилукские слои
- Фиг. 9. *Archaeotriletes larvatus* Naum. sp. n. Воронежская область, с. Петино, семилукские слои

Таблица VI

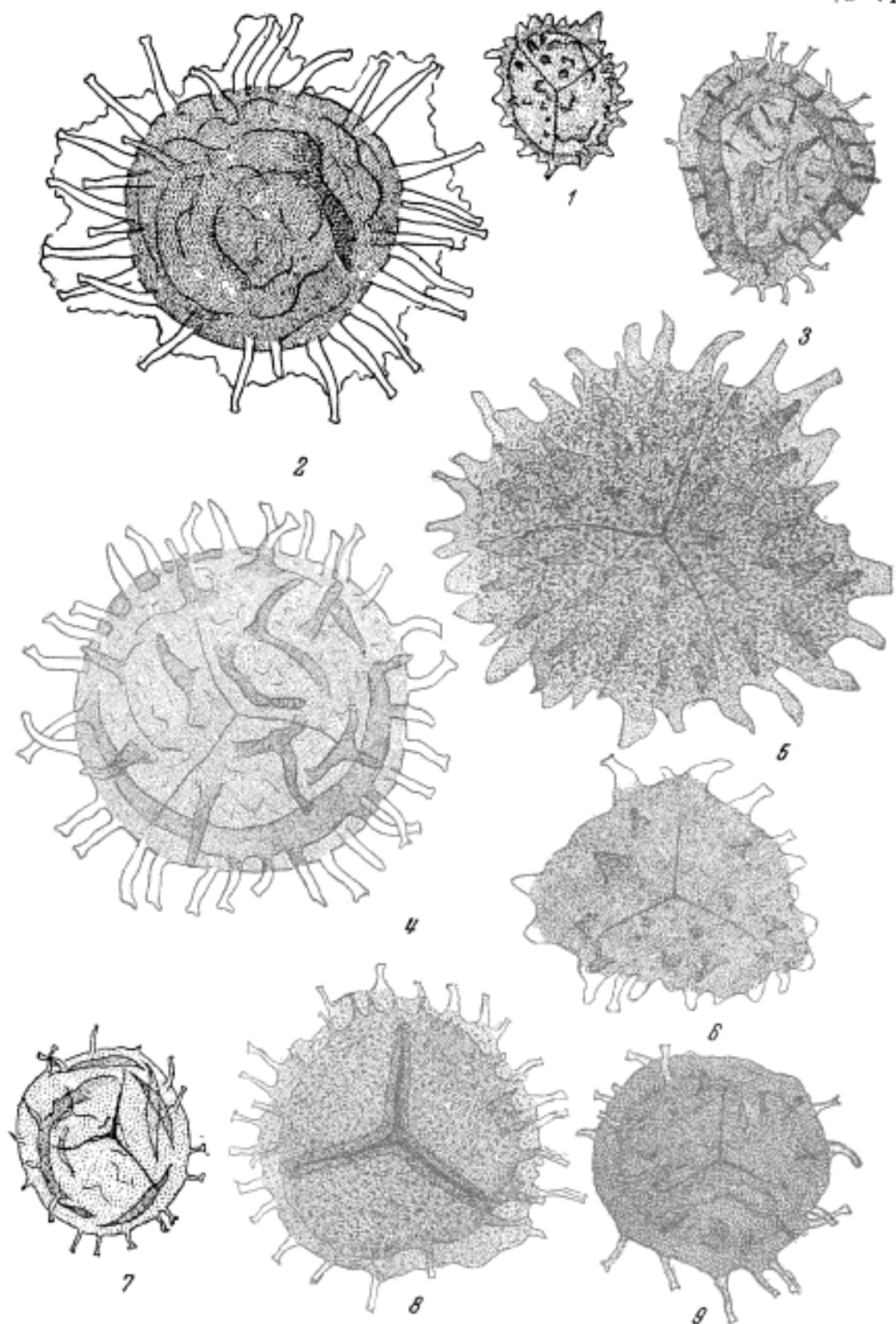


Таблица VII

- Фиг. 1. *Lophotriletes rugosus* Naum. Воронежская область, с. Петино, семилукские слои
- Фиг. 2. *Lophotriletes semilucensis* Naum. sp. n. Воронежская область, с. Петино, семилукские слои
- Фиг. 3. *Lophotriletes inflatus* (Lub.) Naum. Воронежская область, с. Петино, петинские слои
- Фиг. 4. *Lophotriletes perspicuus* Naum. sp. n. Чкаловская область, Байтуган, яблоновская свита
- Фиг. 5. *Lophotriletes simulus* Naum. sp. n. Воронежская область, с. Петино, петинские слои
- Фиг. 6, 7. *Lophotriletes communis* Naum. sp. n. Воронежская область, с. Петино, петинские слои
- Фиг. 8, 9. *Lophotriletes exigua* Naum. sp. n. Воронежская область, с. Петино, семилукские слои
- Фиг. 10. *Lophotriletes minor* Naum. sp. n. Воронежская область, с. Петино, петинские слои
- Фиг. 11. *Lophotriletes minutissimus* Naum. sp. n. Воронежская область, с. Петино, семилукские слои
- Фиг. 12. *Lophotriletes livnensis* Naum. sp. n. Воронежская область, Конь-Колодезь, лиенские слои
- Фиг. 13. *Lophotriletes evlanensis* Naum. sp. n. Воронежская область, Конь-Колодезь, свалановские слои
- Фиг. 14, 15. *Lophotriletes grumosus* Naum. sp. n. Воронежская область, с. Петино, петинские слои
- Фиг. 16. *Lophotriletes salebrosus* Naum. sp. n. Воронежская область, воронежские слои
- Фиг. 17. *Lophotriletes trivialis* Naum. sp. n. Воронежская область, с. Рудкино, рудкинские слои
- Фиг. 18. *Lophotriletes normalis* Naum. sp. n. Воронежская область, щигровские слои
- Фиг. 19. *Lophotriletes rotundus* Naum. sp. n. Калужская область, щигровские слои
- Фиг. 20. *Lophotriletes magnus* Naum. sp. n. Калужская область, верхнетерригенный комплекс, нижнешигровские слои
- Сиг. 21, 22. *Chomotriletes vedugensis* Naum. sp. n. Воронежская область, в основании воронежских слоев, на р. Ведуге
- Фиг. 23. *Brochotriletes foveolatus* Naum. sp. n. var. *minor* Naum. Воронежская область, воронежские слои
- Фиг. 24. *Brochotriletes foveolatus* Naum. sp. n. var. *major* Naum. Воронежская область, воронежские слои
- Фиг. 25. *Dictyotriletes devonicus* Naum. sp. n. Воронежская область, нижнешигровские слои

Таблица VII

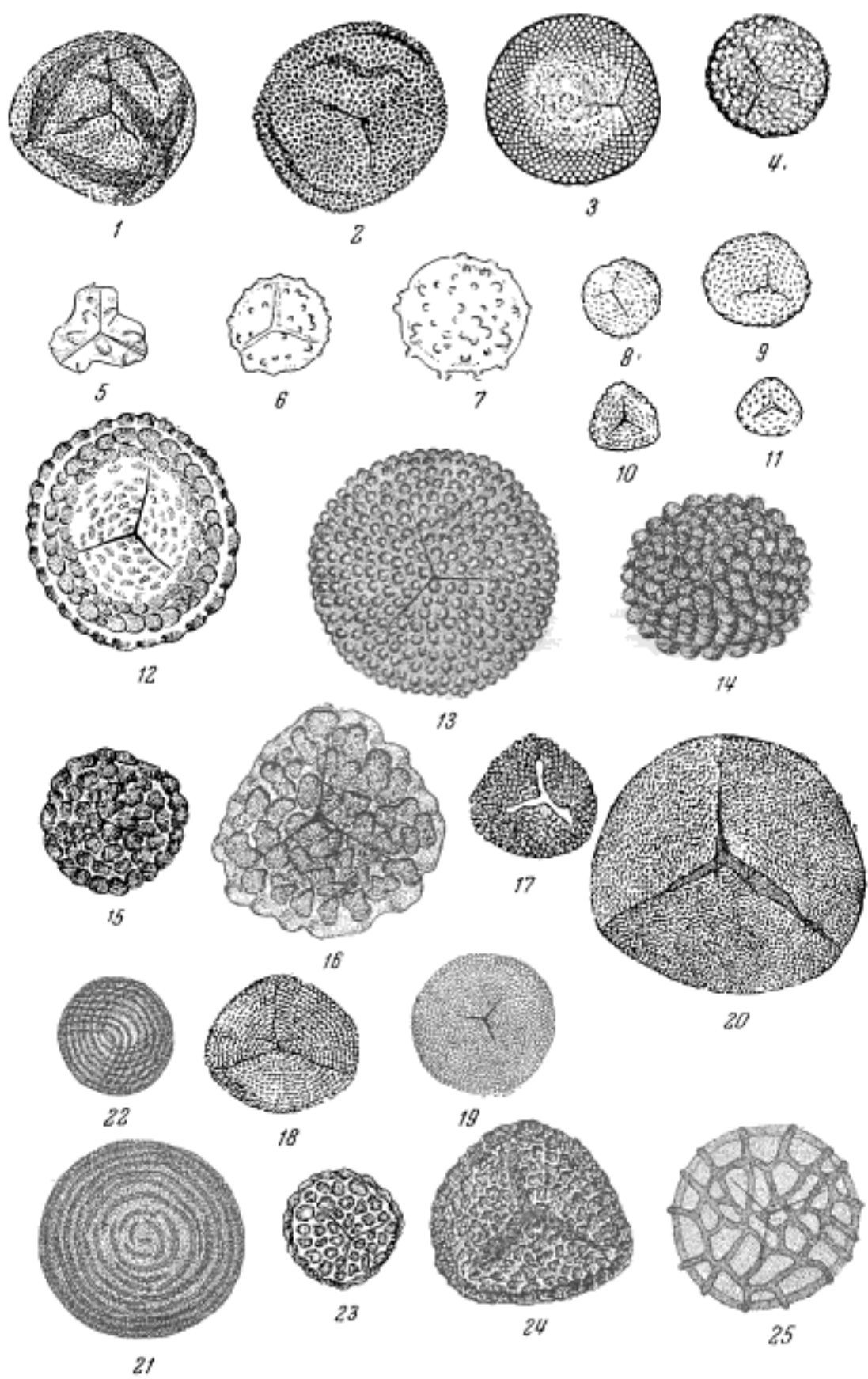


Таблица VIII

- Фиг. 1. Нутепозонотрилете *turbanatus* (Waltz) Naum. Воронежская область, с. Петино, петинские слои
- Фиг. 2. Нутепозонотрилете *elegans* (Waltz) Naum. Воронежская область, воронежские слои
- Фиг. 3. Нутепозонотрилете *dilectus* Naum. sp. n. Воронежская область, воронежские слои
- Фиг. 4. Нутепозонотрилете *trivialis* Naum. sp. n. Воронежская область, с. Петино, воронежские слои
- Фиг. 5. Нутепозонотрилете *medius* Naum. sp. n. Воронежская область, с. Петино, петинские слои
- Фиг. 6. Нутепозонотрилете *velatus* Naum. sp. n. Воронежская область, воронежские слои
- Фиг. 7. Нутепозонотрилете *denticulatus* Naum. sp. n. Воронежская область, воронежские слои
- Фиг. 8. Нутепозонотрилете *rarus* Naum. sp. n. Воронежская область, с. Рудкино, рудкинские слои
- Фиг. 9. Нутепозонотрилете *varabilis* Naum. sp. n. Воронежская область, воронежские слои
- Фиг. 10. Нутепозонотрилете *platyrugosus* Naum. sp. n. Воронежская область, с. Петино, петинские слои
- Фиг. 11. Нутепозонотрилете *polystichus* Naum. sp. n. Башкирская АССР, Туймазы, низы щигровских слоев
- Фиг. 12. Нутепозонотрилете *Tichomirovii* Naum. sp. n. Чкаловская область, Байтуган, березовская свита
- Фиг. 13. Нутепозонотрилете *radiatus* Naum. sp. n. Воронежская область, воронежские слои
- Фиг. 14. Нутепозонотрилете *spinulosus* Naum. sp. n. Воронежская область, нижнешагровские слои
- Фиг. 15. Нутепозонотрилете *melanidus* Naum. sp. n. Калужская область, нижнешагровские слои
- Фиг. 16. Нутепозонотрилете *meonacanthus* Naum. sp. n. Воронежская область, с. Петино, петинские слои
- Фиг. 17. Нутепозонотрилете *mancus* Naum. sp. n. Воронежская область, воронежские слои
- Фиг. 18. Нутепозонотрилете *imperfectus* Naum. sp. n. Воронежская область, с. Петино, воронежские слои
- Фиг. 19. Нутепозонотрилете *rugilobus* Naum. sp. n. Воронежская область, Конь-Колодезь, евлановские слои
- Фиг. 20. Нутепозонотрилете *evlanensis* Naum. sp. n. Воронежская область, Конь-Колодезь, евлановские слои
- Фиг. 21. Нутепозонотрилете *angulatus* Naum. sp. n. Воронежская область, Конь-Колодезь, евлановские слои
- Фиг. 22. Нутепозонотрилете *livensis* Naum. sp. n. Воронежская область, Конь-Колодезь, евлановские слои

Таблица VIII

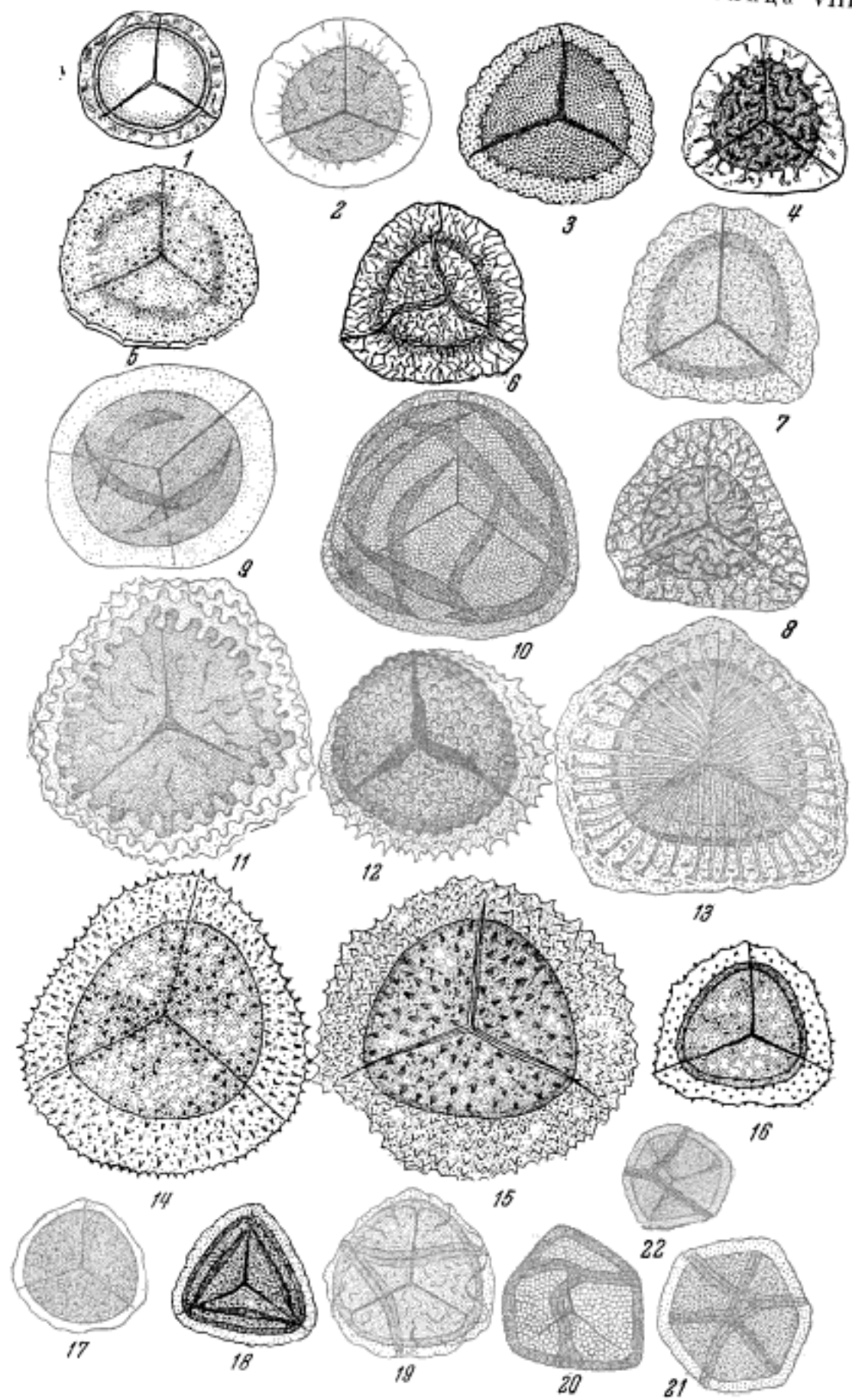


Таблица IX

- Фиг. 1. Нутеноzonotriletes speciosus Naum. sp. n. Воронежская область, воронежские слои
- Фиг. 2. Нутеноzonotriletes primarius Naum. sp. n. Воронежская область, воронежские слои
- Фиг. 3. Нутеноzonotriletes tenellus Naum. sp. n. Воронежская область, воронежские слои
- Фиг. 4. Нутеноzonotriletes eximus Naum. sp. n. Воронежская область, воронежские слои
- Фиг. 5. Нутеноzonotriletes bellus Naum. sp. n. Воронежская область, с. Хворостань, подрудниковые слои
- Фиг. 6. Нутеноzonotriletes domanicus Naum. sp. n. Воронежская область, с. Хворостань, подрудниковые слои
- Фиг. 7. Нутеноzonotriletes Krestovnikovii Naum. sp. n. Чкаловская область, Байтуган, яблоновская свита
- Фиг. 8. Нутеноzonotriletes deliquesens Naum. sp. n. Воронежская область, воронежские слои
- Фиг. 9. Нутеноzonotriletes argutus Naum. sp. n. Воронежская область, с. Петино, семилукские слои
- Фиг. 10. Нутеноzonotriletes dentatus Naum. sp. n. Чкаловская область, Байтуган, яблоновская свита
- Фиг. 11. Нутеноzonotriletes incisus Naum. sp. n. Калужская область, нижнешигровские слои
- Фиг. 12. Нутеноzonotriletes laciniatus Naum. sp. n. Воронежская область, с. Петино, семилукские слои

Таблица IX

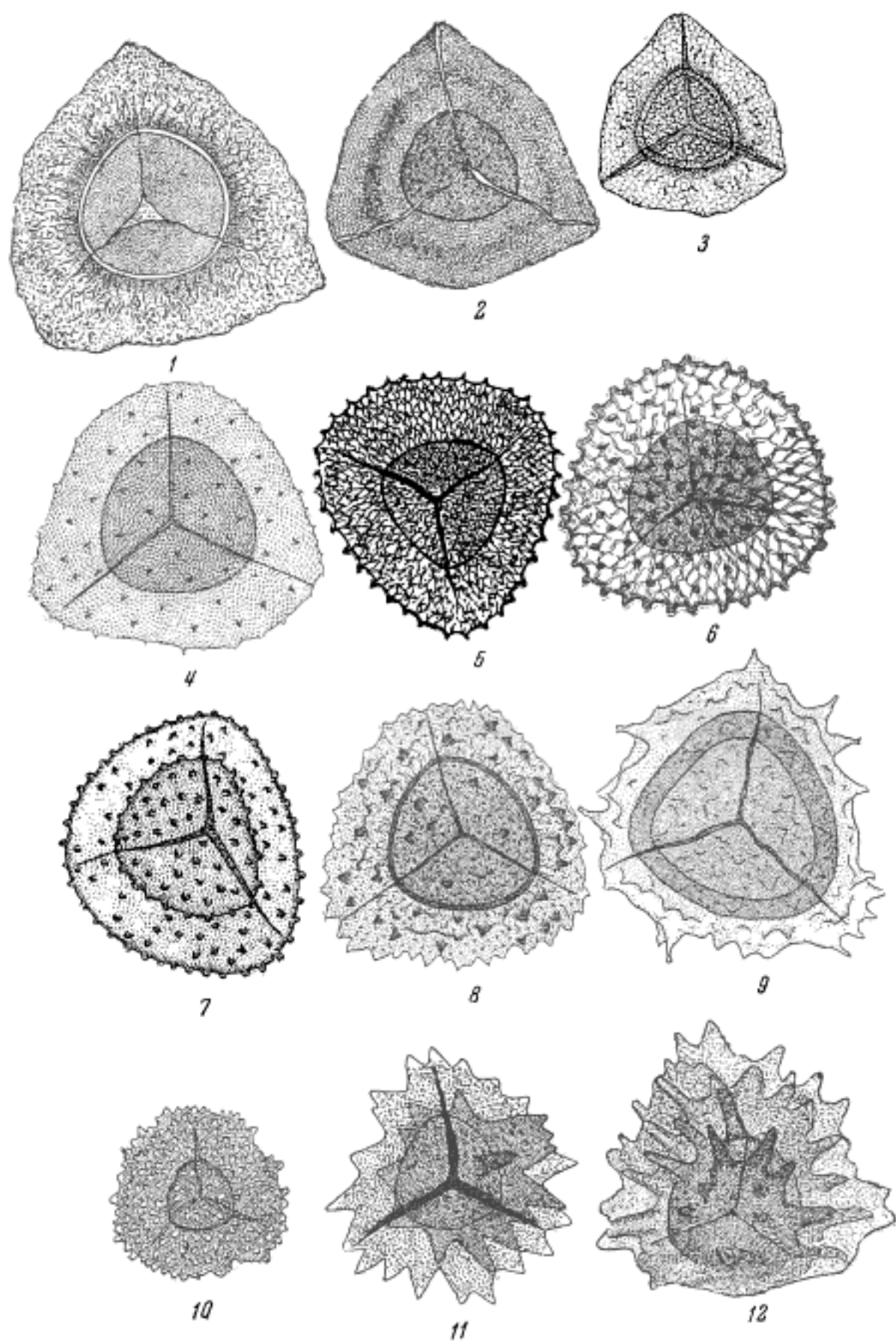


Таблица X

- Фиг. 1, 2. *Stenozonotriletes simplicissimus* Naum. sp. n. Воронежская область, с. Петино, петинские слои
- Фиг. 3. *Stenozonotriletes simplex* Naum. sp. n. Воронежская область, с. Петино, воронежские слои
- Фиг. 4—6. *Stenozonotriletes pumilus* (Waltz) Naum. Воронежская область, с. Петино, петинские слои
- Фиг. 7. *Stenozonotriletes calamites* Naum. sp. n. Чкаловская область, Байтуган, яблоновская свита
- Фиг. 8. *Stenozonotriletes recognitus* Naum. sp. n. Чкаловская область, Байтуган, яблоновская свита
- Фиг. 9, 10. *Stenozonotriletes laevigatus* Naum. sp. n. Воронежская область, с. Петино, петинские слои
- Фиг. 11, 12. *Stenozonotriletes conformis* Naum. sp. n. Воронежская область, с. Петино, воронежские слои
- Фиг. 13. *Stenozonotriletes tersus* (Waltz) Naum. Чкаловская область, Байтуган, яблоновская свита
- Фиг. 14. *Stenozonotriletes manifestus* Naum. sp. n. Чкаловская область, Байтуган, яблоновская свита
- Фиг. 15. *Stenozonotriletes glabellus* Naum. sp. n. Воронежская область, воронежские слои
- Фиг. 16, 17. *Stenozonotriletes definitus* Naum. sp. n. Чкаловская область, Байтуган, яблоновская свита
- Фиг. 18. *Stenozonotriletes formosus* Naum. sp. n. Чкаловская область, Байтуган, шугуровская свита
- Фиг. 19. *Stenozonotriletes extensus* Naum. sp. n. var. *major* Naum. Чкаловская область, Байтуган, яблоновская свита
- Фиг. 20. *Stenozonotriletes extensus* Naum. sp. n. var. *medius* Naum. Чкаловская область, Байтуган, яблоновская свита
- Фиг. 21. *Stenozonotriletes extensus* Naum. sp. n. var. *minor* Naum. Чкаловская область, Байтуган, яблоновская свита
- Фиг. 22. *Stenozonotriletes millegranus* Naum. sp. n. Чкаловская область, Байтуган, яблоновская свита
- Фиг. 23. *Stenozonotriletes lasius* Naum. sp. n. Чкаловская область, Байтуган, яблоновская свита
- Фиг. 24. *Stenozonotriletes trivialis* Naum. sp. n. Воронежская область, с. Петино, петинские слои
- Фиг. 25. *Stenozonotriletes zonalis* Naum. sp. n. Воронежская область, с. Петино, петинские слои

Таблица X

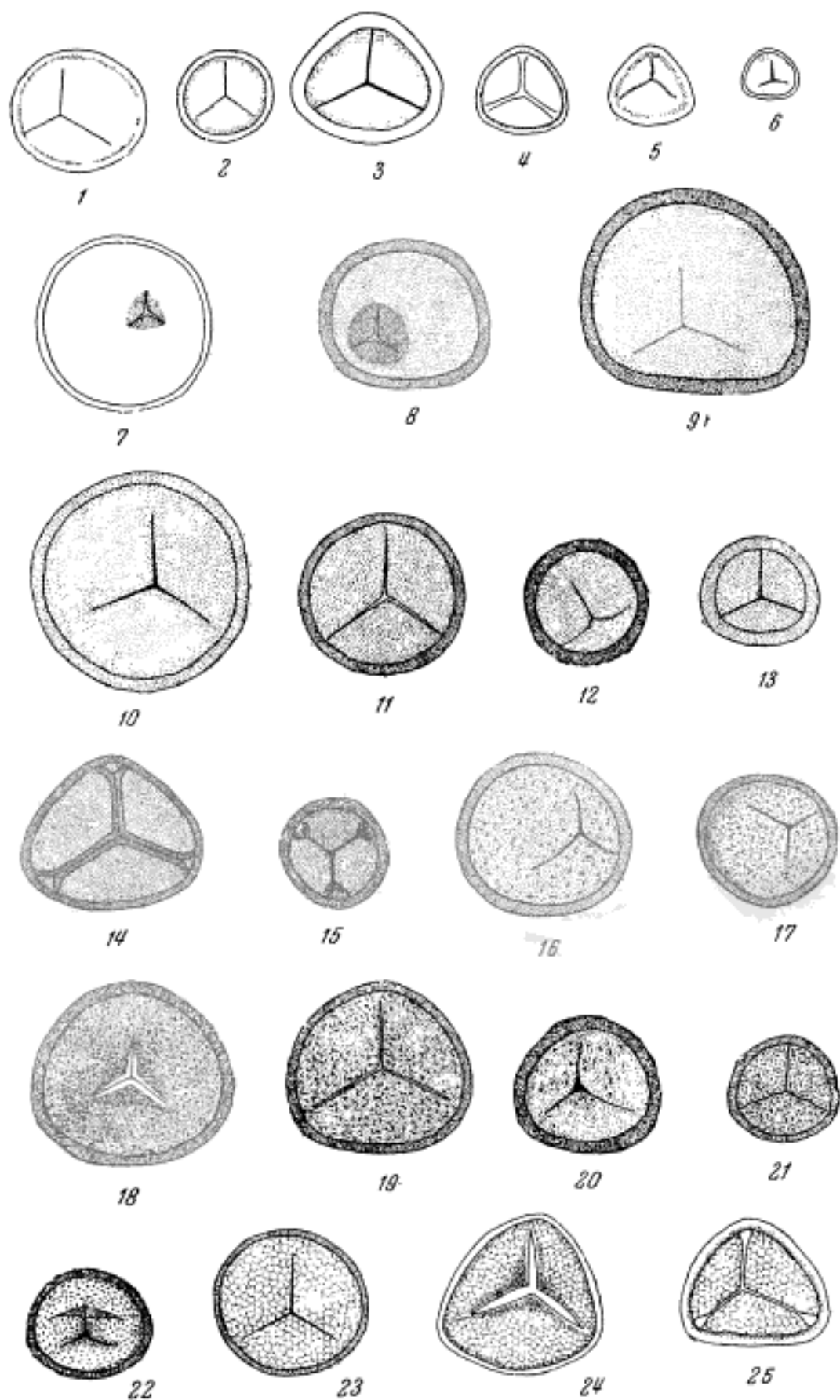


Таблица XI

- Фиг. 1, 2. *Stenozonotriletes ornatus* Naum. sp. n. Воронежская область, с. Петино, петинские слои
- Фиг. 3. *Stenozonotriletes spetcandus* Naum. sp. n. Воронежская область, с. Петино, петинские слои
- Фиг. 4. *Stenozonotriletes infirmus* Naum. sp. n. Воронежская область, воронежские слои
- Фиг. 5, 6. *Lophozonotriletes grandis* Naum. sp. n. Чкаловская область, Байтуган, яблоновская свита
- Фиг. 7, 8. *Lophozonotriletes concessus* Naum. sp. n. Воронежская область, с. Петино, воронежские слои
- Фиг. 9. *Lophozonotriletes retusus* Naum sp. n. Воронежская область, воронежские слои
- Фиг. 10. *Lophozonotriletes gramosus* Naum. sp. n. Воронежская область, воронежские слои
- Фиг. 11. *Lophozonotriletes rarituberculatus* Naum. sp. n. Воронежская область, с. Петино, петинские слои
- Фиг. 12. *Lophozonotriletes torosus* Naum. sp. n. Воронежская область, с. Петино, петинские слои
- Фиг. 13. *Lophozonotriletes tylophorus* Naum. sp. n. Воронежская область, воронежские слои
- Фиг. 14. *Lophozonotriletes crassatus* Naum. sp. n. Воронежская область, с. Петино, петинские слои
- Фиг. 15. *Lophozonotriletes evlanensis* Naum. sp. n. Воронежская область, евлановские слои
- Фиг. 16. *Lophozonotriletes gibberulus* Naum. sp. n. Воронежская область, с. Петино, воронежские слои
- Фиг. 17. *Lophozonotriletes curvatus* Naum. sp. n. Воронежская область, с. Рудкино, рудкинские слои
- Фиг. 18. *Lophozonotriletes excisus* Naum. sp. n. Калужская область, нижнептигровские слои
- Фиг. 19—21. *Archaeozonotriletes polymorphus* Naum. sp. n. Воронежская область, Конь-Колодезь, евлановские слои
- Фиг. 22—23. *Archaeozonotriletes strangulatus* Naum. sp. n. Воронежская область, Конь-Колодезь, евлановские слои
- Фиг. 24. *Archaeozonotriletes crenatus* Naum. sp. n. Куйбышевская область, Красная Поляна, воронежские слои

Таблица XI

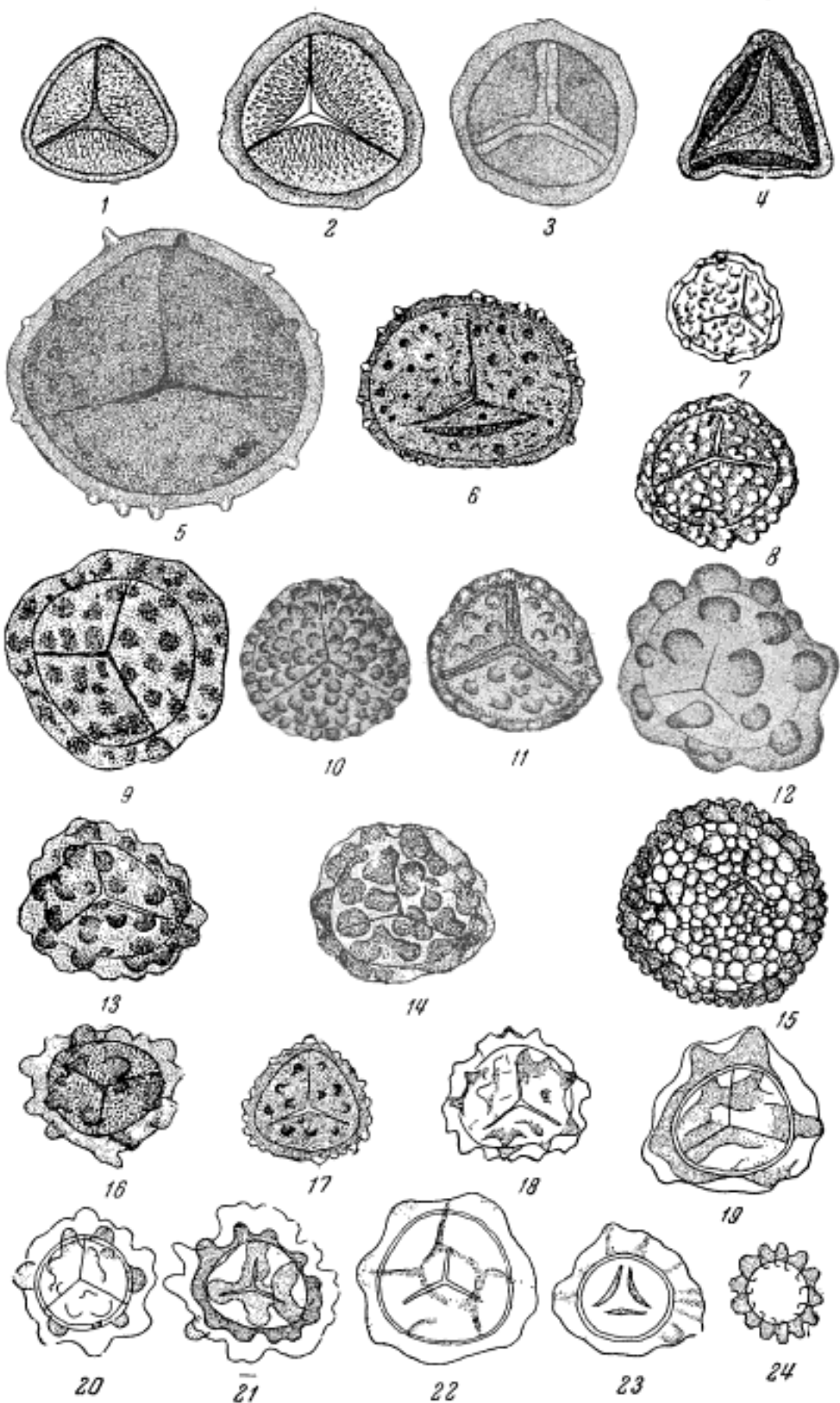


Таблица XII

- Фиг. 1. *Archaeozonotriletes macromanifestus* Naum. sp. n. Чкаловская область, Байтуган, яблоновская свита
- Фиг. 2—4. *Archaeozonotriletes micromanifestus* Naum. Чкаловская область, Байтуган, яблоновская свита
- Фиг. 5. *Archaeozonotriletes opiparus* Naum. sp. n. Воронежская область, с. Петино, петинские слои
- Фиг. 6. *Archaeozonotriletes comptus* Naum. sp. n. Калужская область, низы щигровских слоев
- Фиг. 7. *Archaeozonotriletes singularis* Naum. sp. n. Калужская область, низы щигровских слоев
- Фиг. 8—11. *Archaeozonotriletes variabilis* Naum. Чкаловская область, Байтуган, яблоновская свита
- Фиг. 12. *Archaeozonotriletes Tschernovii* Naum. sp. n. Чкаловская область, Байтуган яблоновская свита
- Фиг. 13. *Archaeozonotriletes triquetrus* Naum. sp. n. Воронежская область, с. Петино, петинские слои
- Фиг. 14. *Archaeozonotriletes timanicus* Naum. sp. n. Воронежская область, с. Петино, петинские слои

Таблица XII

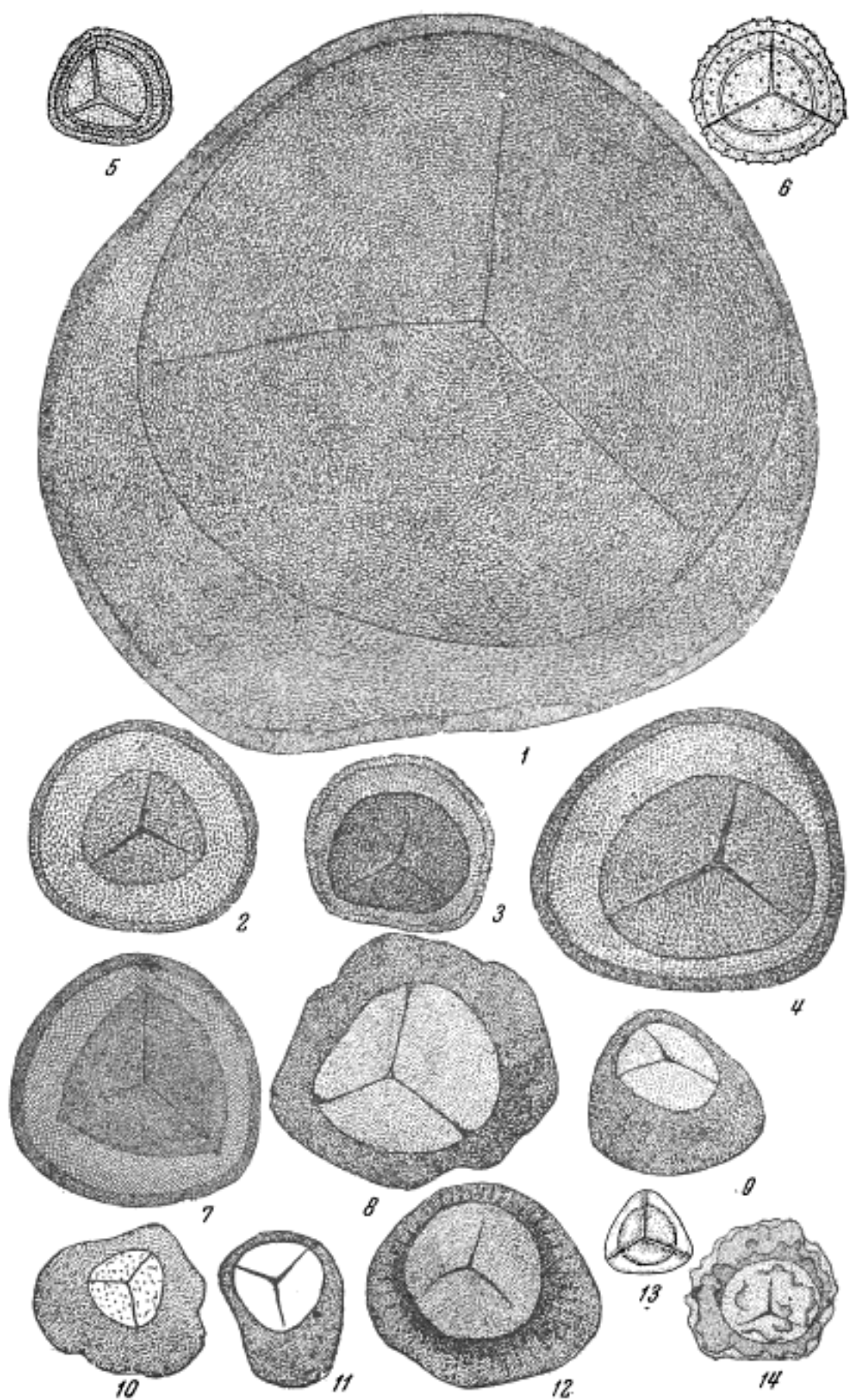


Таблица XIII

- Фиг. 1. *Archaeozonotriletes aculeatus* Naum. sp. n. Доманиковая свита северо-восточных районов Русской платформы
- Фиг. 2. *Archaeozonotriletes decumanus* Naum. sp. n. Доманиковая свита северо-восточных районов Русской платформы
- Фиг. 3, 4. *Archaeozonotriletes echinatus* Naum. sp. n. Доманиковая свита северо-восточных районов Русской платформы
- Фиг. 5. *Archaeozonotriletes regularis* Naum. sp. n. Воронежская область, с. Петино, петинские слои
- Фиг. 6. *Archaeozonotriletes stenolomus* Naum. sp. n. Калужская область, верхнетерригенный комплекс, нижнешигровские слои
- Фиг. 7—9. *Archaeozonotriletes variabilis* Naum. Воронежская область, с. Петино, петинские слои
- Фиг. 10. *Archaeozonotriletes antiquus* Naum. sp. n. Воронежская область, семилукские слои
- Фиг. 11. *Archaeozonotriletes primarius* Naum. sp. n. Калужская область, нижнешигровские слои
- Фиг. 12. *Archaeozonotriletes notatus* Naum. sp. n. Чкаловская область, Байтуган, шугуровские слои
- Фиг. 13. *Archaeozonotriletes compactus* Naum. sp. n. Калужская область, низы щигровских слоев
- Фиг. 14. *Archaeozonotriletes subcompactus* Naum. sp. n. Калужская область, нижнешигровские слои
- Фиг. 15. *Archaeozonotriletes semilucensis* Naum. Воронежская область, с. Петино, семилукские слои
- Фиг. 16. *Archaeozonotriletes basilaris* Naum. sp. n. Калужская область, низы щигровских слоев
- Фиг. 17. *Archaeozonotriletes rugosus* Naum. sp. n. Калужская область, низы щигровских слоев
- Фиг. 18. *Archaeozonotriletes Nalivkinii* Naum. sp. n. Воронежская область, с. Петино, петинские слои
- Фиг. 19. *Archaeozonotriletes pusillus* Naum. sp. n. Воронежская область мамоновские слои
- Фиг. 20. *Archaeozonotriletes extensus* Naum. sp. n. Чкаловская область, Байтуган, низы яблоновской свиты
- Фиг. 21. *Archaeozonotriletes devonicus* Naum. sp. n. Воронежская область, с. Петино, петинские слои

Таблица XIII

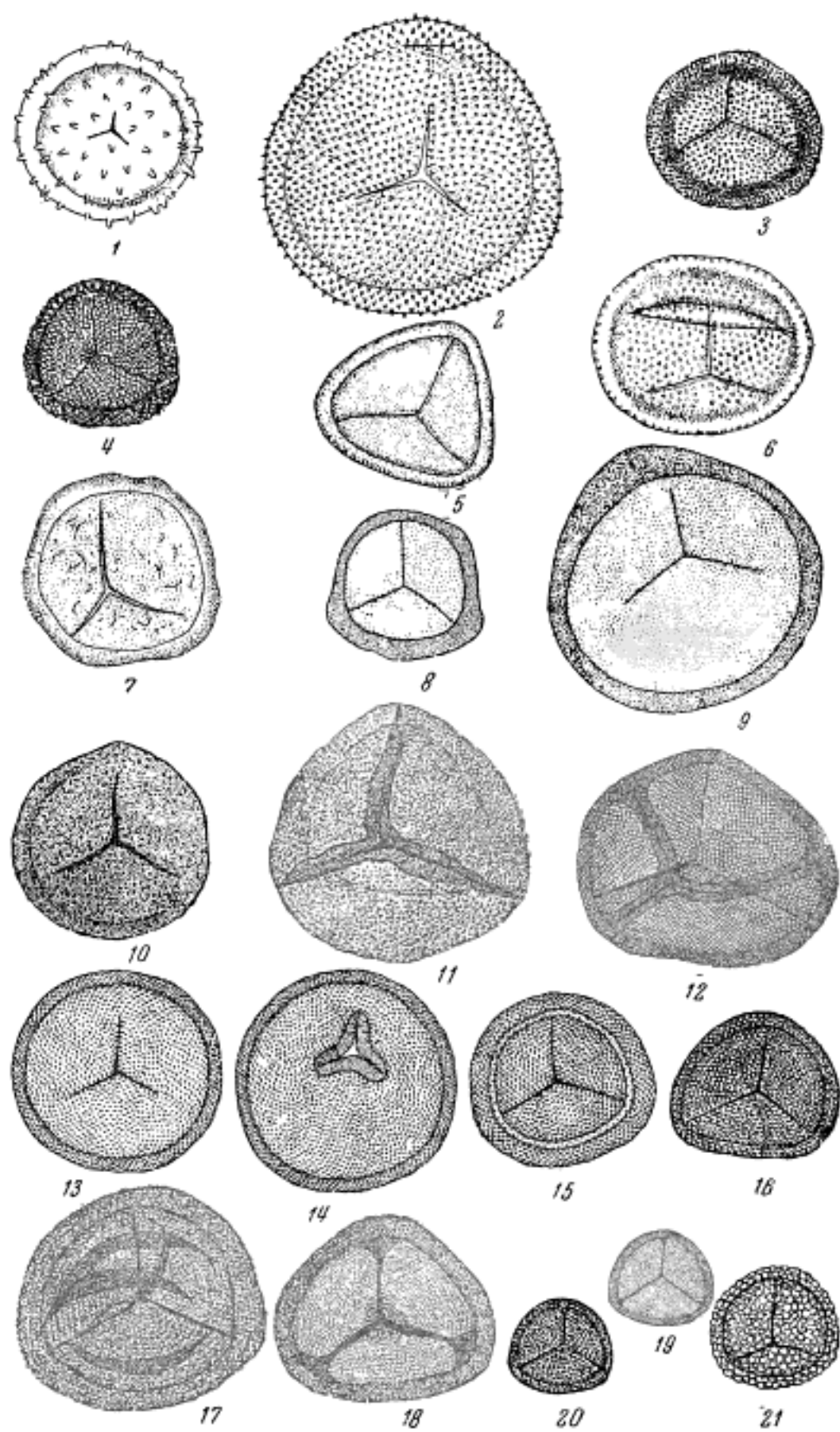
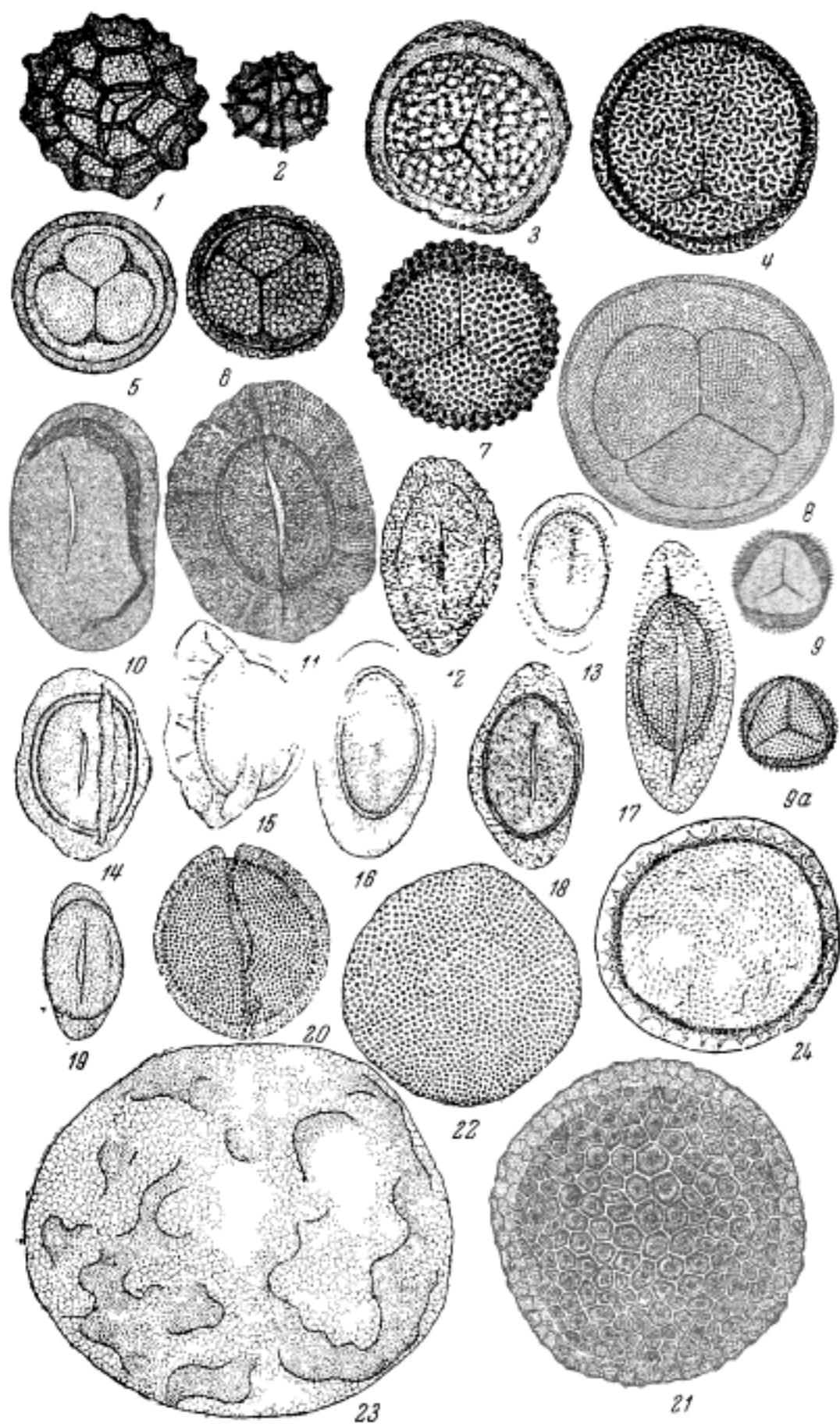


Таблица XIV

- Фиг. 1. *Archaeozonotriletes retiformis* Naum. sp. п. Калужская область, нижне-щигровские слои
- Фиг. 2. *Archaeozonotriletes perlatus* Naum. sp. п. Воронежская область, мамоновские слои
- Фиг. 3. *Archaeozonotriletes foveolatus* Naum. sp. п. Калужская область, нижнешигровские слои
- Фиг. 4. *Archaeozonotriletes gloriosus* Naum. sp. п. Воронежская область, воронежские слои
- Фиг. 5. *Retusotriletes Psychovii* Naum. sp. п. Воронежская область, с. Петино, семилукские слои
- Фиг. 6. *Retusotriletes semilucensis* Naum. sp. п. Воронежская область, с. Петино, петинские слои
- Фиг. 7. *Retusotriletes domanicus* Naum. sp. п. Доманиковая свита северо-восточных районов Русской платформы
- Фиг. 8. *Retusotriletes parvimammatus* Naum. sp. п. Калужская область, нижнешигровские слои
- Фиг. 9. *Camarozonotriletes obtusus* Naum. sp. п. Воронежская область, с. Рудкино, рудкинские слои
- Фиг. 9а. *Camarozonotriletes devonicus* Naum. sp. п. Воронежская область, с. Рудкино, рудкинские слои
- Фиг. 10. *Axonoponoletes rarus* Naum. sp. п. Воронежская область, воронежские слои
- Фиг. 11. *Archaeoperisaccus mirandus* Naum. sp. п. Воронежская область, с. Петино, петинские слои
- Фиг. 12. *Archaeoperisaccus angustus* Naum. sp. п. Воронежская область, с. Петино, петинские слои
- Фиг. 13. *Archaeoperisaccus ovalis* Naum. sp. п. Воронежская область, с. Петино, петинские слои
- Фиг. 14—15. *Archaeoperisaccus mirus* Naum. sp. п. Воронежская область, с. Петино, петинские слои
- Фиг. 16. *Archaeoperisaccus elongatus* Naum. sp. п. Воронежская область, с. Петино, петинские слои
- Фиг. 17. *Archaeoperisaccus Menneri* Naum. sp. п. Воронежская область, с. Петино, петинские слои
- Фиг. 18. *Archaeoperisaccus concinnus* Naum. sp. п. Воронежская область, с. Петино, петинские слои
- Фиг. 19. *Archaeoperisaccus completus* Naum. sp. п. Воронежская область, с. Петино, петинские слои
- Фиг. 20. *Perisaccus cognitus* Naum. sp. п. Воронежская область, низы воронежских слоев
- Фиг. 21. *Perisaccus reticulatus* Naum. sp. п. Доманиковая свита северо-восточных районов Русской платформы
- Фиг. 22. *Perisaccus devonicus* Naum. sp. п. Доманиковая свита северо-восточных районов Русской платформы
- Фиг. 23. *Perisaccus domanicus* Naum. sp. п. Доманиковая свита северо-восточных районов Русской платформы
- Фиг. 24. *Perisaccus verruculatus* Naum. sp. п. Доманиковая свита северо-восточных районов Русской платформы

Таблица XIV



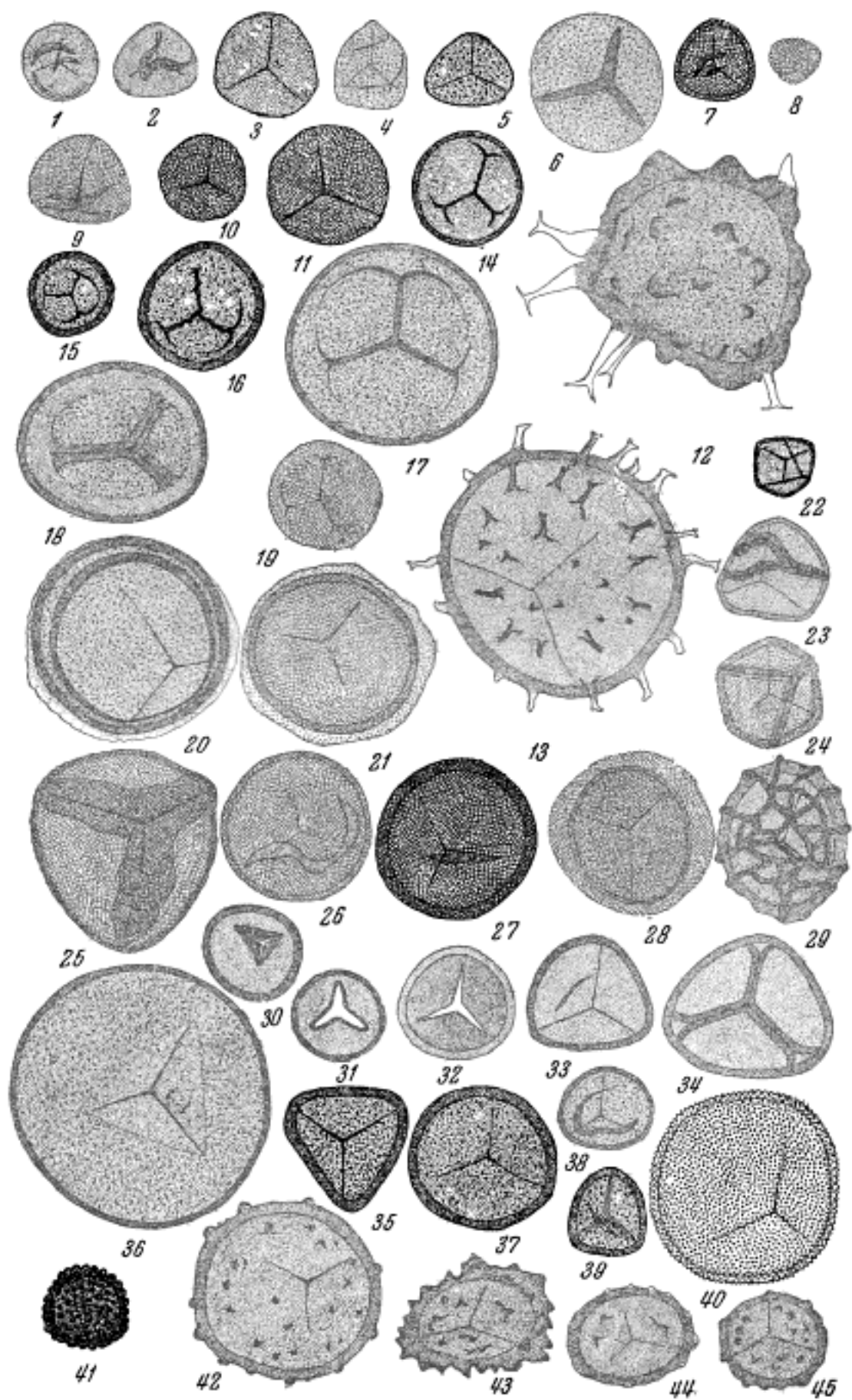
ФАМЕНСКИЙ ЯРУС

Задонские слои

Таблица XV

- Фиг. 1. *Leiotriletes simplicissimus* Naum. Орловская обл., Русский Брод, задонские слои
 Фиг. 2. *Leiotriletes pusillus* Naum. sp. n. Орловская обл., Русский Брод, задонские слои
 Фиг. 3. *Leiotriletes trivialis* Naum. Орловская обл., Русский Брод, задонские слои
 Фиг. 4. *Trachytriletes solidus* Naum. Орловская обл., Русский Брод, задонские слои
 Фиг. 5. *Trachytriletes minor* Naum. Орловская обл., Русский Брод, задонские слои
 Фиг. 6. *Trachytriletes punctulatus* Naum. sp. n. Орлов. обл., Русский Брод, задонские слои
 Фиг. 7. *Acanthotriletes minutissimus* Naum. sp. n. Орловская обл., Русский Брод, задонские слои
 Фиг. 8. *Lophotriletes minor* Naum. Орловская обл., Русский Брод, задонские слои
 Фиг. 9. *Lophotriletes rugosus* Naum. var. *minor* Naum. Орловская обл., Русский Брод, задонские слои
 Фиг. 10. *Lophotriletes rotundus* Naum. sp. n. var. *minor* Naum. Орловская обл., Русский Брод, задонские слои
 Фиг. 11. *Lophotriletes rotundus* Naum. sp. n. Орлов. обл., Русский Брод, задонские слои
 Фиг. 12. *Archaeotriletes gibbosus* Naum. sp. n. Орлов. обл., Русский Брод, задонские слои
 Фиг. 13. *Archaeotriletes hamulus* Naum. sp. n. var. *famenensis* Naum. sp. n. Орловская обл., Русский Брод, задонские слои
 Фиг. 14. *Retusotriletes simplex* Naum. Орлов. обл., Русский Брод, задонские слои
 Фиг. 15—17. *Retusotriletes communis* Naum. sp. n. Орловская обл., Русский Брод, задонские слои
 Фиг. 18. *Retusotriletes famenensis* Naum. sp. n. Орловская обл., Русский Брод, задонские слои
 Фиг. 19. *Retusotriletes microthelis* Naum. sp. n. Орловская обл., Русский Брод, задонские слои
 Фиг. 20. *Nymenozonotriletes zadonicus* Naum. sp. n. Орловская обл., Русский Брод, задонские слои
 Фиг. 21. *Nymenozonotriletes limpidus* Naum. sp. n. Орловская обл., Русский Брод, задонские слои
 Фиг. 22—23. *Nymenozonotriletes livnensis* Naum. Орловская обл., Русский Брод, задонские слои
 Фиг. 24. *Nymenozonotriletes angulosus* Naum. sp. n. Орловская обл., Русский Брод, задонские слои
 Фиг. 25. *Archaeozonotriletes atratus* Naum. sp. n. Орловская обл., Русский Брод, задонские слои
 Фиг. 26, 27. *Archaeozonotriletes compactus* Naum. Орловская обл., Русский Брод, задонские слои
 Фиг. 28. *Archaeozonotriletes semilucensis* Naum. Орловская обл., Русский Брод, задонские слои
 Фиг. 29. *Archaeozonotriletes perlatus* Naum. Орловская обл., Русский Брод, задонские слои
 Фиг. 30. *Stenozonotriletes recognitus* Naum. sp. n. var. *minor* Naum. v. n. Орловская обл., Русский Брод, задонские слои
 Фиг. 31, 32. *Stenozonotriletes conformis* Naum. Орловская обл., Русский Брод, задонские слои
 Фиг. 33. *Stenozonotriletes simplex* Naum. Орловская обл., Русский Брод, задонские слои
 Фиг. 34. *Stenozonotriletes manifestus* Naum. Орловская обл., Русский Брод, задонские слои
 Фиг. 35. *Stenozonotriletes conspersus* Naum. sp. n. Орловская обл., Русский Брод, задонские слои
 Фиг. 36. *Stenozonotriletes fulvus* Naum. sp. n. Орловская обл., Русский Брод, задонские слои
 Фиг. 37. *Stenozonotriletes definitus* Naum. Орловская обл., Русский Брод, задонские слои
 Фиг. 38, 39. *Stenozonotriletes extensus* Naum. sp. var. *zadonicus* Naum. v. n. Орловская обл., Русский Брод, задонские слои
 Фиг. 40. *Stenozonotriletes zadonicus* Naum. sp. n. Орловская обл., Русский Брод, задонские слои
 Фиг. 41. *Lophozonotriletes grumosus* Naum. sp. n. var. *minor* Naum. v. n. Орловская обл., Русский Брод, задонские слои
 Фиг. 42. *Lophozonotriletes grandis* Naum. sp. n. var. *minor* Naum. v. n. Орловская обл., Русский Брод, задонские слои
 Фиг. 43—45. *Lophozonotriletes curvatus* Naum. Орловская обл., Русский Брод, задонские слои

Таблица XV



ФАМЕНСКИЙ ЯРУС

Елецкий подъярус

Таблица XVI

- Фиг. 1. *Leiotriletes microrugosus* (Ibr.) Naum. Сталинград. обл., Арчеда, аграмачские слои
- Фиг. 2. *Leiotriletes simplicissimus* Naum. Сталинград. обл., Арчеда, аграмачские слои
- Фиг. 3. *Leiotriletes atavus* Naum. Сталинград. обл., Арчеда, аграмачские слои
- Фиг. 4. *Leiotriletes plicatus* (Waltz) Naum. Сталинград. обл., Арчеда, аграмачские слои
- Фиг. 5. *Leiotriletes pusillus* Naum. Сталинград. обл., Арчеда, аграмачские слои
- Фиг. 6. *Leiotriletes trivialis* Naum. Орлов. обл., г. Елец, аграмачские слои
- Фиг. 7. *Leiotriletes dicksonialis* Naum. sp. н. Орлов. обл., Елец, аграмачские слои
- Фиг. 8—10. *Trachytriletes solidus* Naum. Сталинград. обл., Арчеда, аграмачские слои
- Фиг. 11—14. *Trachytriletes famenensis* Naum. sp. н. Сталинград. обл., Арчеда, аграмачские слои
- Фиг. 15. *Trachytriletes typicus* Naum. sp. н. Сталинград. обл., Арчеда, аграмачские слои
- Фиг. 16. *Trachytriletes minor* Naum. Орлов. обл., г. Елец, аграмачские слои
- Фиг. 17. *Acanthotriletes similis* Naum. sp. н. Сталинград. обл., Арчеда, аграмачские слои
- Фиг. 18. *Acanthotriletes tenuispinosus* Naum. sp. н. var. *famenensis* Naum. Орлов. обл., г. Елец, аграмачские слои
- Фиг. 19. *Acanthotriletes vulgaris* Naum. sp. н. Сталинград. обл., Арчеда, аграмачские слои
- Фиг. 20. *Acanthotriletes denticulatus* Naum. Сталинград. обл., Арчеда, аграмачские слои
- Фиг. 21. *Acanthotriletes pullus* Naum. sp. н. Сталинград. обл., Арчеда, аграмачские слои
- Фиг. 22, 23. *Acanthotriletes famenensis* Naum. sp. н. Сталинград. обл., Арчеда, аграмачские слои
- Фиг. 24. *Acanthotriletes paucispinus* Naum. sp. н. Сталинград. обл., Арчеда, аграмачские слои
- Фиг. 25. *Lophotriletes rugatus* Naum. sp. н. Сталинград. обл., Арчеда, аграмачские слои
- Фиг. 26—28. *Lophotriletes rugosus* Naum. var. *minor* Naum. v. н. Сталинград. обл., Арчеда, аграмачские слои
- Фиг. 29, 30. *Lophotriletes rotundus* Naum. sp. н. var. *minor* Naum. v. н. Сталинград. обл., Арчеда, аграмачские слои
- Фиг. 31. *Lophotriletes megalothelis* Naum. sp. н. Сталинград. обл., Арчеда, аграмачские слои
- Фиг. 32. *Lophotriletes minor* Naum. Сталинград. обл., Арчеда, аграмачские слои
- Фиг. 33. *Lophotriletes normalis* Naum. Сталинград. обл., Арчеда, аграмачские слои
- Фиг. 34. *Lophotriletes rotundus* Naum. sp. н. Сталинград. обл., Арчеда, аграмачские слои
- Фиг. 35. *Lophotriletes turbinatus* Naum. sp. н. Сталинград. обл., Арчеда, аграмачские слои
- Фиг. 36. *Lophotriletes Zalleskyi* Naum. Сталинград. обл., Арчеда, аграмачские слои
- Фиг. 37, 38. *Lophotriletes salebrosus* Naum. sp. н. var. *famenensis* Naum. Сталинград. обл., Арчеда, аграмачские слои
- Фиг. 39. *Dictyotriletes famenensis* Naum. sp. н. Орлов. обл., г. Елец, аграмачские слои
- Фиг. 40. *Dictyotriletes varius* Naum. sp. н. Сталинград. обл., Арчеда, аграмачские слои
- Фиг. 41. *Retusotriletes Pyjchovii* Naum. Сталинград. обл., Арчеда, аграмачские слои
- Фиг. 42. *Retusotriletes communis* Naum. Орлов. обл., г. Елец, аграмачские слои
- Фиг. 43. *Retusotriletes microthelis* Naum. sp. н. Орлов. обл., г. Елец, аграмачские слои
- Фиг. 44. *Retusotriletes famenensis* Naum. sp. н. Сталинград. обл., Арчеда, аграмачские слои

Таблица XVI

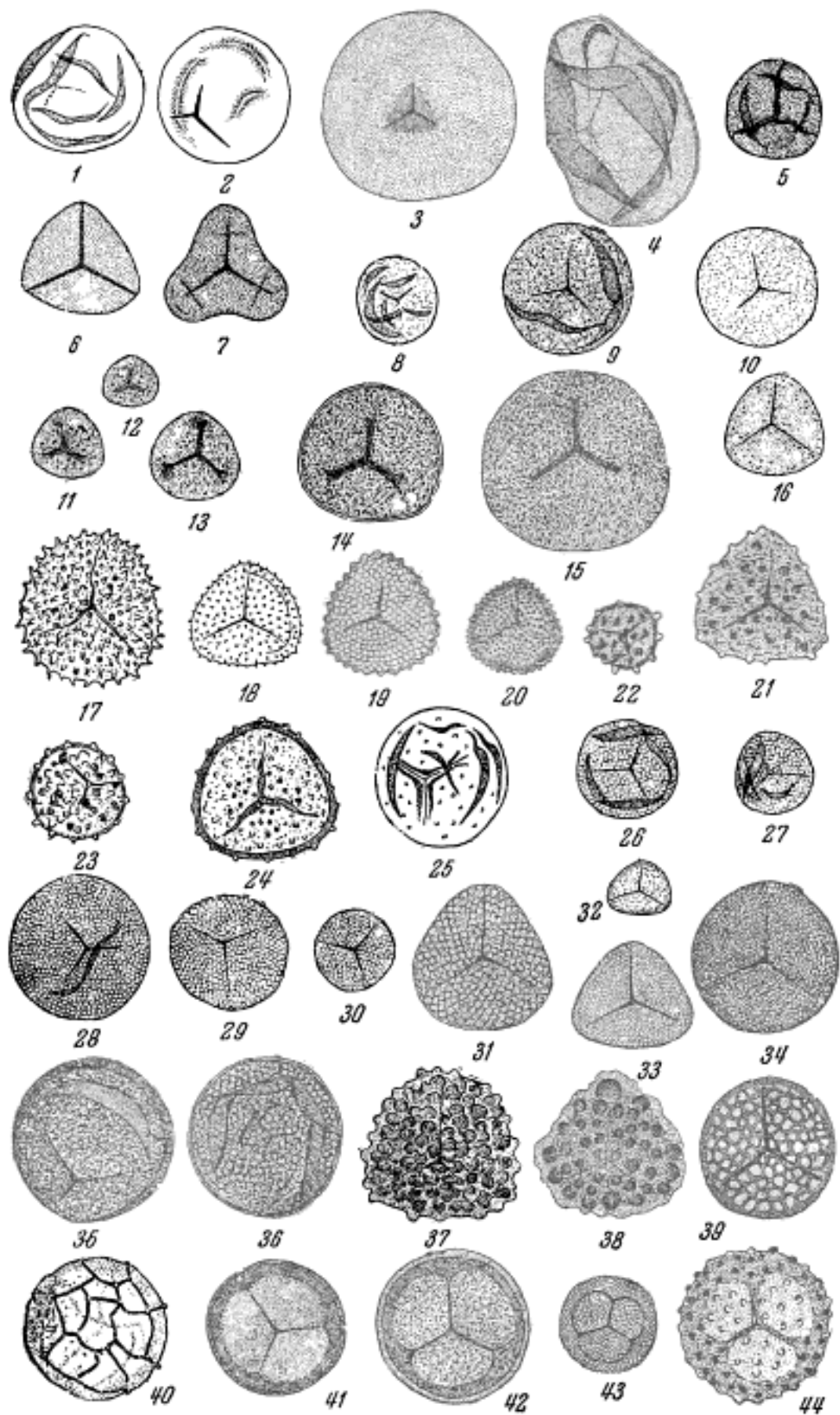
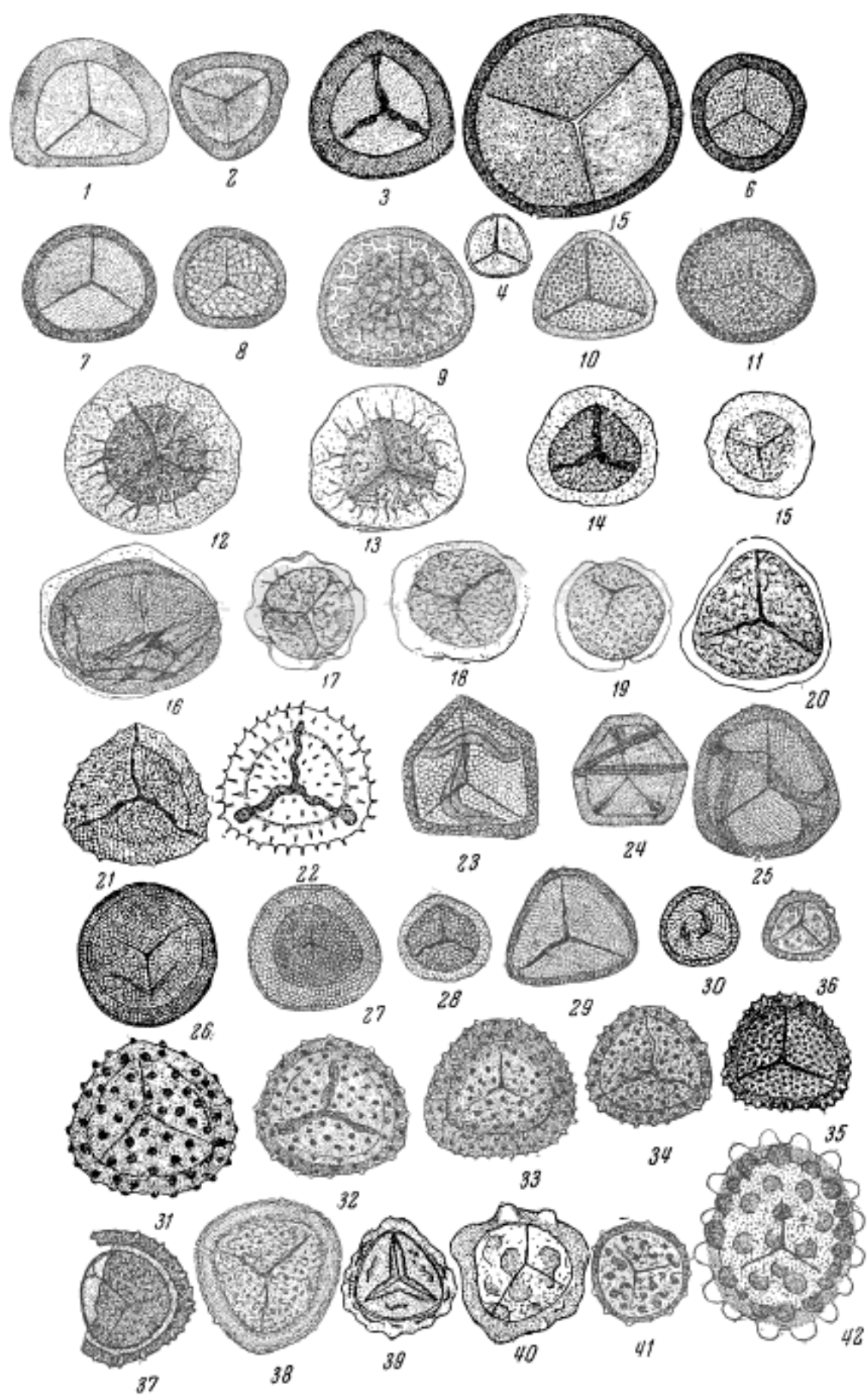


Таблица XVII

- Фиг. 1, 2. *Stenozonotriletes tersus* (Waltz) Naum. Ставрополье, Арчеда, аграмматические слои
- Фиг. 3. *Stenozonotriletes glabrum* Naum. sp. n. Ставрополье, Арчеда, аграмматические слои
- Фиг. 4. *Stenozonotriletes pumilus* Naum. Ставрополье, Арчеда, аграмматические слои
- Фиг. 5. *Stenozonotriletes laevigatus* Naum. Ставрополье, Арчеда, аграмматические слои
- Фиг. 6. *Stenozonotriletes conformis* Naum. Ставрополье, Арчеда, аграмматические слои
- Фиг. 7. *Stenozonotriletes simplex* Naum. Ставрополье, Арчеда, аграмматические слои
- Фиг. 8. *Stenozonotriletes furcatus* Naum. sp. n. Ставрополье, Арчеда, аграмматические слои
- Фиг. 9. *Stenozonotriletes reticulatus* Naum. sp. n. Ставрополье, Арчеда, аграмматические слои
- Фиг. 10. *Stenozonotriletes conspersus* Naum. Ставрополье, Арчеда, аграмматические слои
- Фиг. 11. *Stenozonotriletes fumanus* Naum. sp. n. Ставрополье, Арчеда, аграмматические слои
- Фиг. 12, 13. *Nymphonotriletes commutatus* Naum. Ставрополье, Арчеда, аграмматические слои
- Фиг. 14, 15. *Nymphonotriletes hyalinus* Naum. sp. n. Ставрополье, Арчеда, аграмматические слои
- Фиг. 16. *Nymphonotriletes rugosus* Naum. sp. n. Ставрополье, Арчеда, аграмматические слои
- Фиг. 17. *Nymphonotriletes famenensis* Naum. sp. n. Ставрополье, Арчеда, аграмматические слои
- Фиг. 18, 19. *Nymphonotriletes pallidus* Naum. sp. n. Ставрополье, Арчеда, аграмматические слои
- Фиг. 20. *Nymphonotriletes rectiformis* Naum. sp. n. Ставрополье, Арчеда, аграмматические слои
- Фиг. 21. *Nymphonotriletes brachyodontus* Naum. sp. n. Ставрополье, Арчеда, аграмматические слои
- Фиг. 22. *Nymphonotriletes echinulus* Naum. sp. n. Ставрополье, Арчеда, аграмматические слои
- Фиг. 23. *Nymphonotriletes evlanensis* Naum. Орлов. обл., г. Елец, аграмматические слои
- Фиг. 24. *Nymphonotriletes livensis* Naum. Ставрополье, Арчеда, аграмматические слои
- Фиг. 25. *Archaeozonotriletes notatus* Naum. Орлов. обл., г. Елец, аграмматические слои
- Фиг. 26. *Archaeozonotriletes compactus* Naum. sp. n. var. *famenensis* Naum. Ставрополье, Арчеда, аграмматические слои
- Фиг. 27. *Archaeozonotriletes micromanifestus* Naum. sp. n. var. *famenensis* Naum. Ставрополье, Арчеда, аграмматические слои
- Фиг. 28. *Archaeozonotriletes parvimmammatus* Naum. sp. n. Орлов. обл., г. Елец, аграмматические слои
- Фиг. 29. *Archaeozonotriletes basilaris* Naum. sp. n. Ставрополье, Арчеда, аграмматические слои
- Фиг. 30. *Archaeozonotriletes parvibasilaris* Naum. Орлов. обл., г. Елец, аграмматические слои
- Фиг. 31—34. *Archaeozonotriletes famenensis* Naum. sp. n. Ставрополье, Арчеда, аграмматические слои
- Фиг. 35, 36. *Archaeozonotriletes formosus* Naum. sp. n. Ставрополье, Арчеда, аграмматические слои
- Фиг. 37. *Archaeozonotriletes fastuosus* Naum. sp. n. Ставрополье, Арчеда, аграмматические слои
- Фиг. 38. *Archaeozonotriletes distinctus* Naum. sp. n. Ставрополье, Арчеда, аграмматические слои
- Фиг. 39. *Lophozonotriletes crassus* Naum. sp. n. Орлов. обл., г. Елец, аграмматические слои
- Фиг. 40. *Lophozonotriletes torosus* Naum. sp. n. var. *famenensis* Naum. sp. v. n. Ставрополье, Арчеда, аграмматические слои
- Фиг. 41. *Lophozonotriletes curvatus* Naum. Ставрополье, Арчеда, аграмматические слои
- Фиг. 42. *Lophozonotriletes lebedianensis* Naum. sp. n. Орлов. обл., г. Елец, аграмматические слои

Таблица XVII



ФАМЕНСКИЙ ЯРУС
Данково-Лебедянский подъярус

Таблица XVIII

- Фиг. 1. *Leiotriletes simplicissimus* Naum. Орлов. обл., близ г. Мценска, лебедянская толща
- Фиг. 2. *Leiotriletes pusillus* Naum. Орлов. обл., близ г. Мценска, лебедянская толща
- Фиг. 3. *Leiotriletes minutissimus* Naum. Орлов. обл., близ г. Мценска, лебедянская толща
- Фиг. 4, 5. *Leiotriletes rotundus* Naum. Орлов. обл., близ г. Мценска, лебедянская толща
- Фиг. 6. *Leiotriletes pullatus* Naum. Орлов. обл., близ г. Мценска, лебедянская толща
- Фиг. 7, 8. *Leiotriletes trivialis* Naum. Орлов. обл., близ г. Мценска, лебедянская толща
- Фиг. 9. *Leiotriletes dicksonialis* Naum. типа *Dicksonia*. Орлов. обл., близ г. Мценска, лебедянская толща
- Фиг. 10. *Trachytriletes solidus* Naum. Орлов. обл., близ г. Мценска, лебедянская толща
- Фиг. 11. *Trachytriletes minutus* Naum. Орлов. обл., близ г. Мценска, лебедянская толща
- Фиг. 12. *Trachytriletes punctulatus* Naum. Орлов. обл., близ г. Мценска, лебедянская толща
- Фиг. 13. *Acanthotriletes rugatus* Naum. sp. n. var. *pumilus* Naum. v. n. Орлов. обл., близ г. Мценска, лебедянская толща
- Фиг. 14. *Acanthotriletes acanthaceus* Naum. sp. n. Орлов. обл., близ г. Мценска, лебедянская толща
- Фиг. 15. *Lophotriletes rugosus* Naum. Орлов. обл., близ г. Мценска, лебедянская толща
- Фиг. 16. *Lophotriletes normalis* Naum. Орлов. обл., близ г. Мценска, лебедянская толща
- Фиг. 17. *Lophotriletes atratus* Naum. sp. n. Орлов. обл., близ г. Мценска, лебедянская толща
- Фиг. 18. *Retusotriletes Psychovii* Naum. Орлов. обл., близ г. Мценска, лебедянская толща
- Фиг. 19. *Retusotriletes Psychovii* Naum. sp. n. var. *major* Naum. v. n. Орлов. обл., близ г. Мценска, лебедянская толща
- Фиг. 20, 21. *Retusotriletes communis* Naum. Орлов. обл., близ г. Мценска, лебедянская толща
- Фиг. 22. *Retusotriletes parvimmammatus* Naum. sp. n. Орлов. обл., близ г. Мценска, лебедянская толща
- Фиг. 23. *Archaeozonotriletes microthelis* Naum. sp. n. Орлов. обл., близ г. Мценска, лебедянская толща
- Фиг. 24, 25. *Archaeotriletes honestus* Naum. sp. n. Орлов. обл., близ г. Мценска, лебедянская толща
- Фиг. 26, 27. *Nymenozonotrilites varius* Naum. sp. n. var. *minor* Naum. Орлов. обл., близ г. Мценска, лебедянская толща
- Фиг. 28. *Nymenozonotrilites commutatus* Naum. Орлов. обл., близ г. Мценска, лебедянская толща
- Фиг. 29. *Nymenozonotrilites imperfectus* Naum. Орлов. обл., близ г. Мценска, лебедянская толща
- Фиг. 30. *Nymenozonotrilites gyratus* Naum. sp. n. Орлов. обл., близ г. Мценска, лебедянская толща
- Фиг. 31, 32. *Nymenozonotrilites millegranus* Naum. sp. n. Орлов. обл., близ г. Мценска, лебедянская толща
- Фиг. 33. *Nymenozonotrilites persimilis* Naum. sp. n. Орлов. обл., близ г. Мценска, лебедянская толща
- Фиг. 34. *Nymenozonotrilites mirandus* Naum. sp. n. Орлов. обл., близ г. Мценска, лебедянская толща
- Фиг. 35. *Nymenozonotrilites lebedianensis* Naum. sp. n. Орлов. обл., близ г. Мценска, лебедянская толща

Таблица XVIII

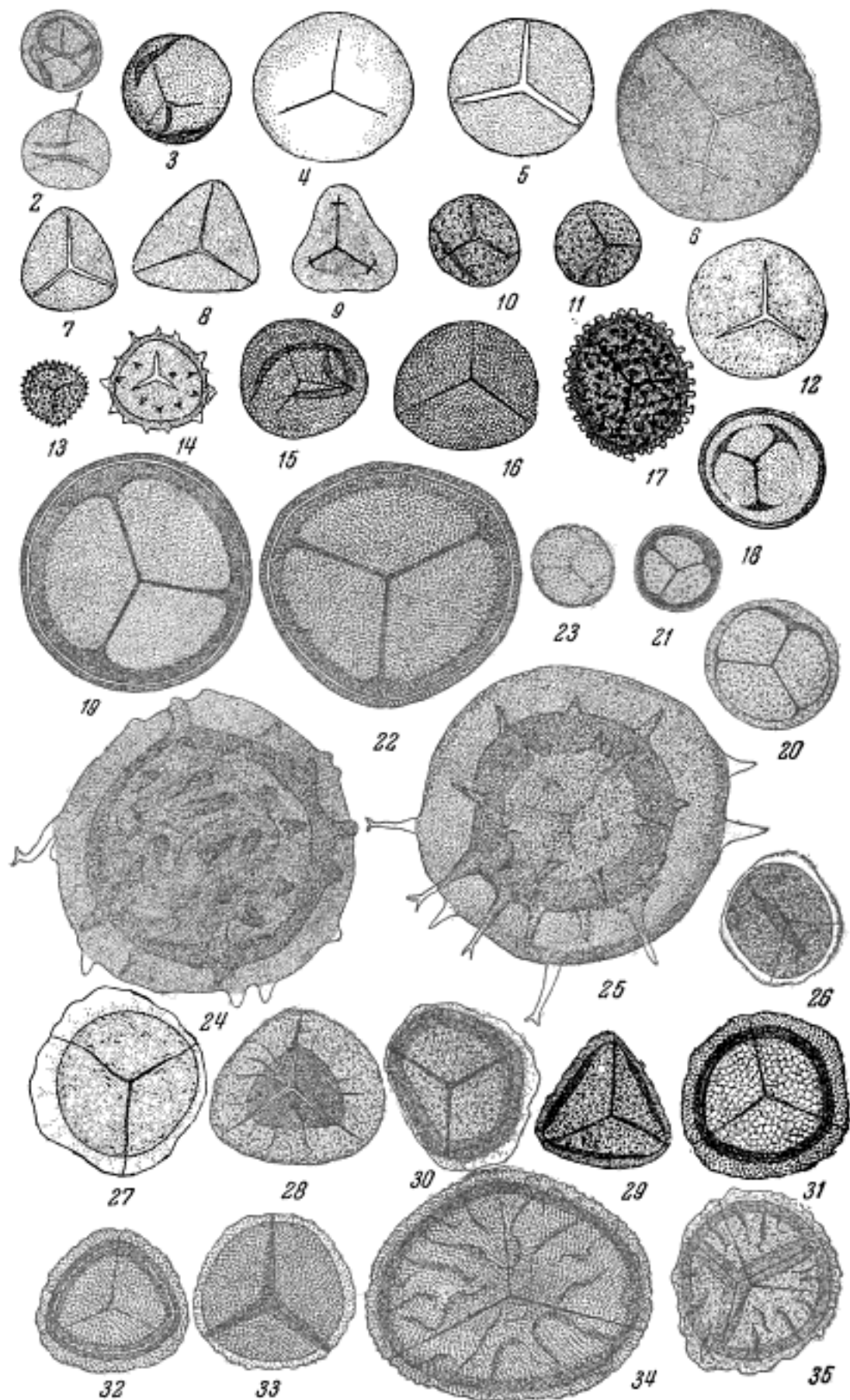


Таблица XIX

- Фиг. 1. *Nymphonotriletes livensis* Naum. Орловская область, близ г. Мценска, лебедянская толща
- Фиг. 2. *Nymphonotriletes multangularis* Naum. sp. n. Орловская область, близ г. Мценска, лебедянская толща
- Фиг. 3. *Nymphonotriletes angulosus* Naum. Орловская область, близ г. Мценска, лебедянская толща
- Фиг. 4. *Archaeozonotriletes semilucensis* Naum. Орловская область, близ г. Мценска, лебедянская толща
- Фиг. 5. *Archaeozonotriletes micromanifestus* Naum. Орловская область, близ г. Мценска, лебедянская толща
- Фиг. 6, 7. *Archaeozonotriletes luteolus* Naum. sp. n. Орловская область, близ г. Мценска, лебедянская толща
- Фиг. 8. *Archaeozonotriletes basilaris* Naum. Орловская область, близ г. Мценска, лебедянская толща
- Фиг. 9. *Archaeozonotriletes denticulatus* Naum. sp. n. Орловская область, близ г. Мценска, лебедянская толща
- Фиг. 10. *Archaeozonotriletes agnatus* Naum. sp. n. Орловская область, близ г. Мценска, лебедянская толща
- Фиг. 11. *Archaeozonotriletes dedaleus* Naum. sp. n. Орловская область, близ г. Мценска, лебедянская толща
- Фиг. 12—14. *Stenozonotriletes conformis* Naum. Орловская область, близ г. Мценска, лебедянская толща
- Фиг. 15. *Stenozonotriletes pumilus* (Waltz) Naum. Орловская область, близ г. Мценска, лебедянская толща
- Фиг. 16, 17. *Stenozonotriletes simplex* Naum. Орловская область, близ г. Мценска, лебедянская толща
- Фиг. 18. *Stenozonotriletes conspersus* Naum. Орловская область, близ г. Мценска, лебедянская толща
- Фиг. 19, 20. *Stenozonotriletes extensus* Naum. sp. n. var. *minor* Naum. Орловская область, близ г. Мценска, лебедянская толща
- Фиг. 21, 22. *Stenozonotriletes definitus* Naum. Орловская область, близ г. Мценска, лебедянская толща
- Фиг. 23. *Stenozonotriletes indivisus* Naum. sp. n. Орловская область, близ г. Мценска, лебедянская толща
- Фиг. 24. *Stenozonotriletes cinctus* Naum. sp. n. Орловская область, близ г. Мценска, лебедянская толща
- Фиг. 25—30. *Lophozonotriletes curvatus* Naum. Орловская область, близ г. Мценска, лебедянская толща
- Фиг. 31. *Lophozonotriletes grumosus* Naum. sp. n. var. *famnenensis* Naum. Орловская область, близ г. Мценска, лебедянская толща
- Фиг. 32—34. *Lophozonotriletes lebedenensis* Naum. Орловская область, близ г. Мценска, лебедянская толща

Таблица XIX

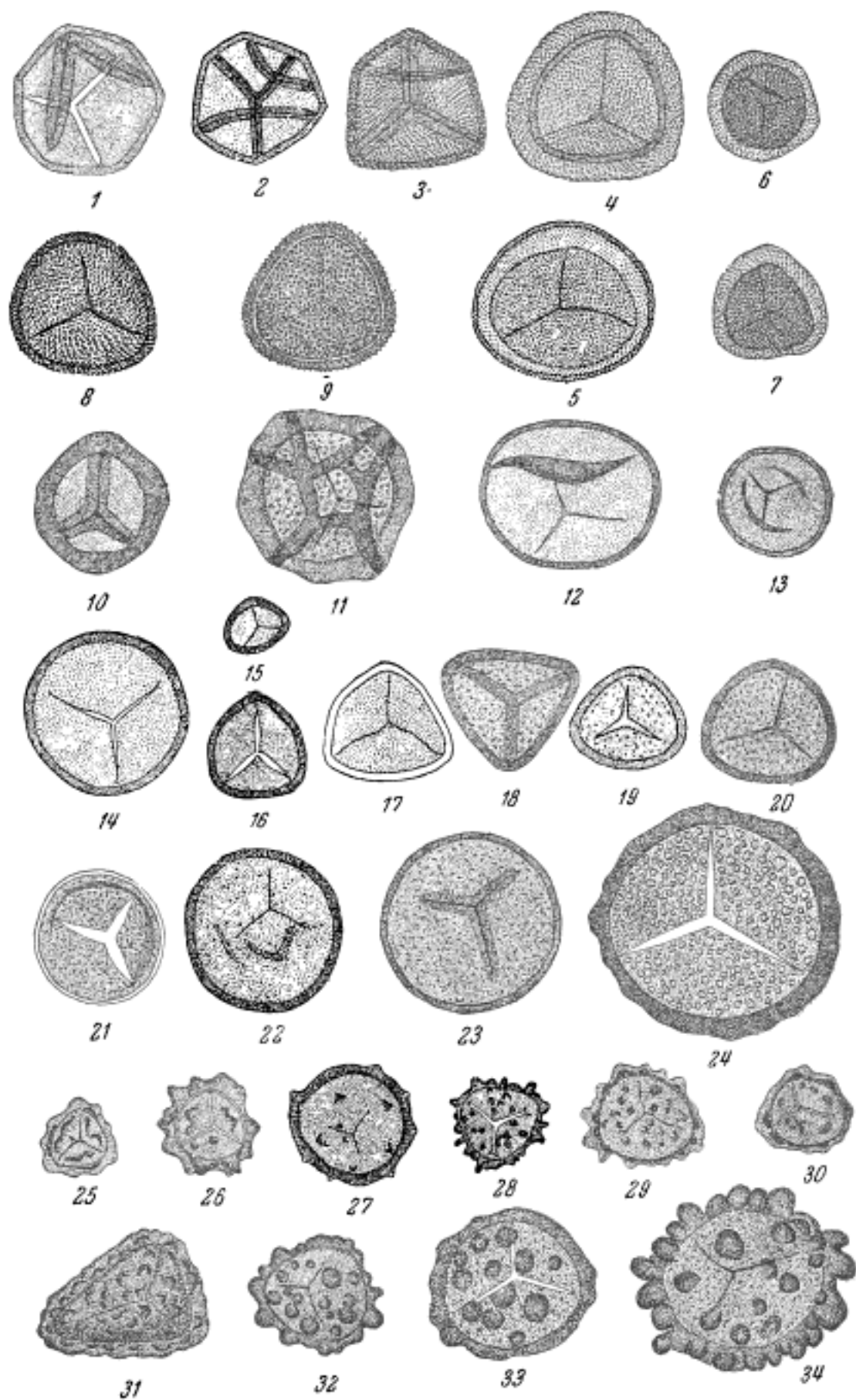


ТАБЛИЦА XX

Составлено С. Г. Найдою (1949 г.).

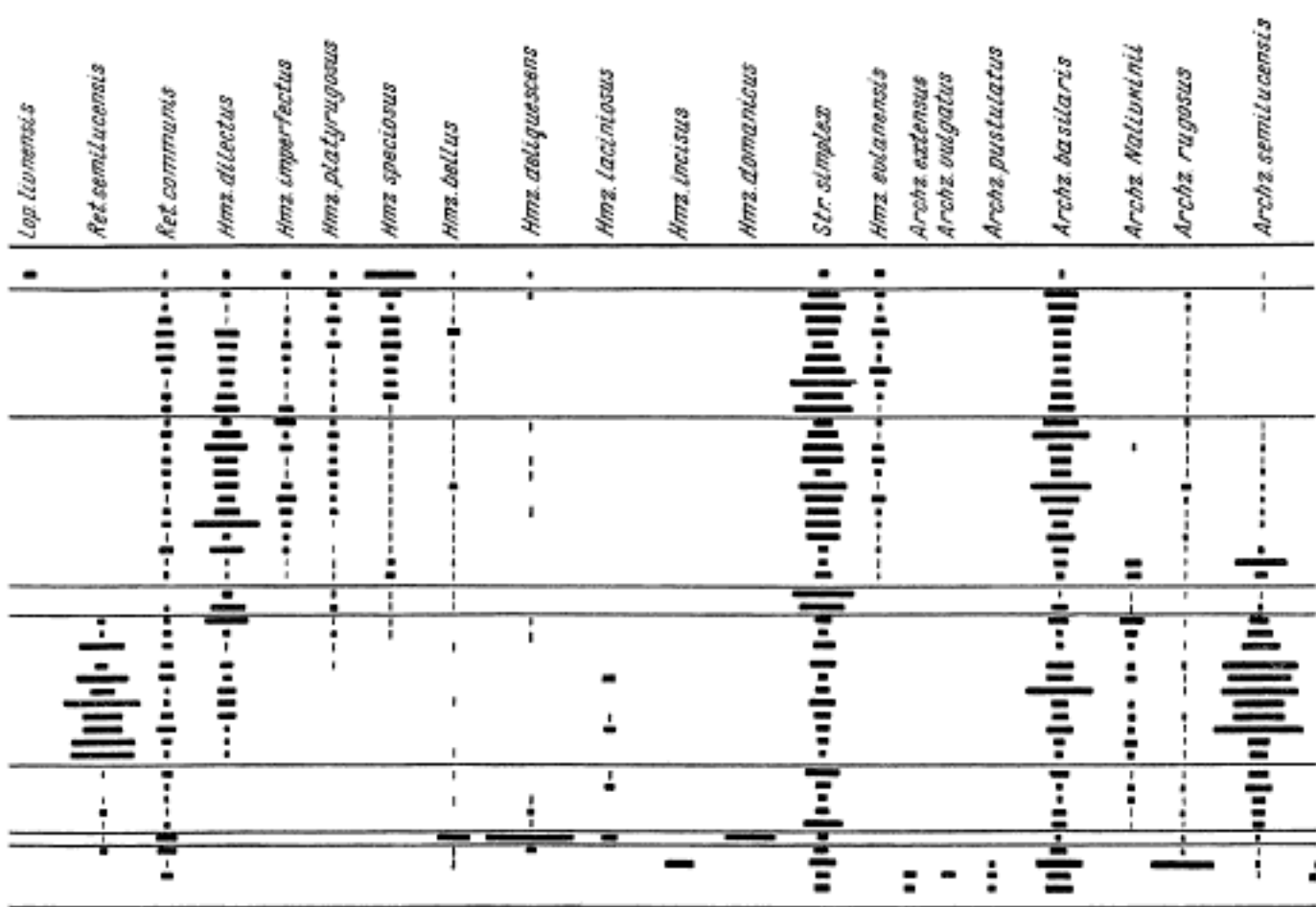
Макро- географическое области	Французский языковой ареал										
	Лесной	Горный	Пустынно-горный	Саванновый	Субсаванновый	Субтропический	Тропический	Субтропический	Саванновый	Горный	Лесной
<i>Макро- географическое области</i>											
<i>Лесной</i>	+	-	-	-	-	-	-	-	-	-	-
<i>Горный</i>	-	+	-	-	-	-	-	-	-	-	-
<i>Пустынно-горный</i>	-	-	+	-	-	-	-	-	-	-	-
<i>Саванновый</i>	-	-	-	+	-	-	-	-	-	-	-
<i>Субсаванновый</i>	-	-	-	-	+	-	-	-	-	-	-
<i>Субтропический</i>	-	-	-	-	-	+	-	-	-	-	-
<i>Тропический</i>	-	-	-	-	-	-	+	-	-	-	-
<i>Субтропический</i>	-	-	-	-	-	-	-	+	-	-	-
<i>Саванновый</i>	-	-	-	-	-	-	-	-	+	-	-
<i>Горный</i>	-	-	-	-	-	-	-	-	-	+	-
<i>Лесной</i>	-	-	-	-	-	-	-	-	-	-	+
<i>Лесной</i>	+	-	-	-	-	-	-	-	-	-	-
<i>Горный</i>	-	+	-	-	-	-	-	-	-	-	-
<i>Пустынно-горный</i>	-	-	+	-	-	-	-	-	-	-	-
<i>Саванновый</i>	-	-	-	+	-	-	-	-	-	-	-
<i>Субсаванновый</i>	-	-	-	-	+	-	-	-	-	-	-
<i>Субтропический</i>	-	-	-	-	-	+	-	-	-	-	-
<i>Тропический</i>	-	-	-	-	-	-	+	-	-	-	-
<i>Субтропический</i>	-	-	-	-	-	-	-	+	-	-	-
<i>Саванновый</i>	-	-	-	-	-	-	-	-	+	-	-
<i>Горный</i>	-	-	-	-	-	-	-	-	-	+	-
<i>Лесной</i>	-	-	-	-	-	-	-	-	-	-	+
<i>Лесной</i>	+	-	-	-	-	-	-	-	-	-	-
<i>Горный</i>	-	+	-	-	-	-	-	-	-	-	-
<i>Пустынно-горный</i>	-	-	+	-	-	-	-	-	-	-	-
<i>Саванновый</i>	-	-	-	+	-	-	-	-	-	-	-
<i>Субсаванновый</i>	-	-	-	-	+	-	-	-	-	-	-
<i>Субтропический</i>	-	-	-	-	-	+	-	-	-	-	-
<i>Тропический</i>	-	-	-	-	-	-	+	-	-	-	-
<i>Субтропический</i>	-	-	-	-	-	-	-	+	-	-	-
<i>Саванновый</i>	-	-	-	-	-	-	-	-	+	-	-
<i>Горный</i>	-	-	-	-	-	-	-	-	-	+	-
<i>Лесной</i>	-	-	-	-	-	-	-	-	-	-	+

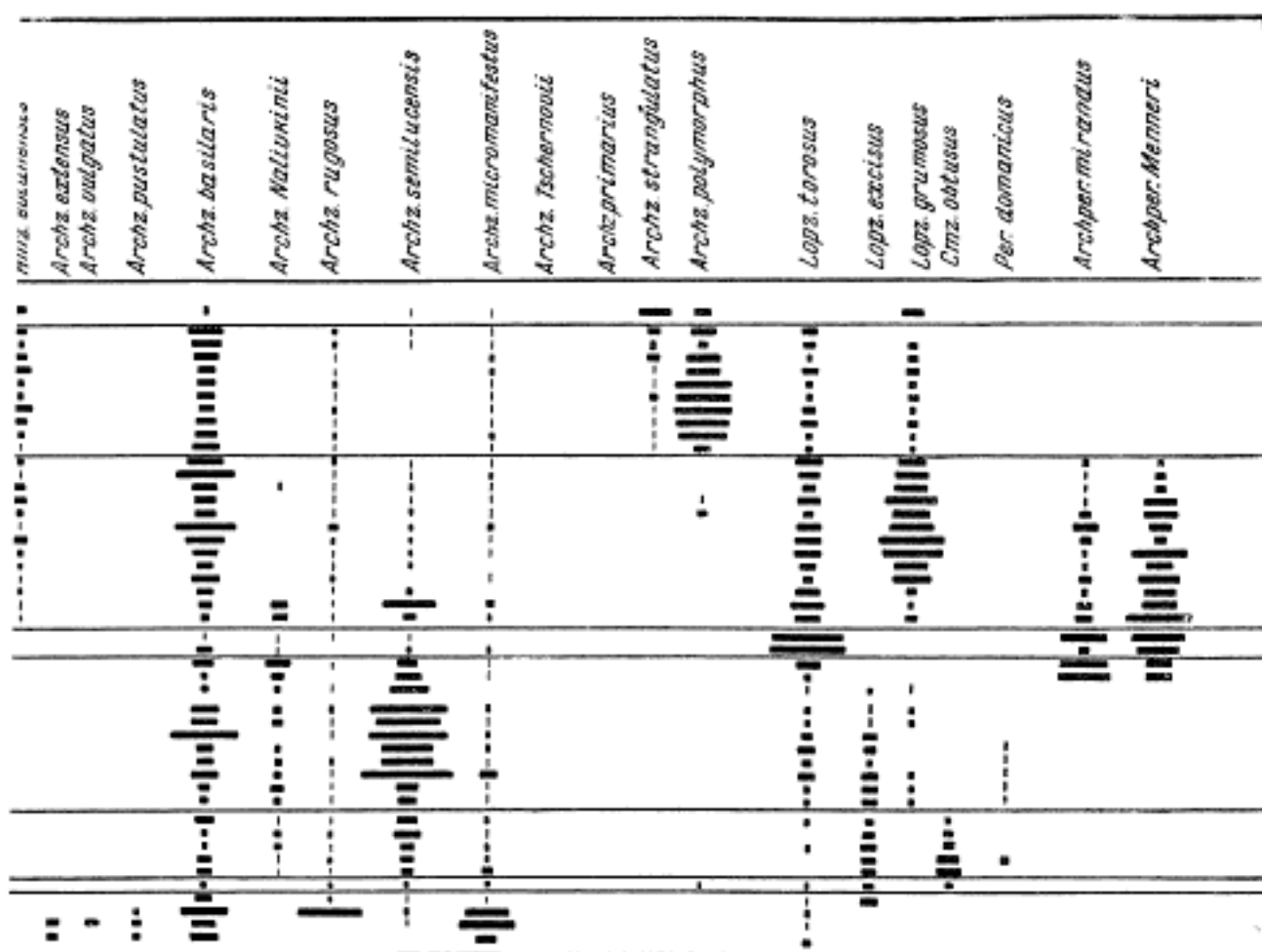
Материал, защищенный авторским правом

Распределение свод

Распределение спор и пыльцы в отложениях франского пруса девона Центрального девонского полога.

Составлена С. Н. Наумовой (1949 г.).





Объяснение таблицы XXII

РУКОВОДЯЩИЕ КОМПЛЕКСЫ СПОР И ПЫЛЬЦЫ ОТЛОЖЕНИЙ

ДЕВОНА РУССКОЙ ПЛАТФОРМЫ

Отдел	Ярус	Подярус	Секции и слои	№ спорово-пыльцевого комплекса	Доминанты
D ₃ ²	Франсий	Данково-Лебедянский	Озерско-хованские	I	1. Leiotriletes microrugosus (Ibr.) Naum. 2. Leiotriletes minutissimus Naum. 3. Trachytriletes solidus Naum. 4. Lophotriletes rugosus Naum. 5. Lophotriletes minor Naum. 6. Hymenozonotriletes hyalinus Naum.
			Лебедянские	II	7. Leiotriletes microrugosus (Ibr.) Naum. 8. Retusotriletes communis Naum. 9. Hymenozonotriletes mirandus Naum. 10. Archaeozonotriletes dedaleus Naum. 11. Lophozonotriletes curvatus Naum. 12. Lophozonotriletes lebedianensis Naum.
		Елецкий	Аграмачские	III	13. Trachytriletes solidus Naum. 14. Lophotriletes minor Naum. 15. Hymenozonotriletes livnensis Naum. 16. Hymenozonotriletes platyrugosus Naum. 17. Lophozonotriletes curvatus Naum. 18. Archaeozonotriletes famenensis Naum.
			Задонские	IV	19. Trachytriletes solidus Naum. 20. Stenozonotriletes conformis Naum. 21. Retusotriletes simplex Naum. 22. Retusotriletes communis Naum. 23. Hymenozonotriletes livnensis Naum. 24. Hymenozonotriletes zadonicus Naum.
D ₃ ¹	Франсий	Верхне-франсий	Ливенские	V	25. Lophotriletes livnensis Naum. 26. Hymenozonotriletes speciosus Naum. 27. Hymenozonotriletes evlanensis Naum. 28. Hymenozonotriletes livnensis Naum. 29. Lophozonotriletes excisus Naum. 30. Archaeozonotriletes strangulatus Naum.
			Елановские	VI	31. Lophozonotriletes evlanensis Naum. 32. Hymenozonotriletes speciosus Naum. 33. Hymenozonotriletes tenellus Naum. 34. Hymenozonotriletes dilectus Naum. 35. Lophozonotriletes curvatus Naum. 36. Hymenozonotriletes imperfectus Naum.

(Продолжение)

Отдел	Название	Подъярус	Сланцы и сланец	№ спорово-пыльцевого комплекса	Доминанты	
D₃¹	Франский	Верхнефранский	Воронежские	VII	37. <i>Lophozonotriletes grumosus</i> Naum. 38. <i>Lophozonotriletes tylophorus</i> Naum. 39. <i>Hymenozonotriletes angulatus</i> Naum. 40. <i>Hymenozonotriletes dilectus</i> Naum. 41. <i>Hymenozonotriletes platyrugosus</i> Naum. 42. <i>Archaeoperisaccus concinnus</i> Naum.	
			Петинские	VIII	43. <i>Lophozonotriletes torosus</i> Naum. 44. <i>Hymenozonotriletes speciosus</i> Naum. 45. <i>Stenozonotriletes definitus</i> Naum. 46. <i>Archaeoperisaccus mirandus</i> Naum. 47. <i>Archaeoperisaccus mirus</i> Naum. 48. <i>Archaeoperisaccus Mennerii</i> Naum.	
			Семилукские (верх.)	IX	49. <i>Lophozonotriletes crassatus</i> Naum. 50. <i>Stenozonotriletes def'nitius</i> Naum. 51. <i>Archaeozonotriletes semilucens's</i> Naum. 52. <i>Archaeoperisaccus mirandus</i> Naum. 53. <i>Archaeoperisaccus elongatus</i> Naum. 54. <i>Archaeoperisaccus completus</i> Naum.	
			Семилукские	X	55. <i>Leiotrilletes minutissimus</i> Naum. 56. <i>Trachytrilletes solidus</i> Naum. 57. <i>Acanthotrilletes incompletus</i> Naum. 58. <i>Retusotrilletes semilucensis</i> Naum. 59. <i>Retusotrilletes domanicus</i> Naum. 60. <i>Lophozonotriletes excisus</i> Naum. 61. <i>Hymenozonotriletes lacini'osus</i> Naum.	
			Рудниковские	XI	62. <i>Leiotrilletes minutissimus</i> Naum. 63. <i>Trachytrilletes solidus</i> Naum. 64. <i>Trachytrilletes minor</i> Naum. 65. <i>Acanthotrilletes dentatus</i> Naum. 66. <i>Lophotrilletes normalis</i> Naum. 67. <i>Hymenozonotriletes speciosus</i> Naum. 68. <i>Camarozonotriletes obtusus</i> Naum.	
		Среднефранский	Подрудниковые	XII	69. <i>Acanthotrilletes uncatus</i> Naum. 70. <i>Acanthotrilletes crenatus</i> Naum. 71. <i>Retusotrilletes communis</i> Naum. 72. <i>Hymenozonotriletes bellus</i> Naum. 73. <i>Hymenozonotriletes domanicus</i> Naum. 74. <i>Hymenozonotriletes deliquescens</i> Naum.	
			Псковские	XIII	75. <i>Leiotrilletes minutissimus</i> Naum. 76. <i>Trachytrilletes solidus</i> Naum. 77. <i>Acanthotrilletes acerosus</i> Naum. 78. <i>Lophotrilletes rotundus</i> Naum. 79. <i>Archaeozonotriletes Nalivkinii</i> Naum. 80. <i>Perisaccus verruculatus</i> Naum.	

Отдел	Ярус	Порядок	Святы и слож	На спорово-пыльцевого комплекса	Доминанты
	Франсий	Нижнефрансий	Нижнешигровские	XIV	81. <i>Archaeozonotriletes perlatus</i> Naum. 82. <i>Lophozonotriletes excisus</i> Naum. 83. <i>Hymenozonotriletes Tichomirovii</i> Naum. 84. <i>Archaeozonotriletes basilaris</i> Naum. 85. <i>Archaeozonotriletes rugosus</i> Naum. 86. <i>Archaeozonotriletes micromanifestus</i> Naum. 87. <i>Hymenozonotriletes incisus</i> Naum. 88. <i>Archaeozonotriletes macromanifestus</i> Naum.
D ₂₂			Старооскольские	XV	89. <i>Acanthotriletes serratus</i> Naum. 90. <i>Archaeozonotriletes vulgaris</i> Naum. 91. <i>Archaeozonotriletes extensus</i> Naum. 92. <i>Archaeozonotriletes singularis</i> Naum. 93. <i>Archaeozonotriletes pustulatus</i> Naum. 94. <i>Archaeozonotriletes venustus</i> Naum.
	Жигелский	Верхнекамчатский	Воробьевские		95. <i>Leiotriletes atavus</i> Naum. 96. <i>Lophotriletes simplex</i> Naum. 97. <i>Camarozonotriletes pusillus</i> Naum. 98. <i>Archaeozonotriletes extensus</i> Naum. 99. <i>Archaeozonotriletes vorobievensis</i> Naum. 100. <i>Archaeozonotriletes meonacanthus</i> Naum.
D ₂₂	Нижнекамчатский		Калужские	XVI	101. <i>Leiotriletes atavus</i> Naum. 102. <i>Lophotriletes rugosus</i> Naum. 103. <i>Stenozonotriletes stenolomus</i> Naum. 104. <i>Hymenozonotriletes olchovensis</i> Naum. 105. <i>Hymenozonotriletes polyacanthus</i> Naum. 106. <i>Hymenozonotriletes polymorphus</i> Naum.
			Рязанско-морозовские	XVII	107. <i>Leiotriletes atavus</i> Naum. 108. <i>Retusotriletes devonicus</i> Naum. 109. <i>Retusotriletes antiquus</i> Naum. 110. <i>Retusotriletes gibberosus</i> Naum. 111. <i>Stenozonotriletes ornatissimus</i> Naum. 112. <i>Hymenozonotriletes mesodevonicus</i> Naum.

(Продолжение)

Отдел	Нрнс	Поднрнс	Свнты и слон	№ спорово-пыльцевого комплекса	Д о м
D ₁ -D ₂			Бугурен- ланские	XVIII	113. <i>Leiotriletes nigritellus</i> Naum. 114. <i>Acanthotriletes incertus</i> Naum. 115. <i>Acanthotriletes crenatus</i> Naum. 116. <i>Acanthotriletes erinaceus</i> Naum. 117. <i>Lophotriletes simplex</i> Naum. 118. <i>Archaeozonotriletes foveolatus</i> Naum.
D ₁			Пельчи- ские	XIX	119. <i>Leiotriletes polemius</i> Naum. 120. <i>Leiotriletes trivialis</i> Naum. 121. <i>Lophotriletes minor</i> Naum. 122. <i>Acanthotriletes perpusillus</i> Naum. 123. <i>Retusotriletes mediuss</i> Naum. 124. <i>Archaeozonotriletes tenebrosus</i> Naum.

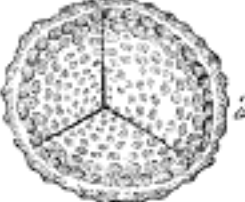
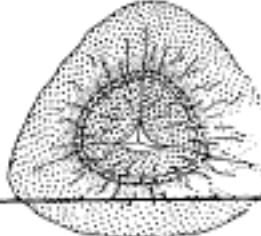
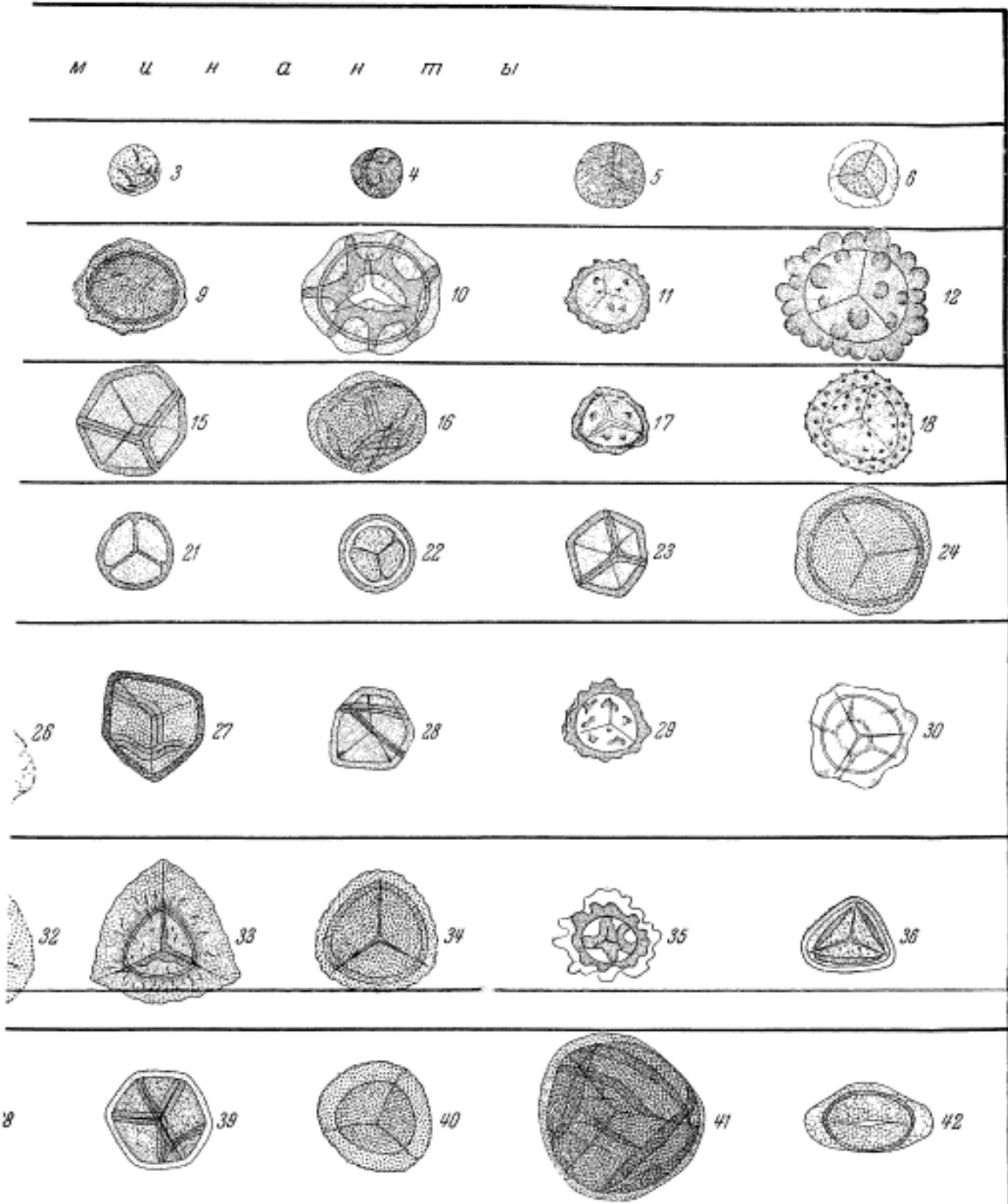
Система	Ярус	Подъярус	Споры		До	
			Фаменский	Даниловско-Лебедянский	Аномалии са спор и пыльцы	
D_3	D_3	Берзинефранский	Озерско-хованские	I		
			Лебедянские	II		
			Агромачные	III		
			Задонские	IV		
			Ливенские	V		
			Евлановские	VI		
			Воронежские	VII		

Таблица XXII

С ОТЛОЖЕНИЙ ДЕВОНА РУССКОЙ ПЛАТФОРМЫ.

Наумовой (1949 г.)



D_3'

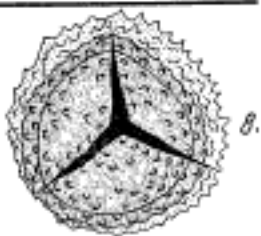
Φ ρ a n c n u \tilde{u}

Нижнешигровские

XIV



88



83

Псковские

XIII



75



76



Подрудничные

XII



69



70



Рудничные

XI



62



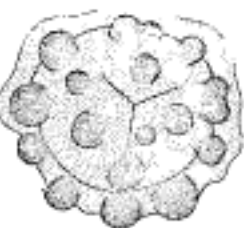
63



64

Летинские

VIII



43



44

Семилукские (верх)

IX



49



50



Семилукские

X



55



56



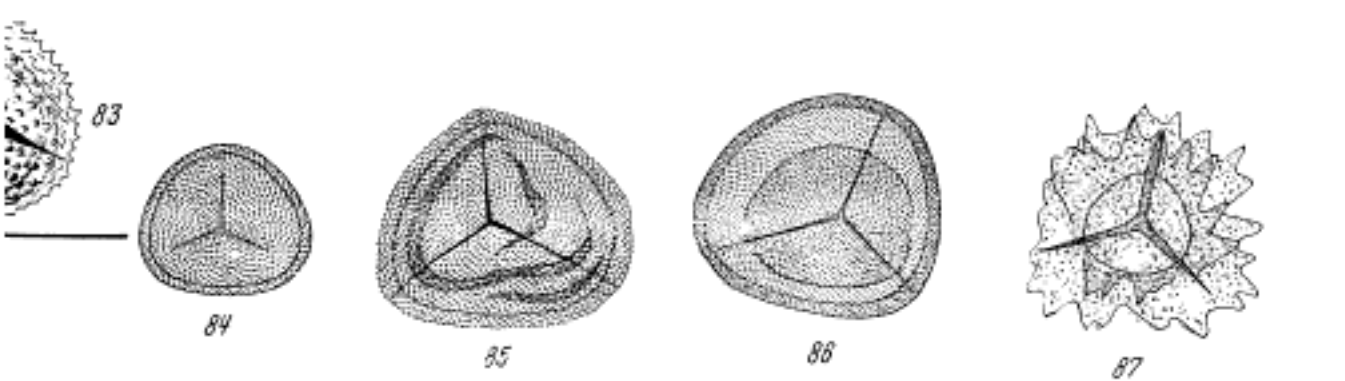
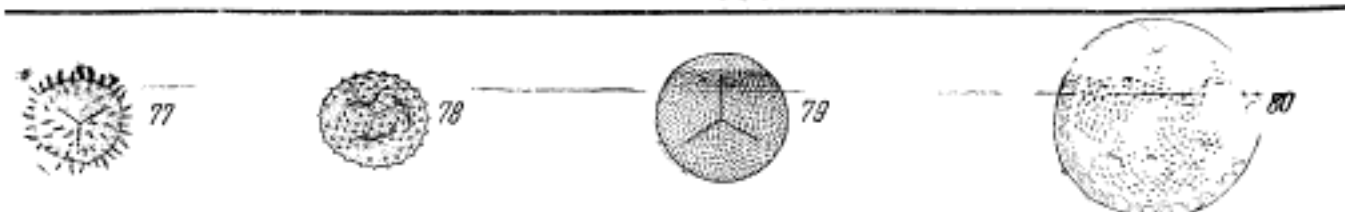
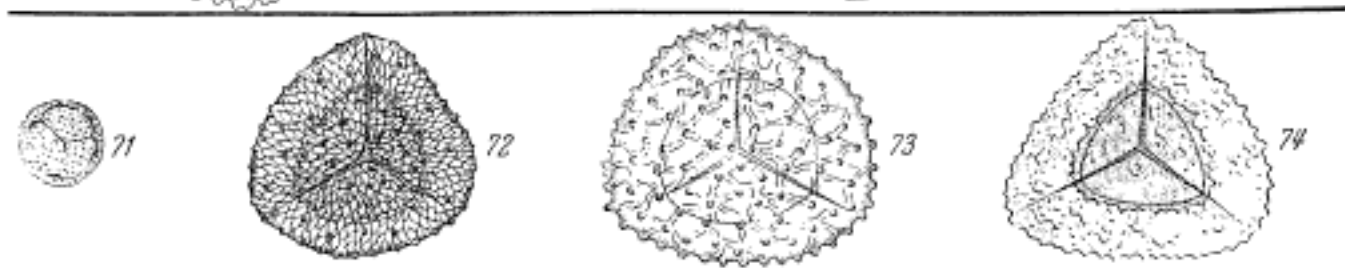
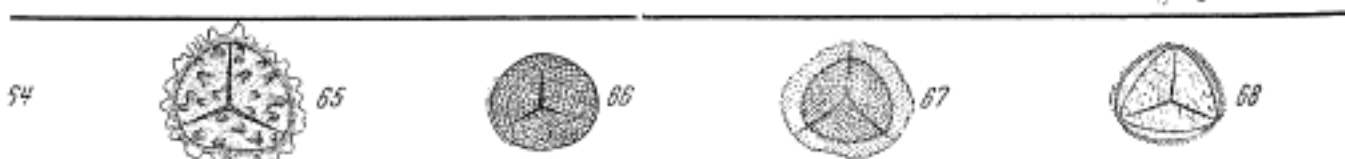
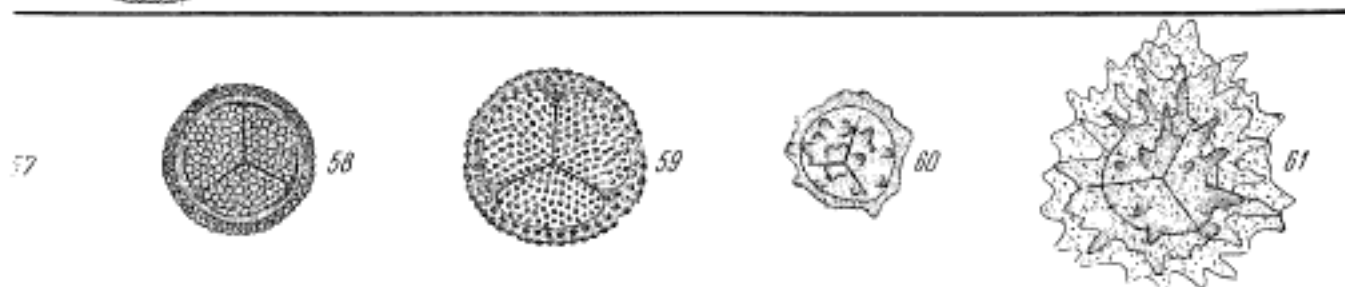
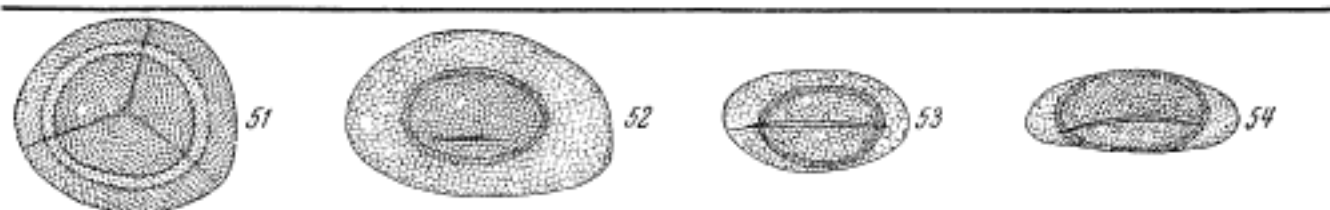
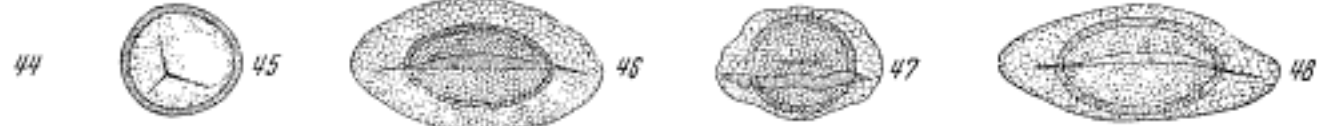
57

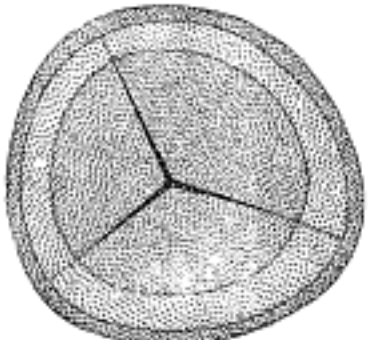
Среднеруднические

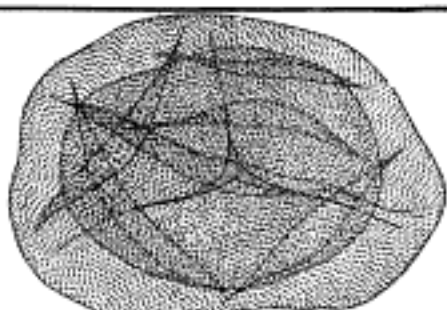
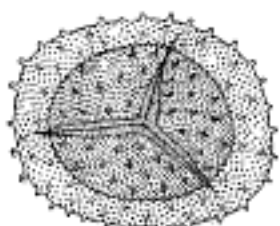
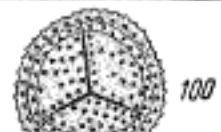
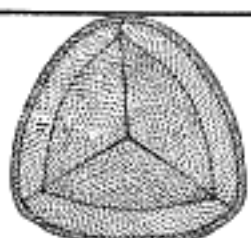
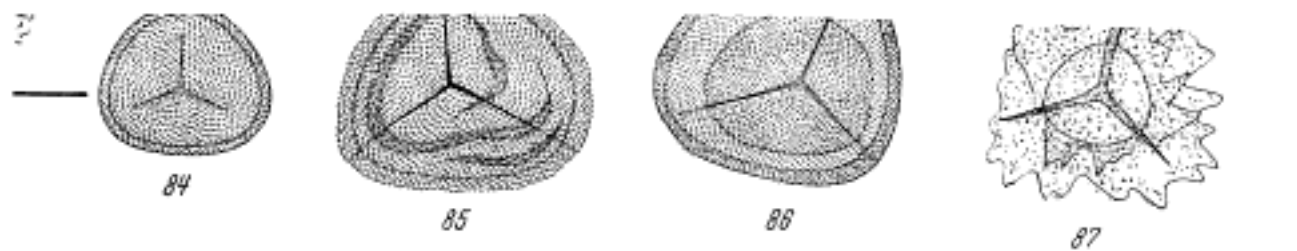
Подрудничные

Псковские

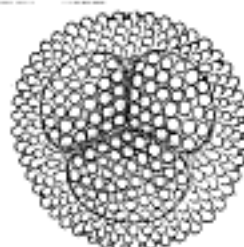
Нижнешигровские



D_2	H_u	$Нижненещеровские$	XIV	
	H_u	$Верхненеживетский$	XV	 
H_u	$Старооскольские$	XV		
	$Нижненеживетский$	XVI	  	
D_1	$Нижненеживетские$	XVII		
	$Бугурусланские$	XVIII		
D_1	$Пельчинские$	XIX		



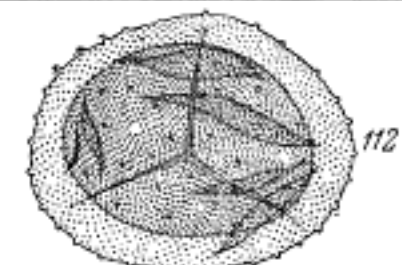
108



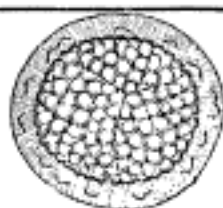
109



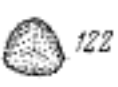
110



112



118



ПРЕДМЕТНЫЙ УКАЗАТЕЛЬ

<i>Cmp.</i>	<i>Cmp.</i>
<i>Acanthotriletes acanthaceus</i> Naum.	122
— <i>acerosus</i> Naum.	48
— <i>correctus</i> Naum.	26
— <i>crenatus</i> Naum.	50
— <i>dentatus</i> Naum.	51
— <i>denticulatus</i> Naum.	49, 106
— <i>erinaceus</i> (Waltz) Naum.	49
— <i>eximius</i> Naum.	51
— <i>famenensis</i> Naum.	107
— <i>grandispinus</i> Naum.	50
— <i>heterodontus</i> Naum.	25
— <i>hirtus</i> Naum.	51
— <i>incompletus</i> Naum.	48
— <i>inferus</i> Naum.	24
— <i>impolitus</i> Naum.	25
— <i>minutissimus</i> Naum.	96
— <i>parvispinosus</i> Naum.	24
— <i>parvus</i> Naum.	49
— <i>paucispinus</i> Naum.	107
— <i>polygamus</i> Naum.	49
— <i>pullus</i> Naum.	106
— <i>rugatus</i> Naum.	48
— <i>rugatus</i> Naum. var. <i>pumilus</i>	
Naum. v. n	122
— <i>serratus</i> Naum.	25
— <i>similis</i> Naum.	105
— <i>spinellosus</i>	23
— <i>tenuispinosus</i> Naum.	25, 49
— <i>tenuispinosus</i> Naum. var.	
<i>famenensis</i> Naum.	106
— <i>vulgaris</i> Naum.	106
— <i>uncatus</i> Naum.	26, 50
— <i>usitatus</i> Naum.	24
<i>Archaeotriletes aduncus</i> Naum.	53
— <i>atavus</i> Naum.	52
— <i>conspicuus</i> Naum.	51
— <i>crassus</i> Naum.	26
— <i>devonicus</i> Naum.	53
— <i>luteolus</i> Naum.	
— <i>macromanifestus</i> Naum.	
— <i>micromanifestus</i> Naum.	
— <i>notatus</i> Naum.	
— <i>orbiculatus</i> Naum.	
— <i>opaculus</i> Naum.	

	<i>Cmp.</i>		<i>Cmp.</i>
<i>Archaeozonotriletes retiformis</i> Naum.	87	<i>Hymenozonotriletes mancus</i> Naum.	63
— <i>rugosus</i> Naum.	85	— <i>meanacanthus</i> Naum.	63
— <i>semilucensis</i> Naum.	84, 100, 128	— <i>medius</i> Naum.	60
— <i>singularis</i> Naum.	80	— <i>melanidus</i> Naum.	63
— <i>strangulatus</i> Naum.	78	— <i>mesodevonicus</i> Naum.	39
— <i>stenolomus</i> Naum.	82	— <i>millegranus</i> Naum.	126
— <i>subcompactus</i> Naum.	35, 84	— <i>mirandus</i> Naum.	126
— <i>timanicus</i> Naum.	81	— <i>multangularis</i> Naum.	127
— <i>triquetrus</i> Naum.	81	— <i>pallidus</i> Naum.	114
— <i>truncatus</i> Naum.	34	— <i>persimilis</i> Naum.	126
— <i>Tschernovii</i> Naum.	81	— <i>primarius</i> Naum.	65
— <i>variabilis</i> Naum.	30, 80, 83	— <i>platyrugosus</i> Naum.	61
— <i>venustus</i> Naum.	32	— <i>polyacanthus</i> Naum.	41
— <i>vulgatus</i> Naum.	35	— <i>polystichus</i> Naum.	62
<i>Archaeoperisacus angustus</i> Naum.	90	— <i>praetervisus</i> Naum.	40
— <i>concinnus</i> Naum.	92	— <i>proteus</i> Naum.	40
— <i>completus</i> Naum.	92	— <i>radiatus</i> Naum.	62
— <i>elongatus</i> Naum.	91	— <i>rarus</i> Naum.	61
— <i>mirandus</i> Naum.	90	— <i>rectiformis</i> Naum.	114
— <i>mirus</i> Naum.	91	— <i>rigidispinus</i> Naum.	39
— <i>Menneri</i> Naum.	92	— <i>rugilobus</i> Naum.	64
— <i>ovalis</i> Naum.	91	— <i>rugosus</i> Naum.	114
<i>Azonomonoletes rarus</i> Naum.	90	— <i>speciosus</i> Naum.	65
<i>Brochotriletes foveolatus</i> Naum. var. — <i>major</i> Naum.	59	— <i>spiniferus</i> Naum.	41
— <i>foveolatus</i> Naum. var. <i>minor</i> Naum.	58	— <i>spinulosus</i> Naum.	63
<i>Camarozonotriletes devonicus</i> Naum.	89	— <i>tenellus</i> Naum.	66
— <i>obtusus</i> Naum.	89	— <i>Tichomirovii</i> Naum.	62
<i>Chomotriletes vedugensis</i> Naum.	58	— <i>trivialis</i> Naum.	60
<i>Dictyotriletes devonicus</i> Naum.	59	— <i>turbinatus</i> (Waltz) Naum.	59
— <i>famenensis</i> Naum.	109	— <i>variabilis</i> Naum.	61
— <i>minor</i> Naum.	28	— <i>varius</i> Naum.	38
— <i>nigratus</i> Naum.	28	— <i>varius</i> Naum. var. <i>minor</i> Naum.	125
— <i>varius</i> Naum.	110	— <i>velatus</i> Naum.	60
<i>Hymenozonotriletes angulatus</i> Naum.	65	— <i>versus</i> Naum.	40
— <i>angulosus</i> Naum.	99, 127	— <i>vulgaris</i> Naum.	40
— <i>argumus</i> Naum.	41, 67	— <i>zadonicus</i> Naum.	98
— <i>bellus</i> Naum.	66	<i>Leiotriletes acutangulus</i> Naum.	45
— <i>brachydontus</i> Naum.	115	— <i>atavus</i> Naum.	23, 103
— <i>brevimammus</i> Naum.	39	— <i>conformis</i> Naum.	43
— <i>commutatus</i> Naum.	113, 125	— <i>devonicus</i> Naum.	22
— <i>deliquescent</i> Naum.	67	— <i>dicksonialis</i> Naum. тина Dicksonia.	104, 121
— <i>denticulatus</i> Naum.	61	— <i>furcatus</i> Naum. тина Dicksonia.	22
— <i>dentatus</i> Naum.	68	— <i>laevis</i> Naum.	21
— <i>dilectus</i> Naum.	60	— <i>microrugosus</i> (Jbr.) Naum. тина Calamariaceae.	21, 42, 103
— <i>domanicus</i> Naum.	67	— <i>minutissimus</i> Naum.	42, 120
— <i>echinulus</i> Naum.	115	— <i>nigratus</i> Naum.	23, 43
— <i>elegans</i> (Waltz) Naum.	59	— <i>nigritellus</i> Naum.	45
— <i>evlanensis</i> Naum.	64, 115	— <i>parvus</i> Naum.	44
— <i>eximius</i> Naum.	66	— <i>perpusillus</i> Naum.	44
— <i>famenensis</i> Naum.	114	— <i>pullatus</i> Naum.	22, 44, 121
— <i>gyratus</i> Naum.	125	— <i>plicatus</i> (Waltz) Naum.	104
— <i>hyalinus</i> Naum.	113	— <i>pussillus</i> Naum.	94, 104, 120
— <i>incisus</i> Naum.	68	— <i>rotundus</i> Naum.	22, 43, 120
— <i>imperfectus</i> Naum..	64, 125	— <i>simplicissimus</i> Naum.	43, 94, 103, 120
— <i>Krestovnikovii</i> Naum.	67	— <i>simplex</i> Naum.	21, 44
— <i>laciniosus</i> Naum.	68	— <i>trivialis</i> Naum.	45, 95, 104, 121
— <i>lebedianensis</i> Naum.	126	<i>Lophotriletes atratus</i> Naum.	123
— <i>limpidus</i> Naum.	98	— <i>communis</i> Naum.	55
— <i>lionensis</i> Naum.	65, 99, 116, 127	— <i>exiguus</i> Naum.	55
		— <i>evlanensis</i> Naum.	56
		— <i>fastuosus</i> Naum.	27
		— <i>grumosus</i> Naum.	57
		— <i>granulosus</i> Naum.	28
		— <i>inflatus</i> Naum.	54

	<i>Cmp.</i>		<i>Cmp.</i>
<i>Lophotriletes lionensis</i> Naum.	56	<i>Retusotriletes parvimmammatus</i> Naum.	89
— <i>magnus</i> Naum.	58	— <i>Pychovii</i> Naum.	88, 110, 123
— <i>megalothelis</i> Naum.	108	— <i>Pychovii</i> Naum. var. <i>major</i>	
— <i>minor</i> Naum.	55, 96, 108	Naum. v. n.	123
— <i>minutissimus</i>	56	— <i>semilucensis</i> Naum.	88
— <i>minusculus</i>	27	— <i>simplex</i> Naum.	29, 97
— <i>normalis</i> Naum.	57, 108, 123	— <i>subgibberosus</i> Naum.	29
— <i>perspicuus</i> Naum.	54	— <i>verruculatus</i> Naum.	29
— <i>perpusillus</i> Naum.	28		
— <i>rotundus</i> Naum.	58, 96, 108	<i>Stenozonotriletes calamites</i> Naum.	69
— <i>rotundus</i> Naum. var. <i>minor</i>		— <i>cinctus</i> Naum.	131
Naum. v. n.	96, 108	— <i>conformis</i> Naum.	36, 70, 100, 112, 130
— <i>rugatus</i> Naum.	107	— <i>conspersus</i> Naum.	101, 112, 130
— <i>rugosus</i> Naum.	26, 53, 96, 122	— <i>definitus</i> Naum.	71, 101, 131
— <i>rugosus</i> Naum. var. <i>minor</i>		— <i>extensus</i> Naum. var. <i>zadonicus</i>	
Naum. v. n.	96, 107	Naum.	102
— <i>salebrorus</i> Naum. var.		— <i>extensus</i> Naum. var. <i>minor</i>	
<i>famenensis</i> Naum.	109	Naum.	37, 72, 130
— <i>salebrorus</i> Naum.	57	— <i>extensus</i> Naum. var. <i>medius</i>	
— <i>semilucensis</i> Naum.	54	Naum.	37, 72
— <i>simulus</i> Naum.	55	— <i>extensus</i> Naum. var. <i>major</i>	
— <i>subrotundatus</i> Naum.	27	Naum.	37, 72
— <i>trivialis</i> Naum.	57	— <i>formosus</i> Naum.	72
— <i>turbanatus</i> Naum.	109	— <i>fulvus</i> Naum.	101
— <i>Zaleskyi</i> Naum.	109	— <i>furcatus</i> Naum.	112
<i>Lophozonotriletes concessus</i> Naum.	75	— <i>fumanus</i> Naum.	113
— <i>crassatus</i> Naum.	76	— <i>glabellus</i> Naum.	71
— <i>crassus</i> Naum.	118	— <i>globrum</i> Naum.	111
— <i>curvatus</i> Naum.	77, 103, 119, 131	— <i>indivisus</i> Naum.	131
— <i>evlanensis</i> Naum.	77	— <i>infirmus</i> Naum.	74
— <i>excisus</i> Naum.	78	— <i>laevigatus</i> Naum.	70, 111
— <i>gibberulus</i> Naum.	77	— <i>lasius</i> Naum.	37, 73
— <i>grandis</i> Naum.	38, 75	— <i>manifestus</i> Naum.	71, 101
— <i>grandis</i> Naum. var. <i>minor</i>		— <i>millegranus</i> Naum.	73
Naum. v. n.	102	— <i>ornatus</i> Naum.	74
— <i>grumosus</i> Naum.	75	— <i>pumilus</i> (Waltz) Naum.	36, 69, 111, 130
— <i>grumosus</i> Naum. var. <i>minor</i>		— <i>recognitus</i> Naum.	70
Naum. v. n.	102	— <i>recognitus</i> Naum. var. <i>minor</i>	
— <i>grumosus</i> Naum. var.		Naum.	100
<i>famenensis</i> Naum.	132	— <i>reticulatus</i> Naum.	112
— <i>lebedianensis</i> Naum.	119, 132	— <i>simplex</i> Naum.	36, 69, 100, 112, 130
— <i>rarituberculatus</i> Naum.	76	— <i>simplicissimus</i> Naum.	69
— <i>retusus</i> Naum.	75	— <i>spetcanthus</i> Naum.	74
— <i>scurrus</i> Naum.	38	— <i>tersus</i> (Waltz) Naum.	70, 111
— <i>tylophorus</i> Naum.	76	— <i>trivialis</i> Naum.	73
— <i>torosus</i> Naum.	76	— <i>zadonicus</i> Naum.	102
— <i>torosus</i> Naum. var. <i>famenensis</i>		— <i>zonalis</i> Naum.	73
Naum.	119		
<i>Perisaccus cognitus</i> Naum.	93	<i>Trachytriletes giganteus</i> Naum.	47
— <i>deconicus</i> Naum.	93	— <i>famenensis</i> Naum. var. <i>minor</i>	
— <i>domanicus</i> Naum.	93	Naum.	105
— <i>reticulatus</i> Naum.	93	— <i>lasius</i> Naum. (Waltz) Naum.	46
— <i>verruculatus</i> Naum.	94	— <i>medius</i> Naum.	46
<i>Retusotriletes communis</i> Naum.	97, 110, 124	— <i>minor</i> Naum.	23, 47, 95, 105
— <i>domanicus</i> Naum.	88	— <i>minutus</i> Naum.	45, 121
— <i>famenensis</i> Naum.	98, 110	— <i>punctulatus</i> Naum.	95, 122
— <i>microthelis</i>	98, 110, 124	— <i>pusillus</i> Naum.	48
— <i>parvimmammatus</i> Naum. var.		— <i>solidus</i> Naum.	46, 95, 104, 121
<i>famenensis</i> Naum.	124	— <i>subminor</i> Naum.	47
		— <i>typicus</i> Naum.	105
		— <i>uniformis</i> Naum.	47

ОГЛАВЛЕНИЕ

Предисловие	
Введение	4
Глава I. Флора девона	5
Глава II. Общая характеристика спор и пыльцы девона	8
Глава III. Морфология спор и пыльцы девона	9
Глава IV. Ботаническая принадлежность спор и пыльцы девона	11
Глава V. Классификация спор и пыльцы девона	17
Глава VI. Морфологическое описание спор и пыльцы девона	21
А. Средний девон, живетский ярус	21
Б. Верхний девон, франский ярус	42
В. Верхний девон, фаменский ярус, елецкий подъярус, задонские слои	91
Елецкий подъярус, аграмачские слои	103
Ланково-лебедянский подъярус, лебедянские слои	120
Глава VII. Характеристика спорово-пыльцевых комплексов верхнего девона	
Русской платформы	122
1. Спорово-пыльцевые комплексы верхов живетского яруса среднего девона	132
2. Спорово-пыльцевые комплексы франского яруса верхнего девона	133
3. Спорово-пыльцевые комплексы фаменского яруса верхнего девона	141
Глава VIII. Типы спорово-пыльцевых комплексов	144
1. Экологоморфологические спорово-пыльцевые комплексы	145
2. Ландшафтно-фитоценологические спорово-пыльцевые комплексы	148
Глава IX. Основные принципы стратиграфии по спорам и пыльце	148
Глава X. Стратиграфическое распределение спорово-пыльцевых комплексов в девонских отложениях	149
Заключение	150
Литература	153
Таблицы	155
Предметный указатель	199

Печатается по постановлению
Редакционно-издательского совета
Академии Наук СССР

*

Редактор издательства Л. П. Ладычук
Технический редактор А. А. Киселев

*

РИСО АН СССР № 5227. Т-07214. Издат. № 3805.
Тип. заказ № 1135. Подп. к печ. 2/IX 1953 г.
Формат бум. 70×108. Бум. л. 6,37
Печ. л. 17,12+3 вкл.
Уч.-издат. 15+1,4 вкл. Тираж 1200.
Цена по предварительной 1952 г. 11 р. 70 к.
2-я тип. Издательства Академии Наук СССР.
Москва, Шубинский пер., д. 10.

11 руб. 70 коп.